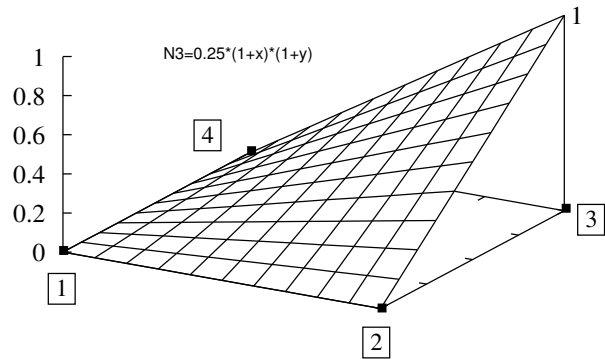


Andres Lahe

## Lõplike elementide meetod



Tallinn  
2008

Õpevahend on vormindatud tekstitöötlusprogrammiga L<sup>A</sup>T<sub>E</sub>X (loe: lateh). Tekstitöötlusprogramm L<sup>A</sup>T<sub>E</sub>X on programmi T<sub>E</sub>X (loe: teh) makropakett. T<sub>E</sub>X erineb kirjastuste ssteemidest *VENTURA* ja *PageMaker* selle poolest, et ta on *public domain*'i produkt. L<sup>A</sup>T<sub>E</sub>X-is kirjutatud teksti on võimalik töödelda msdos, UNIX (Linux) ja teistel arvutitel. L<sup>A</sup>T<sub>E</sub>X disainib aruandeid, artikleid, raamatuid. Vastavad stiilifailid (\*.sty failid) valivad pealkirjade suuruse, numeratsiooni, jooniste ja valemite paigutuse, aitavad koostada sisukorda, panevad indekseid, kirjandusviiteid jne.

# Sisukord

<b>1 Sissejuhatus</b>	<b>11</b>
1.1 Lõplike elementide meetodi koht . . . . .	11
1.2 Rajatingimused . . . . .	14
1.3 Ligikaudsed lahendid . . . . .	17
1.3.1 Lähendfunktsioonid . . . . .	18
1.3.2 Lähendi vea mõõdu valik . . . . .	18
1.3.3 Lähendamismeetod. Kaalutud hälvete meetod . . . . .	19
<b>2 Elastne vedrusüsteem</b>	<b>23</b>
2.1 Elastse vedru jäikusmaatriks . . . . .	23
2.2 Konstruktsiooni jäikusmaatriks . . . . .	24
2.3 Elastse vedru võimalik töö . . . . .	26
2.4 Võrrandisüsteemi lahendamine . . . . .	27
<b>3 Varraskonstruktsioonid</b>	<b>31</b>
3.1 Varda pikke jäikusmaatriks . . . . .	31
3.2 Kohalik ja üldteljestik . . . . .	31
3.3 Jäikusmaatriks üldkoordinaatides . . . . .	34
3.4 Elemendis mõjuv pikkejõud . . . . .	37
3.5 Sõlmede nummerdamisest . . . . .	41
3.6 Varda paine . . . . .	42
3.6.1 Ülekandemaatriks paindel . . . . .	42
3.6.2 Varda painde jäikusmaatriks . . . . .	45
<b>4 Interpoleerimine</b>	<b>47</b>
4.1 Lagrange'i interpolatsioon . . . . .	47
4.2 Hermite'i interpolatsioon . . . . .	51
4.3 Interpoleerimine tasapinnal . . . . .	54
4.3.1 Lagrange'i interpolatsioon tasapinnal . . . . .	54
4.3.2 Hermite'i interpolatsioon tasapinnal . . . . .	59
4.3.3 Kolmnurga pindalakoordinaadid . . . . .	60
4.4 Interpoleerimine ruumis . . . . .	63
4.4.1 Lagrange'i interpolatsioon ruumis . . . . .	63
4.4.2 Ruumalakoordinaadid . . . . .	64

<b>5 Numbriline integreerimine</b>	<b>67</b>
5.1 Sissejuhatavad märkused ja määrangud . . . . .	67
5.2 Newtoni-Cotes'i valemid . . . . .	69
5.3 Gaussi valemid . . . . .	70
5.3.1 Gaussi valemid tasapinnal . . . . .	72
5.4 Valemid $\mathcal{L}_i$ -koordinaatides . . . . .	72
5.5 Gaussi-Radau skeem . . . . .	74
5.6 Kolmnurkse elemendi kaalud . . . . .	78
5.7 Näiteid numbrilisest integreerimisest . . . . .	80
<b>6 Isoparaameetriline element</b>	<b>85</b>
6.1 Koordinaatide teisendus . . . . .	85
6.2 Konstantse tuletise kriteerium . . . . .	87
6.3 Elementide kujutised ja originaalid . . . . .	87
<b>7 Elastsusteooria tasandülesanne</b>	<b>91</b>
7.1 Siirded ja deformatsioonid . . . . .	91
7.2 Deformatsiooni pidevuse tingimus . . . . .	92
7.3 Pinged kaldpinnal . . . . .	94
7.4 Tasakaaluvõrandid . . . . .	95
7.5 Elastsusseosed. Elastsuskonstandid . . . . .	96
7.6 Deformatsioonienergia . . . . .	98
7.7 Võimaliku töö printsip . . . . .	103
7.8 Pingete arvutus . . . . .	106
7.9 Näiteid koormustele taandamisest . . . . .	107
<b>8 Plaaditeooria</b>	<b>115</b>
8.1 Üldosa . . . . .	115
8.1.1 Põhimõisted . . . . .	115
8.1.2 Plaatide paindeteooria hüpoteesid . . . . .	116
8.2 Õhukeste plaatide paindeteooriast . . . . .	116
8.2.1 Plaadi sisejõud . . . . .	116
8.2.2 Plaadi tasakaaluvõrandid . . . . .	119
8.2.3 Plaadi deformatsioonid . . . . .	121
8.2.4 Plaadi elastsusseosed . . . . .	121
8.2.5 Plaadi diferentsiaalvõrandid . . . . .	123
8.2.6 Momendid ja põikjõud plaadi suvalises ristlõikes . . . . .	123
8.2.7 Vektorarvutuste seoseid . . . . .	125
8.2.8 Plaadi rajatingimustest . . . . .	126
8.2.9 Virtuaalsiirete printsip. Kõlblikud rajatingimused . . . . .	128
8.2.10 Koondatud nihkejõud plaadi nurkades . . . . .	130
8.3 Plaadi lõplikud elemendid . . . . .	133
8.3.1 Täielikkuse ja kooskõlalisuse nõuded . . . . .	136
8.3.2 Lihtsad mittekooskõlalised elemendid . . . . .	137

<b>9 Lõplike elementide tarkvara</b>	<b>141</b>
9.1 Arvutiprogrammide kasutamine . . . . .	141
9.2 Arvutiprogrammide täpsusest . . . . .	141
<b>A Variatsiooniprintsiibid</b>	<b>143</b>
A.1 Variatsioon ja selle omadused . . . . .	143
A.2 Euleri võrrand . . . . .	144
A.3 Variatsiooniprintsiibid . . . . .	145
<b>B Koorikud</b>	<b>149</b>
B.1 Koorikute diferentsiaalvõrrandid . . . . .	149
<b>C GNU Üldine Avalik Litsents</b>	<b>155</b>



# Joonised

1.1	Arvutusmehaanika koht . . . . .	11
1.2	Varda fenomenoloogilise mudeli struktuuriskeem . . . . .	14
1.3	Ühtlane lähendamine . . . . .	18
1.4	Lõplike elementide meetodi koht . . . . .	21
2.1	Vedru . . . . .	23
2.2	Vedrusüsteem . . . . .	24
2.3	Sisejõu töö . . . . .	26
2.4	Võimalik töö . . . . .	26
2.5	Vedrusüsteemi arvutusskeem . . . . .	28
3.1	Varda element . . . . .	31
3.2	Vasaku ja parema käe teljestik . . . . .	32
3.3	Koordinaatide teisendus . . . . .	32
3.4	Märgikokkulepped . . . . .	34
3.5	Varrassüsteemi arvutusskeem . . . . .	38
3.6	Sõlmede nummerdamine . . . . .	41
3.7	Võrrandisüsteemi kuju . . . . .	41
3.8	Painde diferentsiaalseosed . . . . .	42
3.9	Varda tööseisundid . . . . .	43
3.10	Tala kahel toel . . . . .	44
3.11	Algparameetrid . . . . .	44
4.1	Funktsiooni interpolatsioon . . . . .	47
4.2	Lineaarne interpolatsioon . . . . .	49
4.3	Ruutinterpolatsioon . . . . .	50
4.4	Lineaarse interpolatsiooni sõlmed . . . . .	50
4.5	Ruutinterpolatsiooni sõlmed . . . . .	50
4.6	Kuupinterpolatsiooni sõlmed . . . . .	50
4.7	Hermite'i interpolatsioon . . . . .	51
4.8	Hermite'i interpolatsiooni sõlmed . . . . .	52
4.9	Hermite'i interpolatsioonifunktsioonid . . . . .	53
4.10	Funktsiooni interpoleerimine tasapinnal . . . . .	55
4.11	Lagrange'i funktsioonid tasapinnal . . . . .	56

4.12 Sõlmpunktide koordinaadid . . . . .	57
4.13 Kujufunktsioon $N_3$ . . . . .	58
4.14 Kujufunktsioon $N_5$ . . . . .	58
4.15 Kujufunktsioon $N_4, 8$ sõlme . . . . .	58
4.16 Kujufunktsioon $N_4, 9$ sõlme . . . . .	58
4.17 Kujufunktsioon $N_9$ . . . . .	59
4.18 Hermite'i interpolatsioon tasapinnal . . . . .	59
4.19 Kolmnurga pindalakoordinaadid . . . . .	60
4.20 6 sõlmpunktiga kolmnurkne element . . . . .	62
4.21 10 sõlmpunktiga kolmnurkne element . . . . .	63
4.22 Lagrange'i interpolatsioon ruumis . . . . .	63
4.23 Ruumalakoordinaadid . . . . .	64
 5.1 Legendre'i polünoomid . . . . .	69
5.2 Simpsoni valem . . . . .	70
5.3 Simpsoni $\frac{3}{8}$ valem . . . . .	70
5.4 Gaussi kaks sõlme . . . . .	71
5.5 Gaussi kolm sõlme . . . . .	71
5.6 L-koordinaat . . . . .	73
5.7 Kolmnurga teisendus . . . . .	75
5.8 Tetraeedri teisendus . . . . .	75
5.9 Integreerimine pinnal . . . . .	76
5.10 Kolmnurkse elemendi kaalud . . . . .	79
5.11 Koormuse taandamine sõlmedesse . . . . .	81
 6.1 Isoparametrikiline teisendus . . . . .	85
6.2 Nelinurkse elemendi kujutis ja originaal . . . . .	88
6.3 12 sõlmpunktiga elemendi kujutis ja originaal . . . . .	88
6.4 Kolmnurkse elemendi kujutis ja originaal . . . . .	88
6.5 Risttahukalise elemendi kujutis ja originaal . . . . .	89
6.6 Tetraeedrilise elemendi kujutis ja originaal . . . . .	89
 7.1 Siirded ja deformatsioonid . . . . .	92
7.2 Jäiga keha pööre . . . . .	93
7.3 Pingevektorid . . . . .	94
7.4 Pinged kaldpinnal . . . . .	94
7.5 Elemendi tasakaal . . . . .	96
7.6 Tasandülesanded . . . . .	96
7.7 Materjalide omadused . . . . .	97
7.8 Elemendi võimalik deformatsioonienergia . . . . .	98
7.9 Koormuse taandamine sõlme . . . . .	104
7.10 Lauskoormuse taandamine sõlme . . . . .	107
7.11 Omakaalu taandamine sõlme . . . . .	108
7.12 Bilineaarse elemendi jäikusmaatriks . . . . .	110

8.1	Plaat ja teljestik . . . . .	117
8.2	Pikijõudude intensiivsused . . . . .	117
8.3	Põikjõud $Q_{xz}$ ja momendid $M_{xx}, M_{xy}$ . . . . .	118
8.4	Põikjõud $Q_{yz}$ ja momendid $M_{yx}, M_{yy}$ . . . . .	119
8.5	Plaadi tasakaaluvõrandid . . . . .	119
8.6	Plaadi tasandpingus . . . . .	122
8.7	Pingevektor plaadi serval . . . . .	124
8.8	Plaadi serv . . . . .	127
8.9	Siire ja pööre plaadi serval . . . . .	127
8.10	Plaadi nurgad . . . . .	131
8.11	Täiendav põikjõud plaadi nurkades . . . . .	132
8.12	Plaadi rajatingimus . . . . .	135
8.13	$C^0$ -pidevus . . . . .	136
8.14	$C^1$ -pidevus . . . . .	137
8.15	Lihtsaim plaadi element . . . . .	138
8.16	Kolmnurkne 6 vabadusastmega element . . . . .	138
8.17	Nelinurkne 12 vabadusastmega element . . . . .	139
8.18	Nelinurkne mittekooskõlaline element . . . . .	139

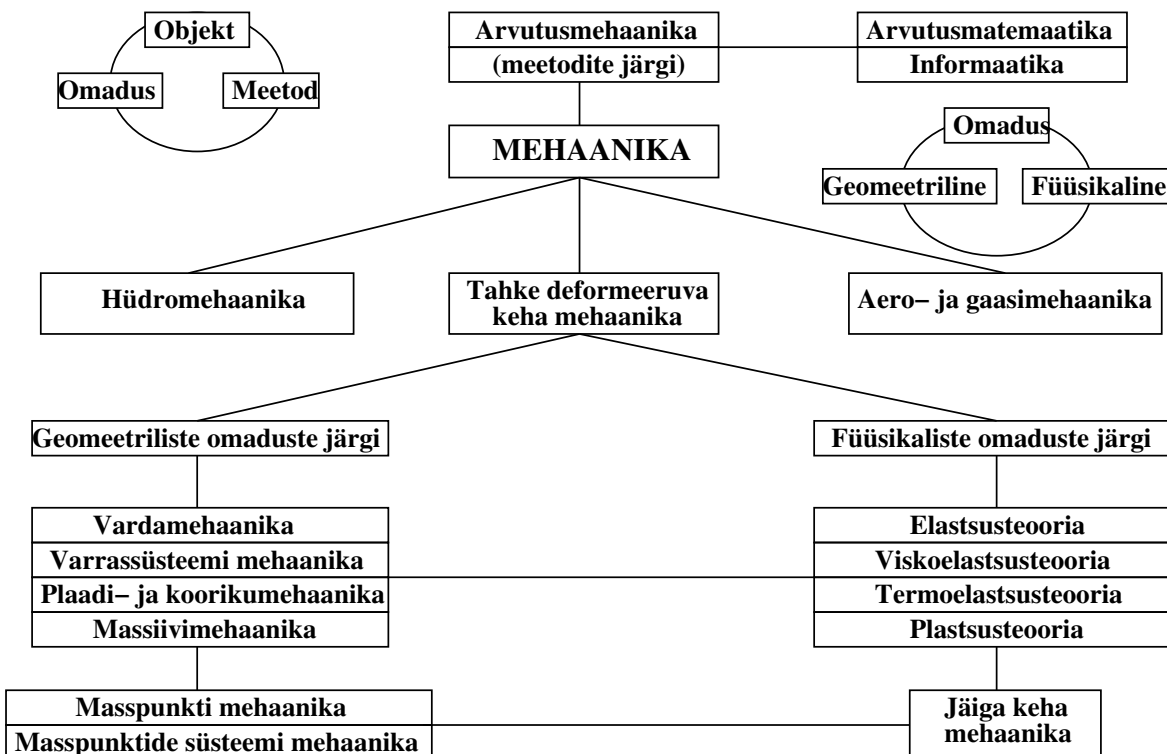


# Peatükk 1

## Sissejuhatus

### 1.1 Lõplike elementide meetodi koht

Lõplike elementide meetod on üks *arvutusmehaanika* (joonis 1.1) meetod. Arvutusmehaanika tegeleb mehaanika rakendusülesannete numbrilise lahendamisega arvuti abil. Ta hõlmab probleemikompleksi, mis on seotud arvutusmatemaatikaga ja arvuti kasutaga.



Joonis 1.1. Arvutusmehaanika koht

misega (programmvarustuse ja programmipakettide koostamisega tüüpülesannete jaoks jms). Arvutustehnika ja informaatika kiire areng kiirendas ka arvutusmeetodite loomist.

Meetodite üldistamine ja areng avardab tähkete kehadest liikumise uurimise võimalusi. Suuri üldistusi on tehtud *lõplike elementide meetodis* (LEM) ja *rajaelementide meetodis* (REM). Meetodid kasutavad töö ja energia mõisteid (J. Argyris<sup>1</sup>). Energiateoreemid [3]). Neid võib nimetada energeteelisteks meetoditeks. Energia mõiste üldsusest tuleneb ka nende meetodite üldsus. Neid on üldistatud arvutusmatemaatikas, kus töö (jõu ja teepikkuse korrutis) mõiste asemel esineb kahe funktsiooni korrutis ja räägitakse kaalutud hälvetest või projektsionidest.

Füüsikas vaadeldakse tööd  $W$  kui jõu  $\mathbf{F}$  ja teepikkuse  $\mathbf{u}$  skalaarset korrutist

$$W = \mathbf{F} * \mathbf{u} \quad (1.1)$$

Vardamehaanikas vaadeldakse sisejõudude tööd  $W_s$  kui integraali pikijõu  $N(x)$  ja prinkuse  $\lambda(x)$  korrutist

$$W_s = - \int_0^l N(x) \lambda(x) dx \quad (1.2)$$

Avaldise (1.2) puhul räägivad matemaatikud funktsionide skalaarkorritisest Hilberti<sup>2</sup> ruumis.

Funktsionide  $q(x)$ ,  $v(x)$  skalaarkorrutist tähistatakse järgmiselt:

$$\langle q(x) * v(x) \rangle = \int_0^l q(x) v(x) dx \quad (1.3)$$

Avaldist (1.3) võib vaadelda kui välisjõudude  $q_x(x)$  tööd  $W_v$ . Kogu välisjõudude töö  $W_v$  varda pikkel

$$W_v = \int_0^l q_x(x) dx + F_{xi} v_{xi} \quad (1.4)$$

Toeraktsionide ja kontaktjõudude  $\vec{N}_x$  tööd nimetatakse ka rajajõudude tööks  $W_r$

$$W_r = \vec{N}_x v |_0^l \quad (1.5)$$

kus  $v |_0^l$  on rajasiireded. Kogu töö  $W$  on tööde  $W_v$ ,  $W_r$ ,  $W_s$  summa

$$W = W_v + W_r + W_s = 0 \quad (1.6)$$

mis võrdub nulliga. Avaldis (1.6) väljendab energiateoreemi

$$W = F_{xi} v_i + \int_0^l q_x(x) v dx + \vec{N}_x v |_0^l - \int_0^l N_x \lambda dx = 0 \quad (1.7)$$

pikkel.

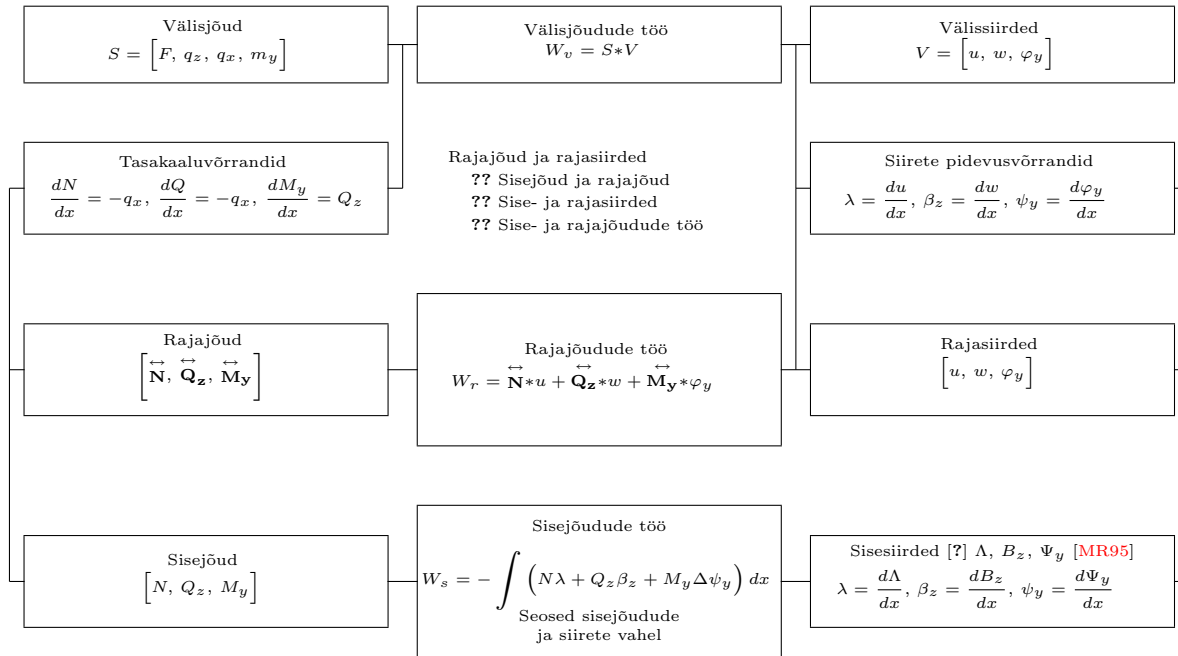
Joonisel 1.2 on varda fenomenoloogilise<sup>3</sup> mudeli<sup>4</sup> struktuuriskeem, mis näitab tööde seoseid.

Analoogilisi struktuuriskeeme on võimalik koostada tabeli 1.1 põhjal. Mitmesuguste teooriate olekuvõrrandid on tabelis 1.1 [22], [20], [21], [16].

Tabel 1.1. Fenomenoloogilised mudelid

Teooria	Liikumisvõrrandid	Olekuvõrrandid	Kinemaatika
Elastse varda pike	$\frac{dN_x}{dx} = -q_x$	$N_x = EA\lambda_x$	$\lambda_x = \frac{du_x}{dx}$
Bernoulli tala teooria	$\frac{d^2M_y}{dx^2} = -q_z$	$M_y = EI\psi_y$	$\psi_y = -\frac{d^2w_z}{dx^2}$
Saint-Venant'i elastse varda vääne	$div\left(\frac{1}{G\nabla\Phi}\right) + 2\theta = 0$	$\sigma_{xz} = G\gamma_{xz}$ $\sigma_{yz} = G\gamma_{yz}$ $\sigma_{xz} = \frac{\partial\Phi}{\partial y}$ $\sigma_{yz} = \frac{\partial\Phi}{\partial x}$	$\gamma_{xz} = -\frac{\partial\varphi}{\partial z}(y - y_0) + \frac{\partial u_z}{\partial x}$ $\gamma_{yz} = \frac{\partial\varphi}{\partial z}(x - x_0) + \frac{\partial u_z}{\partial y}$
Analüütiline mehaanika	$\sum_{i=1}^n \frac{\partial X^i}{\partial q^k} \frac{dP_i}{dt} = -Q_k$	$P_i = \sum_{j=1}^{3n} m_{ij} V^j$	$V^j \stackrel{\text{def}}{=} \sum_{k=1}^n \frac{\partial X^j}{\partial q_k} \frac{dq^k}{dt}$
Elastsus-teooria	$\frac{\partial\sigma_{ij}}{\partial x_j} = -X_i$	$\sigma_{ij} = C_{jikl}\epsilon^{kl}$	$\epsilon^{kl} \stackrel{\text{def}}{=} \frac{1}{2} \left( \frac{\partial u_i}{\partial x_j} + \frac{\partial u_j}{\partial x_i} \right)$
Darcy vedeliku-vool	$div\mathbf{q} = -\mathbf{Q}$	$\mathbf{q} = \mathbf{D}\mathbf{v}^v$	$\mathbf{v}^v \stackrel{\text{def}}{=} \nabla\Phi$
Fourier' sooja-vool	$div\mathbf{q} = -\mathbf{Q}$	$\mathbf{q} = \mathbf{D}\mathbf{p}_s$	$\mathbf{p}_s \stackrel{\text{def}}{=} \nabla T$
Ohmi elektri-vool	$div\mathbf{q} = -\mathbf{Q}$	$\mathbf{q} = \mathbf{D}\mathbf{i}_e$	$\mathbf{i}_e \stackrel{\text{def}}{=} \nabla V$
Ficki difusioon	$div\mathbf{q} = -\mathbf{Q}$	$\mathbf{q} = \mathbf{D}\mathbf{p}_d$	$\mathbf{p}_d \stackrel{\text{def}}{=} \nabla c$

<sup>1</sup>John Argyris, TTÜ audoktor, 1914.<sup>2</sup>David Hilbert, saksa matemaatik, 1862–1943.<sup>3</sup>**Fenomen** (< kr phainomenon 'nähtavale ilmuv') – meeltega tajutav juhtum, olukord või fakt.<sup>4</sup>**Mudel** – süsteemi, teooria või fenomeni kirjeldus, mis arvestab selle tuntuid omadusi ja mida võib kasutada tema omaduste uurimiseks.



Joonis 1.2. Varda fenomenoloogilise mudeli struktuuriskeem

Deformatsiooni potentsiaalne energia pikkel  $\Pi_s$  ehk deformatsioonienergia  $U$  on

$$\Pi_s = U = -W_s = \int_0^l N_x \lambda dx \quad (1.8)$$

Deformatsioonienergia  $U$  on positiivne ja sisejõudude töö  $W_s$  negatiivne. Kõik konstruktsoonid (ehitised, masinad, aparaadid, sõidukid jne) koosnevad elementidest, mida on võimalik liigitada järgmiselt: vardad, plaadid, koorikud. Nende tüüpiliste konstruktsioonielementide piisava tugevuse, jäikuse, stabiilsuse ja ökonomiase tagamiseks tuleb teha arvutused. Ka arvutused peavad olema ökonomised. Selleks tehakse üldteooriates lihtsustusi.

Lõplike elementide meetodi õpikutest soovitame Zienkiewiczi [26], [25], Gallaghe ri [10], Ottoseni [16], Huges'i [11], Bathe'i [4], Beckeri [5] õpikut.

## 1.2 Rajatingimused

Rajatingimuste selgitamiseks vaatleme tala elastse joone diferentsiaalvõrrandit piirkonnas  $0 \leq x \leq l$

$$-\frac{d^2}{dx^2} EI_y \frac{d^2 w}{dx^2} = -q_z(x) \quad (1.9)$$

Edespidi võtame lihtsuse mõttes  $EI = const$ . Sümboolselt võime võrrandi (1.9) kirjutada järgmisel kujul:

$$\mathcal{L}(w) = b \quad \text{piirkonnas } \Omega \quad (1.10)$$

siin

$$\mathcal{L} \equiv EI \frac{d^4}{dx^4} \quad b \equiv q_z(x) \quad (1.11)$$

Korrutame võrrandit (1.9) siirdega  $\hat{w}$  ja integreerime üle varda  $l$

$$-\int_0^l \frac{d}{dx} \left( \frac{d}{dx} EI_y \frac{d^2 w}{dx_2} \right) \hat{w} dx = -\int_0^l q_z(x) \hat{w} dx \quad (1.12)$$

Võrrandi (1.12) parempoolne liige väljendab väiskoormuse tööd  $W_v$  siirdel  $\hat{w}$ . Koondkoormuse  $F_{zi}$  töö varda telje punkti  $i$  siirdel  $\hat{w}_i$  on  $F_{zi}\hat{w}_i$ . Seega

$$W_v = \int_0^l q_z(x) \hat{w} dx + F_{zi} \hat{w}_i \quad (1.13)$$

Võrrandi (1.12) vasakpoolset avaldist integreerime ositi valemi (1.14)

$$\int_0^1 \mathbf{u} d\mathbf{v} = \mathbf{u} \mathbf{v} |_0^1 - \int_0^1 \mathbf{v} d\mathbf{u} \quad (1.14)$$

järgi.

$$\begin{aligned} & -\int_0^l \underbrace{\hat{w}}_u \underbrace{\frac{d}{dx} \left( \frac{d}{dx} EI_y \frac{d^2 w}{dx_2} \right)}_{Q_z} \hat{w} |_0^l + \\ & + \int_0^l \frac{d}{dx} \underbrace{\left( EI_y \frac{d^2 w}{dx_2} \right)}_{-M_y} \underbrace{\frac{d\hat{w}}{dx}}_{-hat\varphi_y} dx \end{aligned} \quad (1.15)$$

Avaldise (1.15) viimast liiget integreerime veel üks kord

$$\begin{aligned} \int_0^l \underbrace{\frac{d\hat{w}}{dx} \frac{d}{dx} \left( EI_y \frac{d^2 w}{dx_2} \right)}_{dv} dx &= \underbrace{\left( EI_y \frac{d^2 w}{dx^2} \right)}_{-M_y} \underbrace{\frac{d\hat{w}}{dx}}_{-hat\varphi_y} |_0^l - \\ & - \int_0^l \underbrace{\left( EI_y \frac{d^2 w}{dx^2} \right)}_{-M_y} \underbrace{\frac{d^2 \hat{w}}{dx^2}}_{-\hat{\psi}_y} dx \end{aligned} \quad (1.16)$$

Arvestades avaldisi (1.15) ja (1.12), saab võttandi (1.16) esitada võimalike tööde (passiivtööde) summana

$$\begin{aligned} & \underbrace{[Q_z \hat{w} + M_y \hat{\varphi}_y]}_{W_r^{(p)}} |_0^l - \underbrace{\int_0^l M_y \hat{\psi}_y dx}_{W_s^{(p)}} = \\ & - \underbrace{\int_0^l q_z(x) \hat{w} dx - F_{zi} \hat{w}_i}_{W_v^{(p)}} \end{aligned} \quad (1.17)$$

kus  $\hat{w} \equiv \delta w$  vaatleme kui virtuaalsiiret. Sisejõudude võimalik töö paindel  $\delta W_s^{(p)}$  on

$$\delta W_s^{(p)} = - \int_0^l M_y \delta \psi_y dx \quad (1.18)$$

välisjõudude võimalik töö paindel  $\delta W_v^{(p)}$

$$\delta W_v^{(p)} = \int_0^l q_z(p) \delta w dx + F_{zi} \delta w_i \quad (1.19)$$

rajajõudude võimalik töö paindel  $\delta W_r^{(p)}$

$$\delta W_r^{(p)} = [Q_z \delta w + M_y \delta \varphi_y] |_0^l \quad (1.20)$$

Paindel tööde vastastikkuse teoreemi tõestamiseks jätkame avaldise (1.16) teise liikme ositi integreerimist

$$\begin{aligned} & - \int_0^l \underbrace{\left( EI_y \frac{d^2 w}{dx^2} \right)}_{-M_y} \underbrace{\frac{d^2 \hat{w}}{dx^2}}_{-d\hat{\varphi}_y} dx = - \underbrace{\frac{dw}{dx}}_{-\varphi_y} \underbrace{\left( EI_y \frac{d^2 \hat{w}}{dx^2} \right)}_{-\hat{M}_y} |_0^l + \int_0^l \underbrace{\frac{d}{dx} \left( EI_y \frac{d^3 \hat{w}}{dx^3} \right)}_{-\hat{Q}_z} \underbrace{\frac{dw}{dx}}_{dw} dx = \\ & = \underbrace{w}_{\hat{Q}_z} \underbrace{\left( EI_y \frac{d^3 \hat{w}}{dx^3} \right)}_{-\hat{Q}_z} |_0^l - \underbrace{\left( EI_y \frac{d^2 w}{dx^2} \right)}_{-M_y} \underbrace{\frac{d^2 \hat{w}}{dx^2}}_{-\hat{\psi}_y} |_0^l - \int_0^l \underbrace{\left( EI_y \frac{d^4 \hat{w}}{dx^4} \right)}_{\hat{p}_z} \underbrace{\frac{w}{w}}_{\hat{p}_z} dx \end{aligned} \quad (1.21)$$

Saadud seosed (1.21) asetame avaldisse (1.17), kust saame tööde vastastikkuse teoreemi paindel

$$\begin{aligned} & \underbrace{[Q_z \hat{w} + M_y \hat{\varphi}_y]}_{W_r^I} |_0^l + \underbrace{\int_0^l q_z(x) \hat{w} dx + F_{zi} \hat{w}_i}_{W_v^I} = \\ & \underbrace{[\hat{Q}_z w + \hat{M}_y \varphi_y]}_{W_r^{II}} |_0^l + \underbrace{\int_0^l \hat{q}_z(x) w dx + \hat{F}_{zi} w_i}_{W_v^{II}} \end{aligned} \quad (1.22)$$

Avaldise (1.22) liikmed

$$[Q_z \hat{w} + M_y \hat{\varphi}_y] |_0^l - [\hat{Q}_z w + \hat{M}_y \varphi_y] |_0^l \quad (1.23)$$

on rajatingimused, kus  $w$  ja  $\varphi$  on olulised ehk kinemaatilised rajatingimused,  $Q_z$  ja  $M_y$  loomulikud ehk staatilised rajatingimused.

Saadud seos (1.22) väljendab tööde vastastikkuse teoreemi (E. Betti<sup>5</sup>): esimese koormusolukorra (I) välisjõudude (sisejõudude) töö teise koormusolukorra (II) jõudude

---

<sup>5</sup>Enrico Betti, itaalia ehitusinsener, 1823–1892.

poolt põhjuststud siiretel on võrdne teise koormusolukorra välisjõudude (sisejõudude) võimaliku tööga esimese koormusolukorra jõudude poolt põhjustatud siiretel.

Avaldise (1.22) võib kirjutada sümboolsel kujul

$$\begin{aligned} \int_{\Omega} \mathcal{L}(w) \hat{w} d\Omega &= \int_{\Omega} w \mathcal{L}^*(\hat{w}) d\Omega + \\ &+ \int_{\Gamma} [\mathcal{O}^*(\hat{w}) \mathcal{S}(w) - \mathcal{S}^*(\hat{w}) \mathcal{O}(w)] d\Gamma \end{aligned} \quad (1.24)$$

kus

$\Gamma$  – piirkonna  $\Omega$  väline rada,  
 $\mathcal{L}^*$  – operaatori  $\mathcal{L}$  kaasoperaator  $\mathcal{L}^* = \mathcal{L}$ ,  
 $\mathcal{O}$  – oluliste ehk kinemaatiliste rajatingimustega operaator,  
 $\mathcal{S}$  – loomulike ehk staatiliste rajatingimustega operaator.

### 1.3 Ligikaudsed lahendid

Vaatleme diferentsiaalvõrrandit

$$\mathcal{L}(u_0) = b \quad \text{piirkonnas } \Omega \quad (1.25)$$

kus  $u_0$  on diferentsiaalvõrrandi täpne lahend.

Selle võrrandi rajatingimused on

$$\mathcal{O}(u_0) = \mathcal{O}_0 \quad \text{rajal } \Gamma_1 \quad (1.26)$$

$$\mathcal{S}(u_0) = \mathcal{S}_0 \quad \text{rajal } \Gamma_2 \quad (1.27)$$

Olgu

$$u(x) \quad \text{lähedane funktsiooniga } u_0(x) \quad (1.28)$$

Funktsioonide lähendamise (aproksimeerimise<sup>6</sup>) ülesanded:

- lähendfunktsiooni valik
- mõõdu valik, millega hinnatakse funktsiooni lähedust
- lähendamismeetodi valik
- lähendamisvea hindamine

---

<sup>6</sup> **Aproksimeerimine** – objekti asendamine mingi teise temast vähe erineva objektiga.

### 1.3.1 Lähendfunktsioonid

Lähendfunktsiooniks võib valida

- algebralise või trigonomeetrilise funktsiooni
- üldiststud polünoomi

$$u(x) = \alpha_k \varphi_k(x) + \alpha_0. \quad (k = 1, 2, \dots, n) \quad (1.29)$$

kus

$\alpha_k$  – sõltumatud parameetrid,

$\varphi_k(x)$  – lineaarselt sõltumatus funktsioonid, s.t tingimus

$$\alpha_1 \varphi_1(x) + \alpha_2 \varphi_2(x) + \dots + \alpha_n \varphi_n(x) = 0 \quad (1.30)$$

on täidetus siis, kui kõik parameetrid  $\alpha_i = 0$

- ratsionaalse murru

$$\frac{p(x)}{q(x)}$$

- splaini  $S(x)$

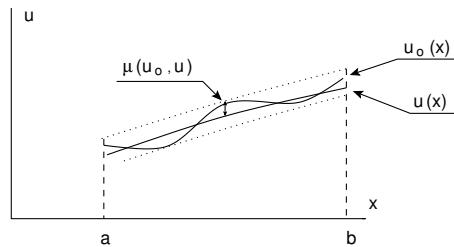
### 1.3.2 Lähendi vea mõõdu valik

Tähistame lähendi vea mõõdu järgmiselt:

$$\mu(u_0, u)$$

Vaatleme järgmiste lähendite vea mõõte:

- ühtlane lähendamine,  
ühtlase lähendamise puhul on vea mõõduks täpse lahendi  $u_0$  ja lähedase funktsiooni  $u$  suurim erinevus (joonis 1.3)



Joonis 1.3. Ühtlane lähendamine

siooni  $u$  suurim erinevus (joonis 1.3)

$$\mu(u_0, u) = \sup_{\Omega} |u_0(x) - u(x)| \quad (1.31)$$

- astmekeskmisel lähendamisel on vea mõõt järgmine:

$$\mu(u_0, u) = \int_{\Omega} |\mu_o(x) - \mu(x)|^p dx, \quad p > 0 \quad (1.32)$$

kus

$p = 1$  – keskmise lähendamine,

$p = 2$  – ruutkeskmise lähendamine,

- kaalutud lähendamisel

$$\mu(u_0, u) = \int_{\Omega} |\mu_o(x) - \mu(x)|^p \varrho(x) dx, \quad p > 0 \quad (1.33)$$

kus  $\varrho(x)$  on kaalufunktsioon.

Kaalufunktsiooni kasutamise näitena vaatleme paindemomendi  $M_0$  täpset avaldist ja paindemomendi  $M$  lähedast avaldist. Nende kahe funktsiooni läheduse hindamiseks võtame kaalufunktsioniks paindeprinkuse  $\varrho(x) = \psi(x)$ . Vea mõõduks on siis painde deformatsioonienergia erinevused.

### 1.3.3 Lähendamismeetod. Kaalutud hälvete meetod

Olgu  $u_0$  differentiaalvõrrandi

$$\mathcal{L}(u_0) = b \quad \text{piirkonnas } \Omega \quad (1.34)$$

täpne lahend.

Selle võrrandi rajatingimused on

$$\mathcal{O}(u_0) = \mathcal{O}_o \quad \text{rajalõigul } \Gamma_1 \quad (1.35)$$

$$\mathcal{S}(u_0) = \mathcal{S}_o \quad \text{rajalõigul } \Gamma_2 \quad (1.36)$$

kus

$$\Gamma = \Gamma_1 + \Gamma_2 \quad (1.37)$$

Valime lähendfunktsioniks  $u(x)$  üldistatud polünoomi

$$u(x) = \alpha_i \varphi_i(x), \quad (i = 1, 2, \dots, N) \quad (1.38)$$

siin

$\alpha_i$  – sõltumatud parameetrid,

$\varphi_i(x)$  – lineaarselt sõltumatud funktsionid.

Asetame lähendfunktsiooni  $u(x)$  diferentsiaalvõrrandisse (1.34) ja rajatingimustesse (1.35), (1.36)

$$\mathcal{L}(u) - b = R \quad (1.39)$$

$$\mathcal{O}(u) - \mathcal{O}_o = R_1 \quad (1.40)$$

$$\mathcal{S}(u) - \mathcal{S}_o = R_2 \quad (1.41)$$

siin

$R$  – differentsiaalvõrandi lahendi hälve,

$R_1$  – kinemaatiliste rajatingimuste hälve,

$R_2$  – staatiliste rajatingimuste hälve.

Valime kaalufunktsiooni

$$v(x) = \beta_i \psi_i(x) \quad (i = 1, 2, \dots, N) \quad (1.42)$$

Korrutame avaldised (1.39), (1.40), (1.41) kaalufunktsiooniga (1.42), integreerime üle piirkonna  $\Omega$  ja nõudes, et

$$\int_{\Omega} (\mathcal{L}(u) - b) v(x) d\Omega = \int_{\Omega} R v(x) d\Omega = 0 \quad (1.43)$$

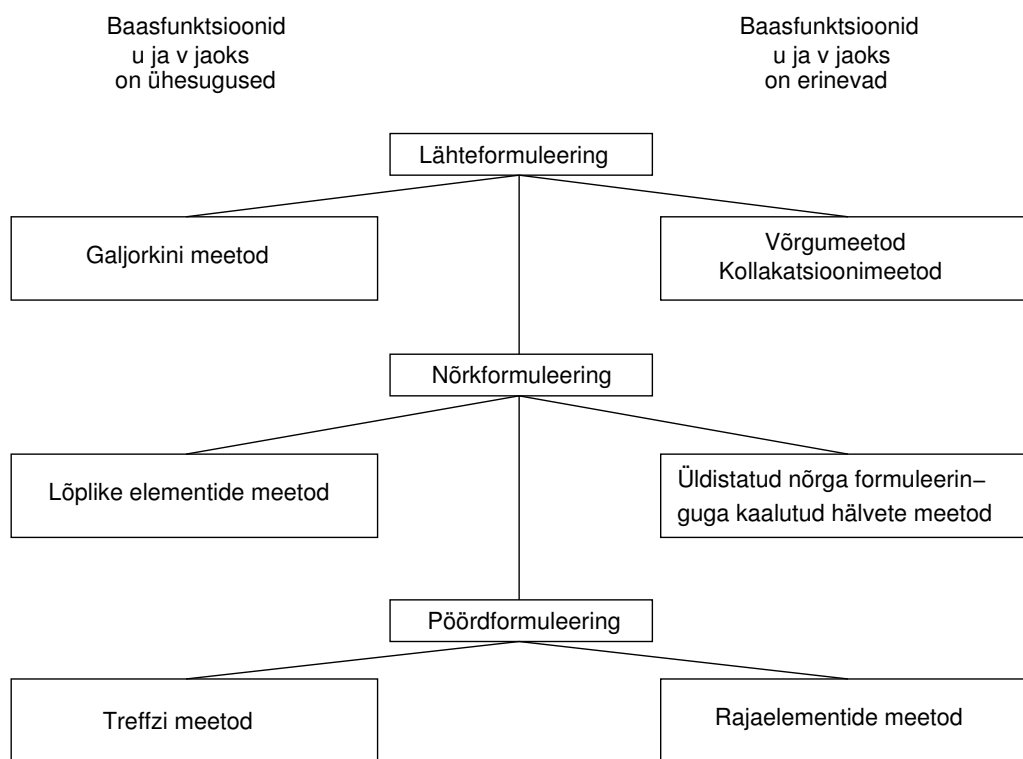
$$\int_{\Gamma_1} (\mathcal{O}(u) - \mathcal{O}_o) v(x) d\Gamma = \int_{\Gamma_1} R_1 v(x) d\Gamma = 0 \quad (1.44)$$

$$\int_{\Gamma_2} (\mathcal{S}(u) - \mathcal{S}_o) v(x) d\Gamma = \int_{\Gamma_2} R_2 v(x) d\Gamma = 0 \quad (1.45)$$

Sõltuvalt lähendfunktsiooni  $u(x) = \alpha_i \varphi_i(x)$  valikust eristatakse järgmisi formuleeringuid:

- $R_1 = 0, R_2 = 0$  – lähteformuleering
- $R_1 = 0$  – nõrkformuleering
- $R = 0$  – pöördformuleering

Sõltuvalt sellest, kas baasfunktsionid  $\varphi_i(x), \psi_i(x)$  on valitud ühesugused või erinevad klassifitseeritakse lahendusmeetodeid (joonis 1.4)



Joonis 1.4. Lõplike elementide meetodi koht

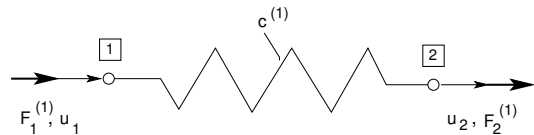


# Peatükk 2

## Elastne vedrusüsteem

### 2.1 Elastse vedru jäikusmaatriks

Vaatleme elastse vedru (joonis 2.1) tasakaalu. Vedru otste siirded on  $u_1$  ja  $u_2$ . Vedrule mõjuvad jõud  $F_1^{(1)}$  ja  $F_2^{(1)}$ . Vedru jäikus on  $c^{(1)}$ . Vedru otstes mõjuvate jõudude ja siirete



Joonis 2.1. Vedru

vahel on järgmine seos (2.1):

$$\begin{bmatrix} F_1^{(1)} \\ F_2^{(1)} \end{bmatrix} = \begin{bmatrix} k_{11} & k_{12} \\ k_{21} & k_{22} \end{bmatrix} \begin{bmatrix} u_1 \\ u_2 \end{bmatrix} \quad (2.1)$$

Kinnitame vedru sõlmpunktis [2] nii, et  $u_2 = 0$ . Võrrandist (2.1) saab järgmise seose (2.2):

$$F_1^{(1)} = k_{11}u_1 = c^{(1)}u_1 \quad (2.2)$$

Tasakaalutingimusest saame

$$F_2^{(1)} = -F_1^{(1)} = -c^{(1)}u_1, \quad k_{21} = -c^{(1)} \quad (2.3)$$

Kinnitame vedru sõlmpunktis [1] nii, et  $u_1 = 0$ . Võrrandist (2.1) saab järgneb seos (2.4):

$$F_1^{(2)} = k_{22}u_2 = c^{(1)}u_2 \quad (2.4)$$

Tasakaalutingimusest saame

$$F_1^{(1)} = -F_2^{(1)} = -c^{(1)}u_2, \quad k_{12} = -c^{(1)} \quad (2.5)$$

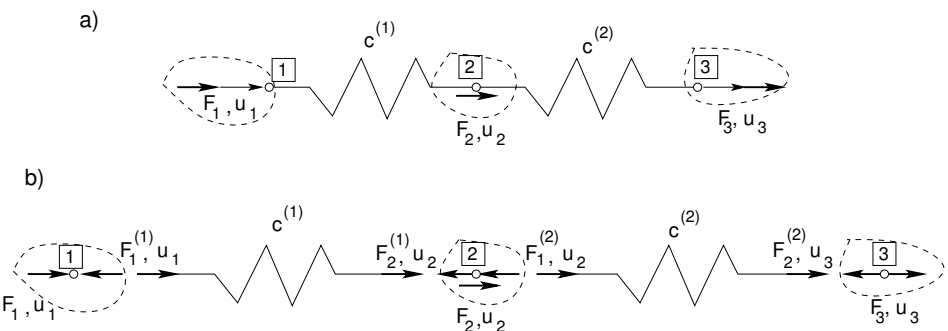
Nüüd võib avaldise (2.1) kirjutada kujule (2.6)

$$\begin{bmatrix} c^{(1)} & -c^{(1)} \\ -c^{(1)} & c^{(1)} \end{bmatrix} \begin{bmatrix} u_1 \\ u_2 \end{bmatrix} = \begin{bmatrix} F_1^{(1)} \\ F_2^{(1)} \end{bmatrix} \quad (2.6)$$

Tasakaaluvõrrandi (2.6) vasakul pool on vedru jäikusmaatriks.

## 2.2 Konstruktsiooni jäikusmaatriks

Vaatleme kahest vedrust (joonis 2.2 a)) koosnevat süsteemi, mis on koormatud kolme jõuga  $F_1, F_2, F_3$  sõlmpunktides  $\boxed{1}, \boxed{2}, \boxed{3}$ ,  $c^{(2)}$ . Eraldame sõlmed ja vedrud (joonis



Joonis 2.2. Vedrusüsteem

2.2 b)). Koostame sõlmede kohta tasakaalutingimused

$$\begin{aligned} F_1 &= F_1^{(1)} \\ F_2 &= F_2^{(1)} + F_1^{(2)} \\ F_3 &= F_2^{(2)} \end{aligned} \quad (2.7)$$

Vedru otste siirete ja otstes mõjuvate jõudude vahelised seosed võib kirjutada maatrikskujul

$$\begin{bmatrix} F_1^{(1)} \\ F_2^{(1)} \end{bmatrix} = \begin{bmatrix} c^{(1)} & -c^{(1)} \\ -c^{(1)} & c^{(1)} \end{bmatrix} \begin{bmatrix} u_1 \\ u_2 \end{bmatrix} \quad (2.8)$$

$$\begin{bmatrix} F_1^{(2)} \\ F_2^{(2)} \end{bmatrix} = \begin{bmatrix} c^{(2)} & -c^{(2)} \\ -c^{(2)} & c^{(2)} \end{bmatrix} \begin{bmatrix} u_2 \\ u_3 \end{bmatrix} \quad (2.9)$$

Seose (2.8) ja (2.9) paremal pool asetsevaid maatrikseid nimetatakse vedru jäikusmaatrisiks.

Asetades seoed (2.8) ja (2.9) võrrandisüsteemi (2.7), saame

$$\begin{bmatrix} F_1 \\ F_2 \\ F_3 \end{bmatrix} = \begin{bmatrix} c^{(1)} & -c^{(1)} & 0 \\ -c^{(1)} & c^{(1)} + c^{(2)} & -c^{(2)} \\ 0 & -c^{(2)} & c^{(2)} \end{bmatrix} \begin{bmatrix} u_1 \\ u_2 \\ u_3 \end{bmatrix} \quad (2.10)$$

Võrrandisüsteemi (2.10) üldkuju

$$\begin{bmatrix} F_1 \\ F_2 \\ F_3 \end{bmatrix} = \begin{bmatrix} k_{11} & k_{12} & k_{13} \\ k_{21} & k_{22} & k_{23} \\ k_{31} & k_{32} & k_{33} \end{bmatrix} \begin{bmatrix} u_1 \\ u_2 \\ u_3 \end{bmatrix} \quad (2.11)$$

Võrrandisüsteemi (2.11) paremal pool asetsevat maatriksit nimetatakse konstruktsiooni jäikusmaatriksiks. . Vaatleme võrrandisüsteemi (2.11) koostamiseks vajalikke tabeleid. Esmalt kirjeldame vedrusüsteemi elementide asetust (tabel 2.1). Seejärel koostame

Tabel 2.1. Vedrusüsteemi topoloogia

Vedru nr	Algus	Lõpp
(1)	1	2
(2)	2	3

elementide indekstabelid (tabel 2.2), mis annavad üldise jäikusmaatriksi aadressid (tabel 2.3). Indekstabelite alusel kantakse elementide jäikusmaatriksid konstruktsiooni

Tabel 2.2. Elementide indekstabelid

Element nr 1		Element nr 2	
Sõlm	1	2	3
1	11	12	22
2	21	22	32

Tabel 2.3. Konstruktsiooni jäikusmaatriksi aadressid

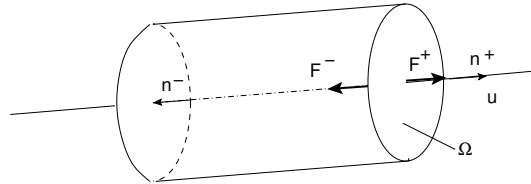
Sõlm nr	1	2	3
1	11	12	13
2	21	22	23
3	31	32	33

jäikusmaatriksisse

$$\begin{bmatrix} F_1 \\ F_2 \\ F_3 \end{bmatrix} = \begin{bmatrix} k_{11}^{(1)} & k_{12}^{(1)} & 0 \\ k_{21}^{(1)} & k_{22}^{(1)} + k_{11}^{(2)} & k_{23}^{(2)} \\ 0 & k_{32}^{(2)} & k_{33}^{(2)} \end{bmatrix} \begin{bmatrix} u_1 \\ u_2 \\ u_3 \end{bmatrix} \quad (2.12)$$

## 2.3 Elastse vedru võimalik töö

Vaatleme elastse vedru sisejõudude tööd. Vedru otsa ristlõikes  $\Omega$  mõjuvad jõud  $F^+$  ja  $F^-$  (joonis 2.3), mis on võrdsed ja vastupidi suunatud. Olgu välispind pinnanormaaliga  $n^+$  ja sisepind pinnanormaaliga  $n^-$ . Siis on välispinnal mõjuv jõud  $F^+$  rajajõud ja



Joonis 2.3. Sisejõu töö

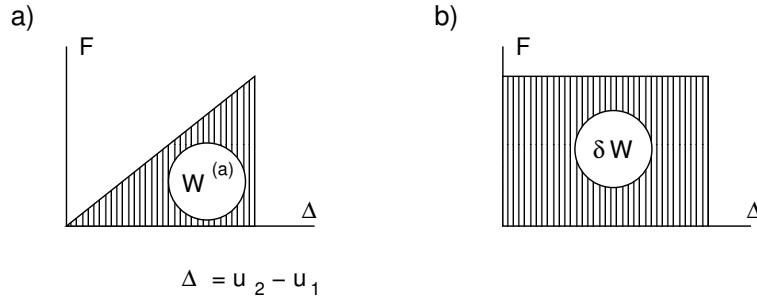
sisepinnal mõjuv jõud  $F^-$  sisejõud. Ristlõike ciiret tähistab  $u$ . Rajajõu  $F^+$  töö  $W_r$  siirdel  $u$  on

$$W_r = F^+ * u \quad (2.13)$$

Sisejõu  $F^-$  töö  $W_s$  siirdel  $u$  on

$$W_s = -F^- * u \quad (2.14)$$

Eristatakse aktiivtööd  $W^{(a)}$  ja pasiivtööd  $W^{(p)}$ . Aktiivtöö jõud teevad tööd nende endi põhjustatud siiretel (joonis 2.4 a). Pasiivtöö puhul on jõudude töö võimalikel siiretel (neid siirdeid ei kutsu esile vaadeldavad jõud) (joonis 2.4 b).



Joonis 2.4. Võimalik töö

Oldu vedru otste siirded  $u_1$ ,  $u_2$  ja vedru pikenemine  $\Delta$

$$\Delta = u_2 - u_1 \quad (2.15)$$

Võimalik sisejõudude töö  $\delta W \equiv W^{(p)}$  on

$$\delta W_s = -F (\delta \Delta) = -F (\delta u_2 - \delta u_1) \quad (2.16)$$

Arvestades jõu  $F$  ja vdru pikenemise  $\Delta$  vahelist seost

$$F = c * \Delta = c * (u_2 - u_1) \quad (2.17)$$

saame

$$\delta W_s = -c * (u_2 - u_1) (\delta \Delta) = -[\delta u_1 (c \delta u_1 - c \delta u_2) + \delta u_2 (c \delta u_2 - c \delta u_1)] \quad (2.18)$$

Avaldise (2.18) võib kirjutada maatrikskujul

$$\delta W_s = -\begin{bmatrix} \delta u_1 & \delta u_2 \end{bmatrix} \begin{bmatrix} c & -c \\ -c & c \end{bmatrix} \begin{bmatrix} u_1 \\ u_2 \end{bmatrix} \quad (2.19)$$

Võimalik välisjõudude töö  $\delta W_v$  on

$$\delta W_v = -\begin{bmatrix} \delta u_1 & \delta u_2 \end{bmatrix} \begin{bmatrix} F_1 \\ F_2 \end{bmatrix} \quad (2.20)$$

Energia teoreemi põhjal on välisjõudude töö  $W_v$  ja sisejõudude töö  $W_s$  summa null

$$\delta W_v + \delta W_s = 0 \quad (2.21)$$

Arvestades välisjõudude võimalikku tööd (2.20) ja sisejõudude võimalikku tööd (2.19), saame

$$\begin{bmatrix} \delta u_1 & \delta u_2 \end{bmatrix} \begin{bmatrix} F_1 \\ F_2 \end{bmatrix} = \begin{bmatrix} \delta u_1 & \delta u_2 \end{bmatrix} \begin{bmatrix} c & -c \\ -c & c \end{bmatrix} \begin{bmatrix} u_1 \\ u_2 \end{bmatrix} \quad (2.22)$$

Avaldise (2.22) võib esitada ka lühemalt indekskujul

$$\delta u_i * F_i = \delta u_i * k_{ij} * u_j \quad (i, j = 1, 2) \quad (2.23)$$

siin  $k_{ij}$  on jäikusmaatriksi  $\mathbf{k}$  elemendid

$$\mathbf{k} = \begin{bmatrix} c & -c \\ -c & c \end{bmatrix} \quad (2.24)$$

Jättes ära võrrandisüsteemis (2.22)  $\delta u_1$  ja  $\delta u_2$ , saame tasakaaluvõrrandi

$$\begin{bmatrix} F_1 \\ F_2 \end{bmatrix} = \begin{bmatrix} c & -c \\ -c & c \end{bmatrix} \begin{bmatrix} u_1 \\ u_2 \end{bmatrix} \quad (2.25)$$

või indekskujul

$$F_i = k_{ij} * u_j \quad (i, j = 1, 2) \quad (2.26)$$

## 2.4 Võrrandisüsteemi lahendamine

Vaatleme võrrandisüsteemi (2.27) lahendamist

$$\begin{bmatrix} c^{(1)} & -c^{(1)} & 0 \\ -c^{(1)} & c^{(1)} + c^{(2)} & -c^{(2)} \\ 0 & -c^{(2)} & c^{(2)} \end{bmatrix} \begin{bmatrix} u_1 \\ u_2 \\ u_3 \end{bmatrix} = \begin{bmatrix} F_1 \\ F_2 \\ F_3 \end{bmatrix} \quad (2.27)$$

mille maatrikskuju on

$$\mathbf{K}\mathbf{u} = \mathbf{F} \quad (2.28)$$

Võrrandisüsteemi (2.27) determinant

$$\det K = 0 \quad (2.29)$$

Determinandi null on tingitud sellest, et vedrusüsteemil (joonis 2.2) ei ole kirjeldatud rajatingimusi.

Kinnitame vedrusüsteemi sõlmpunktis  $\boxed{1}$  ( $u_1 = 0$ ), siis võrrandisüsteemi

$$\begin{bmatrix} c^{(1)} & \vdots & -c^{(1)} & 0 \\ \dots & \dots & \dots & \dots \\ -c^{(1)} & \vdots & c^{(1)} + c^{(2)} & -c^{(2)} \\ 0 & -c^{(2)} & \vdots & c^{(2)} \end{bmatrix} \begin{bmatrix} u_1 = 0 \\ u_2 \\ u_3 \end{bmatrix} = \begin{bmatrix} F_1 \\ \dots \\ F_2 \\ F_3 \end{bmatrix} \quad (2.30)$$

Tundmatuteks on  $u_2$ ,  $u_3$  ja  $F_1$ . Leiame esmalt  $u_2$  ja  $u_3$  võrrandisüsteemi (2.30) kahest viimasest võrrandist

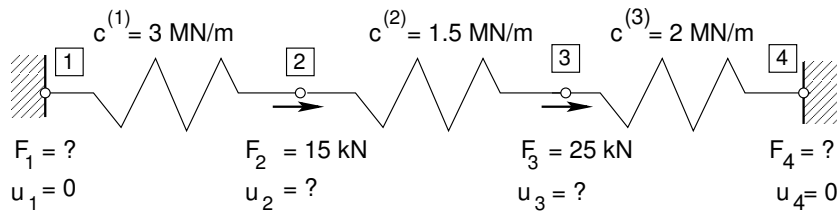
$$\begin{bmatrix} c^{(1)} + c^{(2)} & -c^{(2)} \\ -c^{(2)} & c^{(2)} \end{bmatrix} \begin{bmatrix} u_2 \\ u_3 \end{bmatrix} = \begin{bmatrix} F_2 \\ F_3 \end{bmatrix} \quad (2.31)$$

Võrrandisüsteemi (2.30) esimesest võrrandist (2.32)

$$\begin{bmatrix} -c^{(1)} & 0 \end{bmatrix} \begin{bmatrix} u_2 \\ u_3 \end{bmatrix} = \begin{bmatrix} F_1 \end{bmatrix} \quad (2.32)$$

arvutame tundmatu  $F_1$  leitud  $u_2$  ja  $u_3$  abil.

**Näide 2.1** Leida joonisel 2.5 näidatud vedrusüsteemi tooreaktsioonid  $F_1$ ,  $F_2$  ja sõlmpunktid  $\boxed{2}$ ,  $\boxed{3}$  siirded  $u_2$ ,  $u_3$ . Vedrusüsteem on koormatud jõududega  $F_2 = 15 \text{ kN}$  ja  $F_3 = 25 \text{ kN}$ . Vedrude jäikused on  $c^{(1)} = 3 \text{ MN/m}$  ja  $c^{(2)} = 1.5 \text{ MN/m}$  ja  $c^{(3)} = 2 \text{ MN/m}$ .



Joonis 2.5. Vedrusüsteemi arvutusskeem

Vedrusüsteemi taskaaluvõrrand on

$$\begin{bmatrix} K_{11} & \vdots & K_{12} & K_{13} & \vdots & K_{14} \\ \dots & \dots & \dots & \dots & \dots & \dots \\ K_{21} & \vdots & K_{22} & K_{23} & \vdots & K_{24} \\ K_{31} & \vdots & K_{32} & K_{33} & \vdots & K_{34} \\ \dots & \dots & \dots & \dots & \dots & \dots \\ K_{41} & \vdots & K_{42} & K_{43} & \vdots & K_{44} \end{bmatrix} \begin{bmatrix} u_1 = 0 \\ u_2 \\ u_3 \\ u_4 = 0 \end{bmatrix} = \begin{bmatrix} F_1 \\ \dots \\ F_2 \\ F_3 \\ \dots \\ F_4 \end{bmatrix} \quad (2.33)$$

Jäikusmaatriksi (2.33) koostamiseks kirjeldame süsteemi topoloogiat (tabel 2.4). Koostame

Tabel 2.4. Süsteemi topoloogia

Vedru nr	Algus	Lõpp
(1)	1	2
(2)	2	3
(3)	3	4

elementide indekstabelid (tabel 2.5) ja elementide jäikusmaatriksid (tabel 2.6) Tabelist 2.5

Tabel 2.5. Vedrude indekstabelid

Element nr 1			Element nr 2			Element nr 3		
Sõlm	1	2	Sõlm	2	3	Sõlm	3	4
1	11	12	2	22	23	3	33	34
2	21	22	3	32	33	4	43	44

Tabel 2.6. Vedrude jäikusmaatriksid

Element nr 1			Element nr 2			Element nr 3		
Sõlm	1	2	Sõlm	2	3	Sõlm	3	4
1	3.0	-3.0	2	1.5	-1.5	3	2.0	-2.0
2	-3.0	3.0	3	-1.5	1.5	4	-2.0	2.0

näeme, millistele aadressidele tuleb kanda elementide jäikusmaatriksi elemendid (tabel 2.6). Konstruktsiooni jäikusmaatriksi elemendid on

$$\begin{aligned}
 K_{11} &= k_{11}^{(1)} = 3.0 \text{ MN/m} \\
 K_{12} &= k_{12}^{(1)} = -3.0 \text{ MN/m} \\
 K_{13} &= 0 \\
 K_{14} &= 0 \\
 K_{22} &= k_{22}^{(1)} + k_{11}^{(2)} = 3.0 + 1.5 = 4.5 \text{ MN/m} \\
 K_{23} &= k_{12}^{(2)} = -1.5 \text{ MN/m} \\
 K_{24} &= 0 \\
 K_{33} &= k_{22}^{(2)} + k_{11}^{(3)} = 1.5 + 2.0 = 3.5 \text{ MN/m} \\
 K_{34} &= k_{12}^{(3)} = -2.0 \text{ MN/m} \\
 K_{44} &= k_{22}^{(3)} = 3.0 \text{ MN/m}
 \end{aligned} \tag{2.34}$$

Jäikusmaatriks  $\mathbf{K}$  on sümmeetriline ( $K_{ij} = K_{ji}$ ).

Esmalt koostame tasakaaluvõrrandisüsteemi (2.33) teise ja kolmanda võrrandi

$$\begin{bmatrix} K_{22} & K_{23} \\ K_{32} & K_{33} \end{bmatrix} \begin{bmatrix} u_2 \\ u_3 \end{bmatrix} = \begin{bmatrix} F_2 \\ F_3 \end{bmatrix} \tag{2.35}$$

Võrrandisüsteemi (2.35) arvuline kuju

$$\begin{bmatrix} 4.5 & -1.5 \\ -1.5 & 3.5 \end{bmatrix} \begin{bmatrix} u_2 \\ u_3 \end{bmatrix} = \begin{bmatrix} 15 \cdot 10^{-3} \\ 25 \cdot 10^{-3} \end{bmatrix} \quad (2.36)$$

Võrrandisüsteemi (2.36) determinant

$$\det K_2 = 13.5 \text{ MN}^2/\text{m}^2 \quad (2.37)$$

Võrrandisüsteemi (2.35) lahendiks saame

$$\mathbf{u} = \mathbf{K}_2^{-1} \mathbf{F} \quad (2.38)$$

kus  $\mathbf{K}_2^{-1}$  on maatriksi  $\mathbf{K}_2$  (2.35) pöördmaatriks

$$\mathbf{K}_2^{-1} = \frac{1}{\det K_2} \begin{bmatrix} K_{33} & -K_{23} \\ -K_{32} & K_{22} \end{bmatrix} = \frac{1}{13.5} \begin{bmatrix} 3.5 & 1.5 \\ 1.5 & 4.5 \end{bmatrix} \quad (2.39)$$

Võrrandisüsteemi (2.36) lahendiks saame

$$\begin{bmatrix} u_2 \\ u_3 \end{bmatrix} = \frac{1}{13.5} \begin{bmatrix} 3.5 & 1.5 \\ 1.5 & 4.5 \end{bmatrix} \begin{bmatrix} 15 \cdot 10^{-3} \\ 25 \cdot 10^{-3} \end{bmatrix} = \begin{bmatrix} 6.666\dots \cdot 10^{-3} \\ 1.0 \cdot 10^{-2} \end{bmatrix} \text{ m} \quad (2.40)$$

Tasakaaluvõrrandisüsteemi (2.33) esimesest ja neljandast võrrandist saame

$$\begin{aligned} \begin{bmatrix} F_1 \\ F_4 \end{bmatrix} &= \begin{bmatrix} K_{12} & K_{13} \\ K_{42} & K_{43} \end{bmatrix} \begin{bmatrix} u_2 \\ u_3 \end{bmatrix} = \\ &= \begin{bmatrix} -3.2 & 0.0 \\ 0.0 & -2.0 \end{bmatrix} \begin{bmatrix} 6.666\dots \cdot 10^{-3} \\ 1.0 \cdot 10^{-2} \end{bmatrix} = \begin{bmatrix} -20.0 \\ -20.0 \end{bmatrix} \text{ kN} \end{aligned} \quad (2.41)$$

Kontrollime vedrusüsteemi tasakaalu

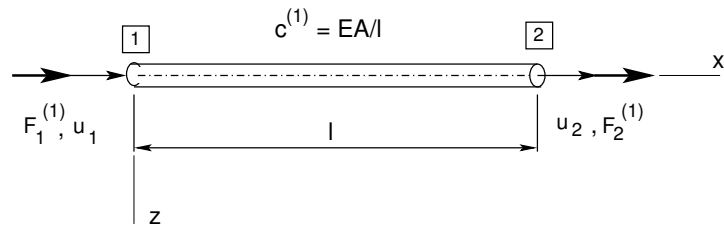
$$F_1 + F_2 + F_3 + F_4 = -20.0 + 15.0 + 25.0 - 20.0 = 0 \quad (2.42)$$

# Peatükk 3

## Varraskonstruktsioonid

### 3.1 Varda pikke jäikusmaatriks

Vaatleme varda elementi (joonis 3.1) pillusega  $l$  ja jäikusega  $c^{(1)} = \frac{EA}{l}$ . Varda teljega



Joonis 3.1. Varda element

seome kohalikud koordinaadid  $x^*$  ja  $z^*$ . Kohalikes koordinaatides varda jäikusmaatriksi ja tasakaaluvõrandi saame sarnaselt vedru tasakaaluvõrrandile (2.6). Varda tasakaaluvõrand on

$$\frac{EA}{l} \begin{bmatrix} 1 & -1 \\ -1 & 1 \end{bmatrix} \begin{bmatrix} u_1 \\ u_2 \end{bmatrix} = \begin{bmatrix} F_1^{(1)} \\ F_2^{(1)} \end{bmatrix} \quad (3.1)$$

ehk maatrikskujul

$$\mathbf{K}\mathbf{u} = \mathbf{F} \quad (3.2)$$

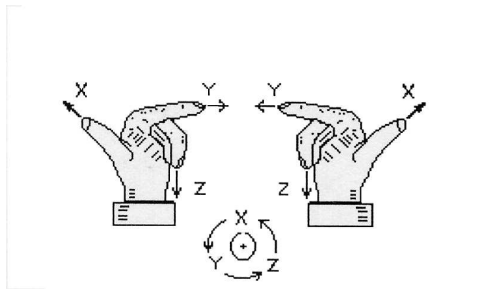
kus varda jäikusmaatriks  $\mathbf{K}$

$$\mathbf{K} = \frac{EA}{l} \begin{bmatrix} 1 & -1 \\ -1 & 1 \end{bmatrix} \quad (3.3)$$

### 3.2 Kohalik ja üldteljestik

Varraskonstruktsiooni iga vardaga seostatakse teljestik nii, et  $x$ -telg ühtib varda teljega (vt joonis 3.4, teljed  $x^*$  ja  $z^*$ ). Nimetame neid kohalikeks teljestikeks. Konstruktsiooni

varraste asukoha ja nende suuna kirjeldamiseks kasutame üldteljestikku (teljed  $x$  ja  $z$ ). Kasutame ainult parema käe teljestikku (joonis 3.2). Vaadates telje positiivsest otsast, loeme pööret positiivseks  $z$ -teljest  $x$ -telje suunas,  $x$ -teljest  $y$ -telje suunas ja  $y$ -teljest  $z$ -telje suunas. Joonisel 3.2 on näidatud nii parema käe kui ka vasaku käe teljestik. Tasapinnaliste konstruktsioonide kirjeldamisel vaatame  $y$ -telje positiivsest otsast, nii näeme  $x$ - ja  $z$ -telje. Positiivne pöördenurk on  $z$ -teljest  $x$ -telje suunas. Parema käe teljestiku puhul on positiivne pööre vastupäeva. Vasaku käe teljestiku korral on positiivne pööre päripäeva. Siirete ja jõuvektorite kirjeldamiseks kohalikes ja üldkoordinaatides on vajalikud koordinaatide teisendused.

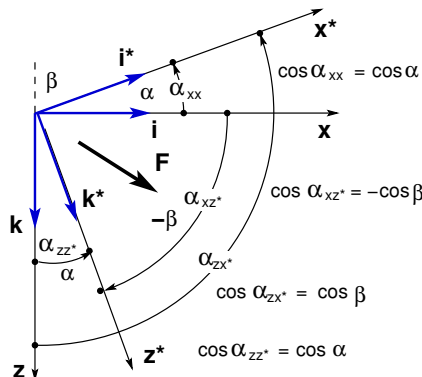


Joonisel 3.2 on näidatud positiivse pöördenurga suund. Vaadates telje positiivsest otsast, loeme pööret positiivseks  $z$ -teljest  $x$ -telje suunas,  $x$ -teljest  $y$ -telje suunas ja  $y$ -teljest  $z$ -telje suunas.

Joonis 3.2. Vasaku ja parema käe teljestik

Siirete ja jõuvektorite kirjeldamiseks kohalikes ja üldkoordinaatides tuleb koordinaat teisendada.

Koordinaatide teisendusvalemite tuletamiseks vaatleme joonist 3.3. Olgu koordinaatid  $xyz$  üldkoordinaadid ja  $x^*y^*z^*$  kohalikud koordinaadid. Vaatleme veel parema käe kolmikuid  $\mathbf{i}, \mathbf{j}, \mathbf{k}$  ja  $\mathbf{i}^*, \mathbf{j}^*, \mathbf{k}^*$ . Need on ühikvektorite kolmikud, mis määrvavad ära koordinaattelgede suunad. Joonisel 3.3 on ühikvektorid  $\mathbf{j}$  ja  $\mathbf{j}^*$  suunatud vaataja poole. Vektori



Joonis 3.3. Koordinaatide teisendus

$\vec{F}$  projektsioonid telgedele  $xz$  on  $F_x$ ,  $F_z$  ja telgedele  $x^*x^*$  on  $F_x^*$ ,  $F_z^*$ . Seega

$$\vec{F} = F_x \cdot \vec{\mathbf{i}} + F_z \cdot \vec{\mathbf{k}} = F_x^* \vec{\mathbf{i}}^* + F_z^* \vec{\mathbf{k}}^*, \quad \left\{ \begin{array}{l} \cdot \vec{\mathbf{i}}^* \\ \cdot \vec{\mathbf{k}}^* \end{array} \right., \quad \left\{ \begin{array}{l} \cdot \vec{\mathbf{i}} \\ \cdot \vec{\mathbf{k}} \end{array} \right. \quad (3.4)$$

Korrutame avaldise (3.4) vektoriga  $\vec{i}^*$  ja vektoriga  $\vec{k}^*$ . Võtame arvesse, et risti olevate vektorite skalaarkorrutis (*sisekorrutis*) on null. Saame

$$\begin{aligned}\vec{\mathbf{F}} \cdot \vec{i}^* &= F_x^* = F_x \cdot \vec{i} \cdot \vec{i}^* + F_z \cdot \vec{k} \cdot \vec{i}^* \\ \vec{\mathbf{F}} \cdot \vec{k}^* &= F_z^* = F_x \cdot \vec{i} \cdot \vec{k}^* + F_z \cdot \vec{k} \cdot \vec{k}^*\end{aligned}\quad (3.5)$$

Pöördseoste leidmiseks korrutame avaldist (3.4) vektoriga  $\vec{i}$  ja vektoriga  $\vec{k}$ . Pöördseosed on

$$\begin{aligned}\vec{\mathbf{F}} \cdot \vec{i} &= F_x = F_x^* \cdot \vec{i}^* \cdot \vec{i} + F_z^* \cdot \vec{k}^* \cdot \vec{i} \\ \vec{\mathbf{F}} \cdot \vec{k} &= F_z = F_x^* \cdot \vec{i}^* \cdot \vec{k} + F_z^* \cdot \vec{k}^* \cdot \vec{k}\end{aligned}\quad (3.6)$$

Ühikvektorite skalaarkorrutis võrdub nende positiivsete suundade vahelise nurga koosnusega

$$\begin{aligned}\vec{i} \cdot \vec{i}^* &= \vec{i}^* \cdot \vec{i} = \cos \alpha_{xx^*}, & \vec{i} \cdot \vec{k}^* &= \cos \alpha_{xz^*} \\ \vec{k} \cdot \vec{k}^* &= \vec{k}^* \cdot \vec{k} = \cos \alpha_{zz^*}, & \vec{i}^* \cdot \vec{k} &= \cos \alpha_{zx^*}\end{aligned}\quad (3.7)$$

Telje  $x^*$  suunakoosinused tähistame järgmiselt:  $\cos \alpha_{xx^*} = \cos \alpha$  ja  $\cos \alpha_{zx^*} = \cos \beta$  ( $\cos \beta = \cos(90^\circ + \alpha) = -\sin \alpha$ ). Jooniselt 3.3 näeme, et

$$\begin{aligned}\cos \alpha_{xx^*} &= \cos \alpha, & \cos \alpha_{zx^*} &= \cos \beta \\ \cos \alpha_{zz^*} &= \cos \alpha, & \cos \alpha_{xz^*} &= -\cos \beta\end{aligned}\quad (3.8)$$

Varda lõpu ja alguse koordinaatide (joonis 3.4)  $x_L, z_L, x_A, z_A$  järgi saab need suunakoosinused arvutada

$$\cos \alpha = \frac{x_L - x_A}{l} \quad (3.9)$$

$$\cos \beta = \frac{z_L - z_A}{l} \quad (3.10)$$

kus  $l$  on varda pikkus

$$l = \sqrt{(z_L - z_A)^2 + (x_L - x_A)^2} \quad (3.11)$$

Nüüd avaldame koordinaatteisendused järgmiselt:

$$\begin{bmatrix} F_x^* \\ F_z^* \end{bmatrix} = \begin{bmatrix} \cos \alpha & \cos \beta \\ -\cos \beta & \cos \alpha \end{bmatrix} \begin{bmatrix} F_x \\ F_z \end{bmatrix} \quad (3.12)$$

$$\begin{bmatrix} F_x \\ F_z \end{bmatrix} = \begin{bmatrix} \cos \alpha & -\cos \beta \\ \cos \beta & \cos \alpha \end{bmatrix} \begin{bmatrix} F_x^* \\ F_z^* \end{bmatrix} \quad (3.13)$$

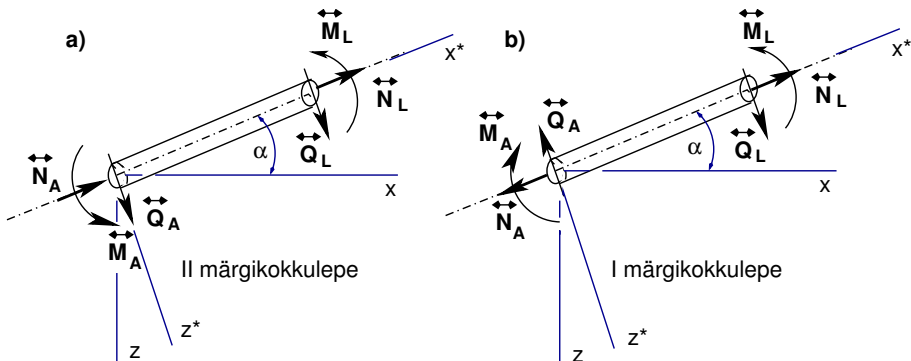
Võrreldes avaldistes (3.12) ja (3.13) koordinaatide teisendusmaatrikseid, näeme, et nendes on read ja veerud ära vahetatud, s.t ühe saab teisest *transponeerimisel*. Asendades võrrandis (3.12)  $F_x$  ja  $F_z$  nende avaldistega võrrandis (3.13), saame maatrikskorrutise

$$\begin{bmatrix} \cos \alpha & \cos \beta \\ -\cos \beta & \cos \alpha \end{bmatrix} \begin{bmatrix} \cos \alpha & -\cos \beta \\ \cos \beta & \cos \alpha \end{bmatrix} = \begin{bmatrix} 1 & 0 \\ 0 & 1 \end{bmatrix} \quad (3.14)$$

Siin annab maatriksi korrutamine tema transponeeritud kujuga ühikmaatriksi. Selliseid maatrikseid nimetatakse *ortogonaalseteks maatriksiteks*. Nendel on hea omadus, et pöördmaatriks võrdub tema transponeeritud kujuga (mõlemal juhul on korritiseks ühikmaatriks).

### 3.3 Jäikusmaatriks üldkoordinaatides

Rajajõudude (kontaktjõudude) positiivse suuna määramisel on kasutusel kaks märgikokkulepet (joonis 3.4, kus on kasutusel parema käe teljestik, vt joonis 3.2). *Esimene*



Joonis 3.4. Märgikokkulepped

*märgikokkulepe* (joonis 3.4 b) on tuttav tehnilisest mehaanikast. *Teine märgikokkulepe* (joonis 3.4 a) on vajalik varrassüsteemide tasakaaluvõrandite algoritmide koostamiseks.

Võrreldes I märgikokkulepet II märgikokkuleppega, näeme, et varda lõpus olevad rajajõudude (kontaktjõudude) suunad langevad kokku. Varda alguses on rajajõudude suunad vastasmärgilised. *Sisejõude* leitakse rajajõudude kaudu. Sisejõudude märgid ei tohi sõltuda rajajõudude märgikokkuleppest.

Sisejõudude märgireeglid on raamatus [MR96] lk 35 „Tõmbejõu loeme positiivseks”, „Survejõu loeme negatiivseks”; lk 45 „Pöikjõu range märgireegel: positiivseks loeme pöikjõudu, mis *positiivset sisepinda* nihutab koordinaattelje positiivses suunas või *negatiivset sisepinda* koordinaattelje negatiivses suunas”, „Pöikjõu märgi töoreegel: positiivseks loeme pöikjõudu, mis nihutab *positiivset sisepinda* päripäeva”; lk 43 „Paindemomendi loeme positiivseks, kui varda positiivsed kiud on tõmmatud”.

Tehnilises mehaanikas (tugevusõpetuses) langevad sisejõudude märgireeglid ja rajajõudude (kontaktjõudude) märgireeglid (I märgikokkulepe) kokku. Kasutades II mär-

gikokkulepet, tuleb sisejõudude märgi määramisel rajajõudude (kontaktjõudude) kaudu varda alguses arvestada nende erinevaid märke. Rõhutame, et sisejõud on varda *sisepinnal* ja rajajõud (kontaktjõud) mõjuvad varda *välispinnal*. Lisame varda tasakaaluvõranditele (3.1) kohalikes koordinaatides tühjad read, mis vastavad  $Z^*$  koordinaadile

$$\frac{EA}{l} \begin{bmatrix} 1 & 0 & -1 & 0 \\ 0 & 0 & 0 & 0 \\ -1 & 0 & 1 & 0 \\ 0 & 0 & 0 & 0 \end{bmatrix} \begin{bmatrix} u_1^* \\ v_1^* \\ u_2^* \\ v_2^* \end{bmatrix} = \begin{bmatrix} F_{x1}^* \\ F_{z1}^* \\ F_{x2}^* \\ F_{z2}^* \end{bmatrix} \quad (3.15)$$

ehk maatrikskujul

$$\mathbf{K}^* \mathbf{u}^* = \mathbf{F}^* \quad (3.16)$$

Teisendame jõud üldkoordinaatidest kohalikesse koordinaatidesse

$$\begin{bmatrix} F_{x1}^* \\ F_{z1}^* \\ F_{x2}^* \\ F_{z2}^* \end{bmatrix} = \begin{bmatrix} \cos \alpha & \cos \beta & 0 & 0 \\ -\cos \beta & \cos \alpha & 0 & 0 \\ 0 & 0 & \cos \alpha & \cos \beta \\ 0 & 0 & -\cos \beta & \cos \alpha \end{bmatrix} \begin{bmatrix} F_{x1} \\ F_{z1} \\ F_{x2} \\ F_{z2} \end{bmatrix} \quad (3.17)$$

ehk maatrikskujul

$$\mathbf{F}^* = \mathbf{T} \mathbf{F} \quad (3.18)$$

siin on  $\mathbf{T}$  pikkele tööava varda teisendusmaatriks

$$\mathbf{T} = \begin{bmatrix} \cos \alpha & \cos \beta & 0 & 0 \\ -\cos \beta & \cos \alpha & 0 & 0 \\ 0 & 0 & \cos \alpha & \cos \beta \\ 0 & 0 & -\cos \beta & \cos \alpha \end{bmatrix} \quad (3.19)$$

Teisendusmaatriksi  $\mathbf{T}$  abil avaldame siirded kohalikes koordinaatides  $\mathbf{d}^*$ , siirete kaudu üldkoordinaatides  $\mathbf{d}$

$$\mathbf{d}^* = \mathbf{T} \mathbf{d} \quad (3.20)$$

Teisendusmaatriks (3.19) on ortogonaalne, s.o

$$\mathbf{T}^{(-1)} = \mathbf{T}^{(T)} \quad (3.21)$$

kus

$\mathbf{T}^{(-1)}$  – maatriksi  $\mathbf{T}$  pöördmaatriks

$\mathbf{T}^{(T)}$  – transponeeritud maatriks

Teisenduste (3.18), (3.20) pöördteisendused on

$$\mathbf{F} = \mathbf{T}^T \mathbf{F}^* \quad (3.22)$$

$$\mathbf{d} = \mathbf{T}^T \mathbf{d}^* \quad (3.23)$$

Jäikusmaatriksi  $\mathbf{K}$  üldkoordinaatides saame avaldiste (3.22), (3.16) ja (3.20) abil

$$\mathbf{F} = \mathbf{T}^T \mathbf{F}^* = \mathbf{T}^T \mathbf{K}^* \mathbf{d}^* = \underbrace{\mathbf{T}^T \mathbf{K}^* \mathbf{T}}_{\mathbf{K}} \mathbf{d} \quad (3.24)$$

kus

$\mathbf{T}^T \mathbf{K}^* \mathbf{T}$  on jäikusmaatriks  $\mathbf{K}$  üldkoordinaatides

$$\mathbf{K} = \mathbf{T}^T \mathbf{K}^* \mathbf{T} \quad (3.25)$$

Teostame maatriksi  $\mathbf{T}^T$  ja maatriksi  $\mathbf{K}^*$  korrutamise, tähistades  $c = \cos \alpha$ ,  $s = \sin \alpha$ . Korrutise elementideks on maatriksi  $\mathbf{T}^T$  i-nda rea ja maatriksi  $\mathbf{K}^*$  j-nda veeru vastavate elementide korrutiste summad

$$\begin{aligned} \frac{EA}{l} \begin{bmatrix} 1 & 0 & -1 & 0 \\ 0 & 0 & 0 & 0 \\ -1 & 0 & 1 & 0 \\ 0 & 0 & 0 & 0 \end{bmatrix} &= \mathbf{K}^* \\ \mathbf{T}^T = \begin{bmatrix} c & -s & 0 & 0 \\ s & c & 0 & 0 \\ 0 & 0 & c & -s \\ 0 & 0 & s & c \end{bmatrix}; \frac{EA}{l} \begin{bmatrix} c & 0 & -c & 0 \\ s & 0 & -s & 0 \\ -c & 0 & c & 0 \\ -s & 0 & s & 0 \end{bmatrix} &= \mathbf{T}^T \mathbf{K}^* \end{aligned} \quad (3.26)$$

Korrutame saadud tulemust  $\mathbf{T}^T \mathbf{K}^*$  teisendusmaatriksiga  $\mathbf{T}$

$$\begin{aligned} \begin{bmatrix} c & s & 0 & 0 \\ -s & c & 0 & 0 \\ 0 & 0 & c & s \\ 0 & 0 & -s & c \end{bmatrix} &= \mathbf{T} \\ \mathbf{T}^T \mathbf{K}^* = \frac{EA}{l} \begin{bmatrix} c & 0 & -c & 0 \\ s & 0 & -s & 0 \\ -c & 0 & c & 0 \\ -s & 0 & s & 0 \end{bmatrix}; \frac{EA}{l} \begin{bmatrix} c^2 & cs & -c^2 & -cs \\ cs & s^2 & -cs & -s^2 \\ -c^2 & -cs & c^2 & cs \\ -cs & -s^2 & cs & s^2 \end{bmatrix} &= \mathbf{K} \end{aligned} \quad (3.27)$$

Varda elemendi jäikusmaatriks üldkoordinaatides

$$\mathbf{K} = \frac{EA}{l} \begin{bmatrix} c^2 & cs & \vdots & -c^2 & -cs \\ cs & s^2 & \vdots & -cs & -s^2 \\ -c^2 & -cs & \vdots & c^2 & cs \\ -cs & -s^2 & \vdots & cs & s^2 \end{bmatrix} \quad (3.28)$$

Saadud jäikusmaatriksi esitame alammaatriksi  $\mathbf{k}$

$$\mathbf{k} = \frac{EA}{l} \begin{bmatrix} c^2 & cs \\ cs & s^2 \end{bmatrix} \quad (3.29)$$

kaudu

$$\mathbf{K} = \begin{bmatrix} \mathbf{k} & -\mathbf{k} \\ -\mathbf{k} & \mathbf{k} \end{bmatrix} \quad (3.30)$$

## 3.4 Elemendis mōjuv pikkejōud

Tasakaaluvõrrandisüsteemi lahendamise tulemusel saadakse sõlmpunktide siirded  $u_1, v_1, u_2, v_2$ . Varda elemendis tuleb leida sisejōud. Sisejōoudude leidmiseks vaatleme varda tasakaaluvõrandit kohalikes koordinaatides (3.16)

$$\mathbf{F}^* = \mathbf{K}^* \mathbf{d}^* = \mathbf{K}^* \mathbf{T} \mathbf{d} \quad (3.31)$$

Korrutise  $\mathbf{F}^* \mathbf{T}$  saame järgmiselt

$$\begin{aligned} & \begin{bmatrix} c & s & 0 & 0 \\ -s & c & 0 & 0 \\ 0 & 0 & c & s \\ 0 & 0 & -s & c \end{bmatrix} = \mathbf{T} \\ & \mathbf{K}^* = \frac{EA}{l} \begin{bmatrix} 1 & 0 & -1 & 0 \\ 0 & 0 & 0 & 0 \\ -1 & 0 & 1 & 0 \\ 0 & 0 & 0 & 0 \end{bmatrix}; \frac{EA}{l} \begin{bmatrix} c & s & -c & -s \\ 0 & 0 & 0 & 0 \\ -c & -s & c & s \\ 0 & 0 & 0 & 0 \end{bmatrix} = \mathbf{K}^* \mathbf{T} \quad (3.32) \end{aligned}$$

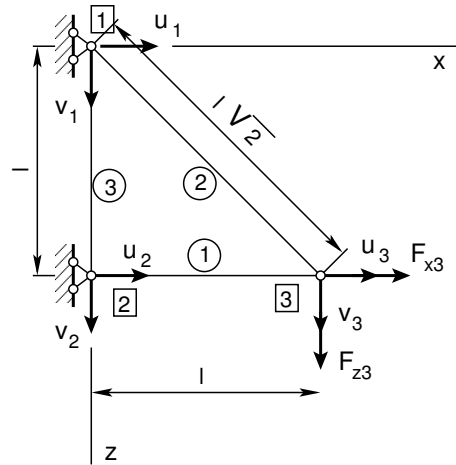
võrrandist (3.31) saame korrutise (3.32) abil

$$\begin{bmatrix} F_{x1}^* \\ F_{x2}^* \end{bmatrix} = \frac{EA}{l} \begin{bmatrix} c & s & -c & -s \\ -c & -s & c & s \end{bmatrix} \begin{bmatrix} u_1 \\ v_1 \\ u_2 \\ v_2 \end{bmatrix} \quad (3.33)$$

Arvestades, et varda lõpus olev rajajõu märk langeb kokku sisejõu märgiga, saame

$$N = [F_{x2}^*] = \frac{EA}{l} \begin{bmatrix} c & s & -c & -s \\ -c & -s & c & s \end{bmatrix} \begin{bmatrix} u_1 \\ v_1 \\ u_2 \\ v_2 \end{bmatrix} \quad (3.34)$$

**Näide 3.1** Leida varrassüsteemi (joonis 3.5) sõlmpunkti  $\boxed{3}$  siirded  $u_3$  ja  $v_3$ . Koormus  $F_{x3}$  ja  $F_{z3}$  on rakendatud sõlme  $\boxed{3}$ . Varraste  $\boxed{1}, \boxed{2}, \boxed{3}$  pikkused on  $l, l\sqrt{2}$  ja  $l$ .



Joonis 3.5. Varrassüsteemi arvutusskeem

Varrassüsteemi sõlmpunktide siirete vektor  $\mathbf{d}$  ja jõudude vektor  $\mathbf{F}$  on

$$\mathbf{d} = \begin{bmatrix} u_1 \\ v_1 \\ u_2 \\ v_2 \\ u_3 \\ v_3 \end{bmatrix}, \quad \mathbf{d} = \begin{bmatrix} F_{x1} \\ F_{z1} \\ F_{x2} \\ F_{z2} \\ F_{x3} \\ F_{z3} \end{bmatrix} \quad (3.35)$$

Jäikusmaatriksi  $\mathbf{K}_{ij}$  ( $i, j = 1, 2, \dots, 6$ ) koostamiseks kirjeldame süsteemi topoloogiat (tabel 3.1). Võttes arvesse varraste suunda (tabel 3.1), esitame varraste suunakoosinused tabelis (tabel

Tabel 3.1. Varrassüsteemi topoloogia

Varras nr	Algus	Lõpp
(1)	2	3
(2)	1	3
(3)	1	2

3.2). Koostame elementide indekstabelid (tabel 3.3) ja jäikusmaatriksid (tabel 3.4), Kus  $\mathbf{k}_{ij}^{(n)}$  on alammaatriksid (3.36), (3.37), (3.38), (vaata avaldist 3.29).

$$\begin{aligned} \mathbf{k}_{11}^{(1)} &= \mathbf{k}_{22}^{(1)} = \mathbf{k}^{(1)} = \frac{EA}{l} \begin{bmatrix} 1.0 & 0.0 \\ 0.0 & 0.0 \end{bmatrix} \\ \mathbf{k}_{12}^{(1)} &= \mathbf{k}_{21}^{(1)} = -\mathbf{k}^{(1)} \end{aligned} \quad (3.36)$$

$$\begin{aligned} \mathbf{k}_{11}^{(2)} &= \mathbf{k}_{22}^{(2)} = \mathbf{k}^{(2)} = \frac{EA}{l} \begin{bmatrix} \frac{1}{2\sqrt{2}} & \frac{1}{2\sqrt{2}} \\ \frac{1}{2\sqrt{2}} & \frac{1}{2\sqrt{2}} \end{bmatrix} \\ \mathbf{k}_{12}^{(2)} &= \mathbf{k}_{21}^{(2)} = -\mathbf{k}^{(2)} \end{aligned} \quad (3.37)$$

Tabel 3.2. Varraste suunakoosinused

Varras nr	$\cos \alpha$ $c$	$\cos \beta$ $s$
(1)	1.0	0.0
(2)	$\frac{\sqrt{2}}{2}$	$\frac{\sqrt{2}}{2}$
(3)	0.0	1.0

Tabel 3.3. Varraste indekstabelid

Element nr 1			Element nr 2			Element nr 3		
Sõlm	2	3	Sõlm	1	3	Sõlm	1	2
2	22	23	1	11	13	1	11	12
3	32	33	3	31	33	2	21	22

Tabel 3.4. Varraste jäikusmaatriksid

Element nr 1			Element nr 2			Element nr 3		
Sõlm	2	3	Sõlm	1	3	Sõlm	1	2
2	$k_{11}^{(1)}$	$k_{12}^{(1)}$	1	$k_{11}^{(2)}$	$k_{12}^{(2)}$	1	$k_{11}^{(3)}$	$k_{12}^{(3)}$
3	$k_{21}^{(1)}$	$k_{22}^{(1)}$	3	$k_{21}^{(2)}$	$k_{22}^{(2)}$	2	$k_{21}^{(3)}$	$k_{22}^{(3)}$

$$\begin{aligned} k_{11}^{(3)} &= k_{22}^{(3)} = k^{(3)} = \frac{EA}{l} \begin{bmatrix} 0.0 & 0.0 \\ 0.0 & 1.0 \end{bmatrix} \\ k_{12}^{(3)} &= k_{21}^{(3)} = -k^{(3)} \end{aligned} \quad (3.38)$$

Koostame tasakaaluvõrrandite süsteemi alammaatriksite abil

$$\begin{bmatrix} k_{11}^{(2)} + k_{11}^{(3)} & \vdots & k_{12}^{(3)} & \vdots & k_{12}^{(2)} \\ \dots & \dots & \dots & \dots & \dots \\ k_{21}^{(3)} & \vdots & k_{11}^{(1)} + k_{22}^{(3)} & \vdots & k_{12}^{(1)} \\ \dots & \dots & \dots & \dots & \dots \\ k_{21}^{(2)} & \vdots & k_{21}^{(1)} & \vdots & k_{22}^{(1)} + k_{22}^{(2)} \end{bmatrix} \begin{bmatrix} u_1 = 0 \\ v_1 = 0 \\ \dots \\ u_2 = 0 \\ v_2 = 0 \\ \dots \\ u_3 \\ v_3 \end{bmatrix} = \begin{bmatrix} F_{x1} \\ F_{z1} \\ \dots \\ F_{x2} \\ F_{z2} \\ \dots \\ F_{x3} \\ F_{z3} \end{bmatrix} \quad (3.39)$$

Võrrandisüsteem (3.39) on sümmeetrisiline. Võttes arvesse alammaatriksite avaldised (3.36),

(3.37) ja (3.38), saame

$$\frac{EA}{l} \begin{bmatrix} \frac{1}{2\sqrt{2}} & \frac{1}{2\sqrt{2}} & 0 & 0 & -\frac{1}{2\sqrt{2}} & -\frac{1}{2\sqrt{2}} \\ \cdot & 1 + \frac{1}{2\sqrt{2}} & 0 & -1 & -\frac{1}{2\sqrt{2}} & -\frac{1}{2\sqrt{2}} \\ \cdot & \cdot & 1 + \frac{1}{2\sqrt{2}} & \frac{1}{2\sqrt{2}} & -1 & 0 \\ \cdot & \cdot & \cdot & \frac{1}{2\sqrt{2}} & 0 & 0 \\ \cdot & \cdot & \cdot & \cdot & 1 + \frac{1}{2\sqrt{2}} & \frac{1}{2\sqrt{2}} \\ \cdot & \cdot & \cdot & \cdot & \cdot & \frac{1}{2\sqrt{2}} \end{bmatrix} \begin{bmatrix} u_1 = 0 \\ v_1 = 0 \\ u_2 = 0 \\ v_2 = 0 \\ u_3 \\ v_3 \end{bmatrix} = \begin{bmatrix} F_{x1} \\ F_{z1} \\ F_{x2} \\ F_{z2} \\ F_{x3} \\ F_{z3} \end{bmatrix} \quad (3.40)$$

Siirded  $u_3, v_3$  leiame võrrandisüsteemi (3.40) kahest viimasest võrrandist

$$\frac{EA}{l} \begin{bmatrix} 1 + \frac{1}{2\sqrt{2}} & \frac{1}{2\sqrt{2}} \\ \frac{1}{2\sqrt{2}} & \frac{1}{2\sqrt{2}} \end{bmatrix} \begin{bmatrix} u_3 \\ v_3 \end{bmatrix} = \begin{bmatrix} F_{x3} \\ F_{z3} \end{bmatrix} \quad (3.41)$$

Võrrandisüsteemi (3.41) lahend on

$$\begin{bmatrix} u_3 \\ v_3 \end{bmatrix} = \frac{EA}{l} \begin{bmatrix} 1 & -1 \\ -1 & 1 + 2\sqrt{2} \end{bmatrix} \begin{bmatrix} F_{x3} \\ F_{z3} \end{bmatrix} \quad (3.42)$$

Jõud sõlmedes [1] ja [2] leiame võrrandisüsteemi (3.40) esimesest neljast võrrandist

$$\begin{bmatrix} F_{x1} \\ F_{z1} \\ F_{x2} \\ F_{z2} \end{bmatrix} = \frac{EA}{l} \begin{bmatrix} -\frac{1}{2\sqrt{2}} & -\frac{1}{2\sqrt{2}} \\ -\frac{1}{2\sqrt{2}} & -\frac{1}{2\sqrt{2}} \\ -1 & 0 \\ 0 & 0 \end{bmatrix} \begin{bmatrix} u_3 \\ v_3 \end{bmatrix} \quad (3.43)$$

Varda [1] sisejõud  $N_1$

$$N_1 = \frac{EA}{l} \begin{bmatrix} -c & -s & c & s \end{bmatrix} \begin{bmatrix} u_2 = 0 \\ v_2 = 0 \\ u_3 \\ v_3 \end{bmatrix} =$$

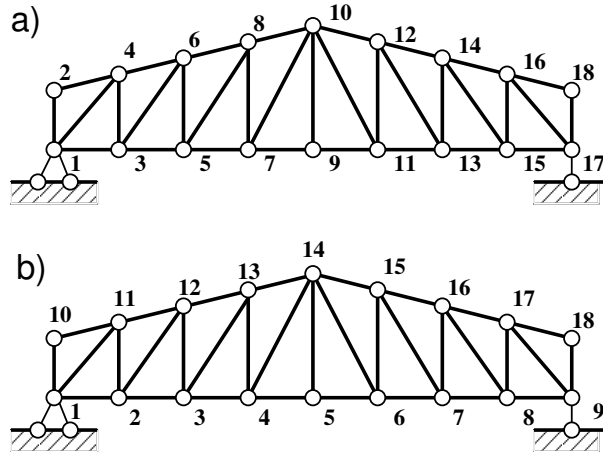
$$\begin{bmatrix} 1.0 & 0.0 \end{bmatrix} \begin{bmatrix} 1 & -1 \\ -1 & 1 + 2\sqrt{2} \end{bmatrix} \begin{bmatrix} F_{x3} \\ F_{z3} \end{bmatrix} = F_{x3} - F_{z3} \quad (3.44)$$

Varda [2] sisejõud  $N_2$

$$N_2 = \frac{EA}{l\sqrt{2}} \begin{bmatrix} -c & -s & c & s \end{bmatrix} \begin{bmatrix} u_2 = 0 \\ v_2 = 0 \\ u_3 \\ v_3 \end{bmatrix} =$$

$$\frac{1}{\sqrt{2}} \begin{bmatrix} \frac{\sqrt{2}}{2} & \frac{\sqrt{2}}{2} \end{bmatrix} \begin{bmatrix} 1 & -1 \\ -1 & 1 + 2\sqrt{2} \end{bmatrix} \begin{bmatrix} F_{x3} \\ F_{z3} \end{bmatrix} = \sqrt{2}F_{z3} \quad (3.45)$$

Kolmanda varda [3] sisejõud  $N_3 = 0$ .

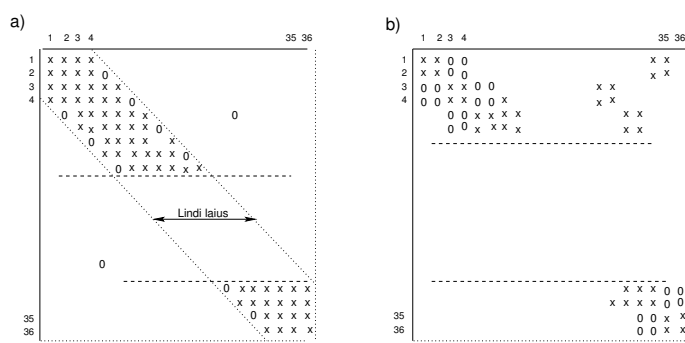


Joonis 3.6. Sõlmede nummerdamine

### 3.5 Sõlmede nummerdamisest

Tasakaaluvõrandite vasaku poole maatriksid on hõredad maatriksid, s.o. siosaldavad palju nullelemente. Sõlmede nummerdamise järjekorras sõltub varraste jäikusmaatriksi elementide asukoht tasakaaluvõrandisüsteemis. Joonisel 3.6 on näidatud kahte sõlmede nummerdamisviisi.

Joonisel 3.6 a) näidatud nummerdamise tulemusel saadakse lintvõrandisüsteemi maat-



Joonis 3.7. Võrandisüsteemi kuju

riks (joonis 3.7 a)). Võrandisüsteemi lahendamiseks, millel vasak pool on hõre maatriks, kasutatakse hõrdate võrandisüsteemide lahendamise programme.

## 3.6 Varda paine

### 3.6.1 Ülekandemaatriks paindel

Diferentsiaalseosed varda paindel parema käe teljestikus x-z (joonis 3.8).

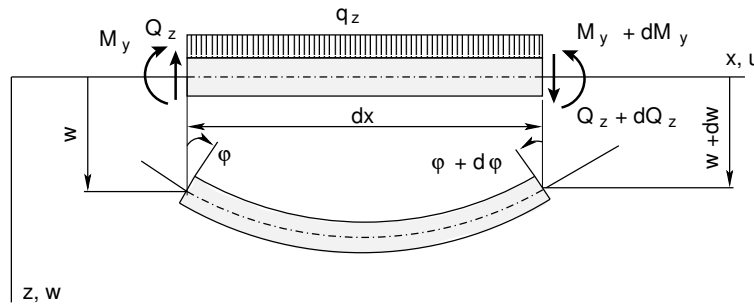
$$\frac{dw}{dx} = -\varphi_y \quad (3.46)$$

$$\frac{d^2w}{dx^2} = -\frac{d\varphi_y}{dx} = -\frac{1}{EI_y} M_y \quad (3.47)$$

$$\frac{dM_y}{dx} = Q_z \quad (3.48)$$

$$\frac{dQ_z}{dx} = q_z(x) \quad (3.49)$$

Avaldised (3.48), (3.49) on tala tasakaalu diferentsiaalvõrrandid paindel. Nende seoste teletamist vaadeldakse tehnilises mehaanikas. Paine on üks varda tööseisundeid (joonis 3.9).

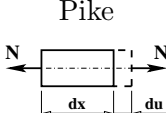
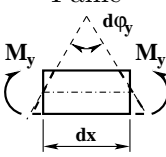
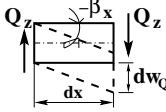
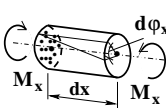


Joonis 3.8. Painde diferentsiaalseosed

Algparameetrite meetodi puhul arvutame tala sisejõude ([?] lk 28)  $M$  ja  $Q$  järgmiselt (vt joonis 3.10)

$$EI_y w_x = EI_y w_0 + EI_y \varphi_{y0} \cdot x + \mathcal{M} \cdot \frac{(x - a_M)^2}{2!} \cdot H(x - a_M) - F \cdot \frac{(x - a_F)^3}{3!} \cdot H(x - a_F) - p \cdot \frac{(x - a_p)^4}{4!} H(x - a_p) \quad (3.50)$$

$$EI_y \varphi_{yx} = EI_y \varphi_{y0} + \mathcal{M} \cdot \frac{(x - a_M)^1}{1!} \cdot H(x - a_M) + F \cdot \frac{(x - a_F)^2}{2!} \cdot H(x - a_F) - p \cdot \frac{(x - a_p)^3}{3!} \cdot H(x - a_p) \quad (3.51)$$

Tööseisund	Prinkus [MR95]	Sisejõud [MR96]	Ristlõike jäikus	Elastsus-seosed	Deformatsiooni-energia [MR96]
Pike 	Pikkeprinkus $\lambda = \frac{du}{dx}$ $\lambda^* = \frac{\Lambda}{L}$ siin $\Lambda = \Delta u$	Pikkejõud $N$	Pikke-jäikus $EA$	$N = EA\lambda$	$dU_N = \frac{1}{2}N\lambda dx$
Paine 	Paindeprinkus $\psi = \frac{d\varphi_y}{dx}$ $\psi^* = \frac{\Psi}{L}$ siin $\Psi = \Delta\varphi_y$	Paindemo-ment $M_y$	Painde-jäikus $EI_y$	$M_y = EI_y\psi_y$	$dU_M = \frac{1}{2}M_y\psi_y dx$
Lõige 	Lõikeprinkus $-\beta_z = \frac{dw_Q}{dx}$ $-\beta_z^* = \frac{B_z}{L}$ siin $B_z = \Delta w_Q$	Põikjõud $Q_z$	Lõike-jäikus $GA_{red}\beta_z$	$Q_z = GA_{red}\beta_z$	$dU_Q = \frac{1}{2}Q_z\beta_z dx$
Vääne 	Väändeprinkus $\vartheta = \frac{d\varphi_x}{dx}$ $\vartheta^* = \frac{\Theta}{L}$ siin $\Theta = \Delta\varphi_x$	Väändemo-ment $M_x$	Väände-jäikus $GI_x$	$M_x = GI_x\vartheta$	$dU_\gamma = \frac{1}{2}M_x\vartheta dx$

Joonis 3.9. Varda tööseisundid

$$M_x = \mathcal{M} \cdot (x - a_{\mathcal{M}})^0 \cdot H(x - a_{\mathcal{M}}) - F \cdot \frac{(x - a_F)}{1!} \cdot H(x - a_F) - p \cdot \frac{(x - a_p)^2}{2!} H(x - a_p) \quad (3.52)$$

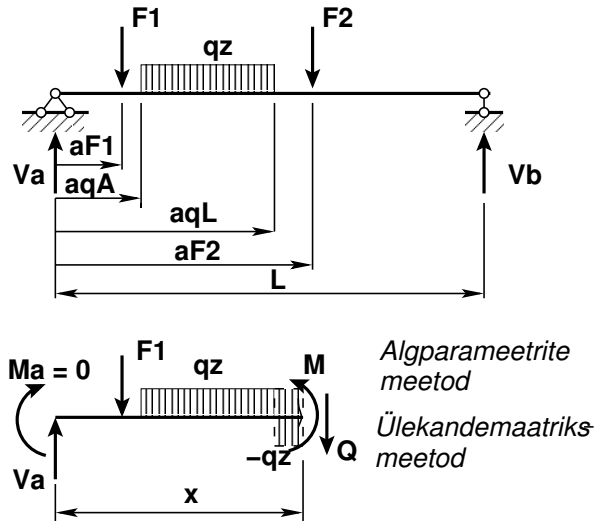
$$Q_x = F \cdot (x - a_F)^0 \cdot H(x - a_F) - p \cdot (x - a_p) \cdot H(x - a_p) \quad (3.53)$$

Avaldistes (3.50), (3.51), (3.52) ja (3.50) on  $H(x - a_F)$  Heaviside'i<sup>1</sup> funktsioon.

$$H(x - a_F) = \begin{cases} 0, & \text{kui } (x - a_F) < 0 \\ 1, & \text{kui } (x - a_F) \geq 0 \end{cases} \quad (3.54)$$

Võrrandeid (3.50), (3.51), (3.52) ja (3.53) nimetatakse ka ülekandevõrranditeks. Kirjutame võrrandid (3.52) ja (3.53) maatrikskujule (3.55), kus tala alguses olevad

<sup>1</sup> Oliver Heaviside, inglise füüsik ja elektriinsener, 1850–1925.

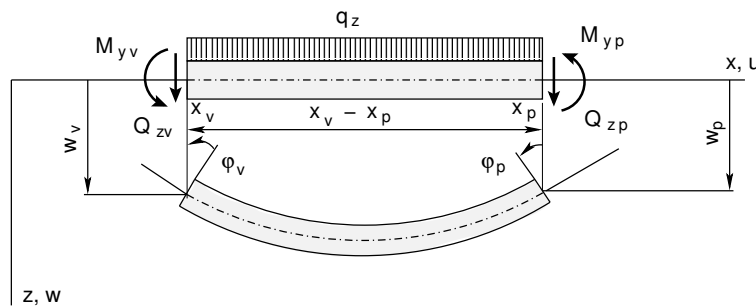


Joonis 3.10. Tala kahel toel

reaktsioonid (jõud)  $V_a$  ja  $M_a$  toome eraldi välja.

$$\begin{bmatrix} Q_x \\ M_x \end{bmatrix} = \begin{bmatrix} 1 & 0 \\ x & 1 \end{bmatrix} \begin{bmatrix} Q_a \\ M_a = 0 \end{bmatrix} - \begin{bmatrix} F_1 \cdot H(x - a_{F1}) \\ F_1 \cdot (x - a_{F1}) \cdot H(x - a_{F1}) \end{bmatrix} - \\ - \begin{bmatrix} F_2 \cdot H(x - a_{F2}) \\ F_2 \cdot (x - a_{F2}) \cdot H(x - a_{F2}) \end{bmatrix} - \\ - \begin{bmatrix} q_z \cdot (x - a_{qA}) \cdot H(x - a_{qA}) \\ q_z \frac{(x - a_{qA})^2}{2} H(x - a_{qA}) \end{bmatrix} + \\ + \begin{bmatrix} q_z \cdot (x - a_{qL}) \cdot H(x - a_{qL}) \\ q_z \frac{(x - a_{qL})^2}{2} H(x - a_{qL}) \end{bmatrix} \quad (3.55)$$

Ülekandevõrandid (3.50), (3.51), (3.52), (3.53) II-märgikokkulekke puhul (joonis 3.4 ja 3.11) maatrikskujuul (3.56).



Joonis 3.11. Algparameetrid

$$\mathbf{Z}_p = \mathbf{U} \mathbf{Z}_v + \overset{\circ}{\mathbf{Z}} \quad (3.56)$$

kus siirded ja kontaktjõud tala algul  $\mathbf{Z}_v$  ja lõpus  $\mathbf{Z}_p$  (joonis 3.11) on

$$\mathbf{Z}_p = \begin{bmatrix} w \\ \varphi_y \\ Q_z \\ M_y \end{bmatrix}_p, \quad \mathbf{Z}_v = \begin{bmatrix} w \\ \varphi_y \\ Q_z \\ M_y \end{bmatrix}_v \quad (3.57)$$

ja ülekandemaatriks  $U$  II-märgikokkulekke puhul (3.58)

$$\mathbf{U} = \begin{bmatrix} 1 & -(x_p - x_v) & \frac{(x_p - x_v)^3}{6EI_y} & \frac{(x_p - x_v)^2}{2EI_y} \\ 0 & 1 & -\frac{(x_p - x_v)^2}{2EI_y} & -\frac{(x_p - x_v)}{EI_y} \\ 0 & 0 & -1 & 0 \\ 0 & 0 & -(x_p - x_v) & -1 \end{bmatrix} \quad (3.58)$$

ning ülekandemeetodi koormusvektor  $\overset{\circ}{\mathbf{Z}}$  (3.59) [12]

$$\overset{\circ}{\mathbf{Z}} = \begin{bmatrix} \sum \mathcal{M}_y \frac{(x_p - a_M)_+^2}{EI_y 2!} + \sum F_z \frac{(x_p - a_F)_+^3}{EI_y 3!} + \sum q_z \frac{(x_p - a_q)_+^4}{EI_y 4!} \\ -\sum \mathcal{M}_y \frac{(x_p - a_M)_+^1}{EI_y 1!} - \sum F_z \frac{(x_p - a_F)_+^2}{EI_y 2!} - \sum q_z \frac{(x_p - a_q)_+^3}{EI_y 3!} \\ -\sum F_z \frac{(x_p - a_F)_+^0}{EI_y 0!} - \sum q_z \frac{(x_p - a_q)_+^1}{EI_y 1!} \\ -\sum \mathcal{M}_y \frac{(x_p - a_M)_+^0}{EI_y 0!} - \sum F_z \frac{(x_p - a_F)_+^1}{EI_y 1!} - \sum q_z \frac{(x_p - a_q)_+^2}{EI_y 2!} \end{bmatrix} \quad (3.59)$$

Siin kasutatakse järgmist tähistust

$$(x - a_F)_+ = \begin{cases} 0, & \text{kui } (x - a_F) < 0 \\ |x - a_F|, & \text{kui } (x - a_F) \geq 0 \end{cases} \quad (3.60)$$

### 3.6.2 Varda painde jäikusmaatriks

Teisendame ülekandevõrrandid (3.56) nii, et varda otstes olevad jõud avalduvad varda otste siirete ja pöörete kaudu (3.61)

$$\mathbf{F}^* = \mathbf{K}^* \mathbf{d}^* + \overset{\circ}{\mathbf{F}}^* \quad (3.61)$$

kus

$$\mathbf{F}^* = \begin{bmatrix} Q_{zv} \\ M_{yv} \\ Q_{zp} \\ M_{yp} \end{bmatrix}, \quad \mathbf{d}^* = \begin{bmatrix} w_v \\ \varphi_{yv} \\ w_p \\ \varphi_{yp} \end{bmatrix} \quad (3.62)$$

ja jäikusmaatriks  $\mathbf{K}^*$  (3.63) vastab II märgikokkuleppele

$$\mathbf{K}^* = EI_y \begin{bmatrix} \frac{12}{l^3} & -\frac{6}{l^2} & -\frac{12}{l^3} & -\frac{6}{l^2} \\ -\frac{6}{l^2} & \frac{4}{l} & \frac{6}{l^2} & \frac{2}{l} \\ -\frac{12}{l^3} & \frac{l}{l^2} & \frac{12}{l^3} & \frac{l}{l^2} \\ -\frac{6}{l^2} & \frac{4}{l} & \frac{6}{l^2} & \frac{2}{l} \end{bmatrix} \quad (3.63)$$

ning elemendile rakendatud jõud  $\overset{\circ}{\mathbf{F}}^*$

$$\begin{aligned} \overset{\circ}{\mathbf{F}}^* = & \left[ \begin{array}{c} \sum \mathcal{M}_y \left( \frac{6(x_p - a_M)_+^2}{l^3} - \frac{6(x_p - a_M)_+}{l^2} \right) \\ \sum \mathcal{M}_y \left( -\frac{3(x_p - a_M)_+^2}{l^2} + \frac{2(x_p - a_M)_+}{l} \right) \\ \sum \mathcal{M}_y \left( -\frac{6(x_p - a_M)_+^2}{l^3} + \frac{6(x_p - a_M)_+}{l^2} \right) \\ \sum \mathcal{M}_y \left( -\frac{3(x_p - a_M)_+^2}{l^2} + \frac{4(x_p - a_M)_+}{l} - \frac{(x_p - a_M)_+^0}{0!} \right) \end{array} \right] + \\ & + \left[ \begin{array}{c} \sum F_z \left( \frac{2(x_p - a_F)_+^3}{l^3} - \frac{3(x_p - a_F)_+^2}{l^2} \right) \\ \sum F_z \left( -\frac{(x_p - a_F)_+^3}{l^2} + \frac{(x_p - a_F)_+^2}{l} \right) \\ \sum F_z \left( -\frac{2(x_p - a_F)_+^3}{l^3} + \frac{3(x_p - a_F)_+^2}{l^2} + \frac{(x_p - a_F)_+^0}{0!} \right) \\ \sum F_z \left( -\frac{(x_p - a_F)_+^3}{l^2} + \frac{2(x_p - a_F)_+^2}{l} + \frac{(x_p - a_F)_+^1}{1!} \right) \end{array} \right] + \\ & + \left[ \begin{array}{c} \sum q_z \left( \frac{(x_p - a_q)_+^4}{2l^3} - \frac{(x_p - a_q)_+^3}{l^2} \right) \\ \sum q_z \left( -\frac{(x_p - a_q)_+^4}{4l^2} + \frac{(x_p - a_q)_+^3}{3l} \right) \\ \sum q_z \left( -\frac{(x_p - a_q)_+^4}{2l^3} + \frac{(x_p - a_q)_+^3}{l^2} - \frac{(x_p - a_q)_+^1}{1!} \right) \\ \sum q_z \left( -\frac{(x_p - a_q)_+^4}{4l^2} + \frac{2(x_p - a_q)_+^3}{3l} - \frac{(x_p - a_q)_+^{21}}{2} \right) \end{array} \right] \end{aligned} \quad (3.64)$$

Teisendusmaatriks  $\mathbf{T}$  paindel

$$\mathbf{T} = \begin{bmatrix} c & s & 0 & 0 & 0 & 0 \\ -s & c & 0 & 0 & 0 & 0 \\ 0 & 0 & 1 & 0 & 0 & 0 \\ 0 & 0 & 0 & c & s & 0 \\ 0 & 0 & 0 & -s & c & 0 \\ 0 & 0 & 0 & 0 & 0 & 1 \end{bmatrix} \quad (3.65)$$

Jäikusmaatriks üldkoordinaatides  $\mathbf{K}$

$$\mathbf{K} = \mathbf{T}^T \mathbf{K}^* \mathbf{T} \quad (3.66)$$

Varda elemendile rakendatud jõud  $\overset{\circ}{\mathbf{F}}$  üldkoordinaatides

$$\overset{\circ}{\mathbf{F}} = \mathbf{T}^T \overset{\circ}{\mathbf{F}}^* \quad (3.67)$$

Varda elemendi tasakaaluvõrrand üldkoordinaatides

$$\mathbf{F} = \mathbf{Kd} + \overset{\circ}{\mathbf{F}} \quad (3.68)$$

# Peatükk 4

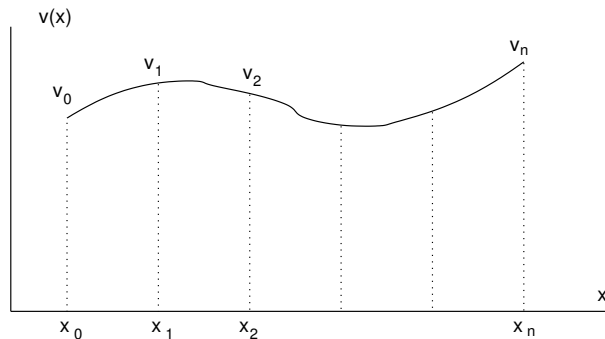
## Interpoleerimine

### 4.1 Lagrange'i interpolatsioon

Kirjeldame funktsiooni  $v(x)$  polünoomiga  $P^n(x)$

$$v(x) = P^n(x) = a_0 + a_1x + a_2x^2 + \dots + a_nx^n \quad (4.1)$$

Avaldise (4.1) kirjutame maatrikskujul



Joonis 4.1. Funktsiooni interpolatsioon

$$v(x) = P^n(x) = \begin{bmatrix} 1 & x & x^2 & \dots & x^n \end{bmatrix} \begin{bmatrix} a_0 \\ a_1 \\ a_2 \\ \vdots \\ a_n \end{bmatrix} \quad (4.2)$$

ehk veel lühemalt

$$v(x) = P^n(x) = [x] [a] \quad (4.3)$$

Olgu teada funktsiooni väärused  $n+1$  punktis (joonis 4.1). Punktis  $x_0$  on funktsiooni väärustus  $v_0$ , punktis  $x_1$  on funktsiooni väärustus  $v_1$  ja punktis  $x_n$  on funktsiooni väärustus

$v_n$ . Punkte, kus on antud funktsiooni väärised, nimetatakse polünoomi sõlmedeks. Kirjeldame polünoomi (4.2) abil neid väärusi

$$\begin{bmatrix} v_0 \\ v_1 \\ v_2 \\ \vdots \\ v_n \end{bmatrix} = \begin{bmatrix} 1 & x_0 & x_0^2 & \dots & x_0^n \\ 1 & x_1 & x_1^2 & \dots & x_1^n \\ 1 & x_2 & x_2^2 & \dots & x_2^n \\ \vdots & \vdots & \vdots & \dots & \vdots \\ 1 & x_n & x_n^2 & \dots & x_n^n \end{bmatrix} \begin{bmatrix} a_0 \\ a_1 \\ a_2 \\ \vdots \\ a_n \end{bmatrix} \quad (4.4)$$

ehk sümboolselt

$$\mathbf{v} = \mathbf{A}\mathbf{a} \quad (4.5)$$

Otsitavad parameetrid  $\mathbf{a}$  leiame võrrandist (4.5)

$$\mathbf{a} = \mathbf{A}^{-1}\mathbf{v} \quad (4.6)$$

Nüüd on polünoomis (4.3) parameetrid (4.6) määratud

$$v(x) = P^n(x) = \mathbf{x}\mathbf{A}^{-1}\mathbf{v} \quad (4.7)$$

Kirjutame avaldise (4.7) lahti

$$v(x) = \mathcal{L}_0^n(x)v_0 + \mathcal{L}_1^n(x)v_1 + \mathcal{L}_2^n(x)v_2 + \dots + \mathcal{L}_n^n(x)v_n \quad (4.8)$$

Kus Lagrang'i<sup>1</sup> interpolatsioonipolünoomi kordajad  $\mathcal{L}_i^n(x)$  on

$$\mathcal{L}_0^n(x) = \frac{(x - x_1)(x - x_2)\dots(x - x_n)}{(x_0 - x_1)(x_0 - x_2)\dots(x_0 - x_n)} \quad (4.9)$$

$$\mathcal{L}_1^n(x) = \frac{(x - x_0)(x - x_2)\dots(x - x_n)}{(x_1 - x_0)(x_1 - x_2)\dots(x_1 - x_n)} \quad (4.10)$$

$$\mathcal{L}_n^n(x) = \frac{(x - x_0)(x - x_1)\dots(x - x_{n-1})}{(x_n - x_1)(x_n - x_2)\dots(x_n - x_{n-1})} \quad (4.11)$$

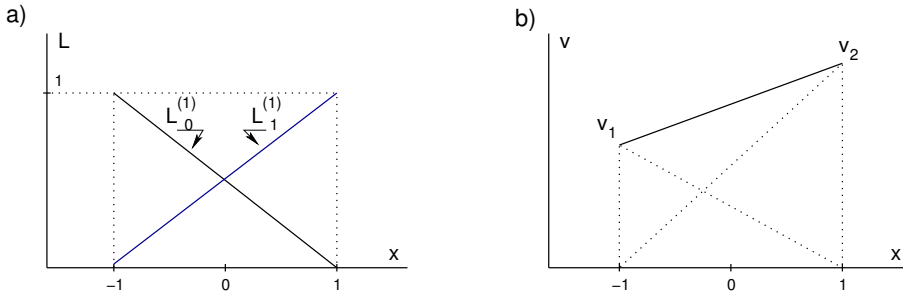
Lagrange'i interpolatsioonipolünoomi kordajate  $\mathcal{L}_i^n(x)$  sümboolne kuju

$$\mathcal{L}_i^n(x) = \prod_{\substack{j=0 \\ j \neq i}}^n \frac{x - x_i}{x_i - x_j} \quad (4.12)$$

Vaatleme lineaarset interpolatsiooni vahemikus  $x_0 = -1, x_1 = 1$  (joonis 4.2)

---

<sup>1</sup>Joseph Louis de Lagrange, prantsuse matemaatik ja mehaanikateadlane, 1736–1813.



Joonis 4.2. Lineaarne interpolatsioon

$$N_1(x) = \mathcal{L}_0^1(x) = \frac{(x - 1)}{(-1 - 1)} = \frac{1}{2}(1 - x) \quad (4.13)$$

$$N_2(x) = \mathcal{L}_1^1(x) = \frac{(x + 1)}{(1 + 1)} = \frac{1}{2}(1 + x) \quad (4.14)$$

Funktsiooni  $v(x)$  saame interpoleerida väärustele  $v_1$  ja  $v_2$  vahel (joonis 4.2 b)

$$v(x) = N_1(x)v_1 + N_2(x)v_2 \quad (4.15)$$

Lõplike elementide meetodis nimetatakse funktsioone  $N_i$  kujufunktsioonideks (vormifunktsioonideks).

Ruutinterpolatsiooni puhul vahemikus  $x_0 = -1, x_2 = 1$  (joonis 4.3) on Lagrange'i interpolatsioonipoliünoomi kordajad

$$N_1(x) \equiv \mathcal{L}_0^{(2)}(x) = \frac{(x - 0)(x - 1)}{(-1 - 0)(-1 - 1)} = \frac{1}{2}x(x - 1) \quad (4.16)$$

$$N_2(x) \equiv \mathcal{L}_1^{(2)}(x) = \frac{(x + 1)(x - 1)}{(0 + 1)(0 - 1)} = (1 - x^2) \quad (4.17)$$

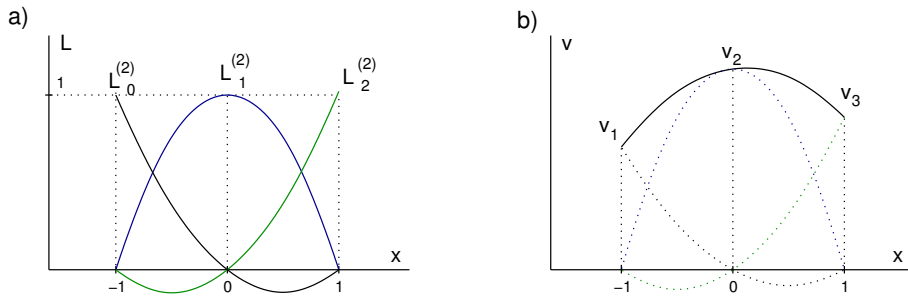
$$N_3(x) \equiv \mathcal{L}_2^{(2)}(x) = \frac{(x + 1)(x - 0)}{(1 + 1)(1 - 0)} = \frac{1}{2}x(x + 1) \quad (4.18)$$

Funktsiooni  $v(x)$  saame interpoleerida väärustele  $v_1$  ja  $v_3$  vahel (joonis 4.3 b)

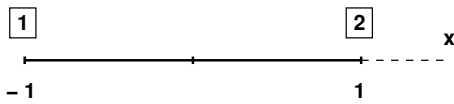
$$v(x) = N_1(x)v_1 + N_2(x)v_2 + N_3(x)v_3 \quad (4.19)$$

Lineaarse interpolatsiooni kaudu (4.13), (4.14) sõlmede  $\boxed{1}, \boxed{2}$  (joonis 4.4) vahel

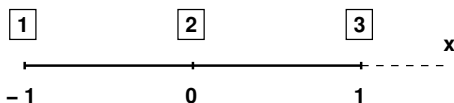
$$\begin{aligned} \mathcal{L}_0^{(1)}(x) &= \frac{1}{2}(1 - x) \\ \mathcal{L}_0^{(1)}(x) &= \frac{1}{2}(1 + x) \end{aligned} \quad (4.20)$$



Joonis 4.3. Ruutinterpolatsioon



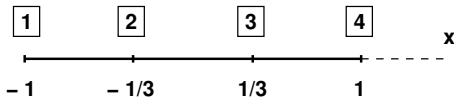
Joonis 4.4. Lineaarse interpolatsiooni sõlmed



Joonis 4.5. Ruutinterpolatsiooni sõlmed

saame avaldada kõrgemad interpolatsioonid

$$\begin{aligned}\mathcal{L}_0^{(2)}(x) &= (1 - 2\mathcal{L}_1^{(1)}) \mathcal{L}_0^{(1)} \\ \mathcal{L}_1^{(2)}(x) &= 4\mathcal{L}_0^{(1)} \mathcal{L}_1^{(1)} \\ \mathcal{L}_2^{(2)}(x) &= (2\mathcal{L}_1^{(1)} - 1) \mathcal{L}_1^{(1)}\end{aligned}\tag{4.21}$$



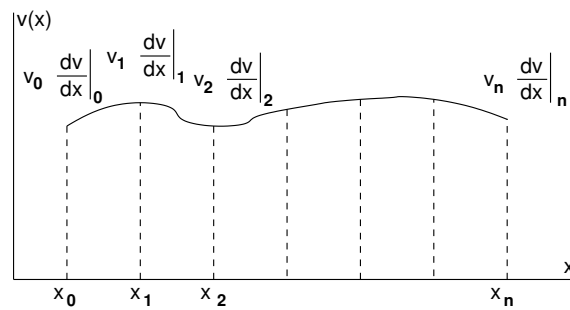
Joonis 4.6. Kuupinterpolatsiooni sõlmed

$$\begin{aligned}\mathcal{L}_0^{(3)}(x) &= \frac{1}{2} (1 - 3\mathcal{L}_1^{(1)}) (2 - 3\mathcal{L}_1^{(1)}) \mathcal{L}_0^{(1)} \\ \mathcal{L}_1^{(3)}(x) &= \frac{9}{2} \mathcal{L}_1^{(1)} (2 - 3\mathcal{L}_1^{(1)}) \mathcal{L}_0^{(1)} \\ \mathcal{L}_2^{(3)}(x) &= \frac{9}{2} \mathcal{L}_1^{(1)} (3\mathcal{L}_1^{(1)} - 1) \mathcal{L}_0^{(1)} \\ \mathcal{L}_3^{(3)}(x) &= \frac{1}{2} \mathcal{L}_1^{(1)} (3\mathcal{L}_1^{(1)} - 1) (3\mathcal{L}_1^{(1)} - 2)\end{aligned}\tag{4.22}$$

## 4.2 Hermite'i interpolatsioon

Olgu antud funktsioon  $v(x)$  ja tema tuletiste vääritudused  $n$  sõlmpunktis, mille koordinaat on  $x_n$

$$\begin{array}{ccccc} x_0, & x_1, & x_2, & \dots & x_n \\ v_0, & v_1, & v_2, & \dots & v_n \\ \frac{dv}{dx}|_0, & \frac{dv}{dx}|_1, & \frac{dv}{dx}|_2, & \dots & \frac{dv}{dx}|_n \\ \frac{d^2v}{dx^2}|_0, & \frac{d^2v}{dx^2}|_1, & \frac{d^2v}{dx^2}|_2, & \dots & \frac{d^2v}{dx^2}|_n \\ \vdots & \vdots, & \vdots, & \dots & \vdots \\ \frac{d^k v}{dx^k}|_0, & \frac{d^k v}{dx^k}|_1, & \frac{d^k v}{dx^k}|_2, & \dots & \frac{d^k v}{dx^k}|_n \end{array}$$



Joonis 4.7. Hermite'i interpolatsioon

Funktsiooni lähendame ( $m = 2n$ )-astme polünoomiga

$$\begin{bmatrix} v(x) \\ \frac{dv}{dx} \end{bmatrix} = \begin{bmatrix} 1 & x & x^2 & \dots & x^m \\ 0 & 1 & 2x^1 & \dots & mx^{m-1} \end{bmatrix} \begin{bmatrix} a_0 \\ a_1 \\ a_2 \\ \vdots \\ a_m \end{bmatrix} \quad (4.23)$$

ehk

$$v(x) = \mathbf{x}\mathbf{a} \quad (4.24)$$

$$\begin{bmatrix} v_0 \\ v'_0 \\ v_1 \\ v'_1 \\ v_2 \\ v'_2 \\ \vdots \\ v_n \\ v'_n \end{bmatrix} = \begin{bmatrix} 1 & x_0 & x_0^2 & \dots & x_0^m \\ 0 & 1 & 2x_0^1 & \dots & mx_0^{m-1} \\ 1 & x_1 & x_1^2 & \dots & x_1^m \\ 0 & 1 & 2x_1^1 & \dots & mx_1^{m-1} \\ 1 & x_2 & x_2^2 & \dots & x_2^m \\ 0 & 1 & 2x_2^1 & \dots & mx_2^{m-1} \\ \vdots & \vdots & \vdots & \dots & \vdots \\ 1 & x_n & x_n^2 & \dots & x_n^m \\ 0 & 1 & 2x_n^1 & \dots & mx_n^{m-1} \end{bmatrix} \begin{bmatrix} a_0 \\ a_1 \\ a_2 \\ \vdots \\ a_m \end{bmatrix} \quad (4.25)$$

ehk

$$\mathbf{v} = \mathbf{A}_{\mathbf{H}} \mathbf{a} \quad (4.26)$$

Valdisest (4.26) saame

$$\mathbf{a} = \mathbf{A}_{\mathbf{H}}^{-1} \mathbf{v} \quad (4.27)$$

Funktsioon (4.24) avaldub nüüd järgmiselt:

$$v(x) = \mathbf{x} \mathbf{a} = \mathbf{x} \mathbf{A}_{\mathbf{H}}^{-1} \mathbf{v} \quad (4.28)$$

Kirjutame avaldise (4.28) kujule

$$\begin{aligned} v(x) &= \mathcal{H}_{00}^{(1)}(x)v_0 + \mathcal{H}_{10}^{(1)}(x)v'_0 + \mathcal{H}_{01}^{(1)}(x)v_1 + \mathcal{H}_{11}^{(1)}(x)v'_1 + \dots \\ &\quad \dots + \mathcal{H}_{0n}^{(1)}(x)v_n + \mathcal{H}_{1n}^{(1)}(x)v'_n \end{aligned} \quad (4.29)$$

ehk

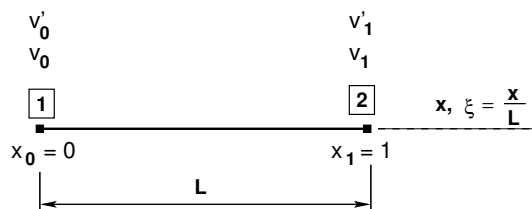
$$v(x) = \mathcal{H}_{0i}^{(1)}(x)v_i + \mathcal{H}_{1i}^{(1)}(x)v'_i \quad (i = 1, 2, \dots, 4) \quad (4.30)$$

kus Hermite'i<sup>2</sup> interpolatsioonipolünoomi kordajad  $\mathcal{H}_{ij}^n$  on

$$\mathcal{H}_{0i}^{(1)}(x) = \left\{ 1 - 2(x - x_i) \sum_{\substack{k=0 \\ k \neq i}}^n \frac{1}{x_i - x_k} \right\} \{\mathcal{L}_i^{(1)}(x)\}^2 \quad (4.31)$$

$$\mathcal{H}_{1i}^{(1)}(x) = (x - x_i) \{\mathcal{L}_i^{(1)}(x)\}^2 \quad (4.32)$$

Kahe interpolatsioonisõlmega ja esimese tuletisega (joonis 4.8) on funktsiooni interpolatsioon järgmine:



Joonis 4.8. Hermite'i interpolatsiooni sõlmed

$$v(x) = \mathcal{H}_{00}^{(1)}(x)v_0 + \mathcal{H}_{10}^{(1)}(x)v'_0 + \mathcal{H}_{01}^{(1)}(x)v_1 + \mathcal{H}_{11}^{(1)}(x)v'_1 \quad (4.33)$$

---

<sup>2</sup>Charles Hermite, prantsuse matemaatik, 1822–1901.

Siin on Hermite'i interpolatsioonifunktsioonid  $\mathcal{H}_{ij}^{(n)}$

$$\begin{aligned}\mathcal{H}_{00}^{(1)}(x) &= \left(1 - 2\frac{x - x_0}{x_0 - x_1}\right) \left(\frac{x - x_1}{x_0 - x_1}\right)^2 = \\ &= \left(1 + 2\frac{x}{L}\right) \left(1 - \frac{x}{L}\right)^2 = 1 - 3\xi^2 + 2\xi^3\end{aligned}\quad (4.34)$$

$$\begin{aligned}\mathcal{H}_{10}^{(1)}(x) &= (x - x_0) \left(\frac{x - x_1}{x_0 - x_1}\right)^2 = \\ &= x \left(-\frac{x}{L} - \frac{L}{L}\right)^2 = L\xi(1 - \xi)^2\end{aligned}\quad (4.35)$$

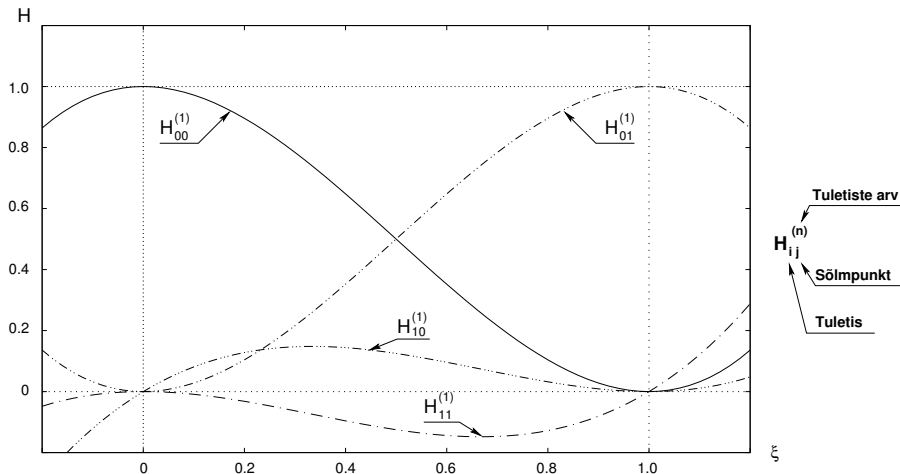
$$\begin{aligned}\mathcal{H}_{01}^{(1)}(x) &= \left(1 - 2\frac{x - x_1}{x_1 - x_0}\right) \left(\frac{x - x_0}{x_1 - x_0}\right)^2 = \\ &= \left(1 - 2\left(\frac{x}{L} - 1\right)\right) \left(\frac{x}{L}\right)^2 = 3\xi^2 - 2\xi^3\end{aligned}\quad (4.36)$$

$$\begin{aligned}\mathcal{H}_{11}^{(1)}(x) &= (x - x_1) \left(\frac{x - x_0}{x_1 - x_0}\right)^2 = \\ &= (L\xi - L) \left(\frac{x}{L}\right)^2 = L\xi^2(\xi - 1)^2\end{aligned}\quad (4.37)$$

Hermite'i interpolatsioonifunktsioonid  $\mathcal{H}_{ij}^{(n)}$  on näidatud joonisel 4.9.

Teades kahes sõlmpunktis funktsiooni ja tema kahe tuletise väärust v<sub>n</sub>, v'<sub>n</sub>, v''<sub>n</sub>, on Hermite'i interpolatsiooni valem järgmine:

$$\begin{aligned}v(x) = \mathcal{H}_{00}^{(2)}(x)v_0 + \mathcal{H}_{10}^{(2)}(x)v'_0 + \mathcal{H}_{20}^{(2)}(x)v''_0 + \mathcal{H}_{01}^{(2)}(x)v_1 + \\ \mathcal{H}_{11}^{(2)}(x)v'_1 + \mathcal{H}_{21}^{(2)}(x)v''_1\end{aligned}\quad (4.38)$$



Joonis 4.9. Hermite'i interpolatsioonifunktsioonid

Kasutades tähistust

$$x_2 - x_1 = L, \quad \frac{x}{L} = \xi \quad (4.39)$$

avaldame Hermite'i interpolatsioonifunktsioonid  $\mathcal{H}_{ij}^{(2)}$

$$\mathcal{H}_{00}^{(2)}(\xi) = 1 - 10\xi^3 + 15\xi^4 - 6\xi^5 \quad (4.40)$$

$$\mathcal{H}_{10}^{(2)}(\xi) = L\xi(1 - 6\xi^2 + 8\xi^3 - 3\xi^4) \quad (4.41)$$

$$\mathcal{H}_{20}^{(2)}(\xi) = \frac{1}{2}L^2\xi^2(1 - 3\xi + 3\xi^2 - \xi^3) \quad (4.42)$$

$$\mathcal{H}_{01}^{(2)}(\xi) = 10\xi^3 - 15\xi^4 + 6\xi^5 \quad (4.43)$$

$$\mathcal{H}_{11}^{(2)}(\xi) = -L\xi(4\xi^2 + 7\xi^3 - 3\xi^4) \quad (4.44)$$

$$\mathcal{H}_{21}^{(2)}(\xi) = \frac{1}{2}L^2\xi^2(\xi - 2\xi^2 + \xi^3) \quad (4.45)$$

## 4.3 Interpoleerimine tasapinnal

### 4.3.1 Lagrange'i interpolatsioon tasapinnal

Kirjeldame funktsiooni  $v(x, y)$  polünoomiga  $P^n(x, y)$

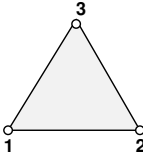
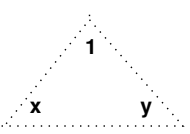
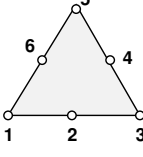
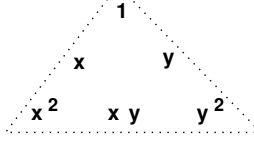
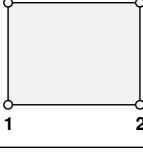
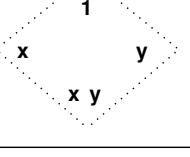
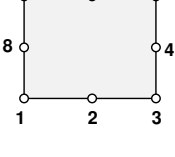
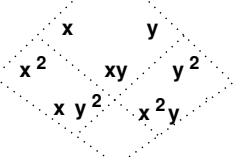
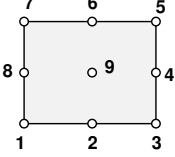
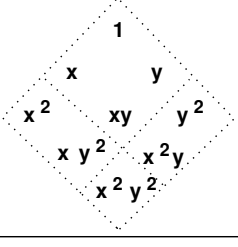
$$v(x, y) = P^n(x, y) = a_0 + a_1x + a_2y + a_3xy + a_4x^2 + a_5y^2 + \dots \quad (4.46)$$

Vaatleme polünoomi koordinaatidest moodustatud järgmist avaldist:

$$\begin{array}{ccccccccc} & & & & 1 & & & & \\ & & & & x & & y & & \\ & & x^2 & & xy & & y^2 & & \\ & x^3 & & x^2y & & xy^2 & & y^3 & \\ x^4 & & x^3y & & x^2y^2 & & xy^3 & & y^4 \end{array} \quad (4.47)$$

Lõplike elementide meetodis nimetatakse avaldist (4.47) Pascali kolmnurgaks (sama nimetust kasutatakse ka binoomkordajatest moodustatud kolmnurkse tabeli puhul).

Joonisel 4.10 on põhilised elemendi tüübhid, sõlmpunktide arv, polünoomis (4.46) kasutatavad koordinaadid ja funktsioonide integreerimisel kasutatav Gaussi integreerimissõlmede arv.

Elemendi tüüp	Sõlmpunktide arv	Polünoom	Integreerimispunktide arv
	3		1
	6		7
	4		2 x 2
	8		3 x 3
	9		3 x 3

Joonis 4.10. Funktsiooni interpoleerimine tasapinnal

Kahemutuja funktsiooni  $v(\xi, \eta)$  anname järgmisel kujul

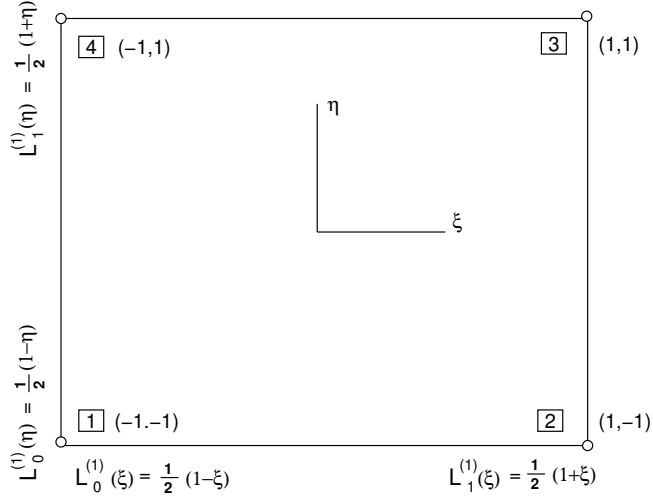
$$v(\xi, \eta) = \sum_{i=0}^n \sum_{j=0}^n \mathcal{L}_i^{(n)}(\xi) \mathcal{L}_j^{(n)}(\eta) v_{ij} \quad (4.48)$$

kus  $v_{ij}$  on funktsiooni väärustus sõlmpunktis.

Sõlmpunktide koordinaadid  $\xi, \eta$  on joonisel 4.11. Esitame funktsiooni  $v(\xi, \eta)$  kujufunktsioonide  $N_i$  ja sõlmpunktis  $[i]$  oleva funktsiooni vääruse  $v_i$  kaudu

$$v(\xi, \eta) = N_1 v_1 + N_2 v_2 + N_3 v_3 + N_4 v_4 \quad (4.49)$$

Kujufunktsioonid  $N_i(\xi, \eta)$  saab vastavate Lagrange'i funktsioonide  $\mathcal{L}_i^{(n)}(\xi)$  ja  $\mathcal{L}_j^{(n)}(\eta)$



Joonis 4.11. Lagrange'i funktsioonid tasapinnal

korrutamisega (joonis 4.11)

$$N_1(\xi, \eta) = \mathcal{L}_0^{(1)}(\xi) \mathcal{L}_0^{(1)}(\eta) = \frac{1}{4}(1-\xi)(1-\eta) \quad (4.50)$$

$$N_2(\xi, \eta) = \mathcal{L}_1^{(1)}(\xi) \mathcal{L}_0^{(1)}(\eta) = \frac{1}{4}(1+\xi)(1-\eta) \quad (4.51)$$

$$N_3(\xi, \eta) = \mathcal{L}_1^{(1)}(\xi) \mathcal{L}_1^{(1)}(\eta) = \frac{1}{4}(1+\xi)(1+\eta) \quad (4.52)$$

$$N_4(\xi, \eta) = \mathcal{L}_0^{(1)}(\xi) \mathcal{L}_1^{(1)}(\eta) = \frac{1}{4}(1-\xi)(1+\eta) \quad (4.53)$$

Tähistades koordinaatide  $\xi, \eta$  väärtused sõlmedes  $\xi_i, \eta_i$ , saame avaldised (4.50), (4.51), (4.52), (4.53) kirjutada lühemalt

$$N_i(\xi, \eta) = \frac{1}{4}(1+\xi\xi_i)(1+\eta\eta_i), \quad (i = 1, 2, \dots, 4) \quad (4.54)$$

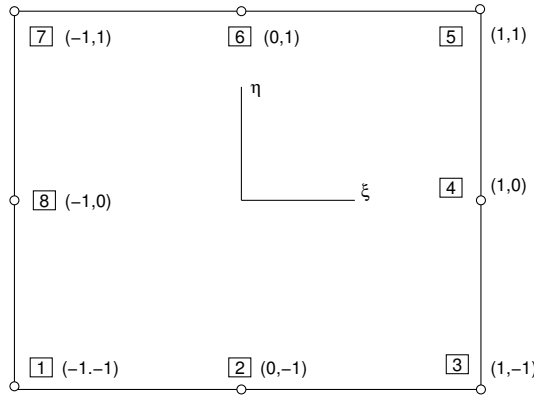
Kujufunktsioon  $N_5(\xi, \eta)$  on joonisel 4.13.

Kaheksta sõlmpunktiga nelinurkse elemendi sõlmpunktide koordinaadid on joonisel 4.12. Funktsiooni  $v(\xi, \eta)$  esitame kujufunktsioonide  $N_i$  ja sõlmpunktis  $[i]$  oleva funktsiooni väärtuse  $v_i$  kaudu

$$v(\xi, \eta) = N_i v_i, \quad (i = 1, 2, \dots, 8) \quad (4.55)$$

kus

$$N_1(\xi, \eta) = \mathcal{L}_0^{(2)}(\xi) \mathcal{L}_0^{(2)}(\eta) = \frac{1}{4}\xi(\xi-1)\eta(\eta-1) \quad (4.56)$$



Joonis 4.12. Sõlmpunktide koordinaadid

$$N_2(\xi, \eta) = \mathcal{L}_1^{(2)}(\xi) \mathcal{L}_0^{(2)}(\eta) = \frac{1}{2}(1 - \xi^2)(1 - \eta) \quad (4.57)$$

$$N_3(\xi, \eta) = \mathcal{L}_2^{(2)}(\xi) \mathcal{L}_0^{(2)}(\eta) = \frac{1}{4}\xi(\xi + 1)\eta(\eta - 1) \quad (4.58)$$

$$N_4(\xi, \eta) = \mathcal{L}_0^{(2)}(\xi) \mathcal{L}_1^{(2)}(\eta) = \frac{1}{2}(1 + \xi)(1 - \eta^2) \quad (4.59)$$

$$N_5(\xi, \eta) = \mathcal{L}_2^{(2)}(\xi) \mathcal{L}_2^{(2)}(\eta) = \frac{1}{4}\xi(\xi + 1)\eta(\eta + 1) \quad (4.60)$$

$$N_6(\xi, \eta) = \mathcal{L}_1^{(2)}(\xi) \mathcal{L}_1^{(2)}(\eta) = \frac{1}{2}(1 - \xi^2)(1 + \eta) \quad (4.61)$$

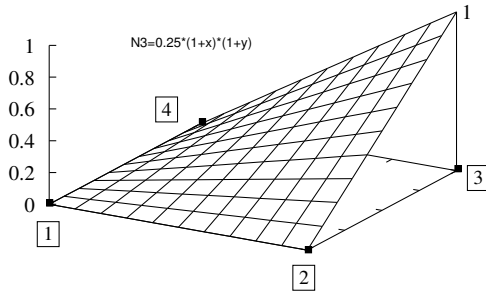
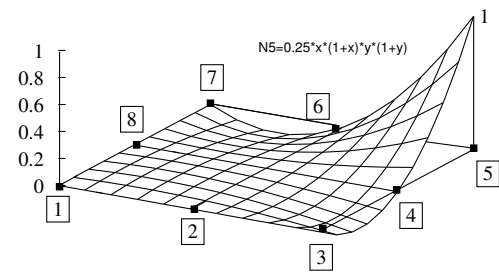
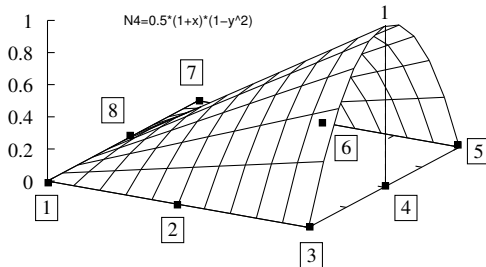
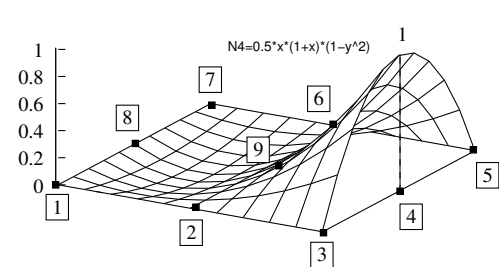
$$N_7(\xi, \eta) = \mathcal{L}_0^{(2)}(\xi) \mathcal{L}_2^{(2)}(\eta) = \frac{1}{4}\xi(\xi - 1)\eta(\eta + 1) \quad (4.62)$$

$$N_8(\xi, \eta) = \mathcal{L}_0^{(2)}(\xi) \mathcal{L}_1^{(2)}(\eta) = \frac{1}{2}(1 - \xi)(1 - \eta^2) \quad (4.63)$$

Koordinaatide  $\xi, \eta$  väärustuse kaudu sõlmedes  $\xi_i, \eta_i$  saame avaldised (4.56) ... (4.63) kirjutada lühemalt

$$N_i(\xi, \eta) = \frac{1}{4}(1 + \xi\xi_i)(1 + \eta\eta_i)(\xi\xi_i + \eta\eta_i - 1), \quad (i = 1, 3, 5, 7) \quad (4.64)$$

$$N_i(\xi, \eta) = \frac{1}{2}(1 - \xi^2)(1 + \eta\eta_i), \quad (i = 2, 6) \quad (4.65)$$

Joonis 4.13. Kujufunktsioon  $N_3$ Joonis 4.14. Kujufunktsioon  $N_5$ Joonis 4.15. Kujufunktsioon  $N_4, 8$   
sõlmeJoonis 4.16. Kujufunktsioon  $N_4, 9$   
sõlme

$$N_i(\xi, \eta) = \frac{1}{2}(1 - \eta^2)(1 + \xi\xi_i), \quad (i = 4, 8) \quad (4.66)$$

Kujufunktsioonid  $N_5$  ja  $N_4$  kahekra sõlmpunkti puhul on joonisel 4.14 ja 4.15.  
Üheksa sõlmpunkti puhul on kujufunktsioonid järgmised:

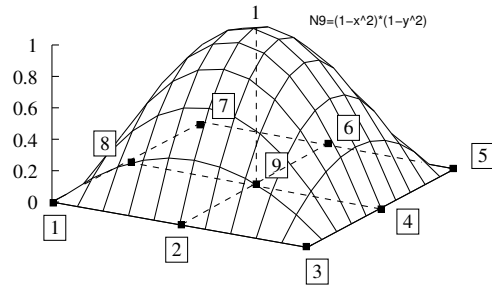
$$N_i(\xi, \eta) = \frac{1}{4}\xi\xi_i\eta\eta_i(1 + \xi\xi_i)(1 + \eta\eta_i), \quad (i = 1, 3, 5, 7) \quad (4.67)$$

$$N_i(\xi, \eta) = \frac{1}{2}\eta\eta_i(1 - \xi^2)(1 + \eta\eta_i), \quad (i = 2, 6) \quad (4.68)$$

$$N_i(\xi, \eta) = \frac{1}{2}\xi\xi_i(1 - \eta^2)(1 + \xi\xi_i), \quad (i = 4, 8) \quad (4.69)$$

$$N_9(\xi, \eta) = \frac{1}{2}(1 - \xi^2)(1 - \eta^2) \quad (4.70)$$

Kujufunktsioonid  $N_4$  ja  $N_9$  üheksa sõlmpunkti puhul on joonisel 4.16 ja 4.17.

Joonis 4.17. Kujufunktsioon  $N_9$ 

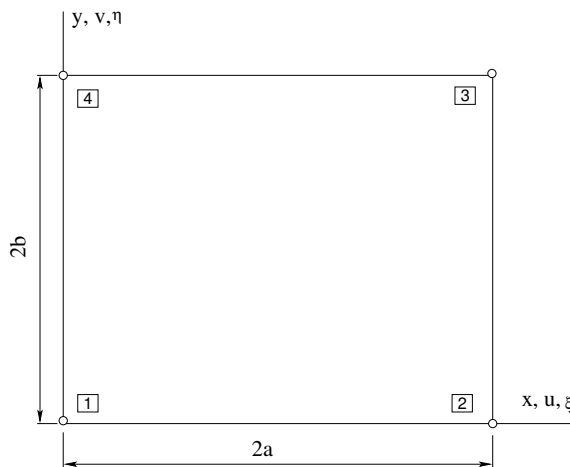
### 4.3.2 Hermite'i interpolatsioon tasapinnal

Vaatleme nelinurkset elementi mõõtmetega  $2a, 2b$  (joonis 4.18). Sõlmpunkti siiretest  $u, v$  ja nende tuletistest  $\frac{\partial u}{\partial x}, \frac{\partial u}{\partial y}, \frac{\partial v}{\partial x}, \frac{\partial v}{\partial y}$  koostame vektori  $\mathbf{d}$

$$\mathbf{d} = \begin{bmatrix} u \\ \frac{\partial u}{\partial x} \\ \frac{\partial u}{\partial y} \\ v \\ \frac{\partial v}{\partial x} \\ \frac{\partial v}{\partial y} \end{bmatrix} \quad (4.71)$$

Selle vektori väärustuse sõlmpunktis  $[i]$  tähistame  $\mathbf{d}_i$ -ga. Siirded  $u, v$  interpoleerime järgmiselt:

$$\begin{bmatrix} u \\ v \end{bmatrix} = \begin{bmatrix} \mathbf{N}_1 & 0 & \mathbf{N}_2 & 0 & \mathbf{N}_3 & 0 & \mathbf{N}_4 & 0 \\ 0 & \mathbf{N}_1 & 0 & \mathbf{N}_2 & 0 & \mathbf{N}_3 & 0 & \mathbf{N}_4 \end{bmatrix} \begin{bmatrix} \mathbf{d}_1 \\ \mathbf{d}_2 \\ \mathbf{d}_3 \\ \mathbf{d}_4 \end{bmatrix} \quad (4.72)$$



Joonis 4.18. Hermite'i interpolatsioon tasapinnal

kus  $\mathbf{0}$  on  $2 \times 3$  nullmaatriks ja alammaatriksi  $\mathbf{N}_i$  ( $2 \times 3$ )elementideks on Hermite'i interpolatsiooni funktsioonid

$$\mathbf{N}_1 = \begin{bmatrix} \mathcal{H}_{00}^{(1)}(\xi) & \mathcal{H}_{10}^{(1)}(\xi) & \mathcal{H}_{00}^{(1)}(\xi) \\ \mathcal{H}_{00}^{(1)}(\eta) & \mathcal{H}_{00}^{(1)}(\eta) & \mathcal{H}_{10}^{(1)}(\eta) \end{bmatrix} \quad (4.73)$$

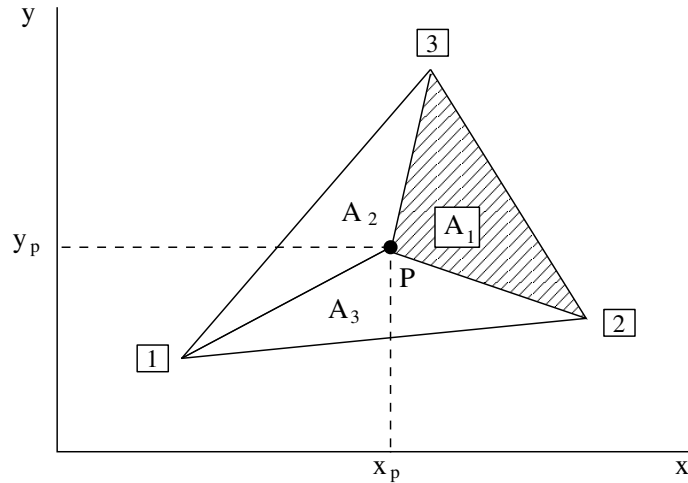
$$\mathbf{N}_2 = \begin{bmatrix} \mathcal{H}_{01}^{(1)}(\xi) & \mathcal{H}_{11}^{(1)}(\xi) & \mathcal{H}_{01}^{(1)}(\xi) \\ \mathcal{H}_{00}^{(1)}(\eta) & \mathcal{H}_{00}^{(1)}(\eta) & \mathcal{H}_{10}^{(1)}(\eta) \end{bmatrix} \quad (4.74)$$

$$\mathbf{N}_3 = \begin{bmatrix} \mathcal{H}_{01}^{(1)}(\xi) & \mathcal{H}_{11}^{(1)}(\xi) & \mathcal{H}_{01}^{(1)}(\xi) \\ \mathcal{H}_{01}^{(1)}(\eta) & \mathcal{H}_{01}^{(1)}(\eta) & \mathcal{H}_{11}^{(1)}(\eta) \end{bmatrix} \quad (4.75)$$

$$\mathbf{N}_4 = \begin{bmatrix} \mathcal{H}_{00}^{(1)}(\xi) & \mathcal{H}_{10}^{(1)}(\xi) & \mathcal{H}_{00}^{(1)}(\xi) \\ \mathcal{H}_{01}^{(1)}(\eta) & \mathcal{H}_{01}^{(1)}(\eta) & \mathcal{H}_{11}^{(1)}(\eta) \end{bmatrix} \quad (4.76)$$

### 4.3.3 Kolmnurga pindalakoordinaadid

Vaatleme tasapinnal  $x, y$  kolmnurkset elementi sõlmpunktidega  $[1], [2], [3]$ , mille koordinaadid on  $(x_1, y_1), (x_2, y_2), (x_3, y_3)$ . Selle kolmnurga sees vabalt valitud punkti  $P$  koordinaadid on  $(x_p, y_p)$ , (joonis 4.19). Olgu sõlmpunktidega antud kolmnurga pindala



Joonis 4.19. Kolmnurga pindalakoordinaadid

$A_\Delta$ . Selle pindala jagame kolmeksi pindalaks  $A_1, A_2, A_3$ , millel on ühine tipp  $P$

$$A_1 + A_2 + A_3 = A_\Delta \quad (4.77)$$

Jagame avaldise (4.77) pindalaga  $A_\Delta$ , saame

$$\mathcal{L}_1 + \mathcal{L}_2 + \mathcal{L}_3 = 1 \quad (4.78)$$

kus kolmnurga pindalakoordinaadid  $\mathcal{L}_i$  on

$$\mathcal{L}_1 = \frac{A_1}{A_\Delta}, \quad \mathcal{L}_2 = \frac{A_2}{A_\Delta}, \quad \mathcal{L}_3 = \frac{A_3}{A_\Delta} \quad (4.79)$$

Kolmnurga pindalakoordinaatides  $\mathcal{L}_i$  on

- sõlmpunkt  $\boxed{1}$

$$\mathcal{L}_1 = 1, \quad \mathcal{L}_2 = 0, \quad \mathcal{L}_3 = 0 \quad (4.80)$$

- sõlmpunkt  $\boxed{2}$

$$\mathcal{L}_1 = 0, \quad \mathcal{L}_2 = 1, \quad \mathcal{L}_3 = 0 \quad (4.81)$$

- sõlmpunkt  $\boxed{3}$

$$\mathcal{L}_1 = 0, \quad \mathcal{L}_2 = 0, \quad \mathcal{L}_3 = 1 \quad (4.82)$$

Kolmnurga pindalad saab arvutada determinantide kaudu

$$\begin{aligned} A_\Delta &= \frac{1}{2} \begin{vmatrix} 1 & x_1 & y_1 \\ 1 & x_2 & y_2 \\ 1 & x_3 & y_3 \end{vmatrix}, & A_1 &= \frac{1}{2} \begin{vmatrix} 1 & x_p & y_p \\ 1 & x_2 & y_2 \\ 1 & x_3 & y_3 \end{vmatrix} \\ A_2 &= \frac{1}{2} \begin{vmatrix} 1 & x_1 & y_1 \\ 1 & x_p & y_p \\ 1 & x_3 & y_3 \end{vmatrix}, & A_3 &= \frac{1}{2} \begin{vmatrix} 1 & x_1 & y_1 \\ 1 & x_2 & y_2 \\ 1 & x_p & y_p \end{vmatrix} \end{aligned} \quad (4.83)$$

Selgitame indeksite  $i, j$  ja  $k$  tsüklilist paigutust:

- avaldist  $(i, j, k = 1, 2, 3)$  tuleb lugeda: kui  $i = 1$ , siis  $j = 2$  ja  $k = 3$
- avaldist  $(i, j, k = 2, 3, 1)$  tuleb lugeda: kui  $i = 2$ , siis  $j = 3$  ja  $k = 1$
- avaldist  $(i, j, k = 3, 1, 2)$  tuleb lugeda: kui  $i = 3$ , siis  $j = 1$  ja  $k = 2$

Avaldame kolmnurga pindalakoordinaadid  $\mathcal{L}_i$  vabalt valitud punkti koordinaatide  $(x_p, y_p)$  kaudu

$$\begin{bmatrix} \mathcal{L}_1 \\ \mathcal{L}_2 \\ \mathcal{L}_3 \end{bmatrix} = \frac{1}{2A_\Delta} \begin{bmatrix} a_1 & b_1 & c_1 \\ a_2 & b_2 & c_2 \\ a_3 & b_3 & c_3 \end{bmatrix} \begin{bmatrix} 1 \\ x_p \\ y_p \end{bmatrix} \quad (4.84)$$

Maatriksi elemendid  $a_i, b_i$  ja  $c_i$  saame indeksite tsüklilise ümberpaigutusega järgmistest avaldistest:

$$\begin{aligned} a_i &= x_j y_k - x_k y_j, & b_i &= y_j - y_k \\ c_i &= x_k - x_j, & (i, j, k &= 1, 2, 3; \quad 2, 3, 1; \quad 3, 1, 2) \end{aligned} \quad (4.85)$$

Pöördseosed punkti koordinaatide  $(x_p, y_p)$  ja kolmnurga pindalakoordinaatide  $\mathcal{L}_i$  vahel on

$$\begin{bmatrix} 1 \\ x_p \\ y_p \end{bmatrix} = \begin{bmatrix} 1 & 1 & 1 \\ x_1 & x_2 & x_3 \\ y_1 & y_2 & y_3 \end{bmatrix} \begin{bmatrix} \mathcal{L}_1 \\ \mathcal{L}_2 \\ \mathcal{L}_3 \end{bmatrix} \quad (4.86)$$

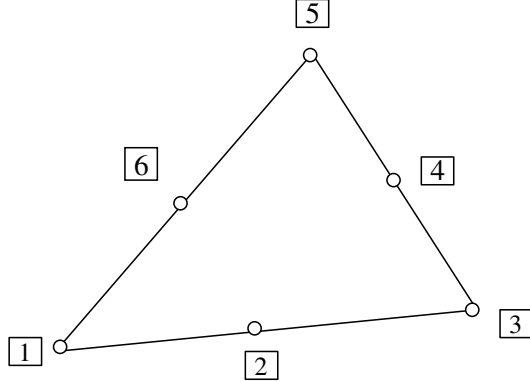
Funktsiooni interpoleerimine kujufunktsioonide (kolmnurga pindalakoordinaatide) abil

$$v = N_1 v_1 + N_2 v_2 + N_3 v_3 \quad (4.87)$$

kus

$$N_1 = \mathcal{L}_1, \quad N_2 = \mathcal{L}_2, \quad N_3 = \mathcal{L}_3$$

Kuue sõlmpunktiga kolmnurkse elemendi (joonis 4.20) kujufunktsioonid on toodud avaldistega (4.88)

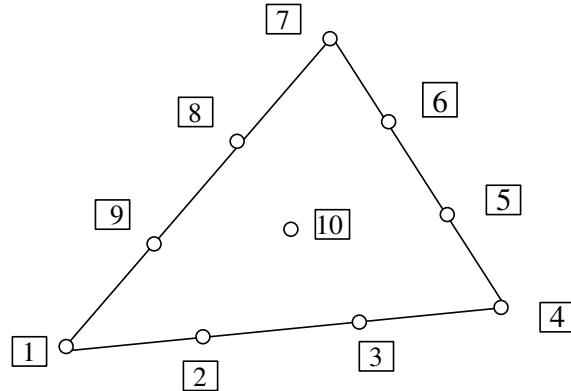


Joonis 4.20. 6 sõlmpunktiga kolmnurkne element

$$\begin{aligned} N_1 &= (2\mathcal{L}_1 - 1)\mathcal{L}_1, & N_2 &= 4\mathcal{L}_1\mathcal{L}_2 \\ N_3 &= (2\mathcal{L}_2 - 1)\mathcal{L}_2, & N_4 &= 4\mathcal{L}_2\mathcal{L}_3 \\ N_5 &= (2\mathcal{L}_3 - 1)\mathcal{L}_3, & N_6 &= 4\mathcal{L}_3\mathcal{L}_1 \end{aligned} \quad (4.88)$$

Kümme sõlmpunktiga kolmnurkse elemendi (joonis 4.21) kujufunktsioonid on toodud avaldistega (4.89)

$$\begin{aligned} N_1 &= \frac{1}{2}(3\mathcal{L}_1 - 1)(3\mathcal{L}_1 - 2)\mathcal{L}_1, & N_2 &= \frac{9}{2}\mathcal{L}_1\mathcal{L}_2(3\mathcal{L}_1 - 1) \\ N_3 &= \frac{9}{2}\mathcal{L}_1\mathcal{L}_2(3\mathcal{L}_2 - 1), & N_4 &= \frac{1}{2}(3\mathcal{L}_2 - 1)(3\mathcal{L}_2 - 2)\mathcal{L}_2 \\ N_5 &= \frac{9}{2}\mathcal{L}_2\mathcal{L}_3(3\mathcal{L}_2 - 1), & N_6 &= \frac{9}{2}\mathcal{L}_2\mathcal{L}_3(3\mathcal{L}_3 - 1) \\ N_7 &= \frac{1}{2}(3\mathcal{L}_3 - 1)(3\mathcal{L}_3 - 2)\mathcal{L}_3, & N_8 &= \frac{9}{2}\mathcal{L}_3\mathcal{L}_1(3\mathcal{L}_3 - 1) \\ N_9 &= \frac{9}{2}\mathcal{L}_3\mathcal{L}_1(3\mathcal{L}_1 - 1), & N_{10} &= 27\mathcal{L}_1\mathcal{L}_2\mathcal{L}_3 \end{aligned} \quad (4.89)$$



Joonis 4.21. 10 sõlmpunktiga kolmnurkne element

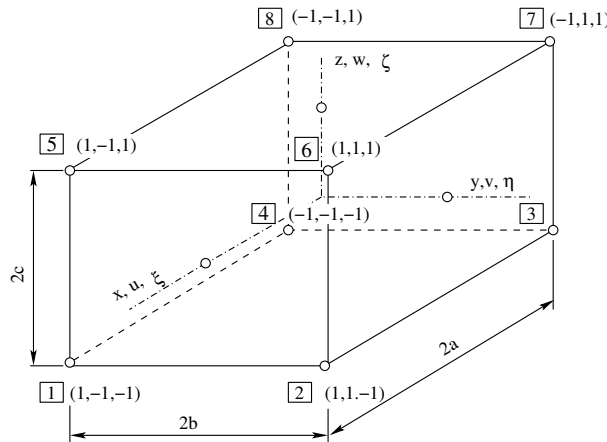
## 4.4 Interpoleerimine ruumis

### 4.4.1 Lagrange'i interpolatsioon ruumis

Lähendame funktsiooni  $v(x, y, z)$  polünoomiga  $P^n(x, y, z)$

$$\begin{aligned} v(x, y, z) = P^n(x, y, z) = & a_0 + a_1x + a_2y + a_3z + \\ & + a_4xy + a_5xz + a_6yz + \dots \end{aligned} \quad (4.90)$$

Vaatleme kahekso sõlmpunktiga elementi (joonis 4.22). Olgu ristküliku külgede pikku-



Joonis 4.22. Lagrange'i interpolatsioon ruumis

sed  $2a$ ,  $2b$ ,  $2c$ . Võtame kasutusele mõõduta koordinaadid  $\xi$ ,  $\eta$ ,  $\zeta$

$$\xi = \frac{x}{a}, \quad \eta = \frac{y}{b}, \quad \zeta = \frac{z}{c} \quad (4.91)$$

Kujufunktsiooni  $N_i$  saame Lagrange' interpolatsioonifunktsioonide  $\mathcal{L}_i^{(1)}$  korrutisena

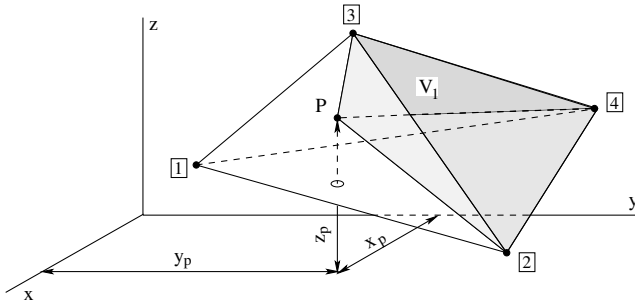
$$N_i(\xi, \eta, \zeta) = \mathcal{L}_i^{(1)}(\xi) \mathcal{L}_i^{(1)}(\eta) \mathcal{L}_i^{(1)}(\zeta) \quad (4.92)$$

ehk

$$N_i(\xi, \eta, \zeta) = \frac{1}{8}(1 + \xi)\eta(1 + \eta)(1 + \zeta), \quad (i = 1, 2, \dots, 8) \quad (4.93)$$

#### 4.4.2 Ruumalakoordinaadid

Analoogiliselt kolmnurga pindalakoordinaatidega, võtame kasutusele ruumalakoordinaadid  $\mathcal{L}_i$ . Vaatleme tetraeedrit (joonis 4.23). Selle tippude koordinaadid  $(x_1, y_1, z_1)$ ,  $(x_2, y_2, z_2)$ ,  $(x_3, y_3, z_3)$ ,  $(x_4, y_4, z_4)$  valime interpolatsioonisõlmedeks.



Joonis 4.23. Ruumalakoordinaadid

Tetraeedri sees vabalt valitud punkti  $P$  koordinaadid  $(x_p, y_p, z_p)$  avalduvad ruumalakoordinaatide  $\mathcal{L}_i$  kaudu järgmiselt:

$$\begin{bmatrix} 1 \\ x_p \\ y_p \\ z_p \end{bmatrix} = \begin{bmatrix} 1 & 1 & 1 & 1 \\ x_1 & x_2 & x_3 & x_4 \\ y_1 & y_2 & y_3 & y_4 \\ z_1 & z_2 & z_3 & z_4 \end{bmatrix} \begin{bmatrix} \mathcal{L}_1 \\ \mathcal{L}_2 \\ \mathcal{L}_3 \\ \mathcal{L}_4 \end{bmatrix} \quad (4.94)$$

Avaldame ruumalakoordinaadid  $\mathcal{L}_i$  vabalt valitud punkti koordinaatide  $(x_p, y_p, z_p)$  kaudu

$$\begin{bmatrix} \mathcal{L}_1 \\ \mathcal{L}_2 \\ \mathcal{L}_3 \\ \mathcal{L}_4 \end{bmatrix} = \frac{1}{2V_\Delta} \begin{bmatrix} a_1 & b_1 & c_1 & d_1 \\ a_2 & b_2 & c_2 & d_2 \\ a_3 & b_3 & c_3 & d_3 \\ a_4 & b_4 & c_4 & d_4 \end{bmatrix} \begin{bmatrix} 1 \\ x_p \\ y_p \\ z_p \end{bmatrix} \quad (4.95)$$

kus tetraeedri ruumala  $V_\Delta$  arvutame determinandi abil

$$V_\Delta = \frac{1}{6} \begin{vmatrix} 1 & x_1 & y_1 & z_1 \\ 1 & x_2 & y_2 & z_2 \\ 1 & x_3 & y_3 & z_3 \\ 1 & x_4 & y_4 & z_4 \end{vmatrix} \quad (4.96)$$

Maatriksi elemendid  $a_i$ ,  $b_i$ ,  $c_i$ , ja  $d_i$  saab indeksite tsüklilise ümberpaigutusega järgmiste avaldistest:

$$a_i = \begin{vmatrix} x_j & y_j & z_j \\ x_k & y_k & z_k \\ x_l & y_l & z_l \end{vmatrix}, \quad b_i = -\begin{vmatrix} 1 & y_j & z_j \\ 1 & y_k & z_k \\ 1 & y_l & z_l \end{vmatrix}$$

$$c_i = \begin{vmatrix} x_j & 1 & z_j \\ x_k & 1 & z_k \\ x_l & 1 & z_l \end{vmatrix}, \quad d_i = \begin{vmatrix} x_j & y_j & 1 \\ x_k & y_k & 1 \\ x_l & y_l & 1 \end{vmatrix}$$

$$(i, j, k, l = 1, 2, 3, 4; \quad 2, 3, 4, 1; \quad 3, 4, 1, 2; \quad 4, 1, 2, 3) \quad (4.97)$$



# Peatükk 5

## Numbriline integreerimine

### 5.1 Sissejuhatavad märkused ja määrangud

Vaatleme määratud integraali ligikaudse väärvtuse leidmist funktsioonist  $f(x)$

$$\int_a^b w(x) f(x) dx = A_1 f(x_1) + A_2 f(x_2) + \dots + A_n f(x_n) + E(f(x)) \quad (5.1)$$

siin

- $x_k$  – integreerimispunktid (sõlmed)
- $A_k$  – integreerimiskordajad (kaalud)
- $E(f(x))$  – aproksimatsiooniviga
- $w(x)$  – kaalufunktsioon

Määratud integraali ligikaudse väärvtuse leidmiseks kasutatakse

- Newtoni-Cotes'i valemit
- Gaussi valemit
- Rombergi valemit

Funktsiooni kirjeldamiseks kasutame Lagrange'i interpolatsiooni (4.8)

$$v(x) = \mathcal{L}_0^{(n)}(x)v_0 + \mathcal{L}_1^{(n)}(x)v_1 + \mathcal{L}_2^{(n)}(x)v_2 + \dots + \mathcal{L}_n^{(n)}(x)v_n + E[v; x] \quad (5.2)$$

siin on  $E[v; x]$  aproksimatsiooniviga.

Korrutame avaldise (5.2) kaalufunktsiooniga  $w(x)$  ja integreerime üle piirkonna  $[a, b]$

$$\int_a^b w(x) v(x) dx = \int_a^b w(x) \mathcal{L}_i^{(n)}(x) v_i dx + \int_a^b w(x) E[v; x] dx \quad (i = 0, 1, 2, \dots, n) \quad (5.3)$$

Võrdleme saadud tulemust (5.3) avaldisega (5.1), saame

$$A_i = \int_a^b w(x) \mathcal{L}_i^{(n)}(x) dx , \quad (i = 0, 1, 2, \dots, n) \quad (5.4)$$

ja

$$E(f(x)) = \int_a^b w(x) E[v; x] dx \quad (5.5)$$

Järgnevalt vaatleme ortogonaalseid polünoome  $P^{(n)}(x)$  lõigul  $[a, b]$ . Lõigul  $[a, b]$  kaalufunksiooniga  $w(x)$  on ortogonaalsed polünoomid ühe muutuja polünoomide jada  $\{P^{(n)}\}$ , milles iga  $P^{(n)}$  on täpselt  $n$ -astme polünoom, ja  $n \neq m$  korral

$$\int_a^b w(x) P^{(n)}(x) P^{(m)}(x) dx = 0 \quad (5.6)$$

Legendre'i, Tšebõšovi, Jacobi, Hermite'i, Laguerre'i polünoomide puhul on kaalufunktsoonid toodud tabelis.

Tabel 5.1. Ortogonaalsete polünoomide kaalufunktsoonid

Intervall	Kaalufunktsoon $w(x)$	Polünoom
$[-1, +1]$	1	Legendre'i
$[-1, +1]$	$(1 - x^2)^{-\frac{1}{2}}$	Tšebõšovi I-liiki
$[-1, +1]$	$(1 - x^2)^{-\frac{1}{2}}$	Tšebõšovi II-liiki
$[-1, +1]$	$(1 - x^2)^\alpha (1 + x^2)^\beta$ $\alpha > -1, \beta < -1$	Jacobi
$[-\infty, +\infty]$	$e^{-x^2}$	Hermite'i
$[0, +\infty]$	$e^{-x}$	Laguerre'i

Ortogonaalse polünoomi sõlmede  $x_0, x_1, x_2, \dots, x_l$  kaudu saab polünoomi esitada järgmisel kujul:

$$P^{(n)}(x) = (x - x_0)^{m_0} (x - x_1)^{m_1} (x - x_2)^{m_2} \dots (x - x_l)^{m_l} \quad (5.7)$$

kus  $m_0, m_1, m_2, \dots, m_l$  on reaalsed ja erinevad ning

$$m_0 + m_1 + m_2 + \dots + m_l = n \quad (5.8)$$

### Legendre'i polünoomid

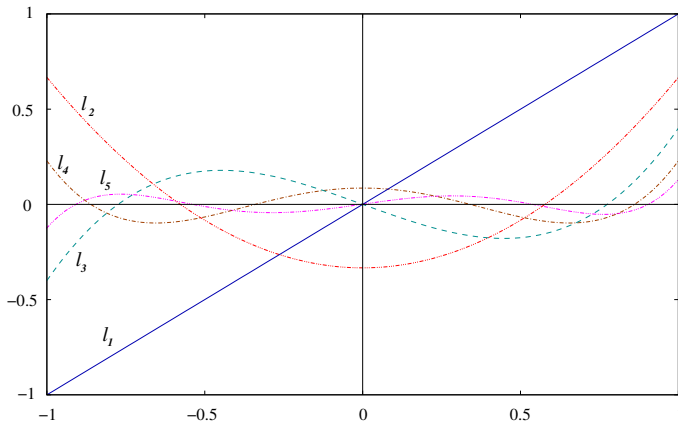
Kasutame Legendre'i polünoomide saamiseks Rodriguesi valemit

$$P^{(n)} = \frac{1}{2^n n!} \frac{d^n}{dx^n} (x^2 - 1)^n \quad 80 \quad (5.9)$$

Esitame mõned Legendre'i polünoomid  $P^{(n)}$  ja  $l^{(n)}$

$$\begin{aligned} P_0 &= 1, & l_0 &= 1 \\ P_1 &= x, & l_1 &= x \\ P_2 &= \frac{1}{2}(3x^2 - 1), & l_2 &= \frac{1}{3}(3x^2 - 1) \\ P_3 &= \frac{1}{2}(5x^3 - 3x), & l_3 &= \frac{1}{5}(5x^3 - 3x) \\ P_4 &= \frac{1}{8}(35x^4 - 30x^2 + 3), & l_4 &= \frac{1}{35}(35x^4 - 30x^2 + 3) \\ P_5 &= \frac{1}{8}(63x^5 - 70x^3 + 15x), & l_5 &= \frac{1}{63}(63x^5 - 70x^3 + 15x) \end{aligned} \quad (5.10)$$

Normmeeritud Legendre'i polünoomid  $l^{(n)}$  on joonisel 5.1.



Joonis 5.1. Legendre'i polünoomid

Legendre'i polünoomid  $l^{(n)}$  saab esitada kujul

$$\begin{aligned} l_2(\xi) &= \frac{1}{3}(5\xi^2 - 3\xi) = \left(\xi - \sqrt{\frac{1}{3}}\right) \left(\xi + \sqrt{\frac{1}{3}}\right) \\ l_3(\xi) &= \frac{1}{5}(5\xi^3 - 3\xi) = \xi \left(\xi - \sqrt{\frac{3}{5}}\right) \left(\xi + \sqrt{\frac{3}{5}}\right) \end{aligned} \quad (5.11)$$

Legendre'i polünoomi  $l^{(2)}$  sõlmed  $-\sqrt{\frac{1}{3}}, +\sqrt{\frac{1}{3}}$ ,

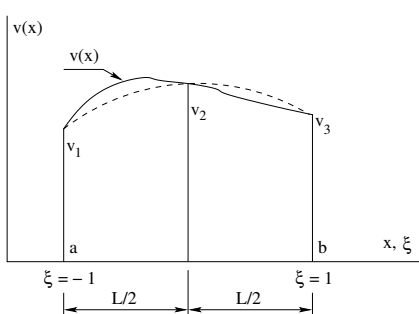
polünoomi  $l^{(3)}$  sõlmed  $0, -\sqrt{\frac{3}{5}}, +\sqrt{\frac{3}{5}}$ .

Legendre'i polünoomide  $l^{(n)}$  sõlmed on tabuleeritud ja toodud käsiraamatutes.

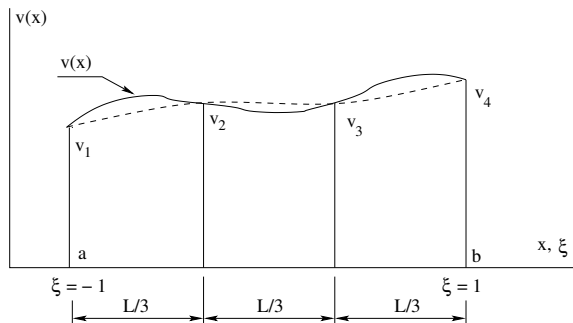
## 5.2 Newtoni-Cotes'i valemid

Vaatleme funktsiooni  $v(x)$  lõigul  $[a, b]$  (joonis 5.2). Olgu teada funktsiooni väärtsused lõigu alguses  $v_1$ , keskel  $v_2$  ja lõpus  $v_3$  ning kaalufunktsioon  $w(x) = 1$ . Kasutame mõõduta koordinaate

$$\xi = \frac{2x}{L}, \quad dx = \frac{1}{2}Ld\xi \quad (5.12)$$



Joonis 5.2. Simpsoni valem

Joonis 5.3. Simpsoni  $\frac{3}{8}$  valem

Funktsiooni  $v_x$  interpoleerime Lagrange'i kujufunksioonidega kolmes sõlmes

$$\begin{aligned} \int_a^b v(x) dx &= \frac{1}{2} L \int_{-1}^{+1} v(\xi) d\xi = \frac{1}{2} L \int_{-1}^{+1} (N_1 v_1 + N_2 v_2 + N_3 v_3) d\xi = \\ &= \frac{1}{2} L \int_{-1}^{+1} \left[ \frac{1}{2} (\xi^2 - \xi) v_1 + \right. \\ &\quad \left. + (1 - \xi^2) v_2 + \frac{1}{2} (\xi^2 + \xi) v_3 \right] d\xi = \frac{L}{6} [v_1 + 4v_2 + v_3] \end{aligned} \quad (5.13)$$

Valemit (5.13) nimetatakse Simpsoni valemiks.

Olgu teada funktsiooni väärused lõigu alguses  $v_1$ , ühel kolmandikul  $v_2$ , teisel kolmandikul  $v_3$  ja lõpus  $v_4$  (joonis 5.3). Interpoleerime funktsiooni  $v_x$  Lagrange'i kuju-funksioonidega neljas sõlmes

$$\begin{aligned} \int_a^b v(x) dx &= \frac{1}{2} L \int_{-1}^{+1} v(\xi) d\xi = \\ &= \frac{1}{2} L \int_{-1}^{+1} (N_1 v_1 + N_2 v_2 + N_3 v_3 + N_4 v_4) d\xi = \\ &= \frac{L}{8} [v_1 + 3v_2 + 3v_3 + v_4] \end{aligned} \quad (5.14)$$

Valemit (5.14) nimetatakse Simpsoni  $\frac{3}{8}$  valemiks.

### 5.3 Gaussi valemid

Lähendame funktsiooni  $v(\xi)$  järgmiselt:

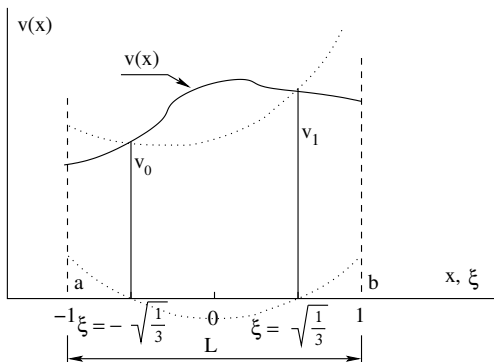
$$v(\xi) = \mathcal{L}_0^{(1)}(\xi) v_0 + \mathcal{L}_1^{(1)}(\xi) v_1 \quad (5.15)$$

kus interpolatsioonipolünoomi  $\mathcal{L}_i^{(n)}(\xi)$  interpolatsioonisõlmedeks võetakse Legendre'i polünoomi sõlmed (joonis 5.4)

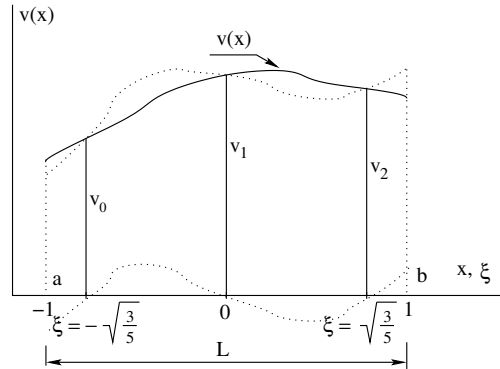
$$\mathcal{L}_0^{(1)}(\xi) = \frac{\xi - \sqrt{\frac{1}{3}}}{-\sqrt{\frac{1}{3}} - \sqrt{\frac{1}{3}}} = \frac{1}{2} - \frac{1}{2\sqrt{\frac{1}{3}}}\xi$$

$$\mathcal{L}_1^{(1)}(\xi) = \frac{\xi + \sqrt{\frac{1}{3}}}{\sqrt{\frac{1}{3}} + \sqrt{\frac{1}{3}}} = \frac{1}{2} + \frac{1}{2\sqrt{\frac{1}{3}}}\xi \quad (5.16)$$

Integraal funktsioonist  $v(x)$  on



Joonis 5.4. Gaussi kaks sõlme



Joonis 5.5. Gaussi kolm sõlme

$$\begin{aligned} \int_a^b v(x) dx &= \frac{1}{2}L \int_{-1}^{+1} v(\xi) d\xi = \frac{1}{2}L \int_{-1}^{+1} \mathcal{L}_0^{(1)}(\xi) v_0 d\xi + \\ &+ \frac{1}{2}L \int_{-1}^{+1} \mathcal{L}_1^{(1)}(\xi) v_1 d\xi = \frac{1}{2}L \left[ A_0 v_0 \left( -\sqrt{\frac{1}{3}} \right) + A_1 v_1 \left( \sqrt{\frac{1}{3}} \right) \right] \end{aligned} \quad (5.17)$$

kus

$$\begin{aligned} A_0 &= \int_{-1}^{+1} \mathcal{L}_0^{(1)}(\xi) d\xi = \int_{-1}^{+1} \left( \frac{1}{2} - \frac{1}{2\sqrt{\frac{1}{3}}}\xi \right) d\xi = 1 \\ A_1 &= \int_{-1}^{+1} \mathcal{L}_1^{(1)}(\xi) d\xi = \int_{-1}^{+1} \left( \frac{1}{2} + \frac{1}{2\sqrt{\frac{1}{3}}}\xi \right) d\xi = 1 \end{aligned} \quad (5.18)$$

$$A_0 + A_1 = 2$$

(5.19)

Kolme Gaussi integreerimissõlme puhul (joonis 5.5) on funktsiooni lähendus

$$v(\xi) = \mathcal{L}_0^{(2)}(\xi) v_0 + \mathcal{L}_1^{(2)}(\xi) v_1 + \mathcal{L}_2^{(2)}(\xi) v_2 \quad (5.20)$$

siin

$$\begin{aligned} \mathcal{L}_0^{(2)}(\xi) &= \frac{(\xi - 0)(\xi - \sqrt{\frac{3}{5}})}{(-\sqrt{\frac{3}{5}} - 0)(-\sqrt{\frac{3}{5}} - \sqrt{\frac{3}{5}})} = \frac{5}{6}\xi \left( \xi - \sqrt{\frac{3}{5}} \right) \\ \mathcal{L}_1^{(2)}(\xi) &= \frac{(\xi + \sqrt{\frac{3}{5}})(\xi - \sqrt{\frac{3}{5}})}{(0 + \sqrt{\frac{3}{5}})(0 - \sqrt{\frac{3}{5}})} = -\frac{5}{3}\left( \xi^2 - \frac{3}{5} \right) \\ \mathcal{L}_2^{(2)}(\xi) &= \frac{(\xi + \sqrt{\frac{3}{5}})(\xi - 0)}{(\sqrt{\frac{3}{5}} + \sqrt{\frac{3}{5}})(\sqrt{\frac{3}{5}} - 0)} = \frac{5}{6}\xi \left( \xi + \sqrt{\frac{3}{5}} \right) \end{aligned} \quad (5.21)$$

Integraal funktsionist  $v(x)$  on

$$\begin{aligned} \int_a^b v(x) dx &= \frac{1}{2} L \int_{-1}^{+1} v(\xi) d\xi = \frac{1}{2} L \int_{-1}^{+1} \mathcal{L}_0^{(2)}(\xi) v_0 d\xi + \\ &\quad + \frac{1}{2} L \int_{-1}^{+1} \mathcal{L}_1^{(2)}(\xi) v_1 d\xi + \frac{1}{2} L \int_{-1}^{+1} \mathcal{L}_2^{(2)}(\xi) v_2 d\xi = \\ &= \frac{1}{2} L \left[ A_0 v_0 \left( -\sqrt{\frac{3}{5}} \right) + A_1 v_1(0) + A_2 v_2 \left( \sqrt{\frac{3}{5}} \right) \right] \end{aligned} \quad (5.22)$$

kus

$$\begin{aligned} A_0 &= \int_{-1}^{+1} \mathcal{L}_0^{(2)}(\xi) d\xi = \int_{-1}^{+1} \frac{5}{6} \left( \xi^2 - \sqrt{\frac{3}{5}} \xi \right) d\xi = \frac{5}{9} = 0.5555\dots \\ A_1 &= \int_{-1}^{+1} \mathcal{L}_1^{(2)}(\xi) d\xi = \int_{-1}^{+1} -\frac{5}{3} \left( \xi^2 - \frac{3}{5} \right) d\xi = \frac{8}{9} = 0.8888\dots \\ A_2 &= \int_{-1}^{+1} \mathcal{L}_2^{(2)}(\xi) d\xi = \int_{-1}^{+1} \frac{5}{6} \left( \xi^2 + \sqrt{\frac{3}{5}} \xi \right) d\xi = \frac{5}{9} = 0.5555\dots \\ A_0 + A_1 + A_2 &= \frac{5}{9} + \frac{8}{9} + \frac{5}{9} = 2 \end{aligned} \quad (5.23)$$

### 5.3.1 Gaussi valemid tasapinnal

Funktsiooni  $v(\xi, \eta)$  integraal

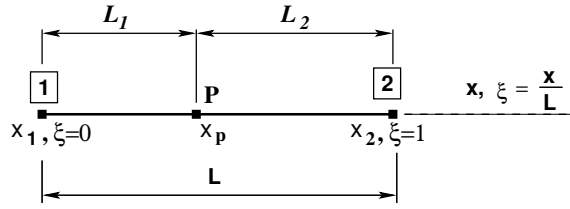
$$\begin{aligned} \int_{-1}^{+1} \int_{-1}^{+1} v(\xi, \eta) d\xi d\eta &= \int_{-1}^{+1} \left[ \int_{-1}^{+1} v(\xi, \eta) d\xi \right] d\eta = \\ &= \int_{-1}^{+1} \left[ \sum_{i=1}^N A_i v(\xi_i, \eta) \right] d\eta = \int_{-1}^{+1} \left[ \sum_{i=1}^N g(\eta) \right] d\eta = \\ &= \sum_{j=1}^N \sum_{i=1}^N A_i A_j g(\eta_j) = \\ &= \sum_{j=1}^N \sum_{i=1}^N A_i A_j v(\xi_i, \eta_j) \end{aligned} \quad (5.24)$$

siin

$v(\xi_i, \eta_j)$  – funktsiooni väärustused Gaussi sõlmedes,  
 $A_i$  ja  $A_j$  – kordajad (kaalud) Gaussi sõlmedes vastavalt  $\xi$  ning  $\eta$  suunas.

## 5.4 Valemid $\mathcal{L}_i$ -koordinaatides

Kolmnurga pindalakoordinaatidele ja ruumalakoordinaatidele lisame veel joone  $\mathcal{L}_i$ -koordinaadid (joonis 5.6).



Joonis 5.6. L-koordinaat

$$\begin{aligned}\mathcal{L}_1 + \mathcal{L}_2 &= 1 \\ x_p &= \mathcal{L}_1 x_1 + \mathcal{L}_2 x_2\end{aligned}\tag{5.25}$$

ehk maatrikskujul

$$\begin{bmatrix} 1 \\ x_p \end{bmatrix} = \begin{bmatrix} 1 & 1 \\ x_1 & x_2 \end{bmatrix} \begin{bmatrix} \mathcal{L}_1 \\ \mathcal{L}_2 \end{bmatrix} \tag{5.26}$$

Seose (5.26) pöördseos on

$$\begin{bmatrix} \mathcal{L}_1 \\ \mathcal{L}_2 \end{bmatrix} = \frac{1}{x_2 - x_1} \begin{bmatrix} x_2 & -1 \\ -x_1 & 1 \end{bmatrix} \begin{bmatrix} 1 \\ x_p \end{bmatrix} \tag{5.27}$$

$\mathcal{L}_i$ -koordinaadid on üksteisest sõltuvad

$$\mathcal{L}_2 = 1 - \mathcal{L}_1, \quad dx = L d\xi \tag{5.28}$$

Tähistame  $\mathcal{L}_i$ -koordinaadi astme  $m$  järgmiselt  $\mathcal{L}_i^m$ .

Integraal  $\mathcal{L}_i$ -koordinaatide korrutisest

$$\begin{aligned}\int_{-1}^{+1} \mathcal{L}_1^m \mathcal{L}_2^n dx &= \int_{-1}^{+1} \mathcal{L}_1^m (1 - \mathcal{L}_1^n) L d\xi = \\ L \int_{-1}^{+1} \mathcal{L}_1^m (1 - \mathcal{L}_1^n) d\xi &= L \frac{\Gamma(m+1) \Gamma(n+1)}{\Gamma(m+n+2)}\end{aligned}\tag{5.29}$$

kus

$$\Gamma(m+1) = m!, \quad \Gamma(m+n+2) = (m+n+1)!, \quad 0! = 1 \tag{5.30}$$

Kirjutame avaldise (5.29) järgmisel kujul:

$$\int_{-1}^{+1} \mathcal{L}_1^m \mathcal{L}_2^n dx = \frac{L m! n!}{(m+n+1)!} \tag{5.31}$$

### Kolmnurga pindalakoordinaadid

Integraal korrutisest

$$\int_A (\mathcal{L}_1)^k (\mathcal{L}_2)^m (\mathcal{L}_3)^n dA = \frac{2Ak!m!n!}{(k+m+n+2)!} \tag{5.32}$$

siin on  $A$  kolmnurga pindala. Kuna  $\mathcal{L}_1 + \mathcal{L}_2 + \mathcal{L}_3 = 1$ , siis

$$\int_A (\mathcal{L}_1)^i (\mathcal{L}_2)^j dA = 2A \frac{i!j!}{(i+j+2)!} \quad (5.33)$$

### Ruumalakoordinaadid

Integraal korruisest

$$\int_V (\mathcal{L}_1)^k (\mathcal{L}_2)^l (\mathcal{L}_3)^m (\mathcal{L}_4)^n dV = \frac{6V k! l! m! n!}{(k+l+m+n+3)!} \quad (5.34)$$

siin on  $V$  tetraeedri ruumala. Kuna  $\mathcal{L}_1 + \mathcal{L}_2 + \mathcal{L}_3 + \mathcal{L}_4 = 1$ , siis

$$\int_V (\mathcal{L}_1)^i (\mathcal{L}_2)^j (\mathcal{L}_3)^k (\mathcal{L}_4)^l dV = 6V \frac{i!j!k!l!}{(i+j+k+l+3)!} \quad (5.35)$$

## 5.5 Gaussi-Radau skeem

Kolmnurgas kasutatakse Gaussi sõlmede asukohtade määramiseks ja ka rajaelementide meetodis singulaarsete integraalide arvutamiseks Gaussi-Radau skeemi.

Tähistame koordinaadid  $x_1, x_2, x_3$  ( $x, y, z$ ) (joonis 5.7). Vaatleme bilineaarset teisendust

$$x_i = \mathcal{R}_1^{(2)} x_i^{(1)} + \mathcal{R}_2^{(2)} x_i^{(2)} + \mathcal{R}_3^{(2)} x_i^{(3)} \quad , \quad (i = 1, 2, 3) \quad (5.36)$$

kus

$$\mathcal{R}_1^{(2)} = (1 - \varrho_1), \quad \mathcal{R}_2^{(2)} = (1 - \varrho_2), \quad \mathcal{R}_3^{(2)} = \varrho_1 \varrho_2 \quad (5.37)$$

Järgnevalt vaatleme punktide  $P_i$  teisendamist punktideks  $P_i^*$

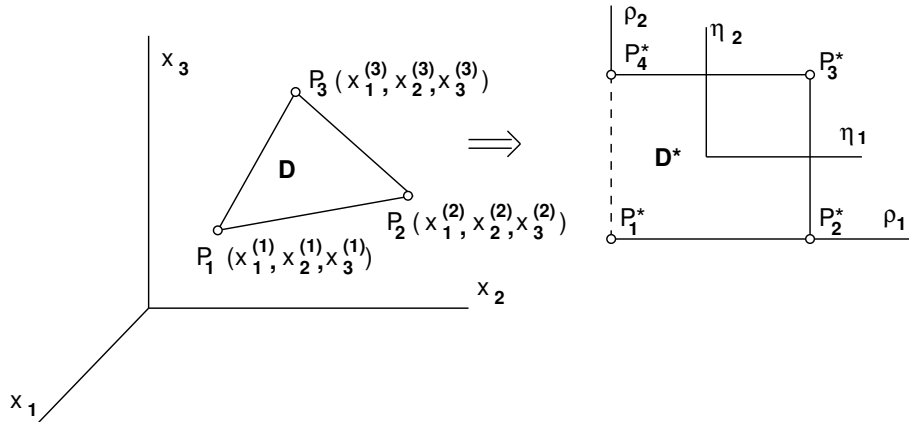
$$\begin{array}{ll} P_1 \left( x_1^{(1)}, x_2^{(1)}, x_3^{(1)} \right) & , \quad P_1^* (\varrho_1 = 0, \varrho_2 = 0) \\ P_2 \left( x_1^{(2)}, x_2^{(2)}, x_3^{(2)} \right) & , \quad P_2^* (\varrho_1 = 1, \varrho_2 = 0) \\ P_3 \left( x_1^{(3)}, x_2^{(3)}, x_3^{(3)} \right) & , \quad P_3^* (\varrho_1 = 1, \varrho_2 = 1) \\ & \quad P_4^* (\varrho_1 = 0, \varrho_2 = 1) \end{array} \quad (5.38)$$

Punkt  $P_1$  teisendub lõiguks  $\overline{P_4^* P_1^*}$  ning lõigud vastavateks lõikudeks

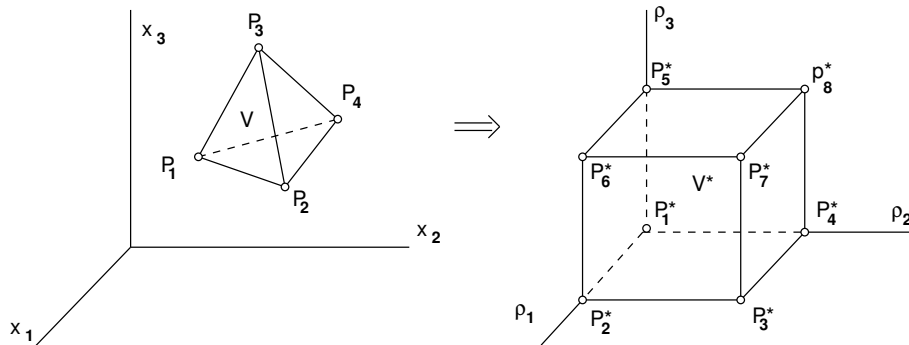
$$\begin{array}{ll} \frac{P_1}{P_1 P_2} & \Rightarrow \quad \overline{P_4^* P_1^*} \\ \frac{P_2}{P_2 P_3} & \Rightarrow \quad \overline{P_1^* P_2^*} \\ \frac{P_3}{P_3 P_1} & \Rightarrow \quad \overline{P_2^* P_3^*} \\ & \quad \overline{P_3^* P_4^*} \end{array} \quad (5.39)$$

Koordinaatide alguspunkti saab viia elemendi keskele teisendusega

$$\varrho_i = \frac{1}{2} (\eta_i + 1), \quad (i = 1, 2) \quad (5.40)$$



Joonis 5.7. Kolmnurga teisendus



Joonis 5.8. Tetraeedri teisendus

Tetraeedri (joonis 5.8) teisendus risttahukaks toimub järgmise avaldisega:

$$x_i = \mathcal{R}_1^{(3)} x_i^{(1)} + \mathcal{R}_2^{(3)} x_i^{(2)} + \mathcal{R}_3^{(3)} x_i^{(3)} + \mathcal{R}_4^{(3)} x_i^{(4)} \quad , \quad (i = 1, 2, 3, 4) \quad (5.41)$$

kus

$$\begin{aligned} \mathcal{R}_1^{(3)} &= (1 - \varrho_1), & \mathcal{R}_2^{(3)} &= \varrho_1 (1 - \varrho_2) \\ \mathcal{R}_3^{(3)} &= \varrho_1 \varrho_2 (1 - \varrho_3), & \mathcal{R}_4^{(3)} &= \varrho_1 \varrho_2 \varrho_3 \end{aligned} \quad (5.42)$$

Punkt  $P_1$  ja lõik  $\overline{P_1 P_2}$  ning külged teisenduvad vastavalt

$$\begin{array}{lll} \frac{P_1}{P_1 P_2} & \Rightarrow & P_1^* P_4^* P_8^* P_5^* \\ \frac{P_1 P_2}{P_1 P_3} & \Rightarrow & P_1^* P_5^* P_6^* P_2^* \\ P_1 P_2 P_3 & \Rightarrow & P_1^* P_2^* P_3^* P_4^* \\ P_4 P_1 P_2 & \Rightarrow & P_5^* P_6^* P_7^* P_8^* \\ P_3 P_4 P_1 & \Rightarrow & P_5^* P_6^* P_7^* P_8^* \\ P_2 P_3 P_4 & \Rightarrow & P_5^* P_6^* P_7^* P_8^* \end{array} \quad (5.43)$$

**Integreerimine pinnal**

Vaatleme muutujate teisendust integraalis

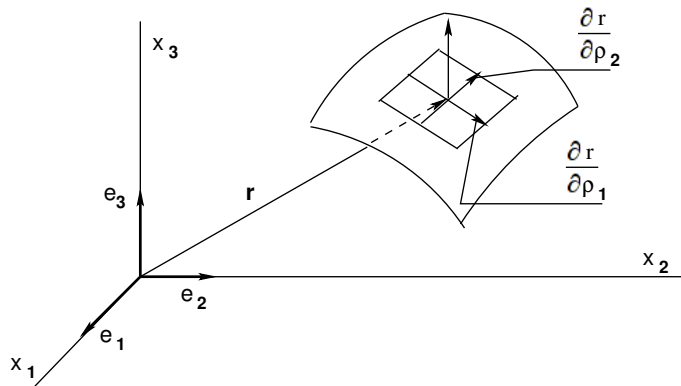
$$\int_A (\dots) dA = \int_{A^*} (\dots) dA^* \quad (5.44)$$

Kirjeldame punkti asukohta raadiusvektoriga  $\vec{r}$  (joonis 5.9)

$$\vec{r} = x_1 \vec{e}_1 + x_2 \vec{e}_2 + x_3 \vec{e}_3 \quad (5.45)$$

Pinnal on koordinaatideks Radau parameetrid  $\varrho_1$  ja  $\varrho_2$ . Võttes tuletised raadiusvektorist  $\vec{r}$ , saame pinna puutuja vektorid  $\frac{\partial \vec{r}}{\partial \varrho_1}$  ja  $\frac{\partial \vec{r}}{\partial \varrho_2}$ , mille projektsioonid koordinaattelgedele on

$$\begin{aligned} \frac{\partial \vec{r}}{\partial \varrho_1} &= \frac{\partial x_1}{\partial \varrho_1} \vec{e}_1 + \frac{\partial x_2}{\partial \varrho_1} \vec{e}_2 + \frac{\partial x_3}{\partial \varrho_1} \vec{e}_3 \\ \frac{\partial \vec{r}}{\partial \varrho_2} &= \frac{\partial x_1}{\partial \varrho_2} \vec{e}_1 + \frac{\partial x_2}{\partial \varrho_2} \vec{e}_2 + \frac{\partial x_3}{\partial \varrho_2} \vec{e}_3 \end{aligned} \quad (5.46)$$



Joonis 5.9. Integreerimine pinnal

Puutujate vektorkorrutis

$$\begin{aligned} \frac{\partial \vec{r}}{\partial \varrho_1} \times \frac{\partial \vec{r}}{\partial \varrho_2} &= \begin{vmatrix} \vec{e}_1 & \vec{e}_2 & \vec{e}_3 \\ \frac{\partial x_1}{\partial \varrho_1} & \frac{\partial x_2}{\partial \varrho_1} & \frac{\partial x_3}{\partial \varrho_1} \\ \frac{\partial x_1}{\partial \varrho_2} & \frac{\partial x_2}{\partial \varrho_2} & \frac{\partial x_3}{\partial \varrho_2} \end{vmatrix} = \\ &= \begin{vmatrix} \frac{\partial x_2}{\partial \varrho_1} & \frac{\partial x_3}{\partial \varrho_1} \\ \frac{\partial x_2}{\partial \varrho_2} & \frac{\partial x_3}{\partial \varrho_2} \end{vmatrix} \vec{e}_1 + \begin{vmatrix} \frac{\partial x_3}{\partial \varrho_1} & \frac{\partial x_1}{\partial \varrho_1} \\ \frac{\partial x_3}{\partial \varrho_2} & \frac{\partial x_1}{\partial \varrho_2} \end{vmatrix} \vec{e}_2 + \begin{vmatrix} \frac{\partial x_1}{\partial \varrho_1} & \frac{\partial x_2}{\partial \varrho_1} \\ \frac{\partial x_1}{\partial \varrho_2} & \frac{\partial x_2}{\partial \varrho_2} \end{vmatrix} \vec{e}_3 \end{aligned} \quad (5.47)$$

Pindala element  $d\vec{A}$  on

$$d\vec{A} = \vec{n} dA \quad (5.48)$$

kus

$$dA = \sqrt{\vec{A} \cdot \vec{A}} = J_A d\varrho_1 d\varrho_2 \quad (5.49)$$

Jakobiaan  $J_A$  on järgmine avaldis:

$$J_A = \sqrt{\left( \frac{\partial x_2}{\partial \varrho_1} \frac{\partial x_3}{\partial \varrho_2} - \frac{\partial x_2}{\partial \varrho_2} \frac{\partial x_3}{\partial \varrho_1} \right)^2 + \left( \frac{\partial x_3}{\partial \varrho_1} \frac{\partial x_1}{\partial \varrho_2} - \frac{\partial x_3}{\partial \varrho_2} \frac{\partial x_1}{\partial \varrho_1} \right)^2 + \left( \frac{\partial x_1}{\partial \varrho_1} \frac{\partial x_2}{\partial \varrho_2} - \frac{\partial x_1}{\partial \varrho_2} \frac{\partial x_2}{\partial \varrho_1} \right)^2} \quad (5.50)$$

Koordinaatide  $x_i$  tuletised parameetrite  $\varrho_i$  järgi

$$\begin{aligned} \frac{\partial x_i}{\partial \varrho_1} &= (x_i^{(2)} - x_i^{(1)}) + \varrho_2 (x_i^{(3)} - x_i^{(2)}) = x_i^{(21)} + \varrho_2 x_i^{(32)} \\ \frac{\partial x_i}{\partial \varrho_2} &= \varrho_1 (x_i^{(3)} - x_i^{(2)}) = \varrho_1 x_i^{(32)} \\ &\quad (i = 1, 2, 3) \end{aligned} \quad (5.51)$$

Jakobiaan  $J_A$  on

$$J_A = 2\varrho_1 A_\Delta \quad (5.52)$$

kus  $A_\Delta$  on kolmnurga pindala.

Üleminek koordinaatidele  $\eta_i$

$$J_A = \frac{1}{2} (\eta_1 + 1) \quad , \quad \varrho_2 = \frac{1}{2} (\eta_2 + 1) \quad (5.53)$$

Pindala elemendiks  $dA$  saame

$$dA = J_A d\varrho_1 d\varrho_2 = J_A J_g d\eta_1 d\eta_2 \quad (5.54)$$

kus

$$J_g = \begin{vmatrix} \frac{\partial \varrho_1}{\partial \eta_1} & \frac{\partial \varrho_2}{\partial \eta_1} \\ \frac{\partial \varrho_1}{\partial \eta_2} & \frac{\partial \varrho_2}{\partial \eta_2} \end{vmatrix} = \begin{vmatrix} \frac{1}{2} & 0 \\ 0 & \frac{1}{2} \end{vmatrix} = \frac{1}{4} \quad (5.55)$$

### Integreerimine ruumis

Vaatleme integraalis (5.56) muutujate teisendust

$$\int_V (\dots) dV = \int_{V^*} (\dots) dV^* \quad (5.56)$$

Elementaarruumala  $dV$  avaldub jakobiaani  $J_v$  kaudu järgmiselt:

$$dV = J_v d\varrho_1 d\varrho_2 d\varrho_3 \quad (5.57)$$

kus jakobiaan  $J_v$  kirjutatakse järgmisse determinandina:

$$J_v = \begin{vmatrix} \frac{\partial x_1}{\partial \varrho_1} & \frac{\partial x_1}{\partial \varrho_2} & \frac{\partial x_1}{\partial \varrho_3} \\ \frac{\partial x_2}{\partial \varrho_1} & \frac{\partial x_2}{\partial \varrho_2} & \frac{\partial x_2}{\partial \varrho_3} \\ \frac{\partial x_3}{\partial \varrho_1} & \frac{\partial x_3}{\partial \varrho_2} & \frac{\partial x_3}{\partial \varrho_3} \end{vmatrix} \quad (5.58)$$

Koordinaatide  $x_i$  tuletised parameetrite  $\varrho_i$  järgi

$$\begin{aligned}
 \frac{\partial x_i}{\partial \varrho_1} &= \left( x_i^{(2)} - x_i^{(1)} \right) + \varrho_2 \left( x_i^{(3)} - x_i^{(2)} \right) + \varrho_2 \varrho_3 \left( x_i^{(4)} - x_i^{(3)} \right) = \\
 &= x_i^{(21)} + \varrho_2 x_i^{(32)} + \varrho_2 \varrho_3 x_i^{(43)} \\
 \frac{\partial x_i}{\partial \varrho_2} &= \varrho_1 \left( x_i^{(3)} - x_i^{(2)} \right) + \varrho_1 \varrho_2 \left( x_i^{(4)} - x_i^{(3)} \right) = \\
 &= \varrho_1 x_i^{(32)} + \varrho_1 \varrho_2 x_i^{(43)} \\
 \frac{\partial x_i}{\partial \varrho_3} &= \varrho_1 \varrho_2 \left( x_i^{(4)} - x_i^{(3)} \right) = \\
 &= \varrho_1 \varrho_2 x_i^{(43)}
 \end{aligned} \tag{i = 1, 2, 3} \quad (5.59)$$

Jakobiaani  $J_v$  saame nüüd avaldada järgmiselt:

$$J_v = 6\varrho_1^2 \varrho_2 V \tag{5.60}$$

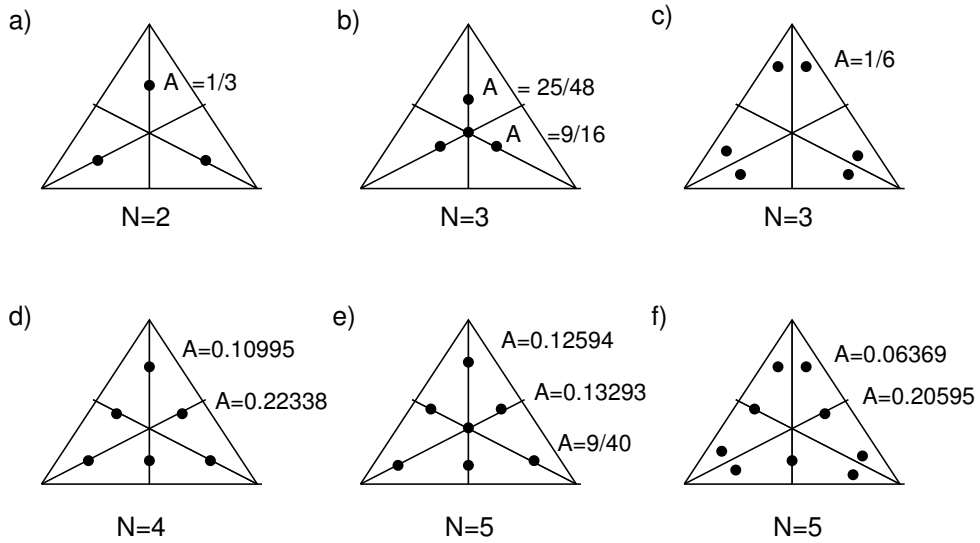
kus  $V$  on tetraeedri ruumala.

## 5.6 Kolmnurkse elemendi kaalud

Kolmnurkse elemendi integraali arvutame avaldisega

$$\int_A v(x, y) dA = A_i v_i (\mathcal{L}_1, \mathcal{L}_2, \mathcal{L}_3) \tag{5.61}$$

Joonisel 5.10 on näidatud kolmnurkse elemendi sõlmed. Tabelis anname integreerimissõlmude koordinaadid ja kaalud.



Joonis 5.10. Kolmnurkse elemendi kaalud

Tabel 5.2. Integreerimissõlmede koordinaadid ja kaalud

Skeem	Kaal $A_i$	Sõlmede arv	Koordinaadid
1	2	3	4
a)	$\frac{1}{3}$	3	$\mathcal{L}_1 = \frac{2}{3}, \quad \mathcal{L}_2 = \mathcal{L}_3 = \frac{1}{6}$
b)	$-\frac{9}{16}$	1	$\mathcal{L}_1 = \mathcal{L}_2 = \mathcal{L}_3 = \frac{1}{3}$
	$\frac{25}{48}$	3	$\mathcal{L}_1 = \frac{3}{5}, \quad \mathcal{L}_2 = \mathcal{L}_3 = \frac{1}{5}$
c)	$\frac{1}{6}$	6	$\mathcal{L}_1 = 0.659 \quad 027 \quad 622 \quad 374 \quad 0922$ $\mathcal{L}_2 = 0.109 \quad 039 \quad 009 \quad 072 \quad 9772$ $\mathcal{L}_3 = 0.231 \quad 933 \quad 368 \quad 553 \quad 0306$

Skeem	Kaal $A_i$	Integreerimissõlmede koordinaadid ja kaalud				Koordinaadid
		Sõlmede arv	3	4	4	
d)	0.109 951 743 655	3219	3	$\mathcal{L}_1 = 0.816$ $\mathcal{L}_2 = \mathcal{L}_3 = 0.091$	847 572 980	4585
	0.223 381 589 678	0115	3	$\mathcal{L}_1 = 0.108$ $\mathcal{L}_2 = \mathcal{L}_3 = 0.445$	103 018 168	0702
e)		$\frac{9}{40}$	1	$\mathcal{L}_1 = \mathcal{L}_2 = \mathcal{L}_3 = \frac{1}{3}$	984 490 915	9649
	0.125 939 180 544	8272	3	$\mathcal{L}_1 = 0.797$ $\mathcal{L}_2 = \mathcal{L}_3 = 0.101$	426 286 507	353 0873
	0.132 394 152 788	5062	3	$\mathcal{L}_1 = 0.059$ $\mathcal{L}_2 = \mathcal{L}_3 = 0.470$	715 142 286	789 105 4563
f)	0.125 939 180 544	8272	3	$\mathcal{L}_1 = 0.205$ $\mathcal{L}_2 = \mathcal{L}_3 = 0.437$	950 504 525	760 886 248
	0.063 961 414 286	2233	6	$\mathcal{L}_1 = 0.797$ $\mathcal{L}_2 = 0.165$ $\mathcal{L}_3 = 0.037$	112 409 477	651 927 420
					860 389 750	0708 8414 0878

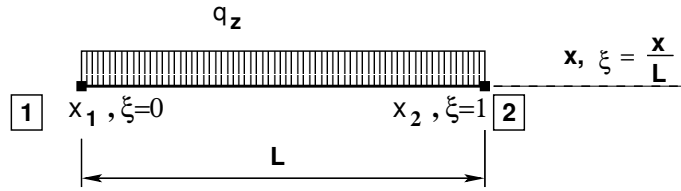
## 5.7 Näiteid numbrilisest integreerimisest

**Näide 5.1** Taandada joonisel 5.11 näidatud tala elemendile mõjuv ühtlaselt jaotatud lausekoormus sõlmedesse.

Võtame kasutusele mõõduta koordinaadi  $\xi$  ( $d\xi = L d\xi$ ). Virtuaalsiirete printsip tala elemendi jaoks

$$\int_0^L M_y \delta \psi_y dx = [M_y \delta \varphi_y + Q_z \delta w] \Big|_0^L + \int_0^L q(x) \delta w dx \quad (5.62)$$

Avaldise (5.62) viimane liige väljendab välisjõu võimalikku tööd. Lähendame siirdeid Hermi-



Joonis 5.11. Koormuse taandamine sõlmedesse

te'i interpolatsiooniga

$$\int_0^L q(x) \delta w dx = \int_0^L q (N_1 \delta w_1 + N_2 \delta w'_1 + N_3 \delta w_2 + N_4 \delta w'_2) dx \quad (5.63)$$

Kujufunktsoonide  $N_i$  integraalid

$$\begin{aligned} \int_0^L N_1(x) dx &= \int_0^1 (1 - 3\xi^2 + 2\xi^3) L d\xi = \frac{L}{2} \\ \int_0^L N_2(x) dx &= \int_0^1 L\xi(1-\xi)^2 L d\xi = \frac{L^2}{12} \\ \int_0^L N_3(x) dx &= \int_0^1 (3\xi^2 - 2\xi^3) L d\xi = \frac{L}{2} \\ \int_0^L N_4(x) dx &= \int_0^1 L(\xi^3 - \xi^2) L d\xi = -\frac{L^2}{12} \end{aligned} \quad (5.64)$$

Saadud avldised (5.64) ühtivad varem saadutega. Esitame välisjõudude võimaliku töö maatrickskujul

$$\int_0^L q(x) \delta w dx = \begin{bmatrix} \delta w_1 & \delta w'_1 & \delta w_2 & \delta w'_2 \end{bmatrix} \begin{bmatrix} \frac{qL}{2} \\ \frac{qL^2}{12} \\ \frac{qL}{2} \\ -\frac{qL^2}{12} \end{bmatrix} \quad (5.65)$$

Rajajõudude võimalik töö maatrikskujul

$$[M_y \delta \varphi_y + Q_z \delta w] |_0^L = \begin{bmatrix} \delta w_1 & \delta w'_1 & \delta w_2 & \delta w'_2 \end{bmatrix} \begin{bmatrix} Q_{z1} \\ M_{y1} \\ Q_{z2} \\ M_{y2} \end{bmatrix} \quad (5.66)$$

siin  $\varphi_y = -w'_i$  ja  $M_y = -EIw''_i$ .

Avaldises (5.66) on arvestatud II märgikokkulepet. Rajatingimused erinevate märgikokkulepete puhul:

- I märgikokkulepe

$$[M_y \delta \varphi_y + Q_z \delta w] |_0^L = M_{y2} \delta \varphi_{y2} - M_{y1} \delta \varphi_{y1} + Q_{z2} \delta w_2 - Q_{z1} \delta w_1 \quad (5.67)$$

- II märgikokkulepe

$$[M_y \delta \varphi_y + Q_z \delta w] \Big|_0^L = M_{y2} \delta \varphi_{y2} + M_{y1} \delta \varphi_{y1} + Q_{z2} \delta w_2 + Q_{z1} \delta w_1 \quad (5.68)$$

Sisejõudude võimaliku töö avaldis on

$$\int_0^L M_y \delta \psi_y dx = \int_0^L w'' EI \delta w'' dx \quad (5.69)$$

siin  $\psi_y = -w''$ . Siirde  $w$  esitame kujufunktsioonide abil

$$w(x) = N_1 w_1 + N_2 w'_1 + N_3 w_2 + N_4 w'_2 \quad (5.70)$$

Siirde teine tuletis  $w''$  ja selle variatsioon  $\delta w''$

$$w'' = \frac{d^2 N_1(x)}{dx^2} w_1 + \frac{d^2 N_2(x)}{dx^2} w'_1 + \frac{d^2 N_3(x)}{dx^2} w_2 + \frac{d^2 N_4(x)}{dx^2} w'_2 \quad (5.71)$$

$$\delta w'' = \frac{d^2 N_1(x)}{dx^2} \delta w_1 + \frac{d^2 N_2(x)}{dx^2} \delta w'_1 + \frac{d^2 N_3(x)}{dx^2} \delta w_2 + \frac{d^2 N_4(x)}{dx^2} \delta w'_2 \quad (5.72)$$

Lähme üle mõõduta koordinaatidele  $\xi = \frac{x}{l}$ , kus tuletised  $\xi$  järgi on

$$\frac{d \dots}{dx} = \frac{d}{d\xi} \frac{d\xi}{dx} = \frac{1}{l} \frac{d \dots}{d\xi}, \quad \frac{d^2 \dots}{dx^2} = \frac{1}{l^2} \frac{d^2 \dots}{d\xi^2} \quad (5.73)$$

Võtame Hermite'i kujufunktsioonidest (5.64) tuletised, saame

$$w'' = \frac{1}{l^2} \begin{bmatrix} (-6 + 12\xi) & l(-4 + 6\xi) & (6 - 12\xi) & l(-2 + 6\xi) \end{bmatrix} \begin{bmatrix} w_1 \\ w'_1 \\ w_2 \\ w'_2 \end{bmatrix} \quad (5.74)$$

Võimalikud teised tuletised  $\delta w''$  esitame järgmisel kujul:

$$w'' = \frac{1}{l^2} \begin{bmatrix} w_1 & w'_1 & w_2 & w'_2 \end{bmatrix} \begin{bmatrix} (-6 + 12\xi) \\ l(-4 + 6\xi) \\ (6 - 12\xi) \\ l(-2 + 6\xi) \end{bmatrix} \quad (5.75)$$

Avalduse (5.69) integreerimisel kasutame Simpsoni valemit

$$\begin{aligned} \int_0^l w'' EI \delta w'' dx &= \frac{l}{6} \left( w'' EI \delta w'' \Big|_{\xi=0} + 4w'' EI \delta w'' \Big|_{\xi=0.5} + w'' EI \delta w'' \Big|_{\xi=1} \right) = \\ &= \frac{l}{6} \frac{1}{l^4} \begin{bmatrix} w_1 & w'_1 & w_2 & w'_2 \end{bmatrix} \left\{ \begin{bmatrix} -6 \\ -4l \\ 6 \\ -2l \end{bmatrix} \begin{bmatrix} -6 & -4l & 6 & -2l \end{bmatrix} + \right. \\ &\quad \left. + 4 \begin{bmatrix} 0 \\ -l \\ 0 \\ l \end{bmatrix} \begin{bmatrix} 0 & -l & 0 & l \end{bmatrix} + \begin{bmatrix} 6 \\ 2l \\ -6 \\ 4l \end{bmatrix} \begin{bmatrix} 6 & 2l & -6 & 4l \end{bmatrix} \right\} \begin{bmatrix} w_1 \\ w'_1 \\ w_2 \\ w'_2 \end{bmatrix} \end{aligned} \quad (5.76)$$

Sisejõudude võimaliku töö avaldise (5.76) esitame järgmisel kujul:

$$\int_0^l M_y \delta \psi_y dx = \int_0^l \delta w'' EI w'' dx = \\ = \begin{bmatrix} w_1 & w'_1 & w_2 & w'_2 \end{bmatrix} \frac{EI}{l^3} \begin{bmatrix} 12 & 6l & -12 & 6l \\ 6l & 4l^2 & -6l & 2l^2 \\ -12 & -6l & 12 & -6l \\ 6l & 2l^2 & -6l & 4l^2 \end{bmatrix} \begin{bmatrix} w_1 \\ w'_1 \\ w_2 \\ w'_2 \end{bmatrix} \quad (5.77)$$

Avaldisest (5.77) saab jäikusmaatriksi  $K$

$$K = \frac{EI}{l^3} \begin{bmatrix} 12 & 6l & -12 & 6l \\ 6l & 4l^2 & -6l & 2l^2 \\ -12 & -6l & 12 & -6l \\ 6l & 2l^2 & -6l & 4l^2 \end{bmatrix} \quad (5.78)$$

Sisejõudude võimaliku töö avaldise esitame jäikusmaatriksi  $K$  abil

$$\int_0^l M_y \delta \psi_y dx = [\delta d^T] [K] [d] \quad (5.79)$$

Virtuaalsiirete printsip varda elemendi jaoks on

$$[\delta d^T] [K] [d] = [\delta d^T] [\mathbf{F}] + [\delta d^T] [\mathbf{F}_q] \quad (5.80)$$

kus sõlmpunktis on sisejõud  $\mathbf{F}$  ja siirded  $d$  ning elemendile mõjuv koormus sõlmpunktis  $\mathbf{F}_q$

$$[\mathbf{F}_q] = \int_0^l q(x) [\mathbf{N}] dx \quad (5.81)$$

$$[\mathbf{F}] = \begin{bmatrix} Q_{z1} \\ M_{y1} \\ Q_{z2} \\ M_{y2} \end{bmatrix}, \quad [d] = \begin{bmatrix} w_1 \\ w'_1 \\ w_2 \\ w'_2 \end{bmatrix}, \quad [\mathbf{N}] = \begin{bmatrix} N_1 \\ N_2 \\ N_3 \\ N_4 \end{bmatrix} \quad (5.82)$$

Jäikusmaatriks  $\mathbf{K}$

$$[\mathbf{K}] = \int_0^l [\mathbf{B}^T] EI [\mathbf{B}] dx \quad (5.83)$$

siin

$$[\mathbf{B}] = \left[ \begin{array}{cccc} \frac{d^2 N_1(x)}{dx^2} & \frac{d^2 N_2(x)}{dx^2} & \frac{d^2 N_3(x)}{dx^2} & \frac{d^2 N_4(x)}{dx^2} \end{array} \right] \quad (5.84)$$

Sõlmpunktide siirete kaudu arvutame paindemomendi  $M_y$

$$M_y = EI \psi_y = EI [\mathbf{B}] [d] = [\mathbf{S}] [d] \quad (5.85)$$

kus

$$[\mathbf{S}] = [\mathbf{D}] [\mathbf{B}] \quad (5.86)$$

$$[\mathbf{D}] = EI \quad (5.87)$$

Varda elemendi tasakaaluvõrrandid

$$[\mathbf{K}] [d] = [\mathbf{F}] + [\mathbf{F}_q] \quad (5.88)$$



# Peatükk 6

## Isoparametriline element

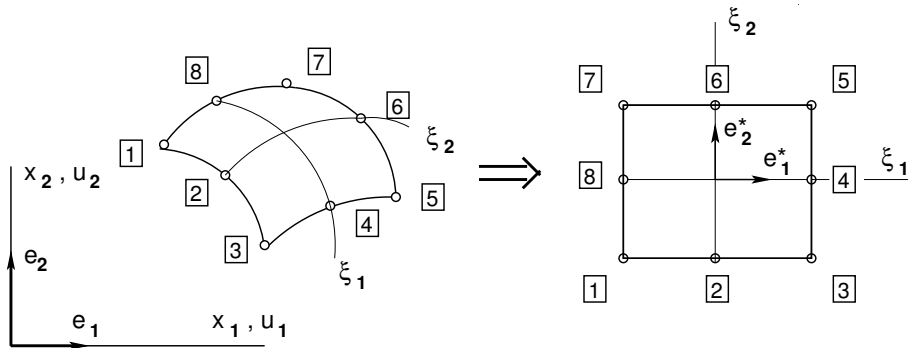
### 6.1 Koordinaatide teisendus

Vaatleme elementi, mille sõlmpunktide  $\boxed{i}$  koordinaadid on  $x_1^i, x_2^i$  ja siirded  $u_1^i, u_2^i$  (joonis 6.1)

$$\begin{aligned} x_i &= N_1 x_i^1 + N_2 x_i^2 + \dots + N_8 x_i^8 \\ x_i &= N_k x_i^k, \quad (i = 1, 2; k = 1, 2, \dots, 8) \end{aligned} \quad (6.1)$$

$$\begin{aligned} u_i &= N_1^* u_i^1 + N_2^* u_i^2 + \dots + N_8^* u_i^8 \\ u_i &= N_l^* u_i^l, \quad (i = 1, 2; l = 1, 2, \dots, 8) \end{aligned} \quad (6.2)$$

Sõltuvalt sõlmpunktide arvust  $k$  koordinaatide interpoleerimisel ja sõlmpunktide arvust



Joonis 6.1. Isoparametriline teisendus

$l$  siirete interpoleerimisel liigitame elemendid järgmiselt:

- $l = k$  – isoparametrilised
- $l > k$  – subparametrilised
- $l < k$  – superparametrilised

Kui tähistame koordinaadid  $x_1 \equiv x$  ja  $x_2 \equiv y$  ning  $\xi_1 \equiv \xi$ ,  $\xi_2 \equiv \eta$ , siis

$$\begin{aligned} x_1 &= x = x(\xi, \eta) \\ x_2 &= y = y(\xi, \eta) \end{aligned} \quad (6.3)$$

Koordinaatide diferentsiaalid  $dx$  ja  $dy$  sõltuvalt  $\xi, \eta$  on

$$\begin{aligned} \vec{e}_1 dx &= \vec{e}_1^* \frac{\partial x}{\partial \xi} d\xi + \vec{e}_2^* \frac{\partial x}{\partial \eta} d\eta \\ \vec{e}_2 dy &= \vec{e}_1^* \frac{\partial y}{\partial \xi} d\xi + \vec{e}_2^* \frac{\partial y}{\partial \eta} d\eta \end{aligned} \quad (6.4)$$

Elementaarpindala teisendub järgmiselt:

$$\begin{aligned} \vec{e}_1 dx \times \vec{e}_2 dy &= \vec{e}_3 dx dy = \begin{vmatrix} \vec{e}_1^* & \vec{e}_2^* & \vec{e}_3^* \\ \frac{\partial x}{\partial \xi} d\xi & \frac{\partial x}{\partial \eta} d\eta & 0 \\ \frac{\partial y}{\partial \xi} d\xi & \frac{\partial y}{\partial \eta} d\eta & 0 \end{vmatrix} = \\ &= \vec{e}_3^* \begin{vmatrix} \frac{\partial x}{\partial \xi} & \frac{\partial x}{\partial \eta} \\ \frac{\partial y}{\partial \xi} & \frac{\partial y}{\partial \eta} \end{vmatrix} d\xi d\eta = \vec{e}_3^* |J| d\xi d\eta \end{aligned} \quad (6.5)$$

kus ( $|J| \neq 0$ )

$$|J| = \det \begin{vmatrix} \frac{\partial x}{\partial \xi} & \frac{\partial x}{\partial \eta} \\ \frac{\partial y}{\partial \xi} & \frac{\partial y}{\partial \eta} \end{vmatrix} \quad (6.6)$$

ning

$$dA = |J| d\xi d\eta \quad (6.7)$$

Kujufunksioonide  $N_i$  tuletised koordinaatide  $\xi, \eta$  järgi

$$\begin{bmatrix} \frac{\partial N_i}{\partial \xi} \\ \frac{\partial N_i}{\partial \eta} \end{bmatrix} = |J| \begin{bmatrix} \frac{\partial N_i}{\partial x} \\ \frac{\partial N_i}{\partial y} \end{bmatrix} \quad (6.8)$$

Pöördseosed

$$\begin{bmatrix} \frac{\partial N_i}{\partial x} \\ \frac{\partial N_i}{\partial y} \end{bmatrix} = |J^{-1}| \begin{bmatrix} \frac{\partial N_i}{\partial \xi} \\ \frac{\partial N_i}{\partial \eta} \end{bmatrix} \quad (6.9)$$

siin

$$|J^{-1}| = \frac{1}{|J|} \begin{bmatrix} \frac{\partial y}{\partial \eta} & -\frac{\partial x}{\partial \eta} \\ -\frac{\partial y}{\partial \xi} & \frac{\partial x}{\partial \xi} \end{bmatrix} \quad (6.10)$$

## 6.2 Konstantse tuletise kriteerium

Isoparametrikalised elemendid peavad rahuldama järgmisi konstantse tuletise kriteeriumi (6.14). Olgu siirded kirjeldatud järgmiste polünoomiga

$$v(x, y) = \alpha_0 + \alpha_1 x + \alpha_2 y + \dots = N_i^* v_i , \quad (i = 1, 2, \dots, n) \quad (6.11)$$

ning koordinaadid polünoomiga

$$\begin{aligned} x &= \alpha_0 + \alpha_1 x_1 + \alpha_2 x_2 + \dots \\ y &= \alpha_0 + \alpha_1 y_1 + \alpha_2 y_2 + \dots \end{aligned} \quad (6.12)$$

Asetades avaldise (6.12) avaldisse (6.11), saame

$$\begin{aligned} N_i^* v_i &= (\alpha_0 + \alpha_1 x_1 + \alpha_2 y_1 + \dots) N_1^* + \\ &\quad + (\alpha_0 + \alpha_1 x_2 + \alpha_2 y_2 + \dots) N_2^* + \\ &\quad + \dots + \\ &\quad + (\alpha_0 + \alpha_1 x_i + \alpha_2 y_i + \dots) N_i^* + \\ &\quad + \dots + \\ &\quad + (\alpha_0 + \alpha_1 x_n + \alpha_2 y_n + \dots) N_n^* \end{aligned} \quad (6.13)$$

Võrreldes saadud avaldist esialgse avaldisega (6.11), saame järgmisi konstantse tuletise kriteeriumi

$$\begin{aligned} \sum_{i=1}^n \alpha_0 N_i^* &= \alpha_0 \quad \longrightarrow \quad \sum_{i=1}^n N_i^* = 1 \\ \alpha_1 x_i N_i^* &= \alpha_1 x \quad \longrightarrow \quad N_i^* x_i = x \\ \alpha_2 y_i N_i^* &= \alpha_2 y \quad \longrightarrow \quad N_i^* y_i = y \\ &\quad (i = 1, 2, \dots, n) \end{aligned} \quad (6.14)$$

## 6.3 Elementide kujutised ja originaalid

Toome näiteks isoparametrikaliste elementide kujutisi ja originaale.

### Nelinurkse elemendi kujutis ja originaal

Koordinaatide teisendus

$$x_i = N_1(\xi_1, \xi_2) x_i^1 + N_2(\xi_1, \xi_2) x_i^2 + N_3(\xi_1, \xi_2) x_i^3 + N_4(\xi_1, \xi_2) x_i^4 \quad (6.15)$$

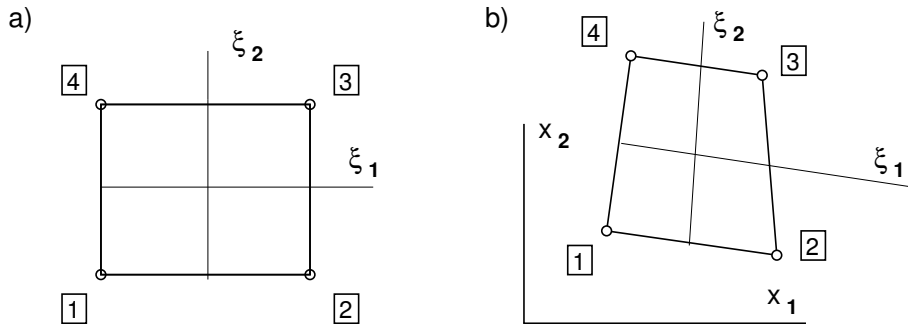
Koordinaadid on joonisel 6.2.

### 12 sõlmpunktiga elemendi kujutis ja originaal

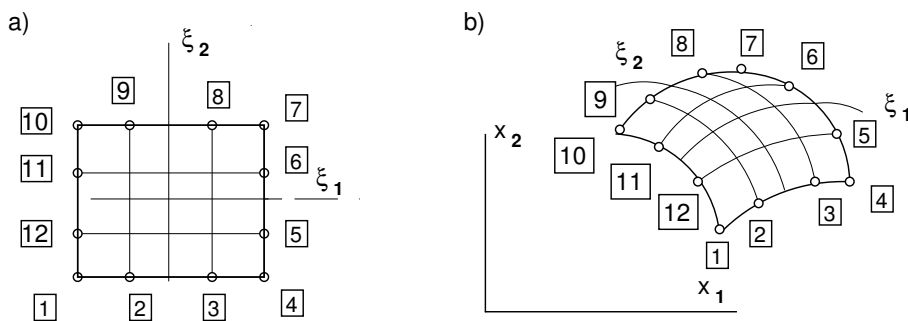
Koordinaatide teisendus

$$x_i = N_k(\xi_1, \xi_2) x_i^k , \quad (k = 1, 2, \dots, 12) \quad (6.16)$$

Koordinaadid on joonisel 6.3.



Joonis 6.2. Nelinurkse elemendi kujutis ja originaal



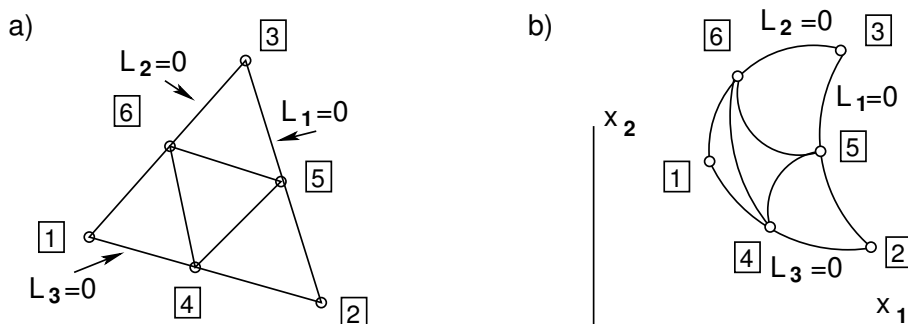
Joonis 6.3. 12 sõlmpunktiga elemendi kujutis ja originaal

**Kolmnurkse elemendi kujutis ja originaal**

Koordinaatide teisendus

$$x_i = N_k(\mathcal{L}_1, \mathcal{L}_2, \mathcal{L}_3) x_i^k \quad , \quad (k = 1, 2, \dots, 6) \quad (6.17)$$

Koordinaadid on joonisel 6.4.

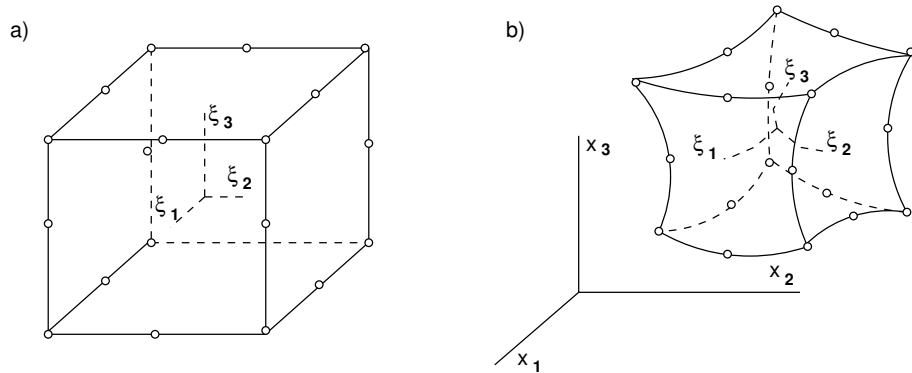


Joonis 6.4. Kolmnurkse elemendi kujutis ja originaal

**Risttahukalise elemendi kujutis ja originaal**

Koordinaatide teisendus

$$x_i = N_k(\xi_1, \xi_2, \xi_3) x_i^k \quad , \quad (k = 1, 2, \dots, 20) \quad (6.18)$$



Joonis 6.5. Risttahukalise elemendi kujutis ja originaal

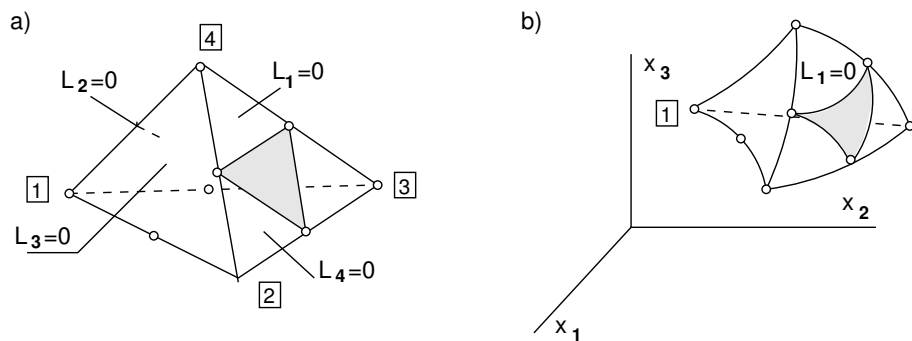
Koordinaadid on joonisel 6.5.

### Tetraeedrilise elemendi kujutis ja originaal

Koordinaatide teisendus

$$x_i = N_k (\mathcal{L}_1, \mathcal{L}_2, \mathcal{L}_3, \mathcal{L}_4) x_i^k \quad , \quad (k = 1, 2, \dots, 10) \quad (6.19)$$

Koordinaadid on joonisel 6.6.



Joonis 6.6. Tetraeedrilise elemendi kujutis ja originaal



# Peatükk 7

## Elastsusteooria tasandülesanne

### 7.1 Siirded ja deformatsioonid

Olgu siirded tasapinnal  $x - y$   $u(x, y)$  ja  $v(x, y)$ . Sõlmpunkti  $[i]$  siirdeid  $d_i$  ja elemendi sõlmpunktide siirdeid  $d$  kirjeldame vektoritega

$$[d_i] = \begin{bmatrix} u_i \\ v_i \end{bmatrix}, \quad [d] = \begin{bmatrix} d_1 \\ d_2 \\ \vdots \\ d_i \end{bmatrix} \quad (7.1)$$

Siirdeid  $u(x, y)$ ,  $v(x, y)$  elemendis interpoleerime kujufunktsioonide  $N_i$  abil järgmiselt:

$$[f] = \begin{bmatrix} u(x, y) \\ v(x, y) \end{bmatrix} = [\mathbf{N}] [d] \quad (7.2)$$

kus

$$[\mathbf{N}] = \begin{bmatrix} N_1 & 0 & \vdots & N_2 & 0 & \vdots & \dots & \vdots & N_i & 0 \\ 0 & N_1 & \vdots & 0 & N_2 & \vdots & \dots & \vdots & 0 & N_i \end{bmatrix} \quad (7.3)$$

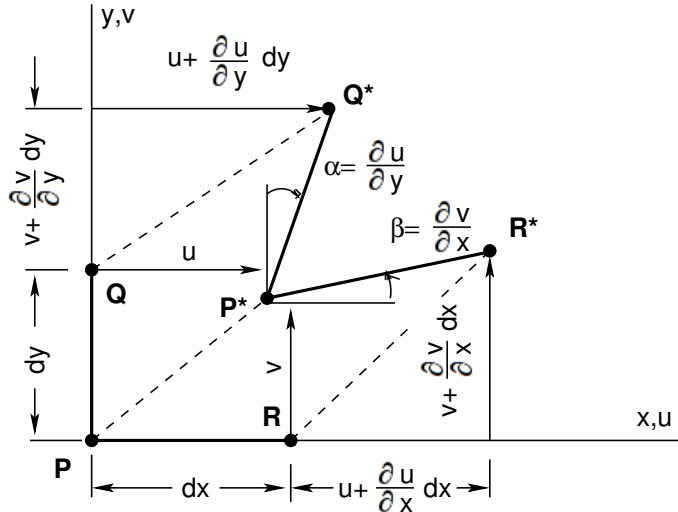
Deformatsioone kirjeldame joondeformatsioonide  $\epsilon_x$ ,  $\epsilon_y$  ja nihkedeformatsioonide  $\gamma_{xy} = \alpha + \beta$  (joonis 7.1) abil

$$[\epsilon] = \begin{bmatrix} \epsilon_x \\ \epsilon_y \\ \gamma_{xy} \end{bmatrix} = \begin{bmatrix} \frac{\partial u}{\partial x} \\ \frac{\partial v}{\partial y} \\ \frac{\partial u}{\partial y} + \frac{\partial v}{\partial x} \end{bmatrix} \quad (7.4)$$

Deformatsioonid kujufunktsioonide abil

$$[\epsilon] = [\mathbf{B}] [d] \quad (7.5)$$

kus



Joonis 7.1. Siirded ja deformatsioonid

$$[\mathbf{B}] = \begin{bmatrix} \frac{\partial N_1}{\partial x} & 0 & : & \frac{\partial N_2}{\partial x} & 0 & : & \dots & : & \frac{\partial N_i}{\partial x} & 0 \\ 0 & \frac{\partial N_1}{\partial y} & : & 0 & \frac{\partial N_2}{\partial y} & : & \dots & : & 0 & \frac{\partial N_i}{\partial y} \\ \frac{\partial N_1}{\partial y} & \frac{\partial N_1}{\partial x} & : & \frac{\partial N_2}{\partial y} & \frac{\partial N_2}{\partial x} & : & \dots & : & \frac{\partial N_i}{\partial y} & \frac{\partial N_i}{\partial x} \end{bmatrix} \quad (7.6)$$

## 7.2 Deformatsiooni pidevuse tingimus

Siirete diferentsiaalid  $du$ ,  $dv$

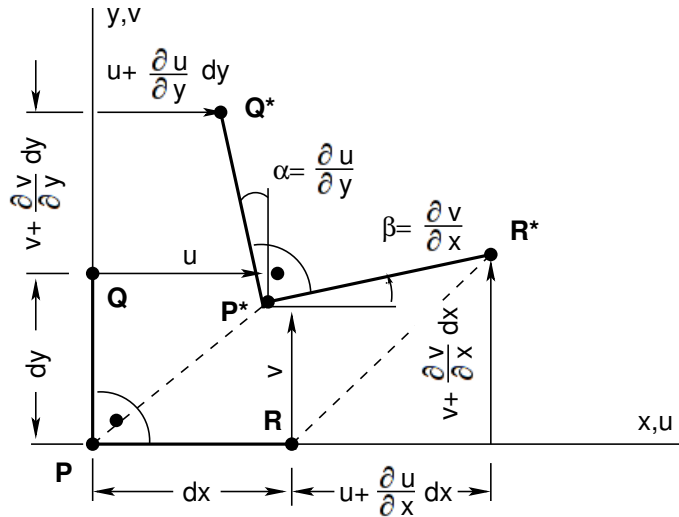
$$\begin{aligned} du &= \frac{\partial u}{\partial x} dx + \frac{\partial u}{\partial y} dy \\ dv &= \frac{\partial v}{\partial x} dx + \frac{\partial v}{\partial y} dy \end{aligned} \quad (7.7)$$

Liidame ja lahutame  $\frac{1}{2} \frac{\partial v}{\partial x}$  esimesele võrrandile (7.7) ning  $\frac{1}{2} \frac{\partial u}{\partial y}$  teisele võrrandile (7.7), saame

$$\begin{aligned} du &= \frac{\partial u}{\partial x} dx + \left[ \frac{1}{2} \left( \frac{\partial u}{\partial y} + \frac{\partial v}{\partial x} \right) + \frac{1}{2} \left( \frac{\partial u}{\partial y} - \frac{\partial v}{\partial x} \right) \right] dy \\ dv &= \left[ \frac{1}{2} \left( \frac{\partial v}{\partial x} + \frac{\partial u}{\partial y} \right) + \frac{1}{2} \left( \frac{\partial v}{\partial x} - \frac{\partial u}{\partial y} \right) \right] dx + \frac{\partial v}{\partial y} dy \end{aligned} \quad (7.8)$$

Kasutame tähistusi  $\epsilon_{xy}$ ,  $\omega_z = \frac{1}{2} (\alpha - \beta)$  (joonis 7.2)

$$\begin{aligned} \epsilon_{xy} &= \frac{1}{2} \gamma_{xy} = \frac{1}{2} \left( \frac{\partial u}{\partial y} + \frac{\partial v}{\partial x} \right) \\ \omega_z &= \frac{1}{2} \left( \frac{\partial u}{\partial y} - \frac{\partial v}{\partial x} \right) \end{aligned} \quad (7.9)$$



Joonis 7.2. Jäiga keha pööre

integreerime avaldist (7.8) punktist  $P_0$  punktini  $P_1$

$$\begin{aligned}\int_{P_0}^{P_1} du &= \int_{P_0}^{P_1} \epsilon_x dx + [\epsilon_{xy} - \omega_z] dy \\ \int_{P_0}^{P_1} dv &= \int_{P_0}^{P_1} [\epsilon_{xy} + \omega_z] dx + \epsilon_y dy\end{aligned}\quad (7.10)$$

Täisdiferentsiaal, kui ta ei sõltu integreerimistee kujust

$$\int_{P_0}^{P_1} P dx + Q dy \quad (7.11)$$

peab rahuldama järgmisi tingimusi:

$$\frac{\partial P}{\partial y} = \frac{\partial Q}{\partial x} \quad (7.12)$$

Rakendame tingimust (7.12) võrranditele (7.10) ning diferentseerime esimest võrrandit  $\frac{\partial}{\partial y}$ -iga ja teist võrrandit  $\frac{\partial}{\partial x}$ -iga

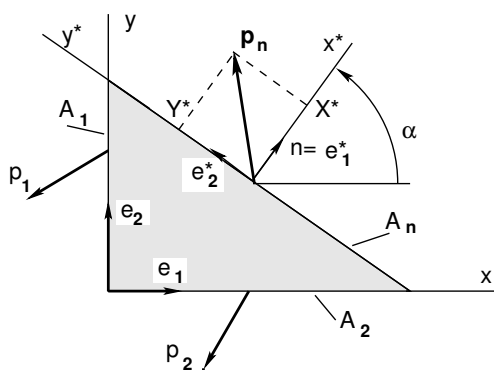
$$\begin{aligned}\frac{\partial \epsilon_x}{\partial y} &= \frac{\partial (\epsilon_{xy} - \omega_z)}{\partial x}, \quad | \frac{\partial}{\partial y} \\ \frac{\partial \epsilon_y}{\partial x} &= \frac{\partial (\epsilon_{xy} + \omega_z)}{\partial y}, \quad | \frac{\partial}{\partial x}\end{aligned}\quad (7.13)$$

Liites võrrandid (7.13), saame *deformatsiooni pidevuse tingimuse*

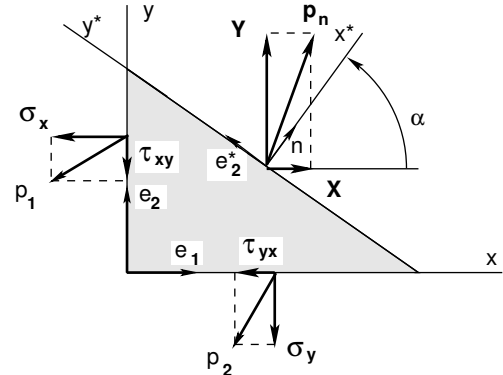
$$2 \frac{\partial^2 \epsilon_{xy}}{\partial x \partial y} = \frac{\partial^2 \epsilon_x}{\partial y^2} + \frac{\partial^2 \epsilon_y}{\partial x^2} \quad (7.14)$$

### 7.3 Pinged kaldpinnal

Vaatleme koordinaatide  $x, y$  (joonist 7.3) alguses oleva elemendi tasakaalu. Selleks korutame pingevectorid  $p_i$  vastava pindalaga  $A_i$



Joonis 7.3. Pingevectorid



Joonis 7.4. Pinged kaldpinnal

$$\vec{p}_n A_n = \vec{p}_1 A_1 + \vec{p}_2 A_2 \quad (7.15)$$

Pindalad  $A_1, A_2$  avaldame pinnanormaali  $\vec{n}$  projektsioonide  $n_1, n_2$   $x$ - ja  $y$ -telgedele ning kaldpinna  $A_n$  kaudu

$$\begin{aligned} A_1 &= A_n \cos(\vec{n}, \vec{e}_1) = A_n n_1 \\ A_2 &= A_n \cos(\vec{n}, \vec{e}_2) = A_n n_2 \end{aligned} \quad (7.16)$$

Asetades saadud avaldised (7.16) avaldisse (7.15) ja taandades  $A_n$ -iga, saame

$$\vec{p}_n = \vec{p}_1 n_1 + \vec{p}_2 n_2 \quad (7.17)$$

Avaldame  $\vec{p}_1, \vec{p}_2$  ja  $\vec{p}_n$  nende projektsioonide kaudu (joonis 7.4)

$$\begin{aligned} \vec{p}_1 &= \sigma_x \vec{e}_1 + \tau_{xy} \vec{e}_2 \\ \vec{p}_2 &= \tau_{yx} \vec{e}_1 + \sigma_y \vec{e}_2 \\ \vec{p}_n &= X \vec{e}_1 + Y \vec{e}_2 \end{aligned} \quad (7.18)$$

Asetame võrrandisse (7.17) seosed (7.18), saame

$$\begin{bmatrix} X \\ Y \end{bmatrix} = \begin{bmatrix} \sigma_x & \tau_{xy} \\ \tau_{yx} & \sigma_y \end{bmatrix} \begin{bmatrix} n_1 \\ n_2 \end{bmatrix} \quad (7.19)$$

Vektori  $\vec{n}$  projektsioonid  $n_1, n_2$  üldkoordinaatides avalduvad projektsioonide  $n_1^*, n_2^*$  kohalikes koordinaatides kaudu (3.13)

$$\begin{bmatrix} n_1 \\ n_2 \end{bmatrix} = \begin{bmatrix} \cos \alpha & -\cos \beta \\ \cos \beta & \cos \alpha \end{bmatrix} \begin{bmatrix} n_1^* \\ n_2^* \end{bmatrix} \quad (7.20)$$

ehk

$$[n] = [T] [n^*] \quad (7.21)$$

siin teisendusmaatriks  $[T]$  on

$$[T] = \begin{bmatrix} \cos \alpha & -\cos \beta \\ \cos \beta & \cos \alpha \end{bmatrix} \quad (7.22)$$

Pingevektori  $\vec{p}_n$  projektsioonid  $n_1^*, n_2^*$  kohalikes koordinaatides avalduvad projektsioonide  $X_1, Y_2$  üldkoordinaatides kaudu (3.12)

$$\begin{aligned} \begin{bmatrix} X_1^* \\ Y_2^* \end{bmatrix} &= \begin{bmatrix} \cos \alpha & \cos \beta \\ -\cos \beta & \cos \alpha \end{bmatrix} \begin{bmatrix} X_1 \\ Y_2 \end{bmatrix} = \\ &= \begin{bmatrix} \cos \alpha & \cos \beta \\ -\cos \beta & \cos \alpha \end{bmatrix} \begin{bmatrix} \sigma_x & \tau_{yx} \\ \tau_{xy} & \sigma_y \end{bmatrix} \begin{bmatrix} n_1 \\ n_2 \end{bmatrix} = \\ &= \begin{bmatrix} \cos \alpha & \cos \beta \\ -\cos \beta & \cos \alpha \end{bmatrix} \begin{bmatrix} \sigma_x & \tau_{yx} \\ \tau_{xy} & \sigma_y \end{bmatrix} \begin{bmatrix} \cos \alpha & -\cos \beta \\ \cos \beta & \cos \alpha \end{bmatrix} \begin{bmatrix} n_1^* \\ n_2^* \end{bmatrix} \end{aligned} \quad (7.23)$$

ehk

$$\begin{bmatrix} X_1^* \\ Y_2^* \end{bmatrix} = \begin{bmatrix} \sigma_x^* & \tau_{yx}^* \\ \tau_{xy}^* & \sigma_y^* \end{bmatrix} \begin{bmatrix} n_1^* \\ n_2^* \end{bmatrix} \quad (7.24)$$

kus

$$\begin{bmatrix} \sigma_x^* & \tau_{yx}^* \\ \tau_{xy}^* & \sigma_y^* \end{bmatrix} = [T^T] \begin{bmatrix} \sigma_x & \tau_{yx} \\ \tau_{xy} & \sigma_y \end{bmatrix} [T] \quad (7.25)$$

## 7.4 Tasakaaluvõrrandid

Vaatleme elemendi (joonis 7.5) tasakaalu. Elemendi kõrgus on  $h$  ja laius  $b$ . Koostame tasakaaluvõrrandid  $x$ - ja  $y$ -teljele

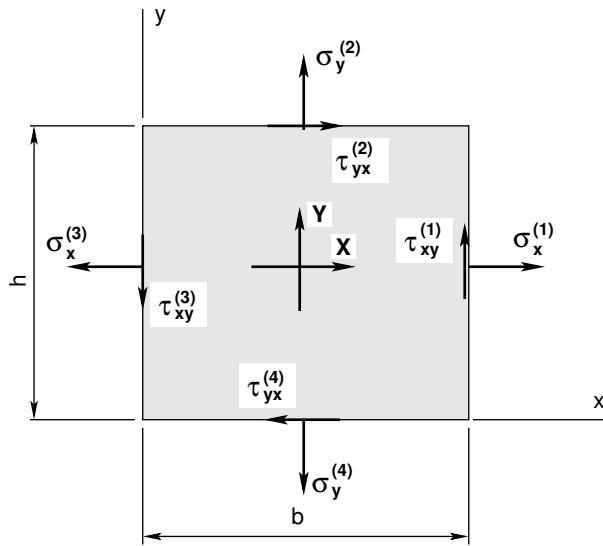
$$\begin{aligned} \sigma_x^{(1)} h - \sigma_x^{(3)} h + \tau_{yx}^{(2)} b - \tau_{yx}^{(4)} b + Xbh &= 0 \\ \sigma_y^{(2)} b - \sigma_x^{(4)} b + \tau_{xy}^{(1)} h - \tau_{xy}^{(3)} h + Ybh &= 0 \end{aligned} \quad (7.26)$$

Jagame võrrandid (7.26) pindalaga  $bh$ , saame

$$\begin{aligned} \frac{\sigma_x^{(1)} - \sigma_x^{(3)}}{b} + \frac{\tau_{yx}^{(2)} - \tau_{yx}^{(4)}}{h} + X &= 0 \\ \frac{\tau_{xy}^{(1)} - \tau_{xy}^{(3)}}{b} + \frac{\sigma_y^{(2)} - \sigma_x^{(4)}}{h} + Y &= 0 \end{aligned} \quad (7.27)$$

Piirprotsessis  $\lim_{h \rightarrow 0}$  ja  $\lim_{b \rightarrow 0}$  saame tasakaaluvõrrandid

$$\begin{aligned} \frac{\partial \sigma_x}{\partial x} + \frac{\partial \tau_{yx}}{\partial y} + X &= 0 \\ \frac{\partial \tau_{xy}}{\partial x} + \frac{\partial \sigma_y}{\partial y} + Y &= 0 \end{aligned} \quad (7.28)$$

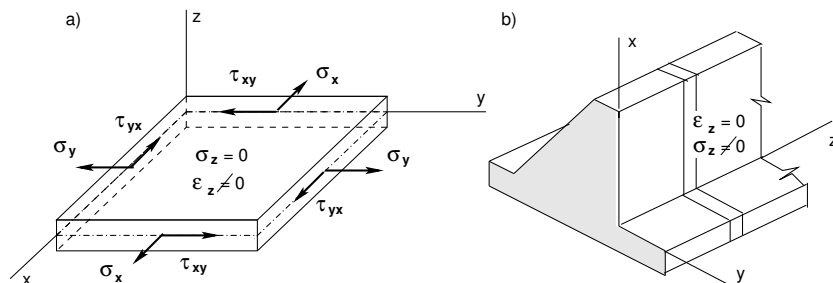


Joonis 7.5. Elemendi tasakaal

## 7.5 Elastsusseosed. Elastsuskonstandid

Tasandülesanne (joonist 7.6) jaguneb järgmiselt:

- tasandpingus  $\sigma_z = 0$ ,  $\epsilon_z \neq 0$
- tasanddeformatsioon  $\sigma_z \neq 0$ ,  $\epsilon_z = 0$



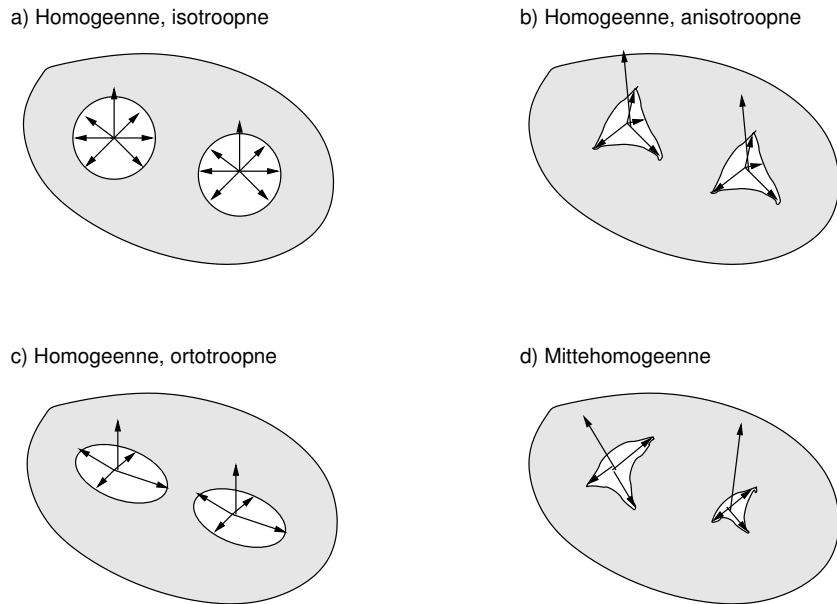
Joonis 7.6. Tasandülesanded

Omaduste poolest (joonist 7.7) on materjalid

- homogeensed
- mittehomogeensed

ning omaduste suunast sõltuvalt

- isotroopsed
- anisotroopsed



Joonis 7.7. Materjalide omadused

- ortotroopsed

Edaspidi vaatleme homogeenseid ja isotroopseid materjale, s.t materjali omadused on kõigis punktides ja kõigis suundades ühesugused. Elastsusseosed

$$[\sigma] = [\mathbf{D}] [\epsilon] \quad (7.29)$$

kus pingete vektor  $[\sigma]$  ja deformatsioonide vektor  $[\epsilon]$

$$[\sigma] = \begin{bmatrix} \sigma_x \\ \sigma_y \\ \tau_{xy} \end{bmatrix}, \quad [\epsilon] = \begin{bmatrix} \epsilon_x \\ \epsilon_y \\ \gamma_{xy} \end{bmatrix} \quad (7.30)$$

Elastsusmaatriks (elastsuskonstantide maatriks) sõltub sellest, kas vaatleme tasandpingust või tasanddeformatsiooni.

#### Tasandpingus (homogeneous, isotropic)

$$[\mathbf{D}] = \frac{E}{1 - \nu^2} \begin{bmatrix} 1 & \nu & 0 \\ \nu & 1 & 0 \\ 0 & 0 & \frac{1-\nu}{2} \end{bmatrix} \quad (7.31)$$

Elastsusmaatriksi võib lahutada kahe kolmnurkse maatriksi korrutiseks (Cholesky lahutus)

$$[\mathbf{D}] = [\mathbf{C}^T] [\mathbf{C}] \quad (7.32)$$

kus

$$[\mathbf{C}] = \sqrt{\frac{E}{1 - \nu^2}} \begin{bmatrix} 1 & \nu & 0 \\ 0 & \sqrt{1 - \nu^2} & 0 \\ 0 & 0 & \sqrt{\frac{1-\nu}{2}} \end{bmatrix} \quad (7.33)$$

### Tasanddeformatsioon (homogeenne, isotroopne)

$$[\mathbf{D}] = \frac{E(1-\nu)}{(1-\nu)(1-2\nu)} \begin{bmatrix} 1 & \frac{\nu}{1-\nu} & 0 \\ \frac{\nu}{1-\nu} & 1 & 0 \\ 0 & 0 & \frac{1-2\nu}{2(1-\nu)} \end{bmatrix} \quad (7.34)$$

Elastsusmaatriksi võib lahutada kahe kolmnurkse maatriksi korrutiseks (Cholesky lahutus)

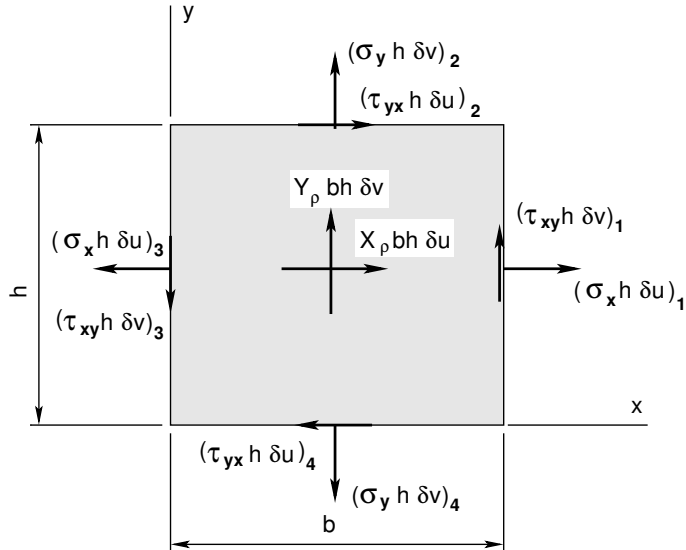
$$[\mathbf{D}] = [\mathbf{C}^T] [\mathbf{C}] \quad (7.35)$$

kus

$$[\mathbf{C}] = \sqrt{\frac{E(1-\nu)}{(1-\nu)(1-2\nu)}} \begin{bmatrix} 1 & \frac{\nu}{\sqrt{1-2\nu}} & 0 \\ 0 & \frac{\sqrt{1-2\nu}}{1-\nu} & 0 \\ 0 & 0 & \sqrt{\frac{1-2\nu}{2(1-\nu)}} \end{bmatrix} \quad (7.36)$$

## 7.6 Deformatsioonienergia

Elemendi deformatsioonienergia avaldise  $\Delta U$  väljakirjutamiseks vaatleme joonist 7.8.



Joonis 7.8. Elemendi võimalik deformatsioonienergia

$$\begin{aligned} \Delta U = & \underline{(\sigma_x h \delta u)_1 - (\sigma_x h \delta u)_3} + \underline{(\sigma_y b \delta v)_2 - (\sigma_y b \delta v)_4} + \\ & + \underline{(\tau_{yx} b \delta u)_2 - (\tau_{yx} b \delta u)_4} + \underline{(\tau_{xy} h \delta v)_1 - (\tau_{xy} h \delta v)_3} + \\ & + X_\rho b h \delta u + Y_\rho b h \delta v \end{aligned} \quad (7.37)$$

Jagame võrrandid (7.37) pindalaga  $bh$ , saame

$$\begin{aligned} \frac{\Delta U}{bh} &= \frac{(\sigma_x \delta u)_1 - (\sigma_x \delta u)_3}{b} + \frac{(\sigma_y \delta v)_2 - (\sigma_y \delta v)_4}{h} + \\ &+ \frac{(\tau_{yx} \delta u)_2 - (\tau_{yx} \delta u)_4}{h} + \frac{(\tau_{xy} \delta v)_1 - (\tau_{xy} \delta v)_3}{b} + \\ &+ X_\varrho \delta u + Y_\varrho \delta v \end{aligned} \quad (7.38)$$

Piirprotsessis  $\lim_{h \rightarrow 0}$  ja  $\lim_{b \rightarrow 0}$  saame võimaliku deformatsioonienergia punktis  $\tilde{U}$

$$\begin{aligned} \delta \tilde{U} &= \frac{\partial (\sigma_x \delta u)}{\partial x} + \frac{\partial (\sigma_y \delta v)}{\partial y} + \\ &+ \frac{\partial (\tau_{yx} \delta u)}{\partial y} + \frac{\partial (\tau_{xy} \delta v)}{\partial x} + \\ &+ X_\varrho \delta u + Y_\varrho \delta v \end{aligned} \quad (7.39)$$

Korrutisest tuletiste võtmisel arvestame järgmisi seoseid:

$$\frac{\partial \delta u}{\partial x} = \delta \frac{\partial u}{\partial x} = \delta \epsilon_x \quad (7.40)$$

$$\frac{\partial \delta v}{\partial y} = \delta \frac{\partial v}{\partial y} = \delta \epsilon_y \quad (7.41)$$

$$\frac{\partial \delta u}{\partial y} + \frac{\partial \delta v}{\partial x} = \delta \left( \frac{\partial u}{\partial y} + \frac{\partial v}{\partial x} \right) = \delta \gamma_{xy} \quad (7.42)$$

$$\tau_{xy} = \tau_{yx} \quad (7.43)$$

Seoste (7.43) arvestamisel saame

$$\begin{aligned} \delta \tilde{U} &= \sigma_x \delta \epsilon_x + \sigma_y \delta \epsilon_y + \tau_{xy} \delta \gamma_{xy} + \\ &+ \underbrace{\left( \frac{\partial \sigma_x}{\partial x} + \frac{\partial \tau_{yx}}{\partial y} + X_\varrho \right)}_{=0, \text{ tasakaaluvõrrandid}} \delta u + \underbrace{\left( \frac{\partial \tau_{xy}}{\partial x} + \frac{\partial \sigma_y}{\partial y} + Y_\varrho \right)}_{=0, \text{ tasakaaluvõrrandid}} \delta v \end{aligned} \quad (7.44)$$

Kogu võimaliku deformatsioonienergia saab integreerimisel üle pindala  $A$

$$\delta U = \int_A (\sigma_x \delta \epsilon_x + \sigma_y \delta \epsilon_y + \tau_{xy} \delta \gamma_{xy}) dx dy \quad (7.45)$$

Avaldise (7.45) esitame maatrikskujul

$$\delta U = \int_A \begin{bmatrix} \delta \epsilon_x & \delta \epsilon_y & \delta \gamma_{xy} \end{bmatrix} \begin{bmatrix} \sigma_x \\ \sigma_y \\ \tau_{xy} \end{bmatrix} dx dy \quad (7.46)$$

ehk veel lühemalt

$$\delta U = \int_A [\delta \epsilon] [\sigma] dx dy \quad (7.47)$$

Kasutades elastsusseoseid (7.29), (7.32)

$$[\sigma] = [\mathbf{D}] [\epsilon] = [\mathbf{C}^T] [\mathbf{C}] [\epsilon] \quad (7.48)$$

saame võimaliku deformatsioonienergia (7.47) kirjutada kujule

$$\delta U = \int_A [\delta \epsilon] [\mathbf{D}] [\epsilon] dx dy = \int_A [\delta \epsilon] [\mathbf{C}^T] [\mathbf{C}] [\epsilon] dx dy \quad (7.49)$$

Väljendades deformatsioonid kujufunktsioonide abil (7.5)

$$[\epsilon] = [\mathbf{B}] [d] \quad (7.50)$$

saame avaldisele (7.49) kuju

$$\begin{aligned} \delta U &= \int_A [\delta d^T] \underbrace{[\mathbf{B}^T] [\mathbf{D}] [\mathbf{B}] [d]}_{\tilde{\mathbf{K}}} dx dy = \\ &= \int_A [\delta d^T] \underbrace{[\mathbf{B}^T] [\mathbf{C}^T] [\mathbf{C}] [\mathbf{B}] [d]}_{\tilde{\mathbf{K}}} dx dy = \\ &= \int_A [\delta d^T] \underbrace{[\eta^T] [\eta] [d]}_{\tilde{\mathbf{K}}} dx dy \end{aligned} \quad (7.51)$$

kus

$$[\eta] = [\mathbf{C}] [\mathbf{B}] \quad (7.52)$$

Jäikusmaatriks  $\mathbf{K}$  saadakse järgmise integreerimisega:

$$[\mathbf{K}] = \int_A \tilde{\mathbf{K}} dx dy = \int_A [\mathbf{B}^T] [\mathbf{D}] [\mathbf{B}] dx dy = \int_A [\eta^T] [\eta] dx dy \quad (7.53)$$

Võimalik deformatsioonienergia jäikusmaatriksi kaudu

$$\delta U = [\delta d^T] [\mathbf{K}] [d] \quad (7.54)$$

**Näide 7.1** Koostada jäikusmaatriksi  $[\mathbf{K}]$  alammaatriks  $[\mathbf{K}_{ij}]$  ( $[\delta d_i^T] [\mathbf{K}_{ij}] [d_j]$ ). Jäikusmaatriksi avaldise kirjutame kujul

$$[\mathbf{K}_{ij}] = \int_A [\eta_i^T] [\eta_j] dx dy \quad (7.55)$$

Leiame  $[\eta_j]$  avaldise

$$[\eta_j] = [\mathbf{C}] [\mathbf{B}_j] \quad (7.56)$$

$$\mathbf{C} = \sqrt{\frac{E}{1-\nu^2}} \begin{bmatrix} 1 & \nu & 0 \\ 0 & \sqrt{1-\nu^2} & 0 \\ 0 & 0 & \sqrt{\frac{1-\nu}{2}} \end{bmatrix}; \sqrt{\frac{E}{1-\nu^2}} \begin{bmatrix} \frac{\partial N_j}{\partial x} & 0 \\ 0 & \frac{\partial N_j}{\partial y} \\ \frac{\partial N_j}{\partial y} & \frac{\partial N_j}{\partial x} \end{bmatrix} = \mathbf{B}_j$$

$$\begin{bmatrix} \frac{\partial N_j}{\partial x} & \nu \frac{\partial N_j}{\partial y} \\ 0 & \sqrt{1-\nu^2} \frac{\partial N_j}{\partial y} \\ \sqrt{\frac{1-\nu}{2}} \frac{\partial N_j}{\partial y} & \sqrt{\frac{1-\nu}{2}} \frac{\partial N_j}{\partial x} \end{bmatrix} = \eta_j \quad (7.57)$$

Korrutame  $[\eta_i]$   $[\eta_j]$ -ga.

$$\begin{aligned}
& \left[ \begin{array}{c} \frac{\partial N_j}{\partial x} \\ \sqrt{\frac{E}{1-\nu^2}} \begin{bmatrix} 0 & \sqrt{\frac{1-\nu}{2}} \frac{\partial N_i}{\partial y} \\ \sqrt{\frac{1-\nu}{2}} \frac{\partial N_i}{\partial y} & \sqrt{\frac{1-\nu}{2}} \frac{\partial N_j}{\partial x} \end{bmatrix} \end{array} \right] = \eta_j \\
& ; \frac{E}{1-\nu^2} \left[ \begin{array}{c} \frac{\partial N_i}{\partial x} \\ \sqrt{\frac{1-\nu}{2}} \frac{\partial N_i}{\partial y} \end{array} \right] ; \frac{E}{1-\nu^2} \left[ \begin{array}{c} \frac{\partial N_i}{\partial x} \frac{\partial N_j}{\partial x} + \frac{1-\nu}{2} \frac{\partial N_i}{\partial y} \frac{\partial N_j}{\partial y} \\ \nu \frac{\partial N_i}{\partial x} \frac{\partial N_j}{\partial y} + \frac{1-\nu}{2} \frac{\partial N_i}{\partial x} \frac{\partial N_j}{\partial y} \end{array} \right] = \eta_i^m
\end{aligned} \tag{7.58}$$

Jäikusmaatriksi alammaatriksi leidmiseks tuleb avaldist (7.58) arvutil integreerida.

## 7.7 Võimaliku töö printsiiip

Tasakaalus oleva süsteemi ja geomeetriliselt pidevate deformatsioonide puhul on võimaliku töö printsiiip

$$\begin{array}{c} \text{Tasakaalus} \quad \text{olev} \quad \text{süsteem} \\ \hline \int_A \underbrace{\left[ \delta \epsilon^T \right]}_{\text{Geomeetriliselt}} \overbrace{\left[ \sigma \right]}^{\text{pidevad}} dA = \int_A \underbrace{\left[ \delta u_i^T \right]}_{\text{deformatsioonid}} \overbrace{\left[ \mathbf{F}_{\varrho i} \right]}^{\text{mahujõud}} dA + \int_{\Gamma} \underbrace{\left[ \delta u_i^T \right]}_{\text{raajajõud}} \overbrace{\left[ \mathbf{F}_{\mathbf{q}i} \right]}^{\text{sõlmkoormus}} d\Gamma + \underbrace{\left[ \delta d_N^T \right]}_{\text{sõlmkoormus}} \overbrace{\left[ \mathbf{F}_N \right]}^{\text{raajajõud}} \\ \hline \end{array} \quad (7.59)$$

kus

- $[\mathbf{F}_{\varrho i}]$  – mahujõud,
- $[\mathbf{F}_{\mathbf{q}i}]$  – rajajõud,
- $[\mathbf{F}_N]$  – sõlmkoormus.

### Võimalik deformatsioonienergia

Võimalik deformatsioonienergia

$$\int_A \left[ \delta \epsilon^T \right] [\sigma] dA = \left[ \delta d^T \right] [\mathbf{K}] [d] \quad (7.60)$$

kus

$$dA = \det [J] d\xi d\eta, \quad \det [J] = \begin{vmatrix} \frac{\partial x}{\partial \xi} & \frac{\partial x}{\partial \eta} \\ \frac{\partial y}{\partial \xi} & \frac{\partial y}{\partial \eta} \end{vmatrix} \quad (7.61)$$

Alamjäikusmaatriksi  $[\mathbf{K}_{ij}]$  arvutame numbriliselt Gaussi integreerimisega

$$[\mathbf{K}_{ij}] = \int_{-1}^{+1} \int_{-1}^{+1} \left[ \eta_i^T \right] [\eta_j] \det [J] d\xi d\eta = \sum_{p=1}^N \sum_{g=1}^N A_p A_g \left[ \eta_i^T \right] [\eta_j] \det [J] \quad (7.62)$$

siin  $A_p$  ja  $A_g$  on kaalud Gaussi integreerimispunktides (sõlmedes).

### Võimalik mahujõudude töö

Võimaliku mahujõudude töö arvutamiseks taandame mahujõud sõlmedesse

$$\int_A \left[ \delta u_i^T \right] [\mathbf{F}_{\varrho i}] dA = \left[ \delta d_N^T \right] [\mathbf{F}_{\varrho N}] \quad (7.63)$$

Elemendi suvalise punkti siirde avaldame sõlmpunktide siirete kaudu

$$\left[ \delta u_i^T \right] = \left[ \delta d_N^T \right] [\mathbf{N}^T] \quad (7.64)$$

kus  $[\mathbf{N}^T]$  on kujufunktsioonide matriks.

Sõlmedesse taandatud mahujõud  $[\mathbf{F}_{\varrho\mathbf{N}}]$  arvutame numbrilise integreerimise abil

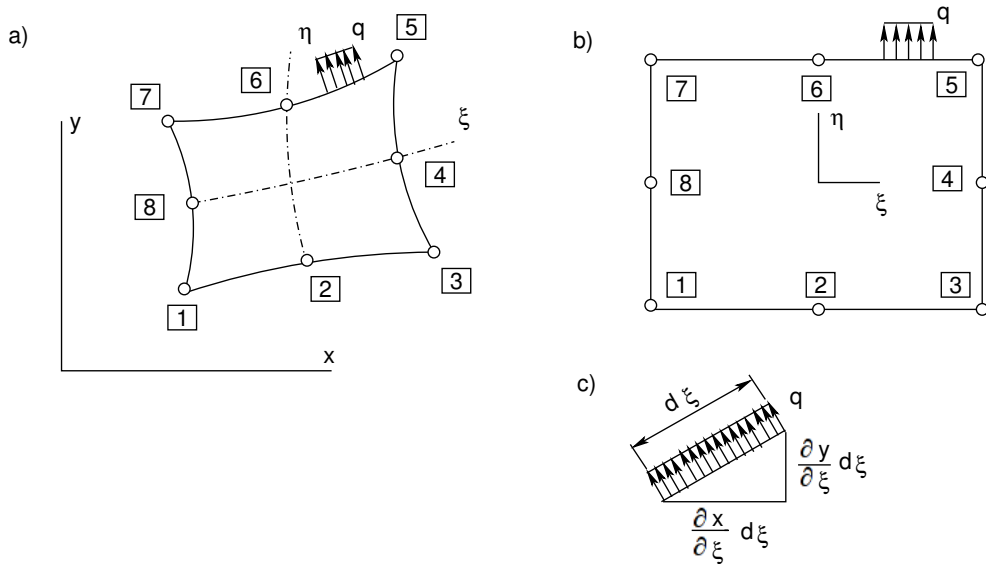
$$\begin{aligned} [\mathbf{F}_{\varrho\mathbf{N}}] &= \begin{bmatrix} F_{\varrho x N} \\ F_{\varrho y N} \end{bmatrix} = \int_{-1}^{+1} \int_{-1}^{+1} [\mathbf{N}^T] \begin{bmatrix} F_{\varrho x} \\ F_{\varrho y} \end{bmatrix} \det[J] d\xi d\eta = \\ &= \sum_{p=1}^N \sum_{g=1}^N A_p A_g [\mathbf{N}^T] \begin{bmatrix} F_{\varrho x} \\ F_{\varrho y} \end{bmatrix} \det[J] \end{aligned} \quad (7.65)$$

### Võimalik rajajõudude töö

Võimaliku rajajõudude töö arvutamiseks taandame rajajõud sõlmedesse

$$\int_{\Gamma} [\delta u_i^T] [\mathbf{F}_{\mathbf{q}\mathbf{i}}] d\Gamma = [\delta d_N^T] [\mathbf{F}_{\mathbf{q}\mathbf{N}}] \quad (7.66)$$

Sõlmedesse taandatud rajajõud  $[\mathbf{F}_{\mathbf{q}\mathbf{N}}]$  arvutame numbrilise integreerimise abil



Joonis 7.9. Koormuse taandamine sõlme

$$\begin{aligned} [\mathbf{F}_{\mathbf{q}\mathbf{N}}] &= \begin{bmatrix} F_{qxN} \\ F_{qyN} \end{bmatrix} = \int_{\Gamma} [\mathbf{N}^T] \begin{bmatrix} F_{qx}(x, y) \\ F_{qy}(x, y) \end{bmatrix} d\Gamma(x, y) = \\ &= \sum_{p=1}^N \sum_{g=1}^N A_p A_g [\mathbf{N}^T] \begin{bmatrix} F_{qx}(\xi, \eta) \\ F_{qy}(\xi, \eta) \end{bmatrix} d\Gamma(\xi, \eta) \end{aligned} \quad (7.67)$$

Olgu elemendi piirjoon antud vektorvõrrandiga

$$\vec{r}(x, y) = x(\xi, \eta) \vec{e}_1 + y(\xi, \eta) \vec{e}_2 \quad (7.68)$$

Kui  $\eta = \text{const}$ , siis

$$\vec{r}(x, y) = x(\xi) \vec{e}_1 + y(\xi) \vec{e}_2 \quad (7.69)$$

ja kui  $\xi = \text{const}$ , siis

$$\vec{r}(x, y) = x(\eta) \vec{e}_1 + y(\eta) \vec{e}_2 \quad (7.70)$$

Piirjoone element  $d\Gamma(x, y)$  (joonis 7.9) mööda joont  
 $\eta = \text{const}$

$$d\Gamma(\xi) = \sqrt{\left(\frac{\partial x}{\partial \xi}\right)^2 + \left(\frac{\partial y}{\partial \xi}\right)^2} d\xi \quad (7.71)$$

$\xi = \text{const}$

$$d\Gamma(\eta) = \sqrt{\left(\frac{\partial x}{\partial \eta}\right)^2 + \left(\frac{\partial y}{\partial \eta}\right)^2} d\eta \quad (7.72)$$

Elemendi piirjoone välisnormaal  $\vec{n}$  joonel  
 $\eta = \text{const}$

$$\begin{bmatrix} n_1 \\ n_2 \end{bmatrix} = \begin{bmatrix} \frac{-\frac{\partial y}{\partial \xi}}{\sqrt{\left(\frac{\partial x}{\partial \xi}\right)^2 + \left(\frac{\partial y}{\partial \xi}\right)^2}} \\ \frac{\frac{\partial x}{\partial \xi}}{\sqrt{\left(\frac{\partial x}{\partial \xi}\right)^2 + \left(\frac{\partial y}{\partial \xi}\right)^2}} \end{bmatrix} \quad (7.73)$$

$\xi = \text{const}$

$$\begin{bmatrix} n_1 \\ n_2 \end{bmatrix} = \begin{bmatrix} \frac{-\frac{\partial y}{\partial \eta}}{\sqrt{\left(\frac{\partial x}{\partial \eta}\right)^2 + \left(\frac{\partial y}{\partial \eta}\right)^2}} \\ \frac{\frac{\partial x}{\partial \eta}}{\sqrt{\left(\frac{\partial x}{\partial \eta}\right)^2 + \left(\frac{\partial y}{\partial \eta}\right)^2}} \end{bmatrix} \quad (7.74)$$

Sõltuvalt elemendi piirjoonest  $\eta = \text{const}$  ( $\xi = \text{const}$ ) on lauskoormuse  $q$  (joonis 7.9) projektsioonid  $x$ - ja  $y$ -teljele

$$\begin{bmatrix} F_{qx}(\xi, \eta) \\ F_{qy}(\xi, \eta) \end{bmatrix} = \begin{bmatrix} q * n_1 \\ q * n_2 \end{bmatrix} \quad (7.75)$$

ning joone element  $d\Gamma(\xi, \eta)$  (7.67), kas  $d\Gamma(\xi)$  (7.71) või  $d\Gamma(\eta)$  (7.72).

## 7.8 Pingete arvutus

Elastsusseosed  $[\mathbf{D}]$  seovad pingeid  $[\sigma]$  ja deformatsioone  $[\epsilon]$ . Deformatsioonid omakorda avalduvad maatriksi  $[\mathbf{B}]$  ja elemendi sõlmpunktide siirete  $[d]$  kaudu

$$[\sigma] = [\mathbf{D}] [\epsilon] = [\mathbf{D}] [\mathbf{B}] [d] = [\mathbf{S}] [d] \quad (7.76)$$

kus

$$[\mathbf{S}] = [\mathbf{D}] [\mathbf{B}] = [\mathbf{C}^T] [\eta] [d] \quad (7.77)$$

Tähistame tasandülesande elastsuskonstantide maatriksi  $[\mathbf{D}]$  ( $[\mathbf{C}]$ ) (7.31) ja (7.34) elemendid  $d_{ij}$ -ga ( $c_{ij}$ )

$$[\mathbf{D}] = \begin{bmatrix} d_{11} & d_{12} & 0 \\ d_{21} & d_{22} & 0 \\ 0 & 0 & d_{33} \end{bmatrix}, \quad [\mathbf{C}] = \begin{bmatrix} c_{11} & c_{12} & 0 \\ 0 & c_{22} & 0 \\ 0 & 0 & c_{33} \end{bmatrix} \quad (7.78)$$

Maatriks  $[\eta]$  koosneb alammaatriksitest  $[\eta_j]$

$$[\eta] = \begin{bmatrix} [\eta_1] & [\eta_2] & \dots & [\eta_j] & \dots & [\eta_n] \end{bmatrix} \quad (7.79)$$

kus

$$[\eta_j] = \begin{bmatrix} c_{11} \frac{\partial N_j}{\partial x} & c_{12} \frac{\partial N_j}{\partial y} \\ 0 & c_{22} \frac{\partial N_j}{\partial y} \\ c_{33} \frac{\partial N_j}{\partial y} & c_{33} \frac{\partial N_j}{\partial x} \end{bmatrix} \quad (7.80)$$

$$\mathbf{C}^T = \begin{bmatrix} c_{11} & 0 & 0 \\ c_{12} & c_{22} & 0 \\ 0 & 0 & c_{33} \end{bmatrix}; \begin{bmatrix} c_{11}^2 \frac{\partial N_j}{\partial x} & c_{11} c_{12} \frac{\partial N_j}{\partial y} \\ c_{11} c_{12} \frac{\partial N_j}{\partial x} & (c_{11}^2 + c_{22}^2) \frac{\partial N_j}{\partial y} \\ c_{33}^2 \sqrt{\frac{1-\nu}{2}} \frac{\partial N_j}{\partial y} & c_{33}^2 \sqrt{\frac{1-\nu}{2}} \frac{\partial N_j}{\partial x} \end{bmatrix} = \mathbf{S}_j \quad (7.81)$$

Pingemaatriks  $[\mathbf{S}]$  koosneb alammaatriksitest  $[\mathbf{S}_j]$

$$[\mathbf{S}] = \begin{bmatrix} [\mathbf{S}_1] & [\mathbf{S}_2] & \dots & [\mathbf{S}_j] & \dots & [\mathbf{S}_n] \end{bmatrix} \quad (7.82)$$

Võtame arvesse elastsuskonstantide maatriksi  $[\mathbf{D}]$  ja Cholesky lahutusega saadud maatriksi  $[\mathbf{C}]$  elementide vahelised seosed

$$\begin{aligned} d_{11} &= c_{11}^2, & d_{12} &= c_{11} c_{12} \\ d_{22} &= c_{11}^2 + c_{22}^2, & d_{33} &= c_{33}^2 \end{aligned} \quad (7.83)$$

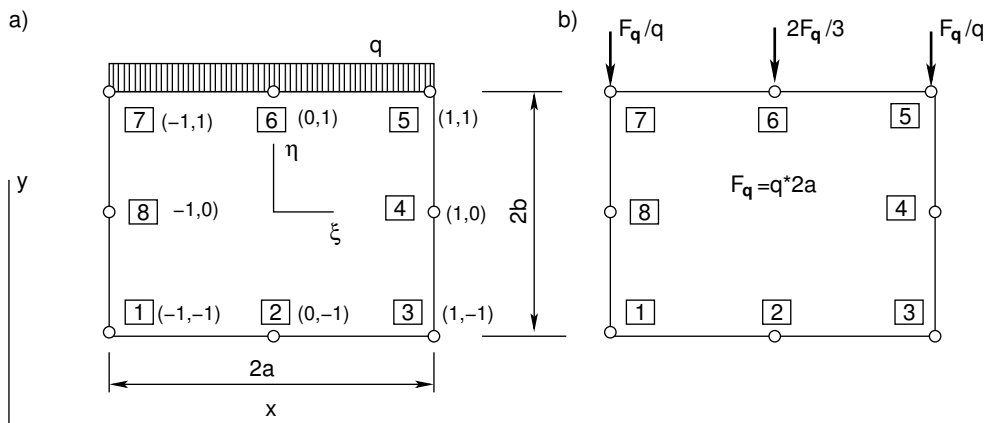
Pingemaatriks  $[\mathbf{S}_j]$  on

$$[\mathbf{S}_j] = \begin{bmatrix} d_{11} \frac{\partial N_j}{\partial x} & d_{12} \frac{\partial N_j}{\partial y} \\ d_{12} \frac{\partial N_j}{\partial x} & d_{22} \frac{\partial N_j}{\partial y} \\ d_{33} \frac{\partial N_j}{\partial y} & d_{33} \frac{\partial N_j}{\partial x} \end{bmatrix} \quad (7.84)$$

## 7.9 Näiteid koormuste taandamisest

**Näide 7.2** Taandada nelinurksele elemendile (8 sõlmega) mõjuv ühtlane lauskoormus  $-q$  (joonis 7.10) sõlmadesse. Elemendi laius on  $2a$  ja kõrgus  $2b$ . Seega mõjub elemendile jõud  $F = q * 2a$ .

Lähme üle mõõduta koordinaatidele  $\xi$  ja  $\eta$ .



Joonis 7.10. Lauskoormuse taandamine sõlme

$$\begin{aligned} x &= a\xi, & y &= b\eta \\ dx &= ad\xi, & (\eta = 1) \end{aligned} \quad (7.85)$$

Taandame koormuse sõlmadesse  $\boxed{5}$ ,  $\boxed{6}$ ,  $\boxed{7}$

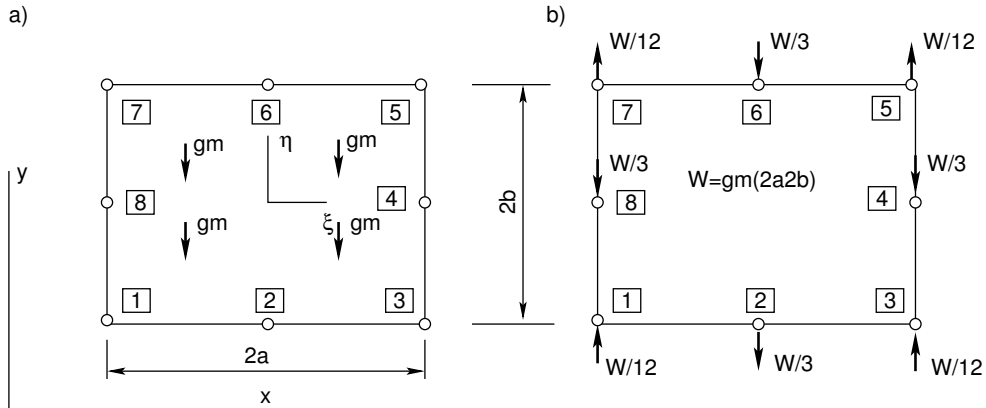
$$[\mathbf{F}_{\mathbf{qN}}] = \begin{bmatrix} F_{qy5} \\ F_{qy6} \\ F_{qy7} \end{bmatrix} = \int_{-1}^{+1} \begin{bmatrix} N_5 \\ N_6 \\ N_7 \end{bmatrix} (-q) ad\xi \quad (7.86)$$

Poole elemendile mõjuva koormuse  $(-qa)$  tähistame  $-\frac{F}{2}$  ja teostame integreerimised

$$\begin{aligned} F_{qy5} &= -\frac{F}{2} \int_{-1}^{+1} N_5 d\xi = -\frac{F}{2} \int_{-1}^{+1} \frac{1}{4} (1 + \xi) 2(\xi + 1 - 1) d\xi = -\frac{F}{6} \\ F_{qy6} &= -\frac{F}{2} \int_{-1}^{+1} N_6 d\xi = -\frac{F}{2} \int_{-1}^{+1} \frac{1}{4} (1 - \xi^2) 2 d\xi = -\frac{2F}{3} \\ F_{qy7} &= -\frac{F}{2} \int_{-1}^{+1} N_7 d\xi = -\frac{F}{2} \int_{-1}^{+1} \frac{1}{4} (1 - \xi) 2(-\xi + 1 - 1) d\xi = -\frac{F}{6} \end{aligned} \quad (7.87)$$

Taandatud koormused (7.87) on näidatud joonisel 7.10 b.

**Näide 7.3** Taandada nelinurkse elemendi (8 sõlmega), (joonis 7.11) omakaal ( $gm$ ) sõlmedesse. Elemendi laius on  $2a$  ja kõrgus  $2b$ . Seega mõjub elemendile jõud  $W = qm * 2a2b$ . Lähme üle mõõduta koordinaatidele  $\xi$  ja  $\eta$ .



Joonis 7.11. Omakaalu taandamine sõlme

$$x = a\xi, \quad y = b\eta, \quad dx = ad\xi \quad (7.88)$$

Omakaalu taandame sõlmedesse järgmise avaldisega:

$$[\mathbf{F}_{\varrho N}] = \begin{bmatrix} F_{\varrho x N} \\ F_{\varrho y N} \end{bmatrix} = \int_{-1}^{+1} \int_{-1}^{+1} [\mathbf{N}^T] \begin{bmatrix} 0 \\ -g \end{bmatrix} \det[J] d\xi d\eta \quad (7.89)$$

kus

$$\det[J] = \begin{vmatrix} \frac{\partial x}{\partial \xi} & \frac{\partial x}{\partial \eta} \\ \frac{\partial y}{\partial \xi} & \frac{\partial y}{\partial \eta} \end{vmatrix} = \begin{vmatrix} a & 0 \\ 0 & b \end{vmatrix} = ab \quad (7.90)$$

Kuna omakaalu projektsioonid  $x$ -teljele puuduvad, siis

$$[\mathbf{F}_{\varrho N}] = \begin{bmatrix} F_{\varrho y 1} \\ F_{\varrho y 2} \\ F_{\varrho y 3} \\ F_{\varrho y 4} \\ F_{\varrho y 5} \\ F_{\varrho y 6} \\ F_{\varrho y 7} \\ F_{\varrho y 8} \end{bmatrix} = -mgab \int_{-1}^{+1} \int_{-1}^{+1} \begin{bmatrix} N_1 \\ N_2 \\ N_3 \\ N_4 \\ N_5 \\ N_6 \\ N_7 \\ N_8 \end{bmatrix} d\xi d\eta = W \begin{bmatrix} \frac{1}{12} \\ -\frac{1}{3} \\ \frac{1}{12} \\ -\frac{1}{3} \\ \frac{1}{12} \\ -\frac{1}{3} \\ \frac{1}{12} \\ -\frac{1}{3} \end{bmatrix} \quad (7.91)$$

kus

$$W = mg4ab \quad (7.92)$$

Kujufunktsioonid  $N_i$  ( $i = 1, 3, 5, 7$ ) on

$$N_i = \frac{1}{4} (1 + \xi \xi_i) (1 + \eta \eta_i) (\xi \xi_i + \eta \eta_i - 1) , \quad (i = 1, 3, 5, 7) \quad (7.93)$$

Avaldise (7.91) liikmete  $F_{\varrho yi}$  ( $i = 1, 3, 5, 7$ ) integraalid on

$$F_{\varrho yi} = -\frac{W}{16} (I_1 + I_2 + I_3) , \quad (i = 1, 3, 5, 7) \quad (7.94)$$

siin

$$\begin{aligned} I_1 &= \int_{-1}^{+1} \int_{-1}^{+1} (1 + \xi \xi_i) (1 + \eta \eta_i) \xi \xi_i d\xi d\eta = \int_{-1}^{+1} (1 + \xi \xi_i) \xi \xi_i d\xi \left[ \eta + \frac{\eta^2 \eta_i}{2} \right]_{-1}^{+1} = \\ &= 2 \xi_i \left[ \frac{\xi^2}{2} + \frac{\xi^3}{3} \xi_i \right]_{-1}^{+1} = \frac{4}{3} \xi_i^2 = \frac{4}{3} \end{aligned} \quad (7.95)$$

$$I_2 = \int_{-1}^{+1} \int_{-1}^{+1} (1 + \xi \xi_i) (1 + \eta \eta_i) \eta \eta_i d\xi d\eta = \frac{4}{3} \eta_i^2 = \frac{4}{3} \quad (7.96)$$

$$\begin{aligned} I_3 &= - \int_{-1}^{+1} \int_{-1}^{+1} (1 + \xi \xi_i) (1 + \eta \eta_i) d\xi d\eta = - \int_{-1}^{+1} (1 + \xi \xi_i) d\xi \int_{-1}^{+1} (1 + \eta \eta_i) d\eta = \\ &= - \left[ \xi + \frac{\xi^2 \xi_i}{2} \right]_{-1}^{+1} \left[ \eta + \frac{\eta^2 \eta_i}{2} \right]_{-1}^{+1} = -4 \end{aligned} \quad (7.97)$$

Asetades leitud avaldised (7.95), (7.96), (7.97) avaldisse (7.94), saame

$$F_{\varrho yi} = -\frac{W}{16} \left( \frac{4}{3} + \frac{4}{3} - 4 \right) = \frac{W}{12}, \quad (i = 1, 3, 5, 7) \quad (7.98)$$

Avaldise (7.91) liikmete  $F_{\varrho yi}$  ( $i = 2, 6$ ) integraalid on

$$\begin{aligned} F_{\varrho yi} &= -\frac{W}{4} \int_{-1}^{+1} \int_{-1}^{+1} N_i d\xi d\eta = -\frac{W}{4} \int_{-1}^{+1} \int_{-1}^{+1} \frac{1}{2} (1 - \xi^2) (1 + \eta \eta_i) d\xi d\eta = \\ &= -\frac{W}{8} \int_{-1}^{+1} (1 + \eta \eta_i) d\eta \int_{-1}^{+1} (1 - \xi^2) d\xi = -\frac{W}{8} \left[ \eta + \frac{\eta^2}{2} \eta_i \right]_{-1}^{+1} \left[ \xi - \frac{\xi^3}{3} \right]_{-1}^{+1} = \\ &= -\frac{W}{8} (2) \left( 1 - \frac{1}{3} + 1 - \frac{1}{3} \right) = -\frac{W}{3}, \quad (i = 2, 6) \end{aligned} \quad (7.99)$$

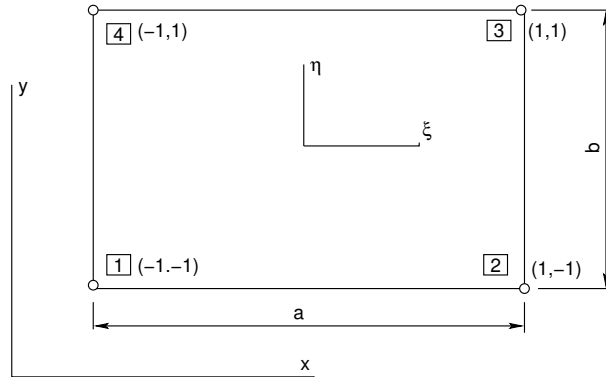
Avaldise (7.91) liikmete  $F_{\varrho yi}$  ( $i = 4, 8$ ) integraalid on

$$\begin{aligned} F_{\varrho yi} &= -\frac{W}{4} \int_{-1}^{+1} \int_{-1}^{+1} N_i d\xi d\eta = -\frac{W}{4} \int_{-1}^{+1} \int_{-1}^{+1} \frac{1}{2} (1 + \xi \xi_i) (1 - \eta^2) d\xi d\eta = \\ &= -\frac{W}{8} \int_{-1}^{+1} (1 + \xi \xi_i) d\xi \int_{-1}^{+1} (1 - \eta^2) d\eta = -\frac{W}{8} \left[ \xi + \frac{\xi^2}{2} \xi_i \right]_{-1}^{+1} \left[ \eta - \frac{\eta^3}{3} \right]_{-1}^{+1} = \\ &= -\frac{W}{8} (2) \left( 1 - \frac{1}{3} + 1 - \frac{1}{3} \right) = -\frac{W}{3}, \quad (i = 4, 8) \end{aligned} \quad (7.100)$$

*Omakaalud sõlmedes on näidatud joonisel 7.11.*

**Näide 7.4** Koostada nelinurkse elemendi (4 sõlmega), (joonis 7.12) jäikusmaatriks. Elementi laius on  $a$  ja kõrgus  $b$ .

Lähme üle mõõduta koordinaatidele  $\xi$  ja  $\eta$ .



Joonis 7.12. Bilineaarse elemendi jäikusmaatriks

$$\begin{aligned} x &= \frac{a}{2}\xi, & y &= \frac{b}{2}\eta \\ dx &= \frac{a}{2}d\xi, & dy &= \frac{b}{2}d\eta \end{aligned} \quad (7.101)$$

Nelinurkse elemendi kujufunktsioonid  $N_i$

$$N_i = \frac{1}{4} (1 + \xi\xi_i) (1 + \eta\eta_i), \quad (i = 1, 2, 3, 4) \quad (7.102)$$

Jacobi maatriks  $[J]$

$$[J] = \begin{bmatrix} \frac{\partial x}{\partial \xi} & \frac{\partial x}{\partial \eta} \\ \frac{\partial y}{\partial \xi} & \frac{\partial y}{\partial \eta} \end{bmatrix} = \begin{bmatrix} \frac{a}{2} & 0 \\ 0 & \frac{b}{2} \end{bmatrix} \quad (7.103)$$

Jakobiaan  $|J|$

$$|J| = \det [J] = \frac{ab}{4} \quad (7.104)$$

Jacobi pöördmaatriks  $[J^{-1}]$

$$[J^{-1}] = \frac{1}{|J|} \begin{bmatrix} \frac{b}{2} & 0 \\ 0 & \frac{a}{2} \end{bmatrix} \quad (7.105)$$

Kujufunktsioonide tuletised  $\frac{\partial N_i}{\partial x}$ ,  $\frac{\partial N_i}{\partial y}$

$$\begin{aligned} \begin{bmatrix} \frac{\partial N_i}{\partial x} \\ \frac{\partial N_i}{\partial y} \end{bmatrix} &= [J^{-1}] \begin{bmatrix} \frac{\partial N_i}{\partial \xi} \\ \frac{\partial N_i}{\partial \eta} \end{bmatrix} = \frac{4}{ab} \begin{bmatrix} \frac{b}{2} \frac{\partial N_i}{\partial \xi} \\ \frac{a}{2} \frac{\partial N_i}{\partial \eta} \end{bmatrix} = \begin{bmatrix} \frac{2}{a} \frac{\partial N_i}{\partial \xi} \\ \frac{2}{b} \frac{\partial N_i}{\partial \eta} \end{bmatrix} = \\ &= \begin{bmatrix} \frac{1}{2a} \xi_i (1 + \eta\eta_i) \\ \frac{1}{2b} \eta_i (1 + \xi\xi_i) \end{bmatrix} \end{aligned} \quad (7.106)$$

Kujufunktsoonid lahti kirjutatult

$$\begin{aligned} \frac{\partial N_1}{\partial x} &= -\frac{1}{2a}(1-\eta), & \frac{\partial N_1}{\partial y} &= -\frac{1}{2b}(1-\xi) \\ \frac{\partial N_2}{\partial x} &= \frac{1}{2a}(1-\eta), & \frac{\partial N_1}{\partial y} &= -\frac{1}{2b}(1+\xi) \\ \frac{\partial N_3}{\partial x} &= \frac{1}{2a}(1+\eta), & \frac{\partial N_3}{\partial y} &= \frac{1}{2b}(1+\xi) \\ \frac{\partial N_4}{\partial x} &= -\frac{1}{2a}(1+\eta), & \frac{\partial N_4}{\partial y} &= -\frac{1}{2b}(1-\xi) \end{aligned} \quad (7.107)$$

Vormifunktsoonide integraalid

$$\begin{aligned} \int_{-1}^{+1} \int_{-1}^{+1} (1 \pm \xi)^2 d\xi d\eta &= \frac{16}{3}, & \int_{-1}^{+1} \int_{-1}^{+1} (1 - \xi^2) d\xi d\eta &= \frac{8}{3} \\ \int_{-1}^{+1} \int_{-1}^{+1} (1 - \eta^2) d\xi d\eta &= \frac{8}{3}, & \int_{-1}^{+1} \int_{-1}^{+1} (1 \pm \xi)(1 \pm \eta) d\xi d\eta &= 4 \end{aligned} \quad (7.108)$$

Jäikusmaatriksi  $[K]$  alammaatriksid  $[K_{ij}]$  (7.55)

$$[\mathbf{K}_{ij}] = \int_A [\eta_i^T] [\eta_j] |J_A| d\xi d\eta \quad (7.109)$$

Tasandpinguse puhul on korrutis  $[\eta_i \eta_j]$  toodud avaldisega (7.58)

$$[\eta_i^T \eta_j] = \frac{E}{1 - \nu^2} \left[ \begin{array}{cc} \frac{\partial N_i}{\partial x} \frac{\partial N_j}{\partial x} + \frac{1-\nu}{2} \frac{\partial N_i}{\partial y} \frac{\partial N_j}{\partial y} & \nu \frac{\partial N_i}{\partial x} \frac{\partial N_j}{\partial y} + \frac{1-\nu}{2} \frac{\partial N_i}{\partial y} \frac{\partial N_j}{\partial x} \\ \nu \frac{\partial N_i}{\partial y} \frac{\partial N_j}{\partial x} + \frac{1-\nu}{2} \frac{\partial N_i}{\partial x} \frac{\partial N_j}{\partial y} & \frac{\partial N_i}{\partial y} \frac{\partial N_j}{\partial y} + \frac{1-\nu}{2} \frac{\partial N_i}{\partial x} \frac{\partial N_j}{\partial y} \end{array} \right] \quad (7.110)$$

Võtame kasutusele tähistused

$$p = \frac{a}{b}, \quad p^{-1} = \frac{b}{a} \quad (7.111)$$

$$[\mathbf{D}] = \begin{bmatrix} d_{11} & d_{12} & 0 \\ d_{21} & d_{22} & 0 \\ 0 & 0 & d_{33} \end{bmatrix} \quad (7.112)$$

Tasandpinguse puhul on jäikusmaatriks  $[K]$  (7.113) ja pingemaatriks  $[S]$  (7.114).



$$[S] = \begin{bmatrix} -\frac{d_{11}}{2a}(1-\eta) & -\frac{d_{12}}{2b}(1-\xi) & \frac{d_{11}}{2a}(1-\eta) & -\frac{d_{12}}{2b}(1-\xi) & \frac{d_{11}}{2a}(1+\eta) & -\frac{d_{12}}{2b}(1+\eta) & \frac{d_{12}}{2b}(1-\xi) \\ \cdots & \cdots & \cdots & \cdots & \cdots & \cdots & \cdots \\ -\frac{d_{12}}{2a}(1-\eta) & -\frac{d_{22}}{2b}(1-\xi) & \frac{d_{21}}{2a}(1-\eta) & -\frac{d_{22}}{2b}(1-\xi) & \frac{d_{12}}{2a}(1+\eta) & -\frac{d_{22}}{2b}(1+\eta) & -\frac{d_{12}}{2a}(1-\xi) \\ \cdots & \cdots & \cdots & \cdots & \cdots & \cdots & \cdots \\ -\frac{d_{33}}{2b}(1-\xi) & -\frac{d_{33}}{2a}(1-\eta) & -\frac{d_{33}}{2b}(1+\xi) & \frac{d_{33}}{2a}(1-\eta) & \frac{d_{33}}{2b}(1+\xi) & \frac{d_{33}}{2a}(1+\eta) & -\frac{d_{33}}{2a}(1+\eta) \end{bmatrix} \quad (7.114)$$



# Peatükk 8

## Plaaditeooria

### 8.1 Üldosa

#### 8.1.1 Põhimõisted

Plaaditeooriaga võib tutvuda õpiku abil [7]. Toome sealte mõned põhimõisted.

*Plaadi*ks nimetatakse prismalist või silindrilist keha, mille kõrgus (plaadi paksus) on võrreldes teiste mõõtmetega väike.

Pinda, mis jagab plaadi paksuse kaheks võrdsks osaks, nimetatakse plaadi *keskpinnaks*. Deformeerumata plaadi keskpind on tasandiline.

Plaadi paksus võib olla ühtlane või muutuv.

Plaati, mille elastsusomadused on kõigis suundades ühesugused, nimetatakse *isotroopseks*; vastasel juhul on plaat *anisotroopne*. Anisotroopsete plaatide erijuhuks on *ortotroopne* plaat. Sellise plaadi pinnas võib eraldada kahte teineteisega risti olevat sihti, milles rakendatud ühtlaselt jaotatud jõud ei põhjusta nende sihtide vahelise nurga muutust (nihet). Tüüpiliseks näiteks on vineerplaat.

Plaate liigitatakse:

- õhukedes plaadid; plaadi lühema külje pikkus  $b$  ületab plaadi kõrguse  $h$  vähemalt viis korda

$$\frac{b}{h} \geq 5 \quad (8.1)$$

- paksud plaadid

Nii nagu tala puhul võib plaadi ristlõikes vaadelda normaalpingeid koosnevana kahest komponendist: paindepingetest, mis plaadi keskpinnal võrduvad nulliga ning kasvavad proporsionaalselt kaugusega keskpinnast, ja pikkepingetest, mis on ühtlased üle plaadi paksuse. Pikkepingeid nimetatakse ka *ahelpingeteks*.

Painde- ja ahelsingete osatähtsuse järgi liigitatakse plaate

- *jäikadeks plaatideks*. Nende arvutamisel võib ahelsingetest loobuda, kuna ahelsinged on väiksemad kui paindepinged. Sellesse rühma kuuluvad raudbetoonplaadid, aga ka väikese läbipaindega terasplaadid;

- *painduvateks plaatideks*. Nende arvutamisel peab arvesse võtma nii painde- kui ka ahelpingete mõju. Sellesse rühma kuulub enamik terasplaate;
- *membraanideks*. Nende puhul võib hüljata paindepinged, kuna need on ahelpingetest tunduvalt väiksemad. Membraani analoogiks on painduv niit.

Kas plaati arvutada nagu jäika plaati, painduvat plaati või membraani, sõltub kõrmuse iseloomust ja plaadi kõrguse ning läbipainde suhest. Orienteerivalt võib plaati arvutada jäigana, kui plaadi paksus on vähemalt 3 korda suurem maksimaalsest läbipaindest, ja membraanina, kui läbipaine on enam kui 5 korda suurem plaadi paksusest.

### 8.1.2 Plaatide paindeteooria hüpoteesid

Need hüpoteesid koosnevad elastsusteooria hüpoteesidest aine omaduste kohta ja erihüpoteesidest, et lihtsustada plaatide paindeteooriat.

Plaatide paindeteooriad.

- Kirchhoffi teoria. Õhukeste plaatide paindeteorio. Nihkedeformatsioonid plaadi paksuse suunal hüljatakse. Nihkepinged samal suunal saadakse tasakaaluvoorranditest.
- Timošenko teoria. Võetakse arvesse nihkedeformatsioonid, mille jaotus plaadi paksuse suunal loetakse paraboolseks. Nihkest tekkiv ristlõike deplanatsioon hüljatakse.

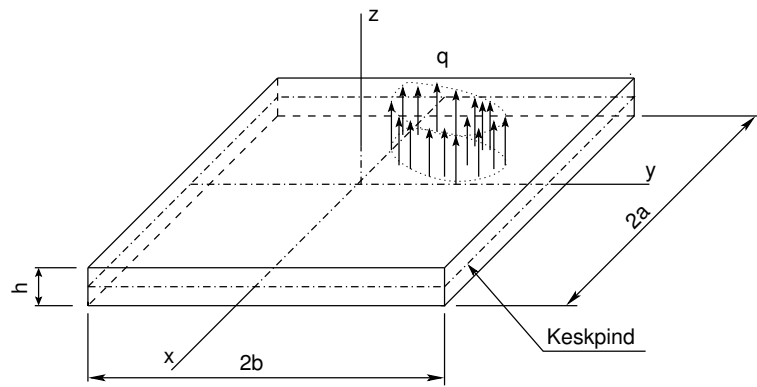
Edaspidi vaadeldakse ainult õhukesi plaatide  
õhukeste plaatide paindeteorio hüpoteesid.

1. *Sirgete normaalide hüpotees*: sirgjoonelised elemendid, mis enne deformatsiooni olid plaadi keskpinnaga risti, jäavad ka pärast deformatsiooni sirgeteks ja keskpinnaga risti.
2. Pinged, mis tekivad plaadi keskpinnaga paralleelsele kihtide rõhumisest üksteisele, on hüljatavalalt väikesed.
3. Plaadi kespinna punktid siirduvad ainult plaadi keskpinnaga ristsuunas; keskpinnal punktide siirded plaadi pinnas võrduvad nulliga. Keskpinnal deformeerumisest tekivad pinged on hüljatavalalt väikesed.

## 8.2 Œhukeste plaatide paindeteooriast

### 8.2.1 Plaadi sisejõud

Vaatleme plati (joonis 8.1), mille paksus on  $h$  ja mis on koormatud ühtlaselt jaotatud koormusega  $q = \text{konst}$ . Plaadi ristlõikepindades mõjuvad pinged  $\sigma_{xx}$ ,  $\sigma_{xy}$ ,  $\sigma_{xz}$  ja  $\sigma_{yz}$ ,

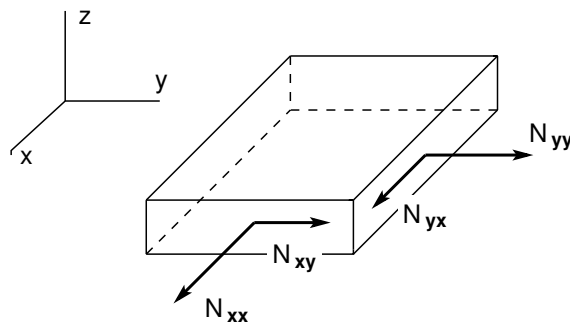


Joonis 8.1. Plaat ja teljestik

$\sigma_{yy}$ ,  $\sigma_{yz}$ . Määratleme pingete kaudu plaadi sisejõudude ja momentide intensiivsused.  
Aheljõudude intensiivsused (joonis 8.2)

$$\begin{aligned} N_{xx} &= \int_{-\frac{h}{2}}^{+\frac{h}{2}} \sigma_{xx} dz \\ N_{yy} &= \int_{-\frac{h}{2}}^{+\frac{h}{2}} \sigma_{yy} dz \\ N_{xy} &= \int_{-\frac{h}{2}}^{+\frac{h}{2}} \sigma_{xy} dz \\ N_{yx} &= \int_{-\frac{h}{2}}^{+\frac{h}{2}} \sigma_{yx} dz \end{aligned} \quad (8.2)$$

Nii nagu näha joonisel 8.2, on  $N_{xx}$  pikijõud ühe pikkusühiku kohta  $x$ -suunas,  $N_{yy}$



Joonis 8.2. Pikijõudude intensiivsused

pikijõud ühe pikkusühiku kohta  $y$ -suunas ja  $N_{xy}$  ning  $N_{yx}$  horisontaalsed nihkejõud

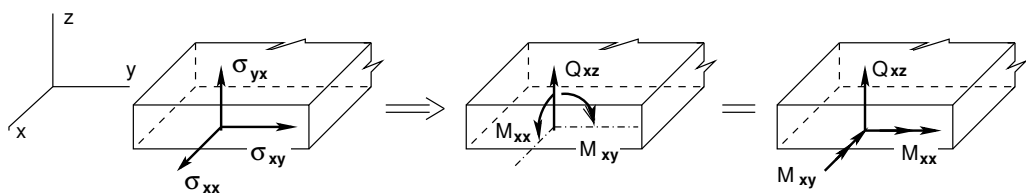
ühe pikkusühiku kohta  $y-$  ja  $x-$ suunas (esimene indeks näitab pinda ja teine suunda). Plaadi ristlõikepindades mõjuvad põikjõu intensiivsused

$$\begin{aligned} Q_{xz} &= \int_{-\frac{h}{2}}^{+\frac{h}{2}} \sigma_{xz} dz \\ Q_{yz} &= \int_{-\frac{h}{2}}^{+\frac{h}{2}} \sigma_{yz} dz \end{aligned} \quad (8.3)$$

Plaadi ristlõikepindades mõjuvad momentide intensiivsused

$$\begin{aligned} M_{xx} &= \int_{-\frac{h}{2}}^{+\frac{h}{2}} z \sigma_{xx} dz \\ M_{yy} &= \int_{-\frac{h}{2}}^{+\frac{h}{2}} z \sigma_{yy} dz \\ M_{xy} &= \int_{-\frac{h}{2}}^{+\frac{h}{2}} z \sigma_{xy} dz \\ M_{yx} &= \int_{-\frac{h}{2}}^{+\frac{h}{2}} z \sigma_{yx} dz \end{aligned} \quad (8.4)$$

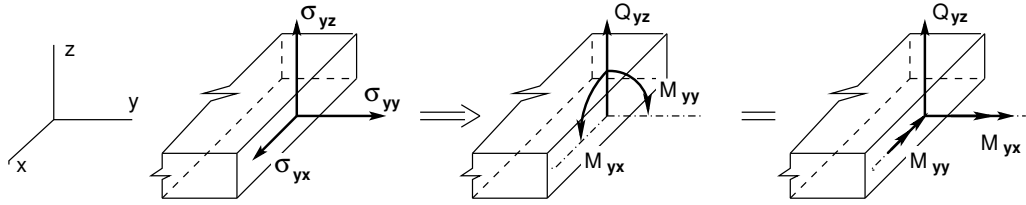
Joonisel 8.3 on näidatud põikjõu ja momendi intensiivsused ristlõikepinnal, mille normaal on  $x$ -telje sihil. Momentide tähistusena kasutatakse ka kahekordseid nooli.



Joonis 8.3. Põikjõud  $Q_{xz}$  ja momendid  $M_{xx}, M_{xy}$

Jõudude ja momentide positiivsed suunad on joonisel 8.3, mis vastavad elastsusteooria ja parema käe teljestiku märgireeglitele.

Joonisel 8.4 on põikjõu ja momendi intensiivsused ristlõikepinnal, mille normaal on  $y$ -telje sihil.

Joonis 8.4. Põikjõud  $Q_{yz}$  ja momendid  $M_{yx}, M_{yy}$ 

### 8.2.2 Plaadi tasakaaluvõrrandid

Edaspidi kasutame lühiduse mõttes terminite *põikjõu intensiivsus* ja *paindemomendi intensiivsus* asemel termineid *põikjõud* ja *paindemoment*, arvestades, et nende mõõtmned on vastavalt  $Nm$  ja  $N$  ( $kNm$  ja  $kN$ ).

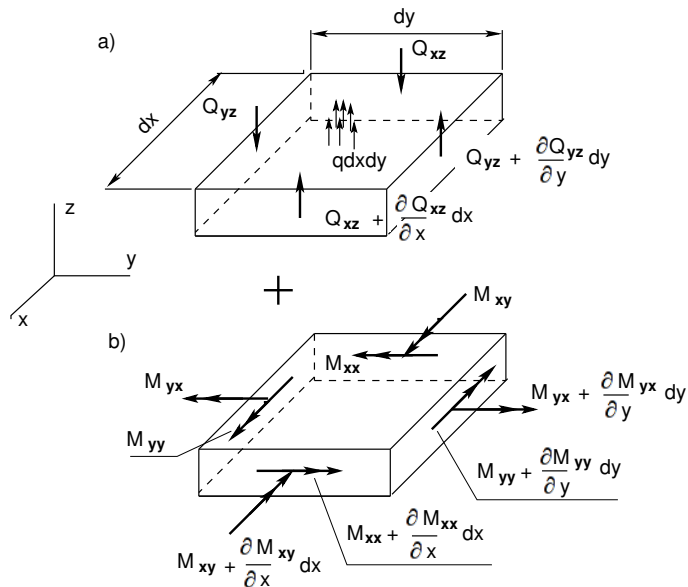
Õhukeste plaatide teooria kolmanda hüpoteesi kohaselt on aheljõud nullid

$$N_{xx} = N_{yy} = N_{xy} = N_{yx} = 0 \quad (8.5)$$

Nihkejõudude paarsuse seadusest ( $\sigma_{xy} = \sigma_{yx}$ ) tuleneb

$$M_{xy} = M_{yx} \quad (8.6)$$

Vaatleme plaadi elementi  $dxdy$  (joonis 8.5), mis on koormatud jõuga  $qdx dy$ . Põikjõude ja momente on joonisel 8.5 näidatud eraldi. Koostame tasakaaluvõrrandi  $z$ -teljele



Joonis 8.5. Plaadi tasakaaluvõrrandid

$$\begin{aligned} \sum Z = 0 : & qdx dy - Q_{yz}dx + \\ & + \left( Q_{xz} + \frac{\partial Q_{xz}}{\partial x} dx \right) dy + \left( Q_{yz} + \frac{\partial Q_{yz}}{\partial y} dy \right) dx - Q_{xz}dy = 0 \end{aligned} \quad (8.7)$$

millega pärast taandamist ja läbijagamist  $dxdy$ -ga saab

$$\frac{\partial Q_{xz}}{\partial x} + \frac{\partial Q_{yz}}{\partial y} + q = 0 \quad (8.8)$$

Koostame momentide tasakaaluvõrrandi telje suhtes, mis on paralleelne  $x$ -teljega ja läbib plaadi parempoolset serva

$$\begin{aligned} \sum M_y &= 0 : & -q dxdy \frac{1}{2} dy + Q_{yz} dxdy - \\ &- \left( Q_{xz} + \frac{\partial Q_{xz}}{\partial x} dx \right) dy \frac{1}{2} dy + Q_{xz} dy \frac{1}{2} dy + M_{yy} dx - \\ &- \left( M_{xy} + \frac{\partial M_{xy}}{\partial x} dx \right) dy - \left( M_{yy} + \frac{\partial M_{yy}}{\partial y} dy \right) dx + M_{xy} dy = 0 \end{aligned} \quad (8.9)$$

millega saab

$$\underbrace{-q \frac{1}{2} dy}_{\approx 0} + Q_{yz} - \underbrace{\frac{\partial Q_{xz}}{\partial x} \frac{1}{2} dy}_{\approx 0} - \frac{\partial M_{xy}}{\partial x} - \frac{\partial M_{yy}}{\partial y} = 0 \quad (8.10)$$

Kuna  $dy$  on lõpmatult väike suurus, siis jätame ta ära

$$\boxed{\frac{\partial M_{xy}}{\partial x} + \frac{\partial M_{yy}}{\partial y} = Q_{yz}} \quad (8.11)$$

Momentide tasakaaluvõrrand telje suhtes, mis on paralleelne  $y$ -teljega ja läbib plaadi serva, annab analoogiliselt eelnenuga

$$\boxed{\frac{\partial M_{xx}}{\partial x} + \frac{\partial M_{xy}}{\partial y} = Q_{xz}} \quad (8.12)$$

Avaldised (8.11), (8.12) võimaldavad määrata põikjõud, kuna õhukeste plaatide hüpoteesides hüljatakse vastavad nihkedeformatsioonid ( $\gamma_{xz} \approx 0$ ,  $\gamma_{yz} \approx 0$ ).

Diferentseerime avaldist (8.11)  $y$  järgi ja avaldist (8.12)  $x$  järgi. Liidame saadud tulemused ning võtame arvesse avaldise (8.8), saades

$$\boxed{\frac{\partial^2 M_{xx}}{\partial x^2} + 2 \frac{\partial^2 M_{xy}}{\partial x \partial y} + \frac{\partial^2 M_{yy}}{\partial y^2} + q = 0} \quad (8.13)$$

### 8.2.3 Plaadi deformatsioonid

Vastavalt õhukeste plaatide teooria esimesele hüpoteesile: *sirgjoonelised elemendid, mis enne deformatsiooni olid plaadi keskpinna risti, jäävad ka pärast deformatsiooni sirgjoonelisteks ja keskpinna risti*, saame avaldada siirded

$$\begin{aligned} u(x, y, z) &= u^o(x, y) - z \frac{\partial w(x, y)}{\partial x} \\ v(x, y, z) &= v^o(x, y) - z \frac{\partial w(x, y)}{\partial y} \\ w(x, y, z) &= w(x, y) \end{aligned} \quad (8.14)$$

kus  $u^o$ ,  $v^o$  on plaadi keskpinna siirded plaadi tasapinnas  $xy$  ja  $w$  plaadi siire  $z$ -telje suunas.

Plaadi deformatsioonide  $\epsilon_x$ ,  $\epsilon_y$  ja  $\gamma_{xy}$  kirjeldamiseks kasutame tasandülesandes määra-tud deformatsioonide avaldist (7.4)

$$[\epsilon] = \begin{bmatrix} \epsilon_x \\ \epsilon_y \\ \gamma_{xy} \end{bmatrix} = \begin{bmatrix} \frac{\partial u^o}{\partial x} - \frac{\partial^2 w(x, y)}{\partial x^2} \\ \frac{\partial v^o}{\partial y} - \frac{\partial^2 w(x, y)}{\partial y^2} \\ \frac{\partial u^o}{\partial y} + \frac{\partial v^o}{\partial x} - 2 \frac{\partial^2 w(x, y)}{\partial x \partial y} \end{bmatrix} \quad (8.15)$$

ja deformatsioonid

$$\epsilon_z \approx 0, \quad \gamma_{xz} \approx 0, \quad \gamma_{yz} \approx 0 \quad (8.16)$$

Tihti kirjutatakse, et  $\epsilon_z$ ,  $\gamma_{xz}$  ja  $\gamma_{yz}$  on nullid, s.t nihked deformatsioone ei ole, aga vastavad nihkepinged või nihkejõud onolemas (niisugune olukord on võimalik ainult momentidega elastsusteoorias). Meie hülgame nihked deformatsioonid, võrreldes neid teiste deformatsioonidega.

Deformatsioonid (8.15) võib kirjutada kujul

$$[\epsilon] = [\epsilon^0] - z [\mathbf{k}] \quad (8.17)$$

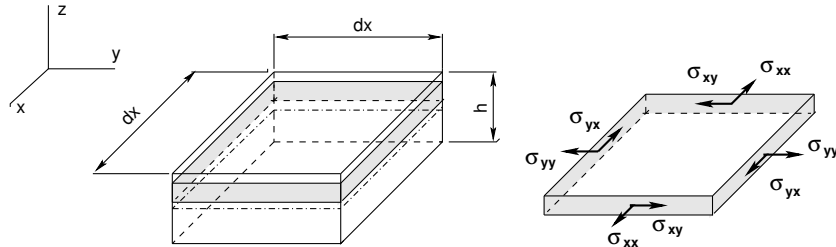
kus

$$[\epsilon^0] = \begin{bmatrix} \frac{\partial u^o}{\partial x} \\ \frac{\partial v^o}{\partial y} \\ \frac{\partial u^o}{\partial y} + \frac{\partial v^o}{\partial x} \end{bmatrix}, \quad [\mathbf{k}] = \begin{bmatrix} \frac{\partial^2 w(x, y)}{\partial x^2} \\ \frac{\partial^2 w(x, y)}{\partial y^2} \\ 2 \frac{\partial^2 w(x, y)}{\partial x \partial y} \end{bmatrix} \quad (8.18)$$

Avaldises (8.18)  $[\mathbf{k}]$  on kõverusmaatriks.

### 8.2.4 Plaadi elastsusseosed

Plaadi pingelukorda võib vaadelda kui tasandpingust (joonis 8.6), kus pinged keskpinna paralleelseste kihtide vahel hüljatakse. Pingete ja deformatsioonide vaheline



Joonis 8.6. Plaadi tasandpingus

seos

$$[\sigma] = [\mathbf{D}] [\epsilon] = [\mathbf{D}] [\epsilon^0] - z [\mathbf{D}] [\mathbf{k}] \quad (8.19)$$

kus pinge  $[\sigma]$  ja deformatsioonid  $[\epsilon]$  on

$$[\sigma] = \begin{bmatrix} \sigma_{xx} \\ \sigma_{yy} \\ \sigma_{xy} \end{bmatrix}, \quad [\epsilon] = \begin{bmatrix} \epsilon_{xx} \\ \epsilon_{yy} \\ \gamma_{xy} \end{bmatrix} \quad (8.20)$$

ning isotroopse materjali ja tasandpinguse korral  $[\mathbf{D}]$  on

$$[\mathbf{D}] = \frac{E}{1-\nu^2} \begin{bmatrix} 1 & \nu & 0 \\ \nu & 1 & 0 \\ 0 & 0 & \frac{1-\nu}{2} \end{bmatrix} \quad (8.21)$$

Defineerime momentide vektori  $[\mathbf{M}]$

$$[\mathbf{M}] = \begin{bmatrix} M_{xx} \\ M_{yy} \\ M_{xy} \end{bmatrix} = \int_{-\frac{h}{2}}^{+\frac{h}{2}} z \begin{bmatrix} \sigma_{xx} \\ \sigma_{yy} \\ \sigma_{xy} \end{bmatrix} dz \quad (8.22)$$

Kasutades elastsusseost (8.19), saame momendivektori

$$[\mathbf{M}] = [\mathbf{D}] [\epsilon^0] \int_{-\frac{h}{2}}^{+\frac{h}{2}} z dz - [\mathbf{D}] [\mathbf{k}] \int_{-\frac{h}{2}}^{+\frac{h}{2}} z^2 dz \quad (8.23)$$

Kuna

$$\int_{-\frac{h}{2}}^{+\frac{h}{2}} z dz = 0 \quad , \quad \int_{-\frac{h}{2}}^{+\frac{h}{2}} z^2 dz = \frac{h^3}{12} \quad (8.24)$$

siis

$$[\mathbf{M}] = - [\tilde{\mathbf{D}}] [\mathbf{k}] \quad (8.25)$$

kus

$$[\tilde{\mathbf{D}}] = \frac{h^3}{12} [\mathbf{D}] \quad (8.26)$$

Suurust  $[\tilde{\mathbf{D}}]$  avaldises (8.26) nimetatakse plaadi *silindriliseks jäikuseks*.

### 8.2.5 Plaadi diferentsiaalvõrrandid

Võtame kasutusele differentseerimise vektori  $\nabla^*$  [16]

$$\nabla^* = \begin{bmatrix} \frac{\partial^2}{\partial x^2} \\ \frac{\partial^2}{\partial y^2} \\ 2\frac{\partial^2}{\partial x \partial y} \end{bmatrix} \quad (8.27)$$

Kasutades differentseerimise vektorit  $\nabla^*$ , võime tasakaaluvõrrandid (8.13) ja momendi avaldise (8.25) kirjutada järgmisel kujul:

$$\left[ \nabla^{*\mathbf{T}} \right] [\mathbf{M}] + q = 0 \quad (8.28)$$

$$[\mathbf{M}] = - \left[ \tilde{\mathbf{D}} \right] \left[ \nabla^* \right] w \quad (8.29)$$

Asetades momendi avaldise (8.29) tasakaaluvõrrandisse (8.28), saame plaadi tasakaaluvõrandi siirde  $w$  kaudu

$$\left[ \nabla^{*\mathbf{T}} \right] [\tilde{\mathbf{D}}] \left[ \nabla^* \right] w = q \quad (8.30)$$

Kirjutame võrrandi (8.30) lahti

$$\frac{\partial^4 w}{\partial x^4} + 2 \frac{\partial^4 w}{\partial x^2 \partial y^2} + \frac{\partial^4 w}{\partial y^4} = \frac{12(1-\nu^2)}{Eh^3} q$$

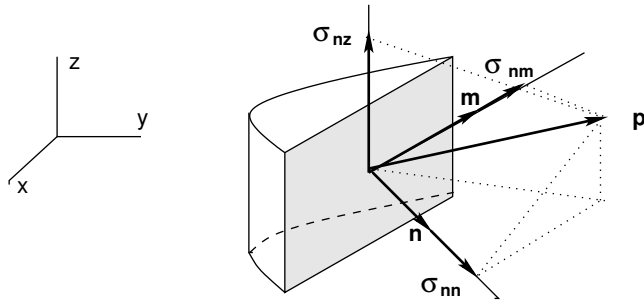
(8.31)

Diferentsiaalvõrand (8.31) on *biharmooniline võrrand*, mille esmalt tuletas Lagrange 1811. aastal. Vaadeldud plaaditeooria tuletas Kirchhoff 1850. aastal. Tema nime järgi kutsutakse seda *Kirchhoffi plaaditeooriaks*.

### 8.2.6 Momendid ja põikjõud plaadi suvalises ristlõikes

Tasandülesandes avaldasime pingevektori  $\vec{p}_n$  kaldpinnal pingete kaudu (7.19). Momentide ja põikjõudude avaldamiseks suvalises ristlõikes vaatleme joonist 8.7. Plaadi ristlõike pinnanormaali  $\mathbf{n}$  ja temaga risti plaadi keskpinnal oleva vektori  $\mathbf{m}$  projektsioonid  $x-, y-, z-$ -teljele Plaadi ristlõike pinnanormaali  $\mathbf{n}$  ja temaga risti plaadi keskpinnal oleva vektori  $\mathbf{m}$  projektsioonid  $x-, y-, z-$ -teljele

$$\mathbf{n} = \begin{bmatrix} n_x \\ n_y \\ n_z \end{bmatrix} = \begin{bmatrix} n_x \\ n_y \\ 0 \end{bmatrix}, \quad \mathbf{m} = \begin{bmatrix} m_x \\ m_y \\ m_z \end{bmatrix} = \begin{bmatrix} m_x \\ m_y \\ 0 \end{bmatrix} \quad (8.32)$$



Joonis 8.7. Pingevector plaadi serval

Vektorid  $\mathbf{n}$ ,  $\mathbf{m}$  on ühikvektorid ja teineteisega risti, s.t

$$|\mathbf{n}| = |\mathbf{m}| = 1 \quad , \quad \mathbf{n}^T \mathbf{m} = 0 \quad (8.33)$$

Pingevector  $\mathbf{p}$  plaadi suvalises ristlõikes ( $n_z = 0$ )

$$\mathbf{p} = \begin{bmatrix} p_x \\ p_y \\ p_z \end{bmatrix} = \begin{bmatrix} \sigma_{xx} & \sigma_{xy} \\ \sigma_{yx} & \sigma_{yy} \\ \sigma_{zx} & \sigma_{zy} \end{bmatrix} \begin{bmatrix} n_x \\ n_y \end{bmatrix} \quad (8.34)$$

Pinged  $\sigma_{nm}$  plaadi suvalises ristlõikes

$$\begin{aligned} \sigma_{nn} &= \mathbf{n}^T \mathbf{p} \\ \sigma_{nm} &= \mathbf{m}^T \mathbf{p} \\ \sigma_{nz} &= [001] \mathbf{p} \end{aligned} \quad (8.35)$$

Avaldise (8.35) saab lahti kirjutada nii

$$\begin{aligned} \sigma_{nn} &= n_x^2 \sigma_{xx} + n_y^2 \sigma_{yy} + 2n_x n_y \sigma_{xy} \\ \sigma_{nm} &= n_x m_x \sigma_{xx} + n_y m_y \sigma_{yy} + (n_y m_x + n_x m_y) \sigma_{xy} \\ \sigma_{nz} &= n_{xy} \sigma_{xz} + n_y \sigma_{yz} \end{aligned} \quad (8.36)$$

Määratleme paindemomendid  $M_{nn}$ ,  $M_{nm}$  ja põikjõu  $Q_{nz}$  plaadi suvalises ristlõikes

$$\begin{aligned} M_{nn} &= \int_{-\frac{h}{2}}^{+\frac{h}{2}} z \sigma_{nn} dz \\ M_{nm} &= \int_{-\frac{h}{2}}^{+\frac{h}{2}} z \sigma_{nm} dz \\ Q_{xy} &= \int_{-\frac{h}{2}}^{+\frac{h}{2}} \sigma_{nz} dz \end{aligned} \quad (8.37)$$

Asetades pinged (8.36) avaldisse (8.37), saame

$$\begin{aligned} M_{nn} &= n_x^2 M_{xx} + n_y^2 M_{yy} + 2n_x n_y M_{xy} \\ M_{nm} &= n_x m_x M_{xx} + n_y m_y M_{yy} + (n_y m_x + n_x m_y) M_{xy} \\ Q_{xy} &= n_{xy} Q_{xz} + n_y Q_{yz} \end{aligned} \quad (8.38)$$

### 8.2.7 Vektorarvutuste seoseid

Kasutame diferentseerimise vektorit  $\nabla$  (nablat)

$$\nabla = \left[ \begin{array}{c} \frac{\partial}{\partial x} \\ \frac{\partial}{\partial y} \end{array} \right] , \quad \nabla \Phi = \left[ \begin{array}{c} \frac{\partial \Phi}{\partial x} \\ \frac{\partial \Phi}{\partial y} \end{array} \right] \quad (8.39)$$

kus  $\nabla \Phi$  on funktsiooni  $\Phi$  gradient.

Funktsiooni  $\Phi$  diferentsiaal

$$d\Phi = (\nabla \Phi)^T d\mathbf{x} = \left[ \begin{array}{cc} \frac{\partial \Phi}{\partial x} & \frac{\partial \Phi}{\partial y} \end{array} \right] \left[ \begin{array}{c} dx \\ dy \end{array} \right] \quad (8.40)$$

Olgu suuna  $d\mathbf{r}$  ühikvektor  $\mathbf{m}$

$$|d\mathbf{r}| = dm = \sqrt{dx^2 + dy^2} , \quad \mathbf{m} = \left[ \begin{array}{c} m_x \\ m_y \end{array} \right] , \quad |\mathbf{m}| = 1 \quad (8.41)$$

siis

$$\frac{d\Phi}{dm} = (\nabla \Phi)^T \mathbf{m} \quad (8.42)$$

Puutuja vektoriga  $\mathbf{m}$  risti olev vektor  $\mathbf{n}$  on antud avaldisega (8.34). Momendid suvalises ristlõikes saab esitada kujul

$$M_{nn} = \mathbf{n}^T \mathbf{A} \mathbf{n} , \quad M_{nm} = \mathbf{m}^T \mathbf{A} \mathbf{n} \quad (8.43)$$

kus

$$\mathbf{A} = \left[ \begin{array}{cc} M_{xx} & M_{xy} \\ M_{xy} & M_{yy} \end{array} \right] \quad (8.44)$$

Korrutame  $\mathbf{n}$   $M_{nn}$ -iga ja  $\mathbf{m}$   $M_{nm}$ -iga ning liidame

$$\mathbf{n} M_{nn} + \mathbf{m} M_{nm} = (\mathbf{n} \mathbf{n}^T + \mathbf{m} \mathbf{m}^T) \mathbf{A} \mathbf{n} \quad (8.45)$$

siin kasutasime avaldist (8.43).

Tähistame avaldise (8.45) parempoolse liikme sulgudes oleva avaldise  $\mathbf{R}$ -iga

$$\mathbf{R} = (\mathbf{n} \mathbf{n}^T + \mathbf{m} \mathbf{m}^T) \quad (8.46)$$

ja näitame, et see on ühikmaatriks.

Kuna  $\mathbf{n}$  ja  $\mathbf{m}$  on risti olevad ühikvektorid, siis võib suvalise vektori  $\mathbf{r}$  esitada nende kaudu

$$\mathbf{r} = \alpha\mathbf{n} + \beta\mathbf{m} \quad (8.47)$$

kus  $\alpha$  ja  $\beta$  on vektori  $\mathbf{r}$  projektsioonid risti olevatele vektoritele.

Korrutame avaldist (8.47) maatriksiga  $\mathbf{R}$  (8.46)

$$\mathbf{R}\mathbf{r} = \mathbf{r}, \quad (\mathbf{R} - \mathbf{I})\mathbf{r} = 0 \quad (8.48)$$

Kuna see tingimus on täidetud suvalise vektori  $\mathbf{r}$  puhul, siis  $\mathbf{R} = \mathbf{I}$  ja

$$\mathbf{R} = (\mathbf{n}\mathbf{n}^T + \mathbf{m}\mathbf{m}^T) = \mathbf{I} \quad (8.49)$$

Nüüd saab avaldise (8.45) esitada järgmisel kujul:

$$\mathbf{n}M_{nn} + \mathbf{m}M_{nm} = \mathbf{A}\mathbf{n} \quad (8.50)$$

Korrutame avaldise (8.50) suurusega  $(\nabla\hat{w})^T$ , kus  $\hat{w}(x, y)$  on suvaline funktsioon ja  $\nabla\hat{w}$  tähistab funktsiooni  $\hat{w}$  gradienti

$$(\nabla\hat{w})^T \mathbf{n}M_{nn} + (\nabla\hat{w})^T \mathbf{m}M_{nm} = (\nabla\hat{w})^T \mathbf{A}\mathbf{n} \quad (8.51)$$

Arvestades seost (8.42), saame avaldisest (8.51)

$$\frac{d\hat{w}}{dn}M_{nn} + \frac{d\hat{w}}{dm}M_{nm} = \left[ \begin{array}{cc} \frac{\partial\hat{w}}{\partial x} & \frac{\partial\hat{w}}{\partial y} \end{array} \right] \left[ \begin{array}{c} M_{xx}n_x + M_{xy}n_y \\ M_{xy}n_x + M_{yy}n_y \end{array} \right] \quad (8.52)$$

Edaspidi kasutame seost (8.52) plaadi virtuaalsiirete printsiibi väljatoomisel.

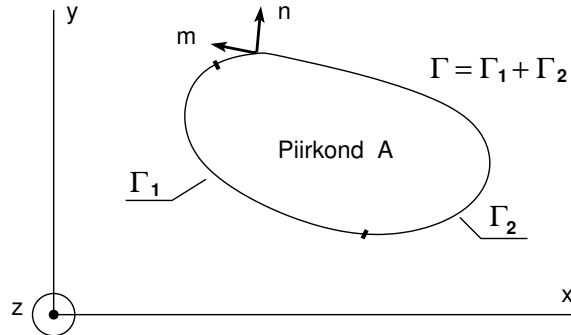
### 8.2.8 Plaadi rajatingimustest

*Kõlblike rajatingimuste* kirjeldamine Kirchhoffi plaaditeoorias vajab selgitust. *Kõlblikud rajatingimused* vastavad *jäävusseadustele*. Meelevaldselt kirjutatud rajatingimused võivad viia jäävusseaduste rikkumisele. Jäävusseadusi ja *nõrku lahendeid* on vaadelnud R. Courant [6].

Plaadi servadel  $\Gamma_1, \Gamma_2$  (joonis 8.8) võivad olla antud *kinemaatilised* või *staatilised* rajatingimused.

Näiteks olgu toodud nelinurkse plaadi kõigi nelja serva erinevad rajatingimused:

- jäigalt kinnitatud serv
- vabalt toetatud serv
- jõududevaba serv
- plaadi serv on ühendatud elastse talaga selle neutraaljoonel



Joonis 8.8. Plaadi serv

Plaadi serval on kolm kinemaatilist suurust  $w$ ,  $\theta_n$  ja  $\theta_m$  (joonis 8.9). Vastavalt sirgete normaalide hüpoteesile  $\theta_n = \frac{dw}{dn}$  ja  $\theta_m = \frac{dw}{dm}$ . Kui plaadi serval on antud siire  $w$ , siis võib selle kirjutada funktsioonina  $m$ -ist  $w = w(m)$  ning leida ka  $\theta_m = \frac{dw}{dm}$ . Seega on plaadi serval kaks sõltumatut kinemaatilist suurust  $w$ ,  $\theta_n = \frac{dw}{dn}$ .

Plaadi *kinemaatilised* rajatingimused

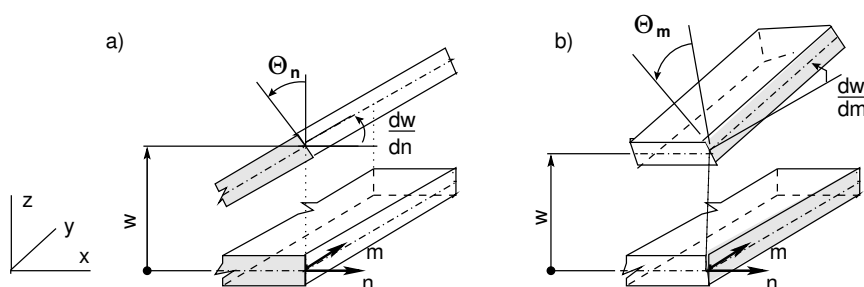
$$\boxed{w, \frac{dw}{dn}} \quad (8.53)$$

on sõltumatu.

Plaadi serval on jõud  $M_{nn}$ ,  $M_{nm}$  ja  $Q_{nz}$ . Igale kinemaatilisele rajatingimusele (8.53) peab vastama üks staatiline rajatingimus. Edaspidi näitame, et pöördele  $\frac{dw}{dn}$  vastab moment  $M_{nn}$  ja siirdele  $w$  vastab üldistatud jõud  $(Q_{nz} + \frac{dM_{nm}}{dm})$ . Seega on Kirchhoffi plaaditeooria *staatilised* rajatingimused

$$\boxed{Q_{nz} + \frac{dM_{nm}}{dm}, M_{nn}} \quad (8.54)$$

Mindlini-Reissneri (Timošenko) tüüpi plaatide teorias on pöörded ja siirde tuletised sõltumatu, s.t  $\theta_n \neq \frac{dw}{dn}$ ,  $\theta_m \neq \frac{dw}{dm}$ . Selles teorias on kolm kinemaatilist rajatingimust



Joonis 8.9. Siire ja pööre plaadi serval

ja kolm staatilist rajatingimust.

### 8.2.9 Virtuaalsiirete printsiiip. Kõlblikud rajatingimused

Vaatame Kirchhoffi plaaditeoorias virtuaalsiirete printsiiipi ja tuletame staatilised rajatingimused (8.54). Virtuaalsiirete printsiiip on vajalik lõplike elementide meetodi rakenemiseks plaatidele.

Esitame tasakaaluvõrrandi (8.13) järgmisel kujul:

$$\frac{\partial}{\partial x} \left( \frac{\partial M_{xx}}{\partial x} \right) + \frac{\partial}{\partial x} \left( \frac{\partial M_{xy}}{\partial y} \right) + \frac{\partial}{\partial y} \left( \frac{\partial M_{xy}}{\partial x} \right) + \frac{\partial}{\partial y} \left( \frac{\partial M_{yy}}{\partial y} \right) + q = 0 \quad (8.55)$$

Korrutame võrrandi (8.55) suvalise kaalufunktsioniga  $\hat{w}$  ja integreerime üle plaadi piirkonna  $A$

$$\begin{aligned} \int_A \hat{w} \frac{\partial}{\partial x} \left( \frac{\partial M_{xx}}{\partial x} \right) dA + \int_A \hat{w} \frac{\partial}{\partial x} \left( \frac{\partial M_{xy}}{\partial y} \right) dA + \int_A \hat{w} \frac{\partial}{\partial y} \left( \frac{\partial M_{xy}}{\partial x} \right) dA + \\ + \int_A \hat{w} \frac{\partial}{\partial y} \left( \frac{\partial M_{yy}}{\partial y} \right) dA + \int_A \hat{w} q dA = 0 \end{aligned} \quad (8.56)$$

Ositi integreerimisel kasutame Greeni-Gaussi valemeid

$$\int_A \phi \frac{\partial \psi}{\partial x} dA = \oint_{\Gamma} \phi \psi n_x d\Gamma - \int_A \frac{\partial \phi}{\partial x} \psi dA \quad (8.57)$$

$$\int_A \phi \frac{\partial \psi}{\partial y} dA = \oint_{\Gamma} \phi \psi n_y d\Gamma - \int_A \frac{\partial \phi}{\partial y} \psi dA \quad (8.58)$$

Integreerimise tulemusel saame

$$\begin{aligned} & \underbrace{\oint_{\Gamma} \hat{w} \frac{\partial M_{xx}}{\partial x} n_x d\Gamma - \int_A \frac{\partial \hat{w}}{\partial x} \left( \frac{\partial M_{xx}}{\partial x} \right) dA}_{+ \oint_{\Gamma} \hat{w} \frac{\partial M_{xy}}{\partial y} n_x d\Gamma} - \\ & - \underbrace{\int_A \frac{\partial \hat{w}}{\partial x} \left( \frac{\partial M_{xy}}{\partial y} \right) dA}_{+ \oint_{\Gamma} \hat{w} \frac{\partial M_{xy}}{\partial x} n_y d\Gamma} + \underbrace{\int_A \hat{w} \frac{\partial}{\partial y} \left( \frac{\partial M_{xy}}{\partial x} \right) dA}_{+ \oint_{\Gamma} \hat{w} \frac{\partial M_{yy}}{\partial y} n_y d\Gamma} - \\ & + \underbrace{\int_A \hat{w} \frac{\partial}{\partial y} \left( \frac{\partial M_{yy}}{\partial y} \right) dA}_{- \int_A \frac{\partial \hat{w}}{\partial y} \left( \frac{\partial M_{yy}}{\partial y} \right) dA} + \int_A \hat{w} q dA = 0 \end{aligned} \quad (8.59)$$

Avaldises allajoonitud liikmed võib asendada momentide tasakaaluvõrrandite (8.11) ja (8.12) abil põikjõu avaldistega

$$\oint_{\Gamma} \hat{w} Q_{xz} n_x d\Gamma + \oint_{\Gamma} \hat{w} Q_{yz} n_x d\Gamma - \int_A \frac{\partial \hat{w}}{\partial x} \left( \frac{\partial M_{xx}}{\partial x} \right) dA - \\ - \int_A \frac{\partial \hat{w}}{\partial x} \left( \frac{\partial M_{xy}}{\partial y} \right) dA - \int_A \frac{\partial \hat{w}}{\partial y} \left( \frac{\partial M_{xy}}{\partial x} \right) dA - \\ - \int_A \frac{\partial \hat{w}}{\partial y} \left( \frac{\partial M_{yy}}{\partial y} \right) dA + \int_A \hat{w} q dA = 0 \quad (8.60)$$

Kasutades põikjõu avaldist suvalises ristlõikes (8.38), võib avaldise (8.60) esitada järgmisel kujul:

$$- \int_A \frac{\partial \hat{w}}{\partial x} \left( \frac{\partial M_{xx}}{\partial x} \right) dA - \int_A \frac{\partial \hat{w}}{\partial x} \left( \frac{\partial M_{xy}}{\partial y} \right) dA - \\ - \int_A \frac{\partial \hat{w}}{\partial y} \left( \frac{\partial M_{xy}}{\partial x} \right) dA - \int_A \frac{\partial \hat{w}}{\partial y} \left( \frac{\partial M_{yy}}{\partial y} \right) dA + \\ + \oint_{\Gamma} \hat{w} Q_{nz} d\Gamma + \int_A \hat{w} q dA = 0 \quad (8.61)$$

Kasutades Greeni-Gaussi valemeid (8.57) ja (8.58), integreerime ositi avaldist (8.61)

$$- \oint_{\Gamma} \frac{\partial \hat{w}}{\partial x} M_{xx} n_x d\Gamma + \int_A \frac{\partial^2 \hat{w}}{\partial x^2} M_{xx} dA - \oint_{\Gamma} \frac{\partial \hat{w}}{\partial x} M_{xy} n_y d\Gamma + \\ + \int_A \frac{\partial^2 \hat{w}}{\partial y \partial x} M_{xy} dA - \oint_{\Gamma} \frac{\partial \hat{w}}{\partial y} M_{xy} n_x d\Gamma + \int_A \frac{\partial^2 \hat{w}}{\partial x \partial y} M_{xy} dA - \\ - \oint_{\Gamma} \frac{\partial \hat{w}}{\partial y} M_{yy} n_y d\Gamma + \int_A \frac{\partial^2 \hat{w}}{\partial y^2} M_{yy} dA + \oint_{\Gamma} \hat{w} Q_{nz} d\Gamma + \int_A \hat{w} q dA = 0 \quad (8.62)$$

Saadud avaldises (8.62) rühmitame liikmed järgmiselt:

$$\int_A \left( \frac{\partial^2 \hat{w}}{\partial x^2} M_{xx} + \frac{\partial^2 \hat{w}}{\partial y^2} M_{yy} + 2 \frac{\partial^2 \hat{w}}{\partial y \partial x} M_{xy} \right) dA - \\ - \oint_{\Gamma} \left[ \frac{\partial \hat{w}}{\partial x} (M_{xx} n_x + M_{xy} n_y) + \frac{\partial \hat{w}}{\partial y} (M_{xy} n_x + M_{yy} n_y) \right] d\Gamma + \\ + \oint_{\Gamma} \hat{w} Q_{nz} d\Gamma + \int_A \hat{w} q dA = 0 \quad (8.63)$$

Kasutades momendivektorit  $[\mathbf{M}]$  (8.22) ja diferentseerimisvektorit  $\nabla^*$  (8.27), kirjutame järgmisse avaldise:

$$\left( \nabla^* \right)^T [\mathbf{M}] = \frac{\partial^2 \hat{w}}{\partial x^2} M_{xx} + \frac{\partial^2 \hat{w}}{\partial y^2} M_{yy} + 2 \frac{\partial^2 \hat{w}}{\partial y \partial x} M_{xy} \quad (8.64)$$

Avaldis (8.52) on lahti kirjutatult

$$\frac{d\hat{w}}{dn} M_{nn} + \frac{d\hat{w}}{dm} M_{nm} = \frac{\partial \hat{w}}{\partial x} (M_{xx} n_x + M_{xy} n_y) + \frac{\partial \hat{w}}{\partial y} (M_{xy} n_x + M_{yy} n_y) \quad (8.65)$$

kus ühikvektor  $\mathbf{m}$  on plaadi suvalise serva puutuja sihil.

Kasutades avaldises (8.63) seoseid (8.64) ja (8.65), saame

$$\begin{aligned} \int_A \left( \nabla^* \right)^T [\mathbf{M}] dA &= \oint_\Gamma \left( \frac{d\hat{w}}{dn} M_{nn} + \frac{d\hat{w}}{dm} M_{nm} \right) d\Gamma - \\ &\quad - \oint_\Gamma \hat{w} Q_{nz} d\Gamma - \int_A \hat{w} q dA \end{aligned} \quad (8.66)$$

Kuna ühikvektor  $\mathbf{m}$  on plaadi suvalise serva puutuja sihil, siis võib võtta  $d\Gamma = dm$  ja avaldises (8.66) liikme  $\oint_\Gamma \frac{d\hat{w}}{dm} M_{nm} d\Gamma$  avaldada järgmiselt:

$$\begin{aligned} \oint_\Gamma \frac{d\hat{w}}{dm} M_{nm} d\Gamma &= \oint_\Gamma \frac{d}{dm} (\hat{w} M_{nm}) d\Gamma - \oint_\Gamma \hat{w} \frac{dM_{nm}}{dm} d\Gamma = \\ &= \oint_\Gamma d(\hat{w} M_{nm}) - \oint_\Gamma \hat{w} \frac{dM_{nm}}{dm} d\Gamma = - \oint_\Gamma \hat{w} \frac{dM_{nm}}{dm} d\Gamma \end{aligned} \quad (8.67)$$

Asetame saadud seose (8.67) avaldisse (8.66), saame

$$\begin{aligned} \int_A \left( \nabla^* \right)^T [\mathbf{M}] dA &= \oint_\Gamma \frac{d\hat{w}}{dn} M_{nn} d\Gamma - \oint_\Gamma \hat{w} \left( Q_{nz} + \frac{dM_{nm}}{dm} \right) d\Gamma - \\ &\quad - \int_A \hat{w} q dA \end{aligned} \quad (8.68)$$

Võttes suvalise funktsiooni  $\hat{w}$  võrdseks *virtuaalsiirdega*  $\delta w$  ( $\hat{w} = \delta w$ ), väljendab avaldis (8.68) Kirchhoffi plaaditeoorias *virtuaalsiirete printsipi*. Siin saame ka üldistatud rajajõud  $(Q_{nz} + \frac{dM_{nm}}{dm})$  ja  $M_{nn}$ , mis olid varem välja kirjutatud (8.54).

### 8.2.10 Koondatud nihkejõud plaadi nurkades

Nihkejõud ühikpikkuse kohta on  $\frac{dM_{nm}}{dm}$  plaadi serval, kus võis võtta  $d\Gamma = dm$ . Integreerime selle nihkejõu ümber plaadi (joonis 8.8)

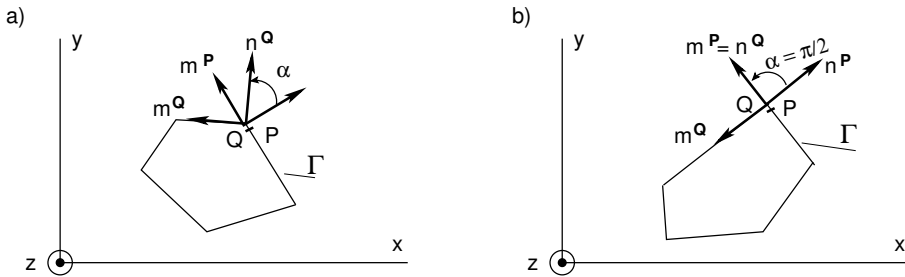
$$\oint_\Gamma \frac{dM_{nm}}{dm} d\Gamma = \oint_\Gamma \frac{dM_{nm}}{dm} dm = \oint_\Gamma dM_{nm} = 0 \quad (8.69)$$

Tasakaalutingimus  $z$ -teljele nõuab

$$\oint_{\Gamma} Q_{nz} d\Gamma = \int_A \hat{w} q dA = 0 \quad (8.70)$$

s.t vertikaalne koormus tasakaalustatakse nihkejõudude  $Q_{nz}$  poolt.

Kui plaadi servades on nurgad (joonis 8.10), siis nurgas  $i$  tekib koondatud nihkejõud  $Q_*^i$ . Plaadi serva punktis  $P$  (joonis 8.10) on normaalisuunaline ühikvektor  $\mathbf{n}^P$  ja puutujasu-



Joonis 8.10. Plaadi nurgad

naline ühikvektor  $\mathbf{m}^P$ . Teisel pool nurka punktis  $Q$  (joonis 8.10) on normaalisuunaline ühikvektor  $\mathbf{n}^Q$  ja puutujasuunaline ühikvektor  $\mathbf{m}^Q$ . Plaadi serva teravat nurka iseloomustatakse normaalide  $\mathbf{n}^P$  ja  $\mathbf{n}^Q$  vahelise nurga  $\alpha$  abil.

Vaatleme plaadi virtuaalsiirete printsibis (8.68) täiendavat põikjõudu teravast nurgast

$$\int_P^Q \frac{dM_{nm}}{dm} d\Gamma = \int_P^Q dM_{nm} = M_{nm}^Q - M_{nm}^P \quad (8.71)$$

Plaadi täpne siirdefunktsioon  $w$  on pidev funktsioon koos oma tuletistega. Kuna punktid  $P$  ja  $Q$  asuvad teineteisele lõpmata lähedal, siis

$$M_{xx}^P = M_{xx}^Q = M_{xx} \quad , \quad M_{yy}^P = M_{yy}^Q = M_{yy} \quad , \quad M_{xy}^P = M_{xy}^Q = M_{xy} \quad (8.72)$$

Arvestades avaldist (8.72) ja (8.38), saame

$$\begin{aligned} M_{nm}^Q &= n_x^Q m_x^Q M_{xx} + n_y^Q m_y^Q M_{yy} + (n_y^Q m_x^Q + n_x^Q m_y^Q) M_{xy} \\ M_{nm}^P &= n_x^P m_x^P M_{xx} + n_y^P m_y^P M_{yy} + (n_y^P m_x^P + n_x^P m_y^P) M_{xy} \end{aligned} \quad (8.73)$$

Asetades saadud avaldised (8.73) avaldisse (8.71), saame

$$\begin{aligned}
 & \int_P^Q \frac{dM_{nm}}{dm} d\Gamma = M_{nm}^Q - M_{nm}^P = Q_* = \\
 & = (n_x^Q m_x^Q - n_x^P m_x^P) M_{xx} + (n_y^Q m_y^Q - n_y^P m_y^P) M_{yy} + \\
 & + (n_y^Q m_x^Q - n_y^P m_x^P + n_x^Q m_y^Q - n_x^P m_y^P) M_{xy}
 \end{aligned} \tag{8.74}$$

### Ristkülikuline plaat

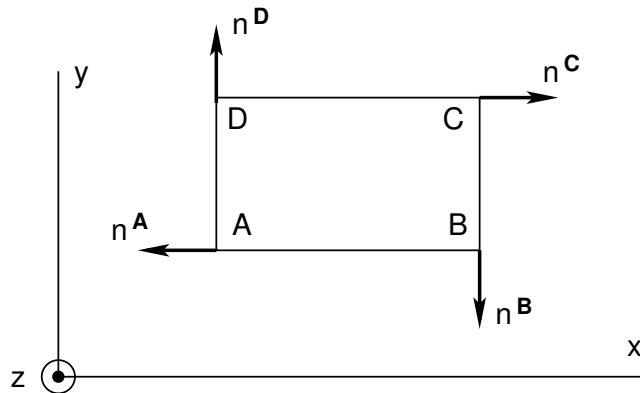
Vaatleme plaati, mille üks servanurk  $\alpha = \frac{\pi}{2}$  (joonis 8.10 b). Ühikvektorid on järgmised:

$$\mathbf{n}^P = \begin{bmatrix} n_x^P \\ n_y^P \end{bmatrix}, \quad \mathbf{m}^P = \mathbf{n}^Q = \begin{bmatrix} -n_y^P \\ n_x^P \end{bmatrix}, \quad \mathbf{m}^Q = \begin{bmatrix} -n_x^P \\ n_y^P \end{bmatrix} \tag{8.75}$$

Avaldisest (8.74) saab

$$Q_* = M_{nm}^Q - M_{nm}^P = 2n_x^P n_y^P (M_{xx} - M_{yy}) + 2 \left[ (n_y^P)^2 - (n_x^P)^2 \right] M_{xy} \tag{8.76}$$

Ristkülikukujulise plaadi (joonis 8.11) nuruga C puhul on  $(\mathbf{n}^P)^T = [1 \ 0]$ , mis annab



Joonis 8.11. Täiendav põikjõud plaadi nurkades

$Q_*^C = -2M_{xy}^C$ . Nii leiame täiendava põikjõu ka teistes nurkades

$$Q_*^A = -2M_{xy}^A, \quad Q_*^B = 2M_{xy}^B, \quad Q_*^C = -2M_{xy}^C, \quad Q_*^D = 2M_{xy}^D \tag{8.77}$$

### 8.3 Plaadi lõplikud elemendid

Plaadi siirded  $w(x, y)$  interpoleerime sõlmpunktide siirete  $\mathbf{d}$  ja kujufunktsioonide  $\mathbf{N}$  abil

$$w(x, y) = [\mathbf{N}] [\mathbf{d}] \quad (8.78)$$

kus

$$[\mathbf{N}] = \begin{bmatrix} N_1 & N_2 & \dots & N_n \end{bmatrix}, \quad [\mathbf{d}] = \begin{bmatrix} d_1 \\ d_2 \\ \vdots \\ d_n \end{bmatrix} \quad (8.79)$$

siin on  $d_n$  siire ja pöörded sõlmpunktis  $\boxed{n}$ .

Diferentseerime siiret  $w(x, y)$  diferentseerimisvektori  $\overset{*}{\nabla}$  abil

$$\left[ \overset{*}{\nabla} \right] w = [\mathbf{B}] [\mathbf{d}], \quad \text{kus} \quad [\mathbf{B}] = \left[ \overset{*}{\nabla} \right] [\mathbf{N}] \quad (8.80)$$

siin

$$[\mathbf{B}] = \begin{bmatrix} \frac{\partial^2 N_1}{\partial x^2} & \frac{\partial^2 N_2}{\partial x^2} & \dots & \frac{\partial^2 N_n}{\partial x^2} \\ \frac{\partial^2 N_1}{\partial y^2} & \frac{\partial^2 N_2}{\partial y^2} & \dots & \frac{\partial^2 N_n}{\partial y^2} \\ 2 \frac{\partial^2 N_1}{\partial x \partial y} & 2 \frac{\partial^2 N_2}{\partial x \partial y} & \dots & 2 \frac{\partial^2 N_n}{\partial x \partial y} \end{bmatrix} \quad (8.81)$$

Avaldises (8.68) interpoleerime suvalise funktsiooni  $\hat{w}$  sõlmpunktide parameetrite  $\hat{\mathbf{d}}$  ja kujufunktsioonide  $\mathbf{N}$  abil

$$\hat{w}(x, y) = [\mathbf{N}] [\hat{\mathbf{d}}] \quad (8.82)$$

Kuna  $\hat{w}$  on suvaline, siis on ka parameetrid  $[\hat{\mathbf{d}}]$  suvalised

$$\left[ \overset{*}{\nabla} \right] \hat{w} = [\mathbf{B}] [\hat{\mathbf{d}}] \quad (8.83)$$

Funktsiooni  $\hat{w}$  tulevis normaali  $n$  järgi

$$\frac{d\hat{w}}{dn} = (\nabla \hat{w})^T [\mathbf{n}] = [\hat{\mathbf{d}}^T] (\nabla \mathbf{N})^T [\mathbf{n}] \quad (8.84)$$

kus

$$\nabla \mathbf{N} = \begin{bmatrix} \frac{\partial N_1}{\partial x} & \frac{\partial N_2}{\partial x} & \dots & \frac{\partial N_n}{\partial x} \\ \frac{\partial N_1}{\partial y} & \frac{\partial N_2}{\partial y} & \dots & \frac{\partial N_n}{\partial y} \end{bmatrix} \quad (8.85)$$

Suvalise kaalufunktsiooni  $\hat{w}$  võib esitada kujul

$$\hat{w} = [\hat{\mathbf{d}}^T] \mathbf{N}^T \quad (8.86)$$

Virtuaalsiirete avaldis (8.68) on nüüd

$$\begin{aligned} [\hat{\mathbf{d}}^T] \left[ \int_A [\mathbf{B}^T] [\mathbf{M}] dA - \oint_{\Gamma} (\nabla \mathbf{N})^T [\mathbf{n}] M_{nn} d\Gamma + \right. \\ \left. + \oint_{\Gamma} \mathbf{N}^T \left( Q_{nz} + \frac{dM_{nm}}{dm} \right) d\Gamma + \int_A \mathbf{N}^T q dA \right] = 0 \end{aligned} \quad (8.87)$$

Kuna  $\hat{\mathbf{d}}^T$  on suvaline, siis jätame ta ära

$$\begin{aligned} \int_A [\mathbf{B}^T] [\mathbf{M}] dA = \oint_{\Gamma} (\nabla \mathbf{N})^T [\mathbf{n}] M_{nn} d\Gamma - \\ - \oint_{\Gamma} \mathbf{N}^T \left( Q_{nz} + \frac{dM_{nm}}{dm} \right) d\Gamma - \int_A \mathbf{N}^T q dA \end{aligned} \quad (8.88)$$

Avaldame  $[\mathbf{M}]$  (vt avaldisi (8.29) ja (8.80))

$$[\mathbf{M}] = - [\tilde{\mathbf{D}}] [\mathbf{B}] [\mathbf{d}] \quad (8.89)$$

Asetame tulemuse avaldisse (8.88)

$$\begin{aligned} \left( \int_A [\mathbf{B}^T] [\tilde{\mathbf{D}}] [\mathbf{B}] dA \right) [\mathbf{d}] = \oint_{\Gamma} \mathbf{N}^T \left( Q_{nz} + \frac{dM_{nm}}{dm} \right) d\Gamma - \\ - \oint_{\Gamma} (\nabla \mathbf{N})^T [\mathbf{n}] M_{nn} d\Gamma + \int_A \mathbf{N}^T q dA \end{aligned} \quad (8.90)$$

ehk lühemalt

$$[\mathbf{K}] [\mathbf{d}] = [\mathbf{f}] \quad , \quad [\mathbf{f}] = [\mathbf{f}_b] + [\mathbf{f}_l] \quad (8.91)$$

kus

$$\begin{aligned}
 [\mathbf{K}] &= \int_A [\mathbf{B}^T] [\tilde{\mathbf{D}}] [\mathbf{B}] dA \\
 [\mathbf{f}_b] &= \oint_{\Gamma} \mathbf{N}^T \left( Q_{nz} + \frac{dM_{nm}}{dm} \right) d\Gamma - \oint_{\Gamma} (\nabla \mathbf{N})^T [\mathbf{n}] M_{nn} d\Gamma \\
 [\mathbf{f}_l] &= \int_A \mathbf{N}^T q dA
 \end{aligned} \tag{8.92}$$

Sõltuvalt plaadi serva kinnitusest (joonis 8.12) on rajatingimused (8.53), (8.54) järgmised:

- jäigalt kinnitatud serv

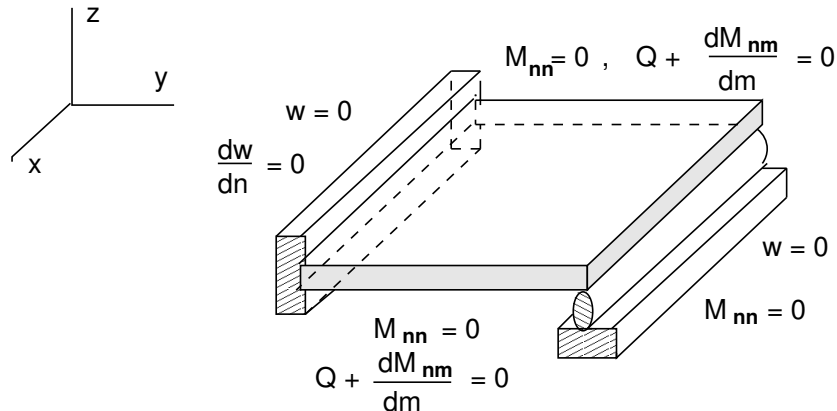
$$w = 0 \quad , \quad \frac{dw}{dn} = 0 \tag{8.93}$$

- vabalt toetatud serv

$$w = 0 \quad , \quad M_{nn} = 0 \tag{8.94}$$

- jõududevaba serv

$$M_{nn} = 0 \quad , \quad Q_{nz} + \frac{dM_{nm}}{dm} = 0 \tag{8.95}$$



Joonis 8.12. Plaadi rajatingimusi

### 8.3.1 Täielikkuse ja kooskõlalisuse nõuded

Plaadi siirde  $w$  lähendasime kujufunktsioonide abil  $\mathbf{N}$  (8.78). Millised peavad olema kujufunktsioonid  $N_i$ ? Millised suurused valida sõlmede parameetriteks  $d_i$ ? Selleks et nendele küsimustele vastata, tutvume täielikkuse ja kooskõlalisuse nõuetega [16]. Lõpmatult väikese plaadi elemendi siiret piirprotsessis iseloomustab jäiga keha siire ja konstantne kõverus. Kõverust kirjeldab kõverusvektor (kõverusmaatriks)  $\mathbf{k}$  (8.18).

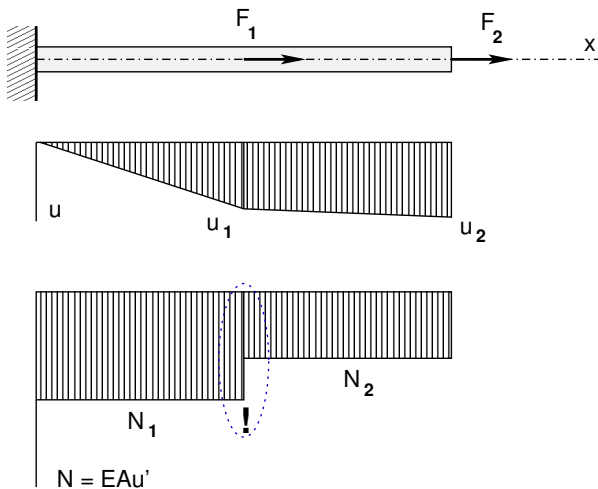
**Täielikkus:**

- siirde  $w$  lähendamine peab sisaldama jäiga keha liikumisi
- siirde  $w$  lähendamine peab võimaldama konstantset kõverust

Jäiga keha liikumine koosneb siirdest  $z$ -telje suunas ja pööretest ümber  $x$ - ja  $y$ -telje. Siit teeme järeltuse, et siirde  $w$  lähendamiseks peab polünoom sisaldama liikmeid  $\alpha_1 + \alpha_2x + \alpha_3y$ . Konstantse kõveruse tingimus nõub, et siirde  $w$  lähendamiseks peab polünoom sisaldama vähemalt järgmisi liikmeid:

$$w = \alpha_1 + \alpha_2x + \alpha_3y + \alpha_4x^2 + \alpha_5xy + \alpha_6y^2 + \text{ja teised liikmed} \quad (8.96)$$

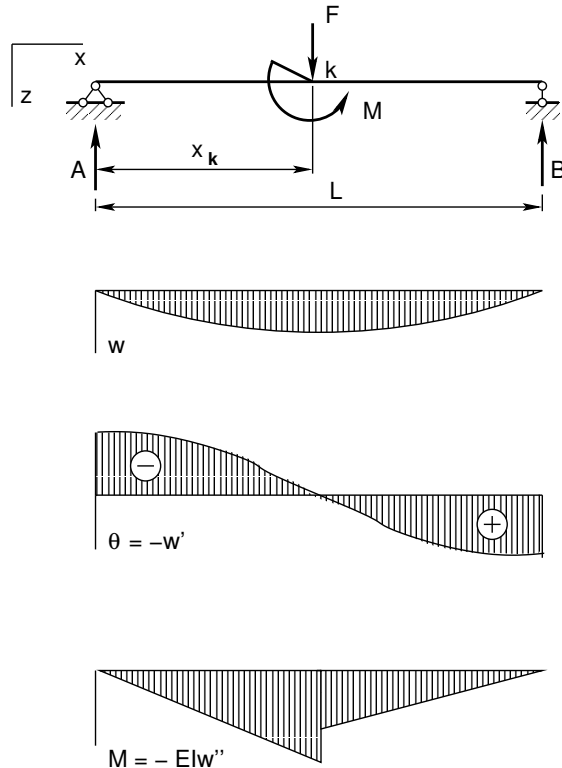
Plaadi kooskõlalisuse nõude juures on vajalik  $C^1$ -pidevus. Järgnevalt selgitame  $C^0$ -pidevuse mõistet. Vaatleme joonist 8.13, kus pikkele töötava varda siirded on tähistatud



Joonis 8.13.  $C^0$ -pidevus

$u$ -ga ja varda sisejõud  $N$ -iga. Varda sisejõud  $N$  avaldub siirde esimese tuletise kaudu  $N = EAu'$ . Funktsioon  $u(x)$  on pidev, kuid tema esimene tuletis on katkev. Siin räägi-takse, et funktsioon on  $C^0$ -pidev.

$C^1$ -pidevuse mõiste selgitamiseks vaatleme joonist 8.14, kus lihttalale mõjud koormus  $F$  ja koondatud moment  $M$ . Momendi epüüris on katkevus, mis on võrdne rakendatud momendiga  $M$ . Tala siire on  $w$  ja tala ristlõike pöördenurk  $\theta$  ( $\theta = -w'$ ) on võrdne siirde tuletisega, kuid vastupidise märgiga. Mõlemad on pidevad funktsioonid. Tala sisejõud

Joonis 8.14.  $C^1$ -pidevus

$M_y$  ( $M_y = -EIw''$ ) on võrdeline siirde  $w$  teise tuletisega, kuid vastupidise märgiga. Funktsioon  $w(x)$  ja tema esimene tuletis  $w''$  on pidev, kuid teine tuletis katkev. Siin räägitakse, et funktsioon on  $C^1$ -pidev.

$C^n$ -pidevus tähendab, et tema esimesed  $n$  tuletist on pidevad.

Plaadi elementidele kehtib  $C^1$ -pidevuse nõue. Siin jõuame kooskõlalisuse nõude juurde.

#### Kooskõlalisuse nõue:

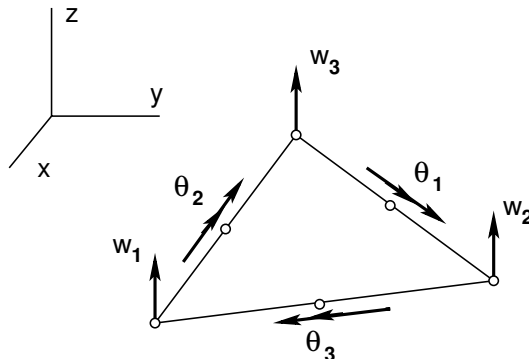
- plaadi siirde  $w$  aproksimatsioon ja kaldenurk üle plaadi serva peavad olema pidevad

Kui täiuslikkuse nõue on täidetud, saab pehmendada kooskõlalisuse nõuet ja koostada *mittekooskõlaline plaadi element*. Lihtsate polünoomidega aproksimeerides ei ole võimalik koostada kooskõlalist plaadi elementi [25]. Enamik kasutatavaid plaadi elemente on mittekooskõlalised.

### 8.3.2 Lihtsad mittekooskõlalised elemendid

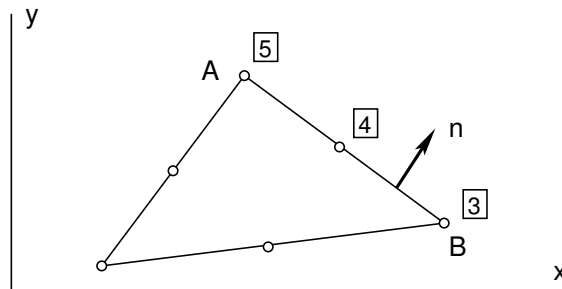
Vaatleme 6 vabadusastmega kolmnurkset plaadi elementi (joonis 8.15). Vaadeldaval elemendil on 3 siiret  $w_i$  nurgapunktides ja kolm pööret  $\theta_i$  plaadi külgedel. Aproksimatsiooniks (lähendamiseks) kasutame järgmist polünoomi:

$$w = \alpha_1 + \alpha_2 x + \alpha_3 y + \alpha_4 x^2 + \alpha_5 xy + \alpha_6 y^2 \quad (8.97)$$



Joonis 8.15. Lihtsaim plaadi element

See on väikseim polünoom, mida kasutatakse plaadi elemendi siirde lähendamiseks. Siirde teised tuletised on konstandid, millega on täidetud konstantse kõveruse nõue. Järgnevalt näitame, et element on mittekooskõlaline. Vaatleme elemendi suvalist külge  $AB$  (joonis 8.16). Siirde  $w$  normaali  $\mathbf{n}$  suunaline tuletis (8.84)



Joonis 8.16. Kolmnurkne 6 vabadusastmiga element

$$\frac{dw}{dn} = (\nabla \hat{w})^T [\mathbf{n}] = (\alpha_2 + 2\alpha_4 x + \alpha_5 y) n_x + (\alpha_3 + \alpha_5 x + 2\alpha_6 y) n_y \quad (8.98)$$

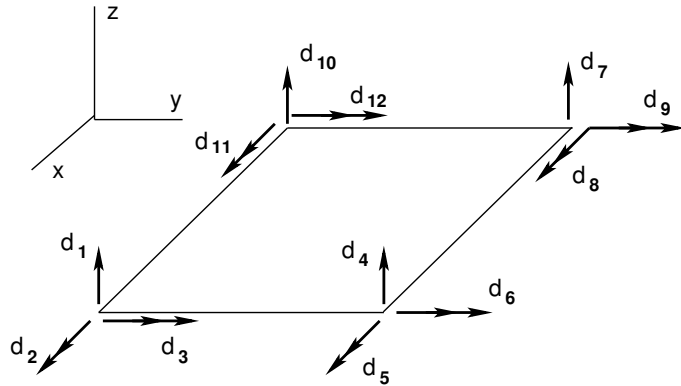
Plaadi serval  $AB$  on joone võrrand  $y = \beta_1 x + \beta_2$ . Võttes selle arvesse, saab avaldis (8.97) järgmiste kuju:

$$w = A_1 + A_2 x + A_3 x^2 \quad (8.99)$$

ning

$$\frac{dw}{dn} = B_1 + B_2 x \quad (8.100)$$

Avaldises (8.99) ja (8.100) on viis konstanti  $A_1, A_2, A_3, B_1, B_2$ . Nende määramiseks on plaadi serval  $AB$  teada kolm suurust  $w_3, w_5$  ja  $\theta_1$ . Seega ei saa neid viit suurust üheselt määräta. Siit teeme järeltuse, et üldiselt on  $w$  ja  $\frac{dw}{dn}$  muutus plaadi serval katkev (mittepidev) ja vaadeldud element mittekooskõlaline.

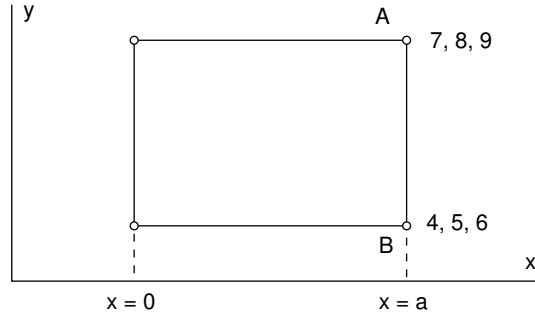


Joonis 8.17. Nelinurkne 12 vabadusastmega element

Nelinurksetest plaadi elementidest lihtsaim on 12 vabadusastmega element (joonis 8.17). Siin on sõlmpunktide  $\boxed{1}$ ,  $\boxed{2}$ ,  $\boxed{3}$ ,  $\boxed{4}$  siirded  $w_i$  tähistatud  $d_1, d_4, d_7, d_{10}$  ja sõlmpunktide pöörded  $\theta_{xi}, \theta_{yi}$  vastavalt  $d_2, d_3, d_5, d_6, d_8, d_9, d_{11}, d_{12}$ . Plaadi siiret lähendame järgmise polünoomiga:

$$w = \alpha_1 + \alpha_2x + \alpha_3y + \alpha_4x^2 + \alpha_5xy + \alpha_6y^2 + \alpha_7x^3 + \alpha_8x^2y + \alpha_9xy^2 + \alpha_{10}y^3 + \alpha_{11}x^3y + \alpha_{12}xy^3 \quad (8.101)$$

Avaldis (8.101) lähendab lineaarset momentide muutust elemendi sees. Vaadeldav element on siiski mittekooskõlaline. Vaatleme plaadi serva  $AB$  (joonis 8.18). Plaadi serval



Joonis 8.18. Nelinurkne mittekooskõlaline element

$AB$ , kus  $x = a$ , saame avaldisest (8.101)

$$w = A_1 + A_2y + A_3y^2 + A_4y^3 \quad (8.102)$$

$$\frac{dw}{dy} = A_2 + 2A_3y + 3A_4y^2 \quad (8.103)$$

kus  $A_1, A_2, A_3, A_4$  on konstandid. Siire  $w$  ja kalle  $\frac{dw}{dy}$  on teada punktides  $A$  ja  $B$ . Siin saame need konstandid üheselt määrata.

Serval  $AB$  ei õnnestu pööret  $\frac{dw}{dx}$  üheselt määräta. Avaldisest (8.101) saame

$$\frac{dw}{dx} = B_1 + B_2y + B_3y^2 + B_4x^3 \quad (8.104)$$

kus konstantide  $B_1, B_2, B_3, B_4$  määramiseks on punktides  $A$  ja  $B$  teada  $\frac{dw}{dx}$  suurus. Nelja suuruse  $B_1, B_2, B_3, B_4$  määramiseks on kaks avaldist. Nii ei ole neid konstante võimalik üheselt määräta. Vaadeldav element on mittekooskõlaline.

Kui Kirchhoffi plaaditeoorias on plaadi elementidele  $C^1$ -pidevuse nõue, siis Mindlini-Reissneri plaaditeoorias on plaadi elementidele  $C^0$ -pidevuse nõue.

# Peatükk 9

## Lõplike elementide tarkvara

### 9.1 Arvutiprogrammide kasutamine

Arvutiprogrammide kasutamine eeldab järgmiste valdkondade [15] tundmist:

- lõplike elementide teooria alused
- inseneriülesannete matemaatiline modelleerimine ja sõnastamine
- numbrilised algoritmid (võrrandisüsteemide lahendamine, omaväärtuste leidmine)
- tarkvara tööriistad (andmebaaside juhtimine, programmeerimiskeeled, struktuur-programmeerimise alused)

### 9.2 Arvutiprogrammide täpsusest

Lõplike elementide komertsprogrammidele esitatavatest nõuetest [14] võib nimetada näiteks inglise NAFEMS-i (*National Agency for Finite Element Methods and Standards*) nõudeid.

Mittekooskõlaliste elementide täpsuse kadumise peamiseks põhjuseks on ergutusmehhanism, mida tuntakse ka *astaku puudujäägina*. See avaldub erilistel koormamise juhtudel või elemendi erilise geomeetria puhul ülemäärase jäikusena, mida nimetatakse ka *lukustuseks*. Lõplike elementide testimisel peab arvestama

- elemendi erinevaid koormusi
- elemendi geomeetriat
- materjali omadusi

Elemendi geomeetriliste häirete allikatest võib nimetada suurt külgede erinevust (joonis ??), elemendi kallet, elemendi teravnemist, elemendi kiivet.



# Lisa A

## Variatsiooniprintsiibid

### A.1 Variatsioon ja selle omadused

Variatsiooniprintsiipides, näiteks virtuaalsiirete printsiibis, potentsiaalse energiaga miinimumi printsiibis jt, tuleb leida *funktsionaali* miinimum või maksimum. Funktsionaalil maksimumi või miinimumi leidmine sarnaneb *funktsiooni* maksimumi ja miinimumi leidmisega, sellepärast vaatleme neid kõrvuti.

#### Funktsioon

1. Muutuvat suurust  $z$  nimetatakse muutuja  $x$  funktsioniks, mida tähistatakse

$$z = f(x)$$

Igale  $x$  väärusele ( $x$  muutumispiirkonnas) vastab väärus  $z$ , s.t igale arvule  $x$  vastab arv  $z$ .

2. Funktsiooni  $f(x)$  argumendi  $\Delta x$  juurdekasvuks nimetatakse vahet

$$\Delta x = x - x_j$$

Kui  $x$  on sõltumatu muutuja, siis

$$dx = \Delta x$$

#### Funktsionaal

1. Muutuvat suurust  $v$  nimetatakse funktsionaaliks, mis sõltub funktsionist  $y(x)$ , mida tähistatakse

$$v = v[y(x)]$$

Igale funktsioonile  $y(x)$  (funktsioonide  $y(x)$  klassist) vastab väärus  $v$ , s.t igale funktsioonile  $y(x)$  vastab arv  $v$ .

2. Funktsionaali  $v[y(x)]$  argumendi (funktsiooni  $f(x)$ ) juurdekasvuks ehk variatsiooniks nimetatakse kahe funktsiooni vahet

$$\delta y = y(x) - y_1(x)$$

3. Funktsiooni  $f(x)$  nimetatakse pidevaks, kui väikesele  $x$  muutusele vastab funktsiooni  $f(x)$  väike muutus.
3. Funktsionaali  $v[y(x)]$  nimetatakse pidevaks, kui väikesele  $y(x)$  muutusele vastab funktsionaali  $v[y(x)]$  väike muutus.

4. Funktsiooni juurdekasv  $\Delta f$

$$\Delta f = f(x + \Delta x) - f(x)$$

5. Funktsiooni  $f(x)$  diferentsiaal on

$$\frac{\partial}{\partial \alpha} f(x + \alpha \Delta x) |_{\alpha=0}$$

6. Kui diferentseeritav funktsioon omab maksimumi või miinimumi punktis  $x = x_0$ , siis selles punktis
6. Kui funktsionaal  $v[(y)]$  on varieeritav ja omab maksimumi või miinimumi funktsiooni  $y = y_0(x)$  puhul, siis

$$df = 0$$

$$\delta v = 0$$

Täpsemaid definitsioone vaata näiteks Elsgoltsi raamatust [8] lk 284.

## A.2 Euleri võrrand

Funktsionaali

$$v[y(x)] = \int_{x_0}^{x_1} F(x, y(x), y'(x)) dx \quad (\text{A.1})$$

ekstreemumi vajalik tingimus on

$$\int_{x_0}^{x_1} \left( F_y - \frac{d}{dx} F_{y'} \right) \delta y dx = 0 \quad (\text{A.2})$$

kus avaldise (A.2) esimene kordaja  $F_y - \frac{d}{dx} F_{y'}$  annab ekstreemumi, teine kordaja  $\delta y$  on suvaline funktsioon, mis rajal muutub nulliks.

Funktsionaali

$$v[z(x, y)] = \int_A F \left( x, y, z, \frac{\partial z}{\partial x}, \frac{\partial z}{\partial y}, \frac{\partial^2 z}{\partial x^2}, \frac{\partial^2 z}{\partial x \partial y}, \frac{\partial^2 z}{\partial y^2}, \right) dx dy \quad (\text{A.3})$$

ekstreemumi annab võrrand

$$F_z - \frac{\partial}{\partial x} \{F_p\} - \frac{\partial}{\partial y} \{F_q\} \frac{\partial^2}{\partial x^2} \{F_r\} + \frac{\partial^2}{\partial x \partial y} \{F_s\} + \frac{\partial^2}{\partial y^2} \{F_t\} = 0 \quad (\text{A.4})$$

kus

$$p = \frac{\partial z}{\partial x}, \quad q = \frac{\partial z}{\partial y}, \quad r = \frac{\partial^2 z}{\partial x^2}, \quad s = \frac{\partial^2 z}{\partial x \partial y}, \quad t = \frac{\partial^2 z}{\partial y^2} \quad (\text{A.5})$$

### Näiteks

funktsioon  $z$ , mis annab funktsionaalile

$$v[z(x, y)] = \int_A \left[ \left( \frac{\partial^2 z}{\partial x^2} \right)^2 + \left( \frac{\partial^2 z}{\partial y^2} \right)^2 + 2 \left( \frac{\partial^2 z}{\partial x \partial y} \right)^2 \right] dx dy \quad (\text{A.6})$$

ekstreemumi, peab rahuldama *biharmonic list* võrrandit

$$\frac{\partial^4 z}{\partial x^4} + 2 \frac{\partial^4 z}{\partial x^2 \partial y^2} + \frac{\partial^4 z}{\partial y^4} = 0 \quad (\text{A.7})$$

mida lühendatult kirjutatakse  $\Delta \Delta z = 0$ .

## A.3 Variatsiooniprintsiibid

### Potentsiaalse energia miinimumi printsipi

Konstruktsiooni potentsiaalne energia  $\Pi(u)$  on võrdne jõudude tööga, kuid vastupidise märgiga. Aktiivne sisejõudude töö  $W_s^{(a)}$  vastupidise märgiga on sisejõudude potentsiaalne energia  $\Pi_s$  ehk teise nimega deformatsioonienergia  $U$

$$\begin{aligned} U &= \Pi_s = -W_s^{(a)} \\ \Pi_v &= -W_v \\ \Pi_r &= -W_r \end{aligned} \quad (\text{A.8})$$

Siin on  $W_v$  ja  $W_r$  välisjõudude ja rajajõudude töö. Kogu potentsiaalne energia  $\Pi(u)$  on võrdne sisejõudude

$$\begin{aligned} \Pi(u) &= U - W_v - W_r = \\ &= \frac{1}{2} \int_{x_a, x_b} \epsilon^T \mathbf{E} \epsilon dx - \int_{x_a, x_b} \mathbf{u}^T \mathbf{q} dA - [\mathbf{r}^T \mathbf{t}]_{x_r} \end{aligned} \quad (\text{A.9})$$

välisjõudude ja rajajõudude potentsiaalse energiate summaga.

*Kõigi lubatavate deformatsiooniolukordade  $\{\hat{\mathbf{u}}, \hat{\epsilon}, \hat{\mathbf{r}}\}$  puhul võtab lineaarne elastne konstruktsioon deformatsiooniolukorra  $\{\mathbf{u}, \epsilon, \mathbf{r}\}$ , mille puhul kogu potentsiaalne energia  $\Pi(u)$  on minimaalne*

$$\min \Pi(u), \quad \delta \Pi(u) = 0 \quad ja \quad \delta^2 \Pi(u) > 0 \quad (\text{A.10})$$

Avaldis (A.9) on toodud varrassiisteemidele. Kolmemõõtmelisel juhul esitame kogu potentsiaali järgmisel kujul:

$$\Pi(u) = \frac{1}{2} \int_V (\mathbf{B}\mathbf{u})^T \mathbf{E}(\mathbf{B}\mathbf{u}) dV - \mathbf{P}(u) \quad (\text{A.11})$$

kus

$$\mathbf{P}(u) = \int_V \mathbf{u}^T \mathbf{p} dV + \int_{\partial V_t} \mathbf{u}^T \hat{\mathbf{t}} dA \quad (\text{A.12})$$

ja kõrvaltingimused

$$\mathbf{u} = \hat{\mathbf{u}} \quad \text{rajal} \quad \partial V_u \quad (\text{A.13})$$

Vaadeldes potentsiaalset energiat kui pingete funksionaali  $\Pi(\sigma)$ , räägime *potentsiaalset täiendenergiast*. Potentsiaalse täiendenergia miinimumi printsip

$$\Pi(\sigma) = \frac{1}{2} \int_V \sigma^T \mathbf{E}^{-1} \sigma dV - \int_{\partial V_u} (\sigma \mathbf{n})^T \hat{\mathbf{u}} dA \quad (\text{A.14})$$

kõrvaltingimusega

$$\begin{aligned} \mathbf{B}^T \sigma + \hat{\mathbf{p}} &= 0 \\ \sigma \mathbf{n} = \hat{\mathbf{T}} &\quad \text{rajal} \quad \partial V_t \end{aligned} \quad (\text{A.15})$$

### Hellingeri-Reissneri printsip

Lülitades funksionaali (A.14) kõrvaltingimused (A.15) kui Lagrange'i kordajad, saame Hellingeri-Reissneri printsibi [17]

$$\Pi(\sigma, u) = -\frac{1}{2} \int_V \sigma^T \mathbf{E}^{-1} \sigma + \sigma^T \mathbf{B} \mathbf{u} dV - \mathbf{P}(u) - \int_{\partial V_u} (\sigma \mathbf{n})^T (\mathbf{u} - \hat{\mathbf{u}}) dA \quad (\text{A.16})$$

mille lahendi jaoks on tingimus

$$\Pi(\tau, u) \leq \Pi(\sigma, u) \leq \Pi(\sigma, v) \quad (\text{A.17})$$

Avaldises (A.16) on kindla  $\mathbf{u}$  puhul  $\sigma$  juures maksimum ja kindla  $\sigma$  puhul on  $\mathbf{u}$  juures miinimum.

### Hu-Washizu printsip

Hu-Washizu printsipi [17]

$$\int_V \left( \frac{1}{2} \epsilon^T \mathbf{E} \epsilon - \sigma^T \epsilon - \sigma^T \mathbf{B} \mathbf{u} \right) dV - W_r - W_v \quad (\text{A.18})$$

### Felippa printsiiip

Felippa [9] üldistas variatsiooniprintsiibid järgmise avaldisega:

$$U = \frac{1}{2} \int_V \left\{ \begin{bmatrix} \epsilon^T & \sigma^T & \mathbf{u}^T \end{bmatrix} \begin{bmatrix} a_{11}\mathbf{E} & a_{12}\mathbf{I} & a_{13}\mathbf{EB} \\ a_{12}\mathbf{I} & a_{22}\mathbf{E}^{-1} & a_{23}\mathbf{B} \\ a_{13}\mathbf{B}^T\mathbf{E} & a_{23}\mathbf{B}^T & a_{33}\mathbf{B}^T\mathbf{EB} \end{bmatrix} \begin{bmatrix} \epsilon \\ \sigma \\ \mathbf{u} \end{bmatrix} \right\} dV \quad (\text{A.19})$$

Selleks et Euleri võrrand annaks korrektsed tulemused, peavad koefitsiendid  $a_{ij}$  rahuldama järgmisi tingimusi:

$$\begin{aligned} a_{11} + a_{12} + a_{13} &= 0 \\ a_{12} + a_{22} + a_{23} &= 0 \\ a_{13} + a_{23} + a_{22} &= 1 \end{aligned} \quad (\text{A.20})$$

Hellingeri-Reissneri printsibi puhul  $a_{22} = -1$ ,  $a_{33} = 1$  ja kõik teised koefitsiendid  $a_{ij} = 0$ .

Hu-Washizu printsibi saame, kui võtame järgmised  $a_{ij}$  väärvtused:

$$a_{11} = 1, \quad a_{12} = -1, \quad a_{23} = 1, \quad a_{13} = a_{22} = a_{33} = 0 \quad (\text{A.21})$$



# Lisa B

## Koorikud

### B.1 Koorikute diferentsiaalvõrrandid

Professor L.Ainola [1] poolt välja toodud koorikute differentsiaalvõrrandid.

Liikumisvõrrandid

$$\begin{aligned} \nabla_\alpha t^{\alpha\beta} - b_\alpha^\beta - h\Theta^{\beta\bullet} + p^p &= 0 \\ \nabla_\alpha k^\alpha + b_{\alpha\beta} t^{\alpha\beta} - h\Lambda^\bullet + p &= 0 \\ \nabla_\alpha m^{\alpha\beta} - q^\beta - k^* b_\alpha^\beta l^\alpha - \frac{h^3}{12} A^{\beta\bullet} + m^\beta &= 0 \end{aligned} \quad (\text{B.1})$$

kus

$$\begin{aligned} t^{\alpha\beta} &= T^{\alpha\beta} \left( \delta_\gamma^\beta + \eta_\gamma^\beta \right) + N^\alpha \nu^\beta + M^{\alpha\gamma} \kappa_\gamma^\beta \\ m^{\alpha\beta} &= M^{\alpha\gamma} \left( \delta_\gamma^\beta + \eta_\gamma^\beta \right) \\ k^\alpha &= N^\alpha + T^{\alpha\beta} \omega_p + M^{\alpha\beta} \mu_\beta \\ k^* l^\alpha &= M^{\alpha\beta} \omega_\beta \\ q^\alpha &= N^\beta \left( \delta_\beta^\alpha + \eta_\beta^\alpha \right) \end{aligned} \quad (\text{B.2})$$

Elastsusseosed

$$\begin{aligned} T^{\alpha\beta} &= h E_1^{\alpha\beta\gamma\delta} \gamma_{\gamma\delta} \\ M^{\alpha\beta} &= \frac{h^3}{12} E_1^{\alpha\beta\gamma\delta} \xi_{\gamma\delta} \\ N^\alpha &= 2h\mu\theta^\alpha, \quad \Theta_\alpha = \varrho\theta_\alpha, \quad \Lambda = \varrho\beta, \quad A_\gamma = \alpha_\gamma \\ E_1^{\alpha\beta\gamma\delta} &= \frac{E}{1-\nu^2} \left( a^{\alpha\gamma} a^{\beta\delta} + \nu c^{\alpha\gamma} c^{\beta\delta} \right) \end{aligned} \quad (\text{B.3})$$

ja kinemaatilised seosed

$$\gamma_{\alpha\beta} = \frac{1}{2} (\eta_{\alpha\beta} + \eta_{\beta\alpha} + \eta_\alpha^\gamma \eta_{\beta\gamma} + \omega_\alpha \omega_\beta)$$

$$\begin{aligned}
\xi_{\alpha\beta} &= \frac{1}{2} (\kappa_{\alpha\beta} + \kappa_{\beta\alpha} + \eta_\alpha^\gamma \kappa_{\beta\gamma} + \eta_\beta^\gamma \kappa_{\alpha\gamma} + \omega_\alpha \mu_\beta + \omega_\beta \mu_\alpha) \\
k\theta_\alpha &= \frac{1}{2} (\omega_\alpha + \iota_\alpha + \eta_\alpha^\beta \iota_\beta) \\
\Theta_\alpha &= v_\alpha^\bullet, \quad \beta = w^\bullet, \quad \alpha_\gamma = \varphi_\gamma^\bullet
\end{aligned} \tag{B.4}$$

kus

$$\begin{aligned}
\eta_{\alpha\beta} &= \nabla_\alpha v_\beta - b_{\alpha\beta}, \quad \kappa_{\alpha\beta} = \nabla_\alpha \varphi_\beta \\
\omega_\alpha &= \nabla_\alpha w + b_{\alpha\beta} v^\beta \\
\mu_\alpha &= b_{\alpha\beta} \varphi^\beta, \quad \iota_\alpha = \varphi_\alpha
\end{aligned} \tag{B.5}$$

Siin on analoogia mittelineaarse elastsusteooriaga.

Esitame võrrandid (B.2) – (B.6) ristkoordinaatides, kus koordinaatjooned ühtuvad peavõverusjoontega.

Olgu  $\alpha, \beta$  – koordinaadid;  $A, B$  – Lame parameetrid;  $R_1, R_2$  – kõverusraadiused, siis

$$\begin{aligned}
a_{11} &= A^2, & a_{22} &= B^2, & a_{12} &= 0 \\
a^{11} &= \frac{1}{A^2}, & a^{22} &= \frac{1}{B^2}, & a^{12} &= 0 \\
b_{11} &= -\frac{A^2}{R_1}, & b_{22} &= -\frac{B^2}{R_1}, & b_{12} &= 0 \\
b^{11} &= -\frac{1}{A^2 R_1}, & b^{22} &= -\frac{1}{B^2 R_2}, & b^{12} &= 0
\end{aligned} \tag{B.6}$$

Kristoffelid

$$\begin{aligned}
\Gamma_{11}^1 &= \frac{1}{A} \frac{\partial A}{\partial \alpha}, & \Gamma_{12}^1 = \Gamma_{21}^1 &= \frac{1}{A} \frac{\partial A}{\partial \beta}, & \Gamma_{22}^1 &= -\frac{B}{A^2} \frac{\partial B}{\partial \alpha} \\
\Gamma_{11}^2 &= \frac{1}{B} \frac{\partial B}{\partial \beta}, & \Gamma_{12}^2 = \Gamma_{21}^2 &= \frac{1}{B} \frac{\partial B}{\partial \alpha}, & \Gamma_{22}^2 &= -\frac{A}{B^2} \frac{\partial A}{\partial \beta}
\end{aligned} \tag{B.7}$$

Füüsikalised vektorite ja tensorite komponendid ( $A_1 = A, A_2 = B$ )

$$\begin{aligned}
U_{(i)} &= \frac{1}{A_i} U_i = A_i U^i \\
K_{(ij)} &= \frac{1}{A_i A_j} K_{ij} = A_i A_j K^{ij}
\end{aligned} \tag{B.8}$$

Kovariantsed tuletised

$$\begin{aligned}
\nabla_j U_i &= \frac{\partial U_i}{\partial \alpha^j} - \Gamma_{ij}^\beta U_\beta \quad (\alpha^1 = \alpha, \quad \alpha^2 = \beta) \\
\nabla_s K^{ij} &= \frac{\partial K^{ij}}{\partial \alpha^s} + \Gamma_{s\beta}^i K^{\beta j} + \Gamma_{s\beta}^j K^{\beta i}
\end{aligned} \tag{B.9}$$

Kasutades avaldisi (B.6) – (B.9), saame võrrandid (B.2) – (B.6) avaldada järgmisel kujul

$$\frac{1}{AB} \left[ \frac{\partial B t_{(11)}}{\partial \alpha} + \frac{\partial A t_{(21)}}{\partial \beta} + \frac{\partial A}{\partial \beta} t_{(12)} - \frac{\partial B}{\partial \alpha} t_{(22)} \right] + \frac{k_{(1)}}{R_1} - h \Theta_{(1)}^\bullet + p_{(1)} = 0$$

$$\begin{aligned}
& \frac{1}{AB} \left[ \frac{\partial B t_{(12)}}{\partial \alpha} + \frac{\partial A t_{(22)}}{\partial \beta} + \frac{\partial A}{\partial \alpha} t_{(21)} - \frac{\partial A}{\partial \beta} t_{(11)} \right] + \frac{k_{(2)}}{R_2} - h \Theta_{(2)}^\bullet + p_{(2)} = 0 \\
& \frac{1}{AB} \left[ \frac{\partial B k_{(1)}}{\partial \alpha} + \frac{\partial A k_{(2)}}{\partial \beta} \right] - \frac{t_{(11)}}{R_1} - \frac{t_{(22)}}{R_2} - h \Lambda^\bullet + p = 0 \\
& \frac{1}{AB} \left[ \frac{\partial B m_{(11)}}{\partial \alpha} + \frac{\partial A m_{(21)}}{\partial \beta} + \frac{\partial A}{\partial \beta} m_{(12)} - \frac{\partial B}{\partial \alpha} m_{(22)} \right] - q_{(1)} - k^* \frac{1}{R_1} l_{(1)} - \\
& \quad - \frac{h^3}{12} A_{(1)}^\bullet + m_{(1)} = 0 \\
& \frac{1}{AB} \left[ \frac{\partial B m_{(12)}}{\partial \alpha} + \frac{\partial A m_{(22)}}{\partial \beta} + \frac{\partial B}{\partial \alpha} m_{(21)} - \frac{\partial A}{\partial \beta} m_{(11)} \right] - q_{(2)} - k^* \frac{1}{R_2} l_{(2)} - \\
& \quad - \frac{h^3}{12} A_{(2)}^\bullet + m_{(2)} = 0
\end{aligned} \tag{B.10}$$

kus

$$\begin{aligned}
t_{(11)} &= T_{(11)} + T_{(11)} \eta_{(11)} + T_{(12)} \eta_{(21)} + N_{(1)} \iota_{(1)} + M_{(11)} \kappa_{(11)} + M_{(12)} \kappa_{(21)} \\
t_{(12)} &= T_{(12)} + T_{(11)} \eta_{(12)} + T_{(12)} \eta_{(22)} + N_{(1)} \iota_{(2)} + M_{(11)} \kappa_{(12)} + M_{(12)} \kappa_{(22)} \\
t_{(21)} &= T_{(21)} + T_{(21)} \eta_{(11)} + T_{(22)} \eta_{(21)} + N_{(2)} \iota_{(1)} + M_{(21)} \kappa_{(11)} + M_{(22)} \kappa_{(21)} \\
t_{(22)} &= T_{(22)} + T_{(22)} \eta_{(11)} + T_{(22)} \eta_{(22)} + N_{(2)} \iota_{(2)} + M_{(21)} \kappa_{(12)} + M_{(22)} \kappa_{(22)}
\end{aligned} \tag{B.11}$$

ja momendi avaldised

$$\begin{aligned}
m_{(11)} &= M_{(11)} + M_{(11)} \eta_{(11)} + M_{(12)} \eta_{(21)} \\
m_{(12)} &= M_{(12)} + M_{(11)} \eta_{(12)} + M_{(12)} \eta_{(22)} \\
m_{(21)} &= M_{(21)} + M_{(21)} \eta_{(11)} + M_{(22)} \eta_{(21)} \\
m_{(22)} &= M_{(22)} + M_{(22)} \eta_{(11)} + M_{(22)} \eta_{(22)}
\end{aligned} \tag{B.12}$$

ning põikjõu avaldised

$$\begin{aligned}
k_{(1)} &= N_{(1)} + T_{(11)} \omega_{(1)} + T_{(12)} \omega_{(2)} + M_{(11)} \mu_{(1)} + M_{(12)} \mu_{(2)} \\
k_{(2)} &= N_{(2)} + T_{(21)} \omega_{(1)} + T_{(22)} \omega_{(2)} + M_{(21)} \mu_{(1)} + M_{(22)} \mu_{(2)} \\
k^* l_{(1)} &= M_{(11)} \omega_{(1)} + M_{(12)} \omega_{(2)} \\
k^* l_{(2)} &= M_{(21)} \omega_{(1)} + M_{(22)} \omega_{(2)}
\end{aligned} \tag{B.13}$$

$$\begin{aligned}
q_{(1)} &= N_{(1)} + N_{(1)} \eta_{(11)} + N_{(2)} \eta_{(21)} \\
q_{(2)} &= N_{(2)} + N_{(1)} \eta_{(12)} + N_{(2)} \eta_{(22)}
\end{aligned} \tag{B.14}$$

Lineaarsed jõu avaldised

$$\begin{aligned}
T_{(11)} &= \frac{Eh}{1-\nu^2} [\gamma_{11} + \nu \gamma_{22}] \\
T_{(22)} &= \frac{Eh}{1-\nu^2} [\gamma_{22} + \nu \gamma_{11}]
\end{aligned} \tag{B.15}$$

$$T_{(12)} = T_{(21)} = \frac{Eh}{1+\nu} \gamma_{12} \tag{B.16}$$

Lineaarsed momendi avaldised

$$\begin{aligned} M_{(11)} &= \frac{Eh^3}{12(1-\nu^2)} [\xi_{11} + \nu\xi_{22}] \\ M_{(22)} &= \frac{Eh^3}{12(1-\nu^2)} [\xi_{22} + \nu\xi_{11}] \\ M_{(12)} &= M_{(21)} = \frac{Eh^3}{12(1+\nu)} \xi_{12} \end{aligned} \quad (\text{B.17})$$

Lineaarsed põikjõu avaldised

$$N_{(1)} = 2h\mu\theta_{(1)}, \quad N_{(2)} = 2h\mu\theta_{(2)} \quad (\text{B.18})$$

Pöörded ja siirded

$$\Theta_{(1)} = \rho\theta_{(1)}, \quad \Theta_{(2)} = \rho\theta_{(2)}, \quad \Lambda = \rho\beta \quad (\text{B.19})$$

ning

$$A_{(1)} = \alpha_{(1)}, \quad A_{(2)} = \alpha_{(2)} \quad (\text{B.20})$$

Mittelineaarsed deformatsioonid

$$\begin{aligned} \gamma_{(11)} &= \eta_{(11)} + \frac{1}{2} (\eta_{(11)}^2 + \eta_{(12)}^2 + \omega_{(1)}^2) \\ \gamma_{(22)} &= \eta_{(22)} + \frac{1}{2} (\eta_{(22)}^2 + \eta_{(21)}^2 + \omega_{(2)}^2) \\ \gamma_{(12)} &= \gamma_{(12)} = \frac{1}{2} (\eta_{(12)} + \eta_{(21)} + \eta_{(11)}\eta_{(21)} + \eta_{(12)}\eta_{(22)} + \omega_{(1)}\omega_{(1)}) \end{aligned} \quad (\text{B.21})$$

$$\begin{aligned} \xi_{(11)} &= \kappa_{(11)} + \omega_{(1)}\mu_{(1)} + \eta_{(11)}\kappa_{(11)} + \eta_{(12)}\kappa_{(12)} \\ \xi_{(22)} &= \kappa_{(22)} + \omega_{(2)}\mu_{(2)} + \eta_{(22)}\kappa_{(22)} + \eta_{(21)}\kappa_{(21)} \\ \xi_{(12)} &= \xi_{(21)} = \frac{1}{2} (\kappa_{(12)} + \kappa_{(21)} + \omega_{(1)}\mu_{(2)} + \omega_{(2)}\mu_{(1)} + \\ &\quad + \eta_{(11)}\kappa_{(21)} + \eta_{(12)}\kappa_{(22)} + \eta_{(11)}\kappa_{(11)} + \eta_{(22)}\kappa_{(12)}) \end{aligned} \quad (\text{B.22})$$

$$\begin{aligned} k\theta_{(1)} &= \frac{1}{2} (\omega_{(1)} + \iota_{(1)} + \eta_{(11)}\iota_{(1)} + \eta_{(12)}\iota_{(2)}) \\ k\theta_{(2)} &= \frac{1}{2} (\omega_{(2)} + \iota_{(2)} + \eta_{(21)}\iota_{(1)} + \eta_{(22)}\iota_{(2)}) \end{aligned} \quad (\text{B.23})$$

$$\theta_{(1)} = v_{(1)}^*, \quad \theta_{(2)} = v_{(2)}^*, \quad \beta = w^*, \quad \alpha_{(1)} = \varphi_{(1)}^*, \quad \alpha_{(1)} = \varphi_{(1)}^* \quad (\text{B.24})$$

Lineaarsed deformatsioonid

$$\begin{aligned}\eta_{(11)} &= \frac{1}{A} \frac{\partial v_{(1)}}{\partial \alpha} + \frac{1}{AB} \frac{\partial A}{\partial \beta} v_{(2)} + \frac{w}{R_1} \\ \eta_{(22)} &= \frac{1}{B} \frac{\partial v_{(2)}}{\partial \beta} + \frac{1}{AB} \frac{\partial B}{\partial \alpha} v_{(1)} + \frac{w}{R_2} \\ \eta_{(12)} &= \frac{1}{A} \frac{\partial v_{(2)}}{\partial \alpha} - \frac{1}{AB} \frac{\partial A}{\partial \beta} v_{(1)} \\ \eta_{(21)} &= \frac{1}{B} \frac{\partial v_{(1)}}{\partial \beta} - \frac{1}{AB} \frac{\partial B}{\partial \alpha} v_{(2)}\end{aligned}\quad (\text{B.25})$$

$$\begin{aligned}\kappa_{(11)} &= \frac{1}{A} \frac{\partial \varphi_{(1)}}{\partial \alpha} + \frac{1}{AB} \frac{\partial A}{\partial \beta} \varphi_{(2)} \\ \kappa_{(22)} &= \frac{1}{B} \frac{\partial \varphi_{(2)}}{\partial \beta} + \frac{1}{AB} \frac{\partial B}{\partial \alpha} \varphi_{(1)} \\ \kappa_{(12)} &= \frac{1}{A} \frac{\partial \varphi_{(2)}}{\partial \alpha} - \frac{1}{AB} \frac{\partial A}{\partial \beta} \varphi_{(1)} \\ \kappa_{(21)} &= \frac{1}{B} \frac{\partial \varphi_{(1)}}{\partial \beta} - \frac{1}{AB} \frac{\partial B}{\partial \alpha} \varphi_{(2)}\end{aligned}\quad (\text{B.26})$$

$$\begin{aligned}\omega_{(1)} &= \frac{1}{A} \frac{\partial w}{\partial \alpha} - \frac{v_{(1)}}{R_1} \\ \omega_{(2)} &= \frac{1}{B} \frac{\partial w}{\partial \beta} - \frac{v_{(2)}}{R_2}\end{aligned}\quad (\text{B.27})$$

$$\mu_{(1)} = -\frac{\varphi_{(1)}}{R_1}, \quad \mu_{(2)} = -\frac{\varphi_{(2)}}{R_2} \quad (\text{B.28})$$

$$\iota_{(1)} = \varphi_{(1)}, \quad \iota_{(2)} = \varphi_{(2)} \quad (\text{B.29})$$

Eespool vaadeldud koorikute võrrandeid on võimalik kirjutada lahti konkreetsete koorikute jaoks (vt. A.Lahe [13]).



# Lisa C

## GNU Üldine Avalik Litsents

### GNU Üldine Avalik Litsents

Versioon number 2, juuni 1991

Autoriõigus (c) 1989, 1991 Free Software Foundation, Inc. 59 Temple Place, Suite 330, Boston, MA 02111-1307 USA

Igaüks võib käesolevast dokumendist valmistada koopiaid ning valmistatud koopiaid levitada tingimusel, et need koopiad vastavad originaaldokumendile sõnasõnalt.

#### EESSÕNA

Enamik tarkvara litsentse on loodud selleks, et võtta Teilt õigus tarkvara jagada ja muuta. Vastukaaluks on GNU Üldine Avalik Litsents mõeldud selleks, et tagada Teile vabadus jagada ja muuta vaba tarkvara - kindlustada, et tarkvara oleks vaba kõigile selle kasutajatele. Käesolev Üldine Avalik Litsents kehtib enamiku Free Software Foundation'i tarkvara ja mistahes programmide kohta, mille autorid lubavad seda litsentsi kasutada. (Mõni Free Software Foundation'i tarkvara on vastavalt kaitsitud GNU Üldise Avaliku Teegilitsentsiga). Ka Teie võite oma programmi suhtes käesoleva litsentsi tingimusi kehtestada.

Rääkides vabast tarkvarast peame silmas vabadust, mitte hinda. Üldised Avalikud Litsentsid on loodud selleks, et tagada Teile järgnevad: õigust levitada koopiaid vabast tarkvarast (soovi korral ka levitamise eest tasu võttes), tarkvara lähtetekstide kättesaadavust, õigust tarkvara muuta ning kasutada tarkvara osi uute vaba tarkvaratoodete loomisel ning kindlustada, et Te olete teadlik eelpoolnimetatud õigustest.

Teie õiguste tagamiseks on vaja rakendada mõningaid piiranguid, et keegi ei saaks Teilt neid õigusi ära võtta või nõuda Teie loobumist neist õigustest. Tarkvara muutmisel või selle koopiate levitamisel kätkevad need piirangud Teie jaoks teatud kohustusi. Näiteks levitudes taolise programmi koopiaid, kas tasuta või levitamise eest tasu võttes, peate Te saajatele andma kõik need õigused, mis on ka Teil endal. Te peate kindlustama, et ka nemad saavad või vöivad soovi korral saada lähteteksti. Et programmi saajad teksid oma õigusi, peate neid teavitama käesoleva Litsentsi tingimustest.

Meie kaitseme Teie õigusi kahestmeliselt:

1. anname tarkvarale autoriõiguse ja
2. pakume Teile käesolevat litsentsi, mis annab Teile seadusliku õiguse kopeerida, levitada ja/või muuta tarkvara.

Samuti tahame nii iga autori kui ka meie endi kaitseks kindlustada, et igaüks mõistab, et vabal tarkvaral pole garantiid. Kui keegi tarkvara muudab ja edasi annab, peavad selle saajad teadma, et nende omanduses pole originaal vältimaks teiste poolt põhjustatud probleemide mõju originaali autori mai-nele.

Lõpuks, iga vaba programmi ähvardab pidevalt tarkvara patenteerimine. Me soovime vältida ohtu, kus vaba programmi levitajad omandavad individuaalse patendi litsentsi, muutes selle enda oman-dioiguse objektiks. Sellise olukorra vältimiseks oleme selgitanud, et iga taoline patent tuleb litsenseerida kõigile vabaks kasutamiseks või üldse mitte litsenseerida.

Järgnevad kopeerimise, levitamise ja muutmise täpsed terminid ning tingimused.

### **Kopeerimise, levitamise ja muutmise terminid ja tingimused.**

**0.** Käesolev litsents kehtib iga programmi või muu teose puhul, mis sisaldab autoriöiguse omangu märget selle kohta, et antud programmi võib levitada vastavalt käesoleva Üldise Avaliku Litsentsi tingimustele. "Programm" on edaspidi ükskõik milline eelnevale tingimusele vastav programm või teos, "Programmil põhinev teos" tähendab kas Programmi või ükskõik millist autorikaitse all olevat programmil põhinevat teost; lahti seletatuna teost, mis sisaldab Programmi või selle osa, kas sõnasõnaliselt või muudetult ja/või tõlgitudna teise keelde. (Siin ja edaspidi on tõlkimine kaasatud piiranguteta termini "muutmine" alla). Iga litsensiaat on edaspidi "Teie".

Litsents ei laiene muudele tegevustele kui kopeerimine, levitamine ja muutmine; need ei ole Litsentsiga kaetud. Programmi töötamise protsessil pole kitsendusi ja Programmi väljund on kaitstud vaid siis, kui selles sisaldub teos, mis põhineb Programmil (sõltumatuna sellest, et see on Programmi tööprotsessi poolt valmistatud). Kas see on töene, sõltub sellest mida Programm teeb.

**1.** Teie võite kopeerida ja levitada sõnasõnalisi koopiaid Programmi lähtetekstist nii, nagu olete selle saanud, igas vormis, eeldusel, et Teie avaldate arusaadavalt ja sobivalt igal koopial vastava autoriöiguse märke ja garantii välistamise märke: hoiata puutumatuna kõik märked, mis viitavad käesolevale Litsentsile ja igasugusele garantii puudumisele ning annate kõigile Programmi saajatele käesoleva Litsentsi koopia Programmiga kaasa. Te võite võtta tasu koopia füüsilise kättetoimetamise akti eest ja võite oma valiku kohaselt pakkuda tasu eest omapoolset garantiikaitsset.

**2.** Teie võite muuta Programmi koopiat või koopiaid või ükskõik millist selle osa, luues nii Programmil põhineva teose ning kopeerida ja levitada selliseid muudatusi või teoseid vastavalt punkti 1 tingimustele, eeldades, et Te täidate kõik järgnevad tingimused:

a) Te peate kaasama muudetud failile silmatorkavad märked, mis teatavad Teie poolt tehtud muudatused failides ja iga muudatuse kuupäeva.

b) Te peate andma kõigile kolmandatele osapooltele selle Litsentsi tingimuste kohaselt Litsentsi tervikuna igasugusele teosele, mida Te levitate või avalikustate, mis tervikuna või osaliselt sisaldb Programmi või põhineb Programmil või selle osal.

c) Kui muudetud Programm loeb normaalset tööprotsessi käigus käske interaktiivselt, peate Te tagama, et tavaliiseks interaktiivseks kasutamiseks käivitamisel kõige tavapärasel viisil kas trükitakse või kuvatakse märge, mis sisaldb vastatavat märget autoriöigusest ja märget garantii puudumise kohta (või märget Teie poolt pakutava garantii kohta) ning et kasutajad võivad Programmi käesolevate tingimuste kohaselt edasi levitada, teatades kasutajale, kuidas näha koopiat käesolevast Litsentsist. (Erand: Kui Programmi ise on interaktiivne, kuid tavapärase kasutamise protsessi käigus ei trüki sellist teadaannet, siis ei pea Teie Programmil põhinev teos vastavat teadaannet trükkima).

Need nõuded kehtivad muudetud teosele kui tervikule. Kui selgelt eristatavad osad teosest ei pöhine Programmil ja neid võib põhjendatult lugeda iseseisvateks ja eraldiiseisvateks teosteks, siis käesoleva Litsents ja selle tingimused ei laiene nimetatud osadele, kui Te levitate neid iseseisvate teostena. Kui Te levitate nimetatud osi kui osa tervikust, milleks on Programmil põhinev teos, siis terviku levitamine peab järgima käesoleva Litsentsi tingimusi, mille teistele litsensiaatidele antud õigused laienevad ülejää nud tervikule, seega igale üksikule osale, olenemata sellest, kes autor oli.

Seega pole käesoleva punkti eesmärk nõuda õigusi või vaidlustada Teie õigusi teosele, mille Te oled tervikuna loonud; pigem on eesmärk kasutada õigust suunata Programmil põhinevate teoste või ühisteoste levitamist.

Lisaks, ainuüksi asjaolu, et teise teose, mis ei pöhine Programmil, Programmiga (või Programmil põhineva teosega) ühtsesse levitamis- või säilitusvormi liitmine ei muuda nimetatud teost Litsentsi alla kuuluvaks.

**3.** Teie võite Programmi (või punkt 2 kohaselt Programmil põhinevat teost) kopeerida ja levitada objektkoodina või käivitataval kujul vastavalt punktide 1 ja 2 kohaselt eeldusel, et Te täidate vähemalt

ühe järgnevatest nõuetest:

- a) Lisate sellele täieliku vastava masinloetava lähteteksti, mida peab levitama vastavalt punktides 1 ja 2 toodud tingimustele, vormis, mida kasutatakse valdavalt tarkvara vahendustegevuses; või
- b) Lisate sellele kirjaliku vormi, kehtivusega vähemalt kolm aastat, millega annad mistahes kolmandatele osapooltele tasu eest, mis ei ületa Teie poolt lähteteksti füüsilisel kujul levitamise hinda, täieliku masinloetava koopia vastavast lähtetekstist, mida levitatakse vastavalt punktides 1 ja 2 toodud tingimustele, vormis, mida kasutatakse valdavalt tarkvara vahendustegevuses; või
- c) Lisate sellele informatsiooni, mille Teie saite ja mis puudutab vastava lähteteksti levitamise pakkumist. (See alternatiiv on lubatud vaid mitteärilisel levitamisel, kui Te oled saanud Programmi koos vastava pakkumisega objektkoodina või käivitatavas vormis vastavalt käesoleva punkti alapunktile b).

Teose lähteteksti all mõeldakse muudatuste tegemiseks eelistatumat teose vormi. Käivitatava teose täielik lähtetekst tähendab kogu lähteteksti tervikuna koos kõigi selles sisalduvate moodulitega, lisades ükskõik millised sellega seotud liidese definitsioonifailid ning skriptid, mida kasutatakse käivitatava teose kompileerimise ja paigaldamise kontrollimiseks. Erandina ei pea levitata lähtetekst sisaldama midagi, mida tavaliselt levitatakse kas lähteteksti või masinkoodi vormis) koos põhiliste operatsioonisüsteemi komponentidega (kompilaator, kernel ja nii edasi), millel käivitatava töö protsess toimub, välja arvatud kui nimetatud komponent ise lisandub käivitatavale.

Kui käivitatava vormi või objektkoodi levitamine toimub ligipääsu pakkumisega määratud kohas, siis ligipääsu pakkumine lähteteksti kopeerimiseks samast kohast loetakse võrdseks lähteteksti levitamisega, kuigi kolmandad osapooled pole kohustatud kopeerima lähteteksti koos objektkoodiga.

**4.** Te ei tohi kopeerida, muuta, edasi litsenseerida või levitada Programmi välja arvatud juhul, kui seda lubab käesolev Litsents. Igasugune muu katse kopeerida, muuta, sublitsenseerida või levitada Programmi on õigustühine ja peatab automaatselt Teile käesoleva Litsentsiga antud õigused. Siiski, osapoolte, kes on saanud Teilt koopiad või õigused käesoleva Litsentsi alusel, litsentsid ei kaota kehtivust nii kaua, kuni taolised osapooled täidavad täielikult kehtestatud tingimusi.

**5.** Teilt ei nõuta Litsentsi aktsepteerimist, kuna Te pole sellele alla kirjutanud. Kuid miski muu peale käesoleva Litsentsi ei anna Teile õigust muuta või levitada Programmi või Programmil põhinevat teost. Need tegevused on seadusega keelatud, kui Te ei aktsepteeri käesoleva Litsentsi tingimusi. Selles tulenevalt Programmi (või igasugust Programmil põhinevat teost) muutes või levidades annate Teie märku nõustumisest Litsentsi terminite ja tingimustega Programmi või Programmil põhineva teose kopeerimisel, levitamisel või muutmisel.

**6.** Iga kord kui Te levitate Programmi (või ükskõik millist Programmil põhinevat teost), saab saaja automaatselt originaallitsensiaarilt litsentsi kopeerida, levitada ja muuta Programmi vastavalt käesoleva Litsentsi terminitele ja tingimustele. Teie ei või kehtestada lisapiiranguid vastuvõtjale antud õiguste kasutamisele. Teie ei vastuta käesoleva Litsentsi täitmise eest kolmandate osapoolte poolt.

**7.** Kui kohtulahendi või väidetava patendiõiguse rikkumise tagajärvel või mõnel muul põhjusel (mis ei piirdu patendiga seotud küsimustega) on Teile pandud kohustusi, mis on vastuolus käesoleva Litsentsi tingimustega, siis ei vabasta need Teid käesoleva Litsentsi tingimuste täitmisest. Kui Te ei suuda levitada, samaaegselt täites käesoleva Litsentsi tingimusi ja teisi kohustusi, siis ei tohi Te Programmi üldse levitada. Näiteks kui patendilitsents ei luba Teil litsentsitasuta Programmi edasi levitada neile, kes on saanud Teilt või Teie kaudu Programmi koopia, siis ainus võimalus täita nimetatud patendilitsentsi ja käesoleva Litsentsi tingimusi on loobuda Programmi levitamisest.

Kui käesoleva punkti mõni osa osutub mingil asjaolul kehtetuks või mitterakendatavaks, siis käesoleva punkti ülejäänud osa loetakse rakendatavaks ja punkt tervikuna loetakse rakendatavaks ülejäänud tingimustel.

Käesoleva punkti eesmärk ei ole kellegi ajendamine patendi- või muude õiguste rikkumiseks või nende kehtivuse vaidlustamiseks; käesoleva punkti ainus eesmärk on vaba tarkvara levitamise süsteemi terviklikkuse kaitsmine, mida kasutavad avalike litsentside kasutajad. Paljud isikud on andnud suure panuse tarkvara laiale sektorile, mida levitatakse läbi nimetatud süsteemi usaldades järjekindlat süsteemi rakendumist; autor/annetaja on otsustaja, kas ta soovib tarkvara levitada mõne teise süsteemi kaudu ja litsensiaat ei saa seda valikut mõjutada.

Selle punkti eesmärk on täpselt selgitada, mida soovitakse käesoleva Litsentsi ülejäänu osaga saavutada.

**8.** Kui Programmi levitamist ja/või kasutamist piiratakse mõnedes riikides kas patentide või autoriõigusega, võib autoriõiguse omanik, kes on Programmi litsenseerinud, lisada kindla geograafilise piirangu, jätkes nimekirjast välja mainitud riigid, et levitamine oleks lubatud vaid nimekirjas toodud riikides või riikide vahel. Nimetatud juhul Litsents liitub piiranguga, nagu see on ära toodud käesoleva Litsentsi põhiosas.

**9.** Free Software Foundation võib aegajalt välja anda ümbertöötatud ja/või uusi versioone Üldisest Avalikust Litsentsist. Need uued versioonid on käesoleva Litsentsi versiooniga sarnase sisuga, kuid võivad erineda detailides, osundades uusi probleeme või huviobjekte.

Igale versioonile antakse unikaalne versiooninumber. Kui programmis tuuakse ära selle kohta kehtiva käesoleva litsentsi versiooninumber ja lisatakse märge "kõik hilisemad versioonid", siis on teil võimalik valida, kas järgida selle või ükskõik millise hilisema Free Software Foundation'i poolt avaldatava versiooni tingimusi. Kui Programm ei täpsusta käesoleva litsentsi versiooninumbrit, on Teil võimalus valida ükskõik milline Free Software Foundation'i poolt avaldatud käesoleva Litsentsi versioon.

**10.** Kui Te soovite Programmi osi liita teiste vabade programmidega, mille levitamise tingimused on erinevad, siis kirjutage loa saamiseks autorile. Tarkvara puhul, mis on autoriõigusega kaitstud Free Software Foundation'i poolt, kontakteeruge Free Software Foundation'iga, mõnikord me teeme erandeid. Meie otsuse määradav kaks eesmärki: säilitada vaba staatus meie vaba tarkvara igasugustele derivaatidele ja edendada tarkvara jagamist ning taaskasutamist üldiselt.

## GARANTII PUUDUMINE

**11.** KUNA PROGRAMM ON LITSENSEERITUD TASUTA, PUUDUB PROGRAMMIL IGA-SUGUNE GARANTII ULATUSENI, MIDA LUBAB RAKENDATAV SEADUS. KUI KIRJALIKULT POLE TEISITI SÄTESTATUD, SIIS AUTORIÕIGUSE OMANIKUD JA/VÕI MUUD OSAPOOLED PAKUVAD PROGRAMMI "NII, NAGU TA ON" ILMA IGASUGUSE VÄLJENDATUD VÕI OLETATAVA GARANTIITA, KAASA ARVATUD, KUID MITTEAINULT, KESKMISE/TAVALISE KVALITEEDI JA MINGILE KINDLALE EESMÄRGILE SOBIVUSE GARANTIITA. KOGU PROGRAMMI KVALITEEDI JA TOIMIMISE RISK LANGEB TEILE. KUI PROGRAMM ON PUUDULIK, KANNATE TEIE KÕIK TEENINDUSE, PARANDUSE VÕI TAASTAMISE KULUD.

**12.** MITTE MINGIL JUHUL, VÄLJA ARVATUD SIIS, KUI SEDA NÕUAB RAKENDATAV SEADUS VÕI KIRJALIKULT ON TEISITI KOKKU LEPITUD, POLE ÜKSKI AUTORIÕIGUSE OMANIK VÕI KOLMAS OSAPPOOL, KES VÕIB MUUTA JA/VÕI LEVITADA PROGRAMMI VASTAVALT ÜLALPOOL TOODUD TINGIMUSTELE, TEIE EES VASTUTAV KAHJUSTUSTE EEST, KAASA ARVATUD IGASUGUSED ÜLDISED, SPETSIIFILISED, JUHSLIKUD VÕI TAGAJÄRJEL TEKKINUD KAHJUD, MIS TULENEVAD KAS PROGRAMMI KASUTAMISEST VÕI VÕIMATUSEST PROGRAMMI KASUTADA (KAASA ARVATUD, KUID MITTEAINULT, TEIE VÕI KOLMANDATE OSAPOOTLE ANDMETE KADUMINE VÕI ANDMETE MUUTMINE VÕI PROGRAMMI VÕIMETUS TÖÖTADA KOOS MISTAHES TEISTE PROGRAMMIDEGA), ISEGIGI SIIS, KUI VALDAJAT VÕI MUUD OSAPOOLT ON TEAVITATUD SELLISTE KAHJUDE VÕIMALIKKUSEST.

Terminite ja tingimuste lõpp.

## Kuidas rakendada oma uutele programmidele neid termineid ja tingimusi?

Kui Te loote uue programmi ja soovite, et sellest oleks võimalikult laiale üldusele kasu, on parim võimalus selleks muuta oma tarkvara vabaks, mida igaüks saaks edasi levitada ja muuta vastavalt käesolevatele tingimustele.

Et seda teha, lisage oma programmile järgnevad märkused. Kindlaim on lisada need märkded iga lähtefaili algusse, et võimalikult efektiivselt teatada garantii puudumisest: igal failil peaks olema vähemalt üks "autoriõiguse" rida ja viide kohale, kust võib leida tervikliku märkuse.

Üks rida, mis sisaldb programmi nime ja otstarbe lühikirjeldust.

Copyright (C) YYYY autori nimi

Käesolev programm on vaba tarkvara. Te võite seda edasi levitada ja/või muuta vastavalt GNU Üldise Avaliku Litsentsi tingimustele, nagu need on Vaba Tarkvara Fondi poolt avaldatud; kas Litsentsi versioon number 2 või (vastavalt Teie valikule) ükskõik milline hilisem versioon.

Seda programmi levitatakse lootuses, et see on kasulik, kuid ILMA IGASUGUSE GARANTIITA; isegi KESKMISE/TAVALISE KVALITEEDI GARANTIITA või SOBIVUSELE TEATUD KINDLAKS EESMÄRGIKS. Üksikasjade suhtes vaata GNU Üldist Avalikku Litsentsi.

Te peaks olema saanud GNU Üldise Avaliku Litsentsi koopia koos selle programmiga, kui ei, siis kontakteeruge Free Software Foundation'iga, 59 Temple Place - Suite 330, Boston, MA 02111-1307, USA

Samuti lisa informatsioon, kuidas Teiega kontakteeruda kas posti või meili teel.

Kui programm on interaktiivne, siis lisage väljundisse käivitamisel kuvatav märkus:

**Gnomovision versioon 69, Copyright (C) aastaarv, autori nimi**

**Gnomovision on ILMA IGASUGUSE GARANTIITA; detailidega tutvumiseks trüki "show w". See on vaba tarkvara ja sa oled teretulnud seda edasi levitama teatud kindlate tingimuste alusel; detailidega tutvumiseks trüki "show c".**

Hüpoteetilised käsud "show w" ja "show c" peaksid olema vastavad osad GNU Üldisest Avalikust Litsentsist. Muidugi võivad Teie poolt kasutatavad käsud olla teise nimetusega kui "show w" või "show c"; need võivad olla isegi hiireklõpsud või menüü osad - ükskõik, mis sobib Teie programmiga.

Kui Te töötate programmeerijana, peaksite Te laskma oma tööandjal või koolil alla kirjutada autoriõiguslike pretensioonide loobumise kohta käivale dokumendile. Siin on näidis, muutke ise nimed:

**Yoyodyne, Inc., loobub kõigist autoriõigustest programmile Gnomovision, mille on kirjutanud James Hacker.**

See Üldine Avalik Litsents ei anna õigust liita Teie programmi omandiõiguslike programmidega. Kui Teie programm on alamfunktsioonide teek, on Teil kasulikum lubada linkimist teegiga. Kui Te tahate seda teha, siis kasutage GNU Üldist Avalikku Teegilitsentsi käesoleva Litsentsi asemel.

GNU Üldine Avalik Litsents on leheküljelt

<http://wiki.linux.ee/phpwiki/GNU>

<http://linux.ee/materjalid/gpl/>

<http://hasso.linux.ee/linux/lgpl.php>

<http://hasso.linux.ee/linux/gpl.php>

GNU Üldine Avalik Litsentsi kohta saab lugeda

- Vaba tarkvara:

<http://kuutorvaja.eenet.ee/tutvustus/gnulinux.html>

- K. Kikkas. Intelektuaalomand ja ITK:  
<http://www.kakupesa.pri.ee:8080/akadeemia/arhiiv/VR1/loengud/loeng5>
- T. Dovnar. Tarkvara patendid Ameerikas, Euroopas ja Eestis (Diplomitöö):  
<http://www.juura.ee/txt/tarkvarapatendid.pdf>
- <http://www.dsl.org/>
- <http://www.gnu.ai.mit.edu/philosophy/philosophy.html>
- <http://www.gnu.org/philosophy/license-list.html#SoftwareLicenses>
- <http://www.dsl.org/copyleft/non-software-copyright.shtml#what>
- <http://www.dsl.org/copyleft/non-software-copyright.shtml>
- <http://www.dsl.org/copyleft/>
- <http://opencontent.org/opl.shtml>

# Kirjandus

- [1] L. J. Ainola. *Variatsionnõe metodõ dlja nelineinõh uravnenii dvizhenia obolotsek*, Prikladnaja matematika i mehaanika, T.32, No. 4, 1968, lk. 154-158  
vene keeles:  
Л. Я. Айнола., *Вариационные методы для нелинейных уравнений движения оболочек*, Прикл. матем. и мех., Том. 32, №.4, 1968, с.154-158 **B.1**
- [2] U. Andelfinger. Untersuchungen zur Zuverlässigkeit hybrid - gemischter Finiter Elemente für Flächentragwerke. Bericht 13, Institut für Baustatik der Universität Stuttgart, Stuttgart, 12. Juli 1991.
- [3] J. H. Argiris. Energy theorems and structural analysis, a. Part I General theory. *Aircraft Engineering*, 26:347 – 356, Oct 1954. **1.1**
- [4] F. J. Bathe. *Finite Element Procedures in Engineering Analysis*. Prentice - Hall, Inc., 1982. **1.1**
- [5] E. B. Becer, G. F. Carey and J.T. Oden. *Finite Elements. An Introduction*. Prentice - Hall Inc., 1981. **1.1**
- [6] R. Courant and D. Hilbert. *Methods of Mathematical Physics*. Interscience, New York, 1953. **8.2.8**
- [7] R. Eek ja L. Poverus. *Ehitusmehaanika II*. Valgus, Tallinn, 1967. **8.1.1**
- [8] L. E. Elsgolts. *Differentsialnõe uravnenija i variatsionnoe istšislenie*. Nauka, Moskva, 1969. **9.2**
- [9] C. A. Felippa and C. Militello. Developments in variational methods for high performance plate and shell elements. In A. K. Noor et al., editor, *Analitical and Computational Models of Shell*. ASME Special Publication, 1989. **A.3**
- [10] R. H. Gallagher. *Finite Element Analysis. Fundamentals*. Prentice-Hall Inc., 1975. **1.1**
- [11] T. J. R. Huges. *Finite Element Method. Linear Static and Dynamic Finite Element Analysis*. Prentice - Hall Inc., 1987. **1.1**

- [12] W. B. Krätsig. Statik der Tragwerke 4. (4.a Grundlagen; Stabtragwerke). Ruhr - Universität Bochum, Fakultät für Bauingenieurwesen, Bochum, 1991. **3.6.1**
- [13] A. J. Lahe. *Nonlinear and Linear Theories of axially symmetric Deformation of thin elastic Shells of revolution*, in: ed. U.K. Nigul, *Echo Signals from elastic Objects*, Joint Publications Research Service, Arlington Virginia, 1975, lk. 208-226 vene keeles:  
**А. Я. Лахе., Нелинейная и линейная теории осесимметричной деформации тонких упругих оболочек вращения, в Сб: Эхо-сигналы от упругих объектов, под ред. У.К. Нигула, Академия наук Эстонской ССР, Таллинн, 1974, с.273-295 B.1**
- [14] R. H. MacNeal and R. L. Harder. A proposed standard set of problems to test finite element accuracy. *Finite Element in Analysis and Design*, 1:3 – 20, 1985. **9.2**
- [MR95] J. Metsaveer, U. Raukas. *Varda deformatsioonid ja siirded*. Tallinn: Tallinna Tehnikaülikool, Mehaanikainstituut, 1995. **1.1, 3.6.1**
- [MR96] J. Metsaveer, U. Raukas. *Varda sisejõud ja pinged*. Tallinn: Tallinna Tehnikaülikool, Mehaanikainstituut, 1996. **3.3, 3.6.1**
- [15] A. K. Noor. Survey of some finite - element software systems. In H. Kardestuncer, editor, *Finite Element Handbook*, pages 4.259 – 4.310. McGraw -Hill Book Co, New York, Hamburg, London, Paris, Tokyo, 1987. **9.1**
- [16] N.Š. Ottosen and H. Petersson. *Introduction to the Finite Element Method*. Lund University, Division of Structural Mechanics, Lund, second edition, 1991. **1.1, 1.1, 8.2.5, 8.3.1**
- [17] L. A. Rozin. *Variatsionnõe postanovki zadatš dlja uprugih sistem*. Izdatelstvo Leningradskogo Universiteta, Leningrad, 1978.  
Vene keeles:  
**Розин Л.А. Вариационные постановки задач для упругих систем. Издательство Ленинградского Университета, Ленинград, 1978, 224 с. А.3, А.3**
- [18] J. C. Simo and M.Š. Rifai. A class of mixed assumed strain methods and the method of incompatible modes. *Int. J. Numer. Meth. in Engrg.*, 29:1595 –1638, 1990.
- [19] R. L. Taylor, O. C. Zienkiewicz and A. C. H. Chan. The patch test – a condition for assessing FEM convergence. *Int. J. Numer. Meth. in Engrg.*, 22:39 – 62, 1986.
- [20] E. Tonti. A mathematical model for physical theories. *Atti. Accad. naz. Lincei.*, 52(2):175 – 181, 1972. **1.1**
- [21] E. Tonti. A mathematical model for physical theories. *Atti. Accad. naz. Lincei.*, 52(3):350 – 356, 1972. **1.1**

- [22] E. Tonti. On the mathematical structure of large class of physical theories. *Atti. Accad. naz. Lincei.*, 52(1):48 – 56, 1972. **1.1**
- [23] K. F. Tsernõh. *Lineinaja teoria obolotsek II*, Izdatelstvo Leningradskogo Universiteta, Leningrad, 1964, 396 lk.  
vene keeles:  
К. Ф. Церных., *Линейная теория оболочек II*, Издательство Ленинградского Университета, Ленинград, 1964, 396 с.
- [24] E. L. Wilson, R. L. Taylor, W. P. Doherty and J. Ghagoussi. Incompatible displacement models. In S. T. Fenves et al., editor, *Numerical and Computational Methods in Structural Mechanics*, pages 47 – 57. Academic Press, 1973.
- [25] O. C. Zienkiewicz *The Finite Element Method*. McGraw - Hill Book Co., Ltd., 1977. **1.1, 8.3.1**
- [26] O. C. Zienkiewicz, S. Qu, R. L. Taylor and S. Nakazawa. The patch test for mixed formulations. *Int. J. Numer. Meth. in Engrg.*, 23:1873 – 1883, 1986. **1.1**
- [27] O. C. Zienkiewicz, R. L. Taylor and J. M. Too. Reduced integration technique in general analysis of plates and shells. *Int. J. Numer. Meth. in Engrg.*, 3:275 – 290, 1971.

# Aineregister

- ühikvektorite kolmikud, 32
- ühtlane lähendamine, 18
- ülekandevõrrandid, 43, 44
  - ahelpinged, 115
  - aktiivtöö, 26
  - alammaatriks, 39
  - anisotroopne materjal, 97
  - aproksimatsiooniviga, 67
  - arvutusmehaanika, 11
  - astaku puudujääk, 141
  - astmekeskmin lähendamine, 19
  - biharmooniline võrrand, 123, 145
  - Cholesky lahutus, 97
  - deformatsiooni pidevuse tingimus, 93
  - deformatsioonenergia, 14, 98, 103
  - diferentseerimise vektor, 123
  - differentsiaalvõrrandi lahendi hälve, 20
  - elastsuskonstantide maatriks, 106
  - elastsusmaatriks, 97
  - element
    - 12 vabadusastmega, 139
    - geomeetrilised häired, 141
    - isoparametrikiline, 86
    - kümne sõlmega, 62
    - kaheksa sõlmega, 63
    - kuue sõlmega, 62
    - mittekooskõlaline, 138
    - subparametrikiline, 86
    - superparametrikiline, 86
  - energiateoreem, 12
  - esimene märgikokkulepe, 81
  - Euleri võrrand, 144
- fenomenoloogiline, 13
- fenomenoloogiline mudel, 12
- funktsionaal, 143
- funktsioon, 143
- funktsioonide lähendamine, 17
- funktsioonide skalaarkorrutis, 12
- Gaussi valem, 67
- Gaussi-Radau skeem, 74
- Greeni-Gaussi valemid, 128, 129
- hälve
  - differentsiaalvõrrandi lahendi hälve, 20
  - kinemaatiliste rajatingimuste hälve, 20
  - staatiliste rajatingimuste hälve, 20
- hõre maatriks, 41
- Heaviside'i funktsioon, 43
- Hermite'i interpolatsioon, 81
- Hermite'i interpolatsioonifunktsioon, 53
- Hermite'i interpolatsioonipoliünoom, 52, 60
- Hermite'i poliünoom, 68
- I märgikokkulepe, 34
- II märgikokkulepe, 34
- indekstabelid, 25, 38
- indextabelid, 25
- integreerimis
  - kaal, 67, 78
  - kordaja, 67
  - punkt, 67
  - sõlm, 67
  - sõlme koordinaadid, 78
- integreerimissõlm, 54
- interpolatsioonisõlm, 64
- isoparametrikiline element, 86
- isotroopne materjal, 97
- jäävusseadused, 126

- jäik plaat, 115
- jäikusmaatriks, 24, 110
  - konstruktsiooni jäikusmaatriks, 25, 29
  - vedru, 24
- Jacobi polünoom, 68
- jakobiaan, 77
- kümne sõlmega element, 62
- kõlblikud rajatingimused, 126
- kaalufunktsioon, 19, 20, 67, 68
- kaalutud lähendamine, 19
- kaheksa sõlmpunktiga element, 63
- keskmise lähendamine, 19
- kinemaatilised rajatingimused, 16, 126
- kinemaatiliste rajatingimuste hälve, 20
- Kirchhoffi teooria, 116, 123
- kohalikud koordinaadid, 31
- kolmnurga pindalakoordinaadid, 61, 72, 73
- konstruktsiooni jäikusmaatriks, 25, 29
- koordinaatide teisendus, 32
- kooskõlalisuse nõue, 136
- kujufunktsioon, 49, 55, 56, 58, 63, 110
- kuue sõlmega element, 62
- L-koordinaadid, 72
- lähendamine
  - ühtlane lähendamine, 18
  - astmekeskmine lähendamine, 19
  - kaalutud lähendamine, 19
  - keskmise lähendamine, 19
  - ruutkeskmise lähendamine, 19
- lähendfunktsioon
  - üldistatud polünoom, 18
  - algebraaline, 18
  - trigonomeetriline, 18
- lähteformuleering, 20
- lõige, 43
- Laguerre'i polünoom, 68
- Legendre'i polünoom, 68, 69
- Legendre'i polünoomi sõlmed, 70
- loomulikud rajatingimused, 16
- lukustus, 141
- märgikokkulepe, 34
- I märgikokkulepe, 34
- II märgikokkulepe, 34
- maatriks
  - alammaatriks, 39
  - elastsuskonstantide, 106
  - elastsusmaatriks, 97
  - hõre maatriks, 41
  - jäikusmaatriks, 110
  - maatrikskorrutis, 36
  - ortogonaalne, 35
  - ortogonaalne maatriks, 34
  - pingemaatriks, 106
- mahujõudude töö, 103
- materjal
  - anisotroopne, 97
  - isotroopne, 97
  - ortotroopne, 97
- membraan, 116
- Mindlini-Reissneri teooria, 127, 140
- mittekooskõlaline element, 138
- mudel, 12
- nõrgad lahendid, 126
- nõrkformuleering, 20
- NAFEMS nõuded, 141
- Newtoni-Cotes'i valem, 67
- nihkedeformatsioon, 121
- olekuvõrandid, 12
- olulised rajatingimused, 16
- ortogonaalne polünoom, 68
- ortotroopne materjal, 97
- ositi integreerimise valem, 15
- pöördformuleering, 20
- paiduv plaat, 116
- paine, 43
- parema käe kolmikud, 32
- Pascali kolmnurk, 54
- passiivtöö, 26
- pidevus
  - $C^1$ -pidevus, 137
  - $C^n$ -pidevus, 137
- pike, 43
- pingemaatriks, 106
- pingevektor, 95

plaadi keskpind, 115  
 plaat  
     jäik, 115  
     keskpind, 115  
     lukustus, 141  
     painduv, 116  
     rajatingimused, 135  
     sisejõud, 117  
 polünoom  
     Hermite'i, 68  
     Jacobi, 68  
     Laguerre'i, 68  
     Legendre'i, 68, 69  
     sõlmed, 68  
     Tšebõšovi, 68  
 polünoomi kordaja, 49  
 polünoomi sõlmed, 48, 68  
 potentsiaalne energia, 14  
 prinkus, 43  
     lõikeprinkus, 43  
     paineprinkus, 43  
     pikkeprinkus, 43  
 rajajõudude töö, 12, 26, 104  
 rajajõudude võimalik töö, 16, 81  
 rajatingimused, 14  
     kinemaatilised, 126  
     staatilised, 126  
 rajatingmused  
     kinemaatilised, 16  
     loomulikud, 16  
     olulised, 16  
     staatilised, 16  
 ristlõike jäikus, 43  
     lõikejäikus, 43  
     painejäikus, 43  
     piknejäikus, 43  
     väändejäikus, 43  
 Rodriguesi valem, 68  
 Rombergi valem, 67  
 ruumalakoordinaadid, 64, 74  
 ruutkeskmine lähendamine, 19  
 süsteemi topoloogia, 29

silindriline jäikus, 122  
 Simpsoni  $\frac{3}{8}$  valem, 70  
 Simpsoni valem, 70, 82  
 sirgete normaalide hüpotees, 116  
 sisejõud, 43  
     märgireegel, 34  
     põikjõud, 43  
     paindemoment, 43  
     pikkejõud, 43  
     väändemoment, 43  
 sisejõudude töö, 26  
 sisejõudude võimalik töö, 16, 82  
 staatilised rajatingimused, 16, 126  
 staatiliste rajatingimuste hälve, 20  
 subparameetriline element, 86  
 superparameetriline element, 86  
 suunakoosinus, 33  
 täielikkuse nõue, 136  
 töö  
     aktiivtöö, 26  
     mahujõudude, 103  
     passiivtöö, 26  
     rajaajõudude, 12, 104  
     rajaajõudude töö, 26  
     rajaajõudude võimalik töö, 16  
     sisejõudude töö, 26  
     sisejõudude võimalik töö, 16  
     tooreaktsioonide, 12  
     välisjõudude võimalik töö, 16  
 tööde vastastikkuse teoreem, 16  
 tööde vastastikkuse tereem, 16  
 tööseisund, 43  
     lõige, 43  
     paine, 43  
     pike, 43  
     vääne, 43  
 Tšebõšovi polünoom, 68  
 taandatud koormused, 108  
 tala diferentsiaalseosed, 42  
 tasanddeformatsioon, 96  
 tasandpingus, 96, 121  
 teine märgikokkulepe, 82  
 teisendusmaatriks, 95

- pikkele töötava varda teisendusmaat-  
riks, 35
- tetraeder, 64
- tooreaktsioonide töö, 12
- topoloogia
  - süsteemi topoloogia, 29
- vääne, 43
- välisjõudude võimalik töö, 16
- Võrrandisüsteem
  - lindi laius, 41
- variatsioon, 143
- variatsiooniprintsiip
  - Felippa printsiip, 147
  - Hellingeri-Reissneri printsiip, 146
  - Hu-Washizu printsiip, 146
  - potentsiaalse energia miinimumi print-  
siip, 143, 145
  - potentsiaalse täiendenergia miinimumi  
printsiip, 146
- varrassüsteemi arvutusskeem, 37
- vedru jäikusmaatriks, 24
- vektor
  - skalaarkorrutis, 33
  - vektorkorrutis, 76
- virtuaalsiire, 16
- virtuaalsiirete printsiip, 80, 83